

Fig. 1. Dentición decidua en juveniles (A) y permanente en adultos (B) de Familia Canidae. Dentición decidua en juveniles (C) y permanente en adultos de Familia Felidae (D). Abreviaturas en Apéndice III.

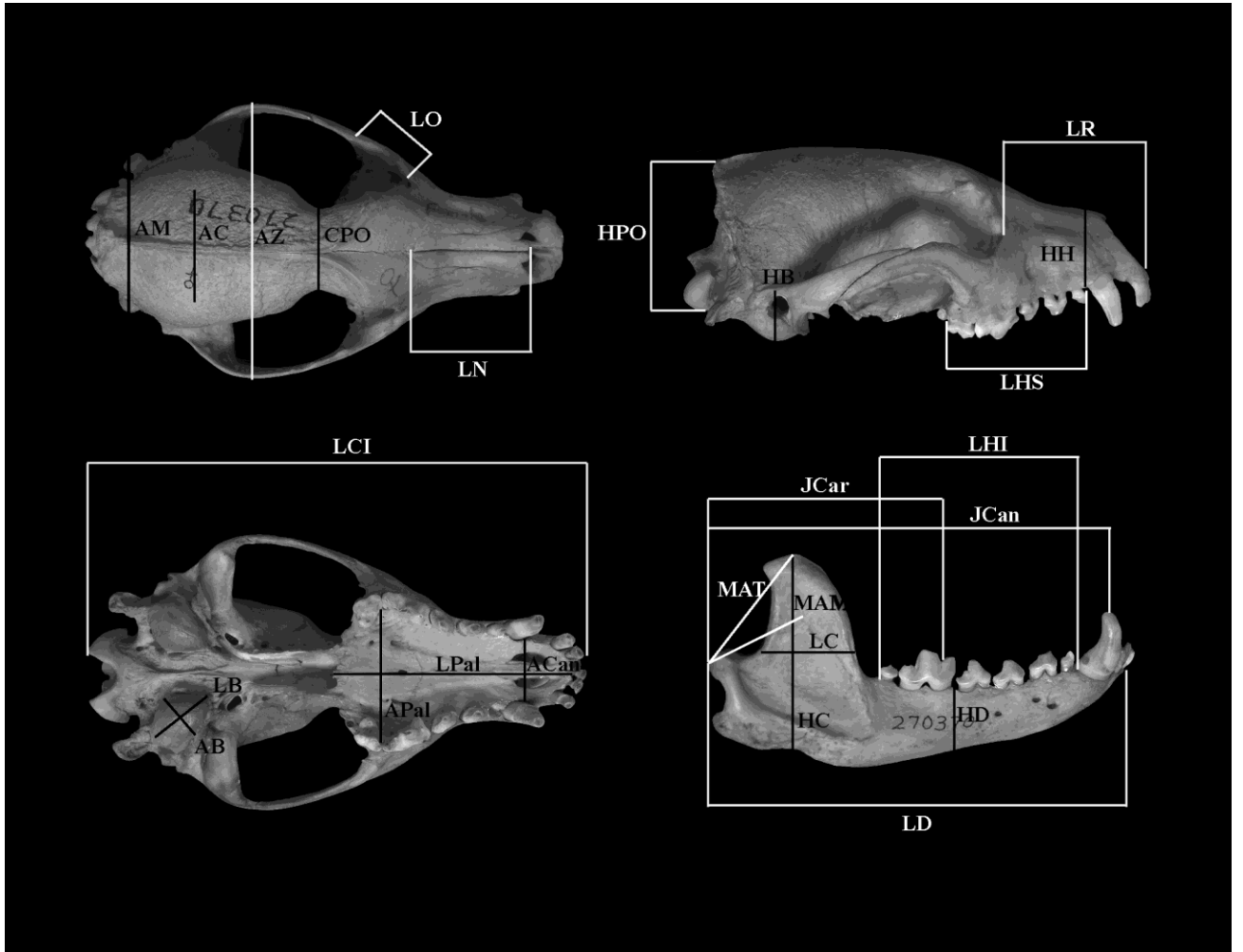


Fig. 2. Medidas craneanas y mandibulares. Abreviaturas en Apéndice V.

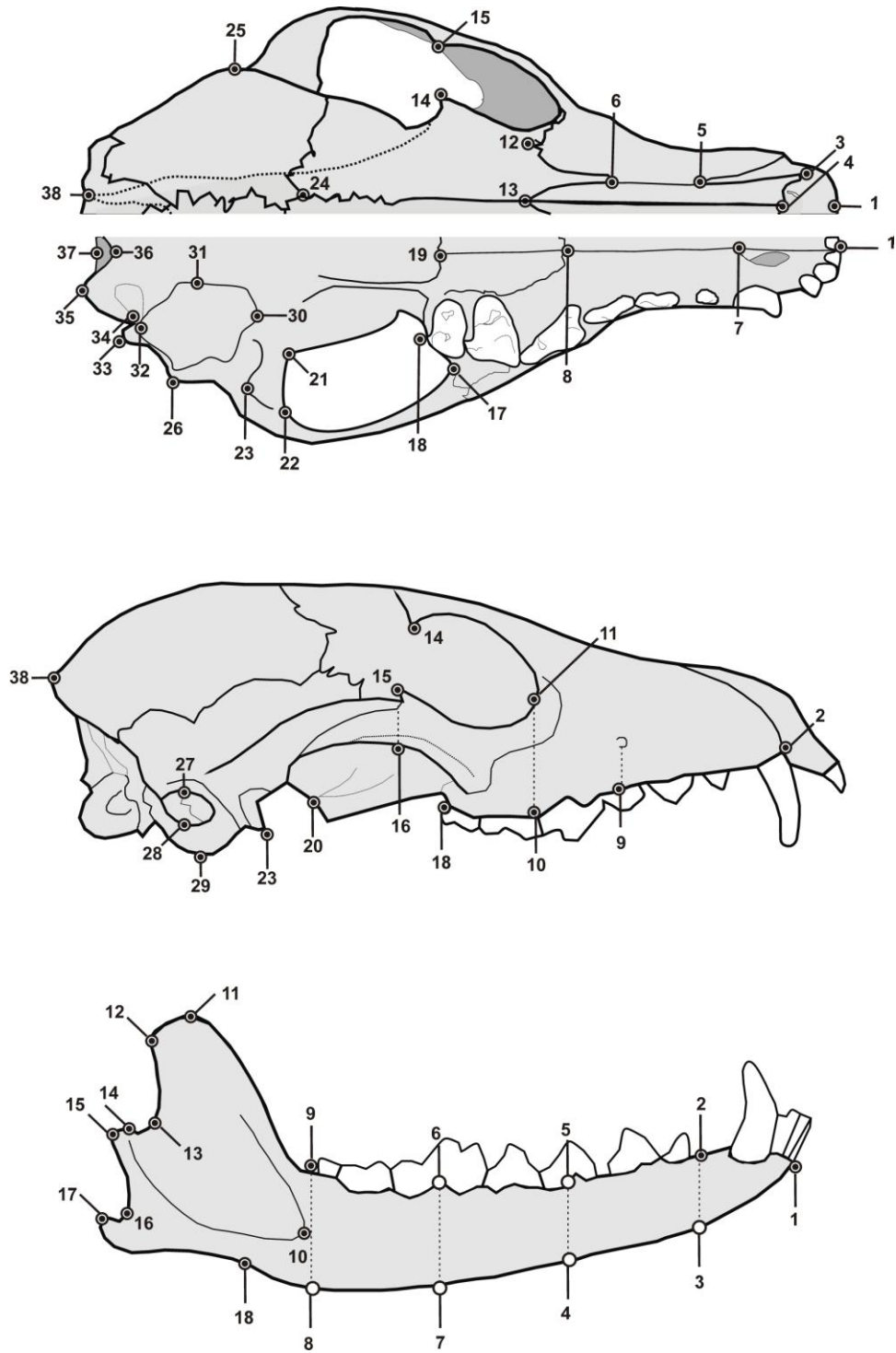
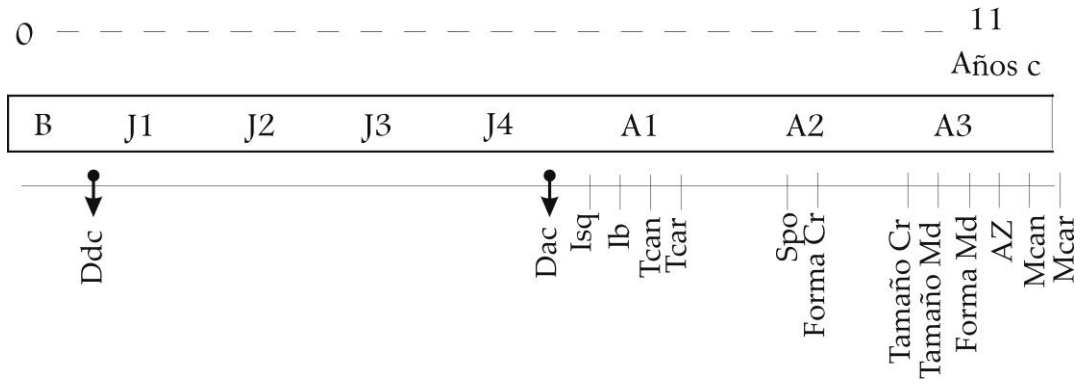


Fig. 3. Landmarks y semilandmarks. *Lycalopex gymnocercus* CML 895, ilustrando 38 landmarks craneales ● y 18 landmarks ● y semi-landmarks ○ mandibulares en vista dorsal, ventral, lateral y mandibular. La lista detallada se encuentra en Apéndice VI.

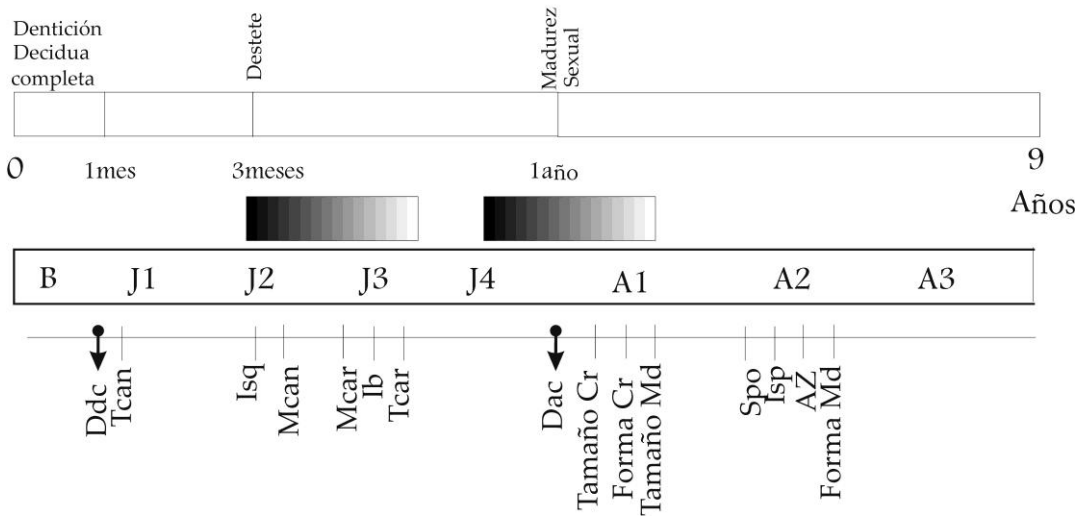
A

Atelocynus microtis



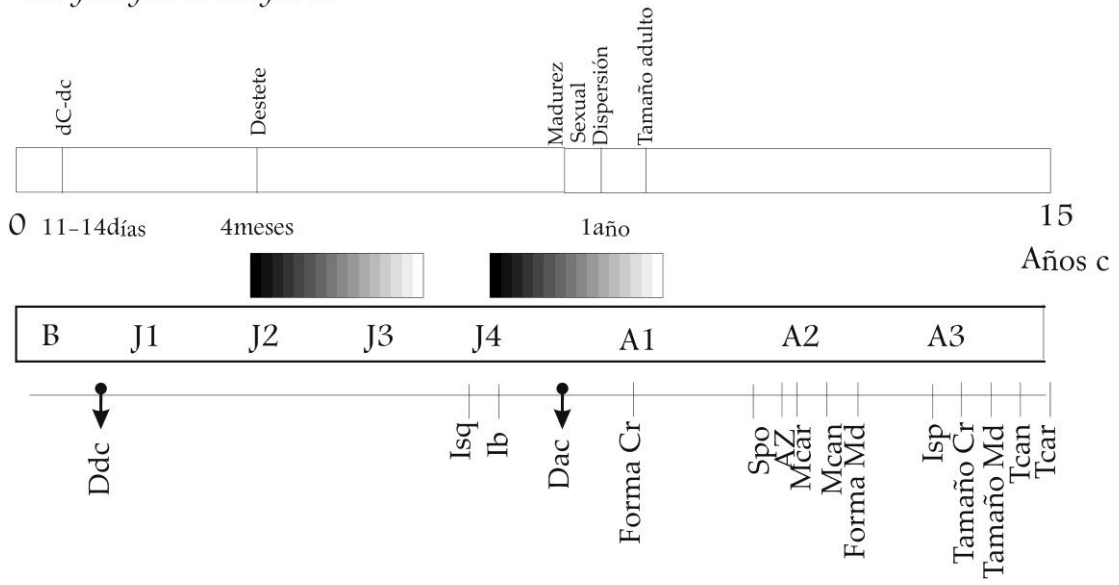
B

Cerdocyon thous



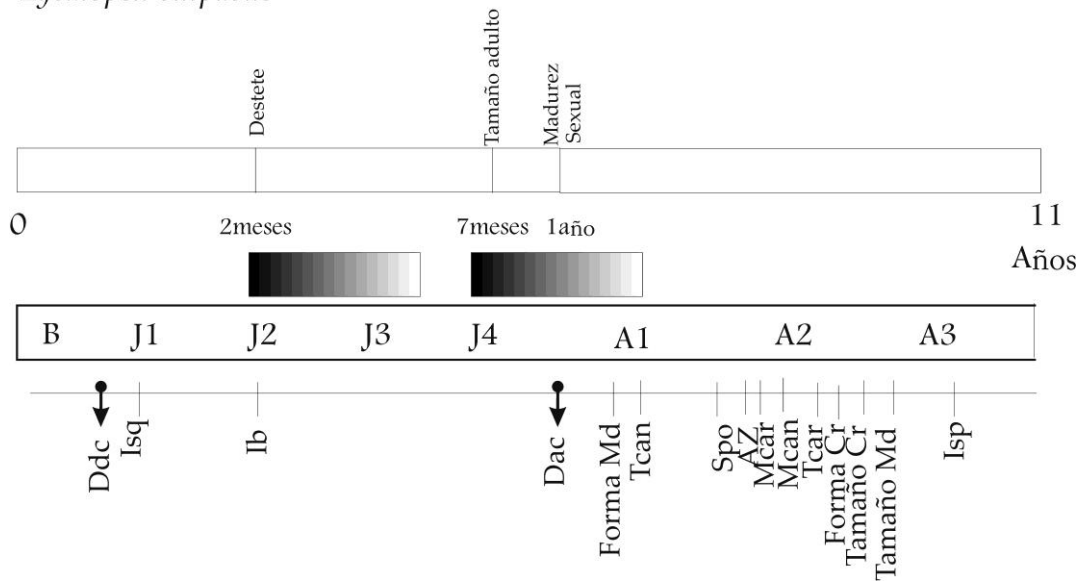
C

Chrysocyon brachyurus



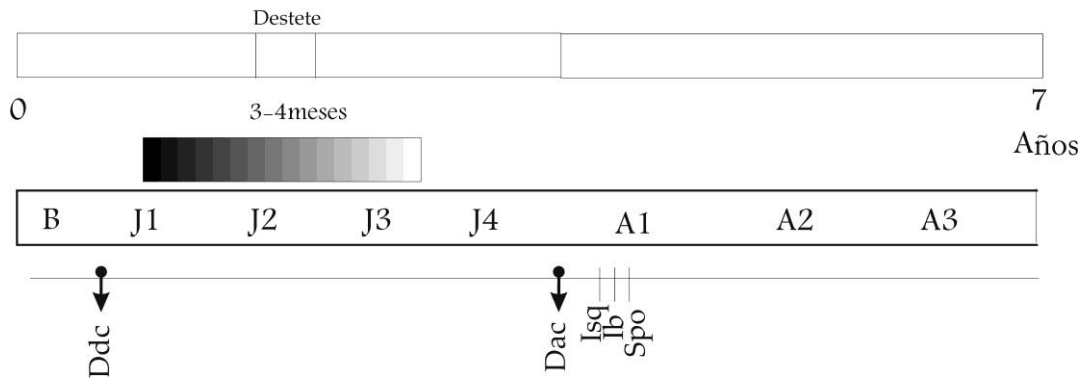
D

Lycalopex culpaeus



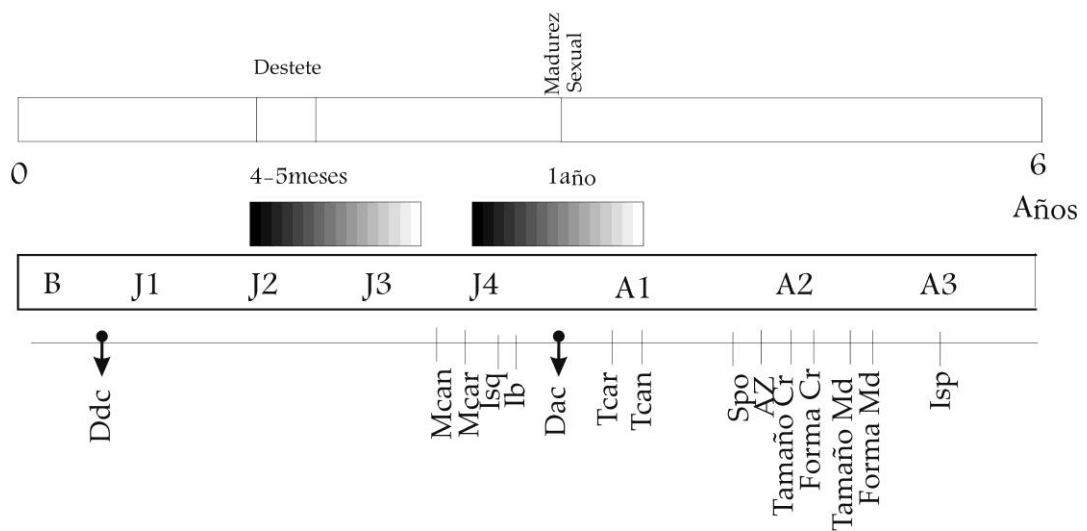
E

Lycalopex fulvipes



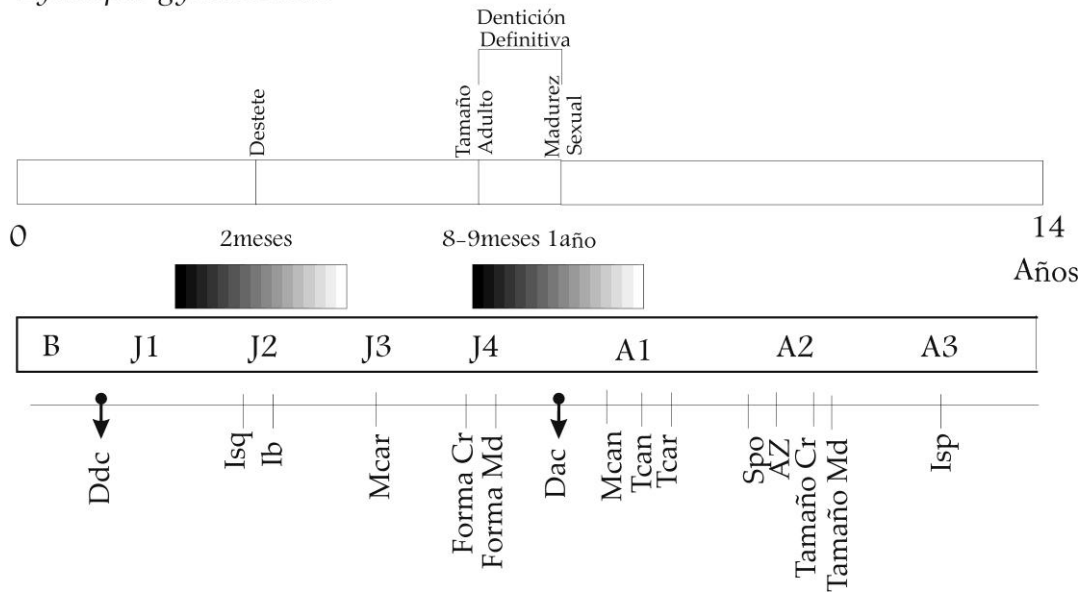
F

Lycalopex griseus



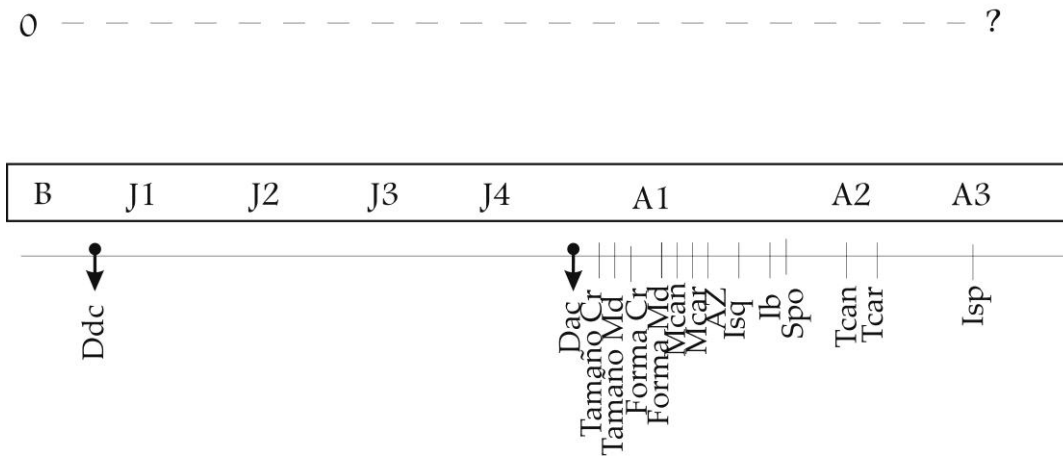
G

Lycalopex gymnocercus



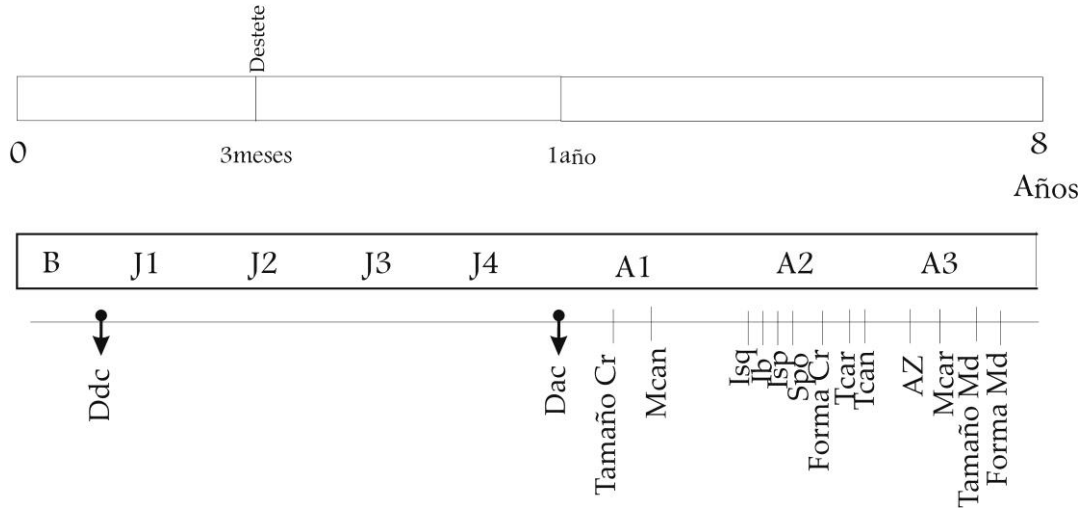
H

Lycalopex sechurae



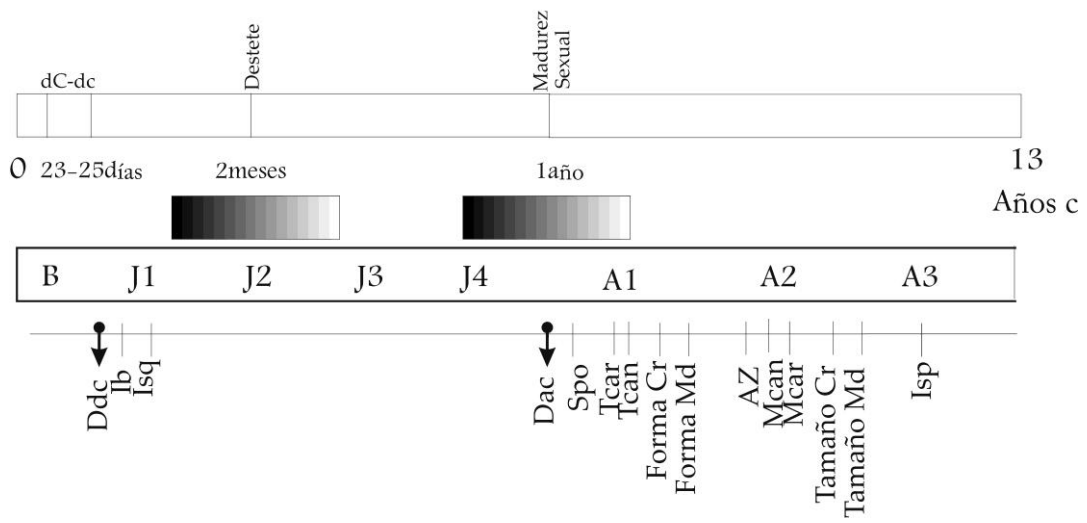
I

Lycalopex vetulus



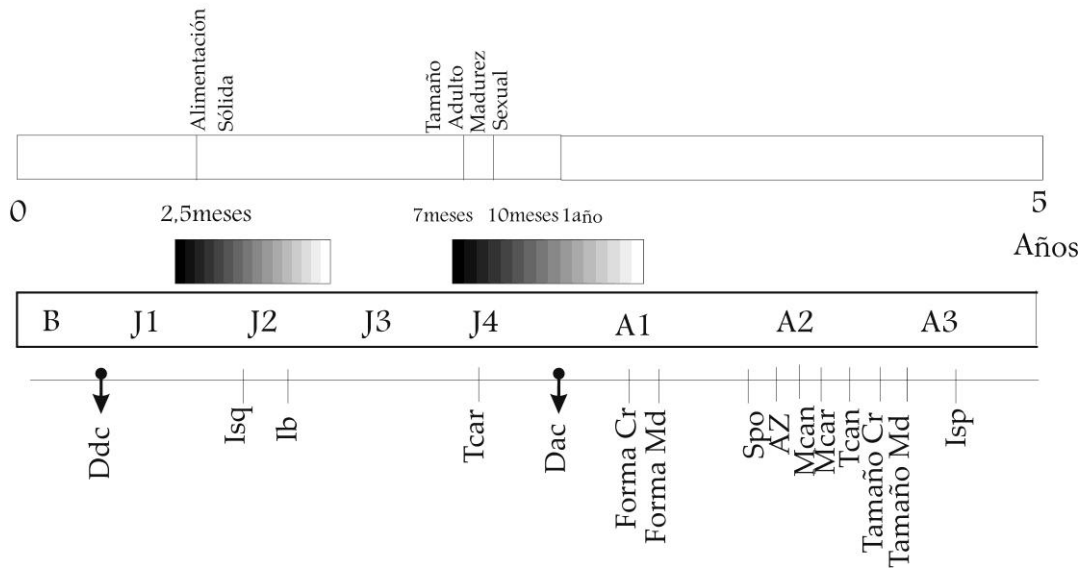
J

Speothos venaticus



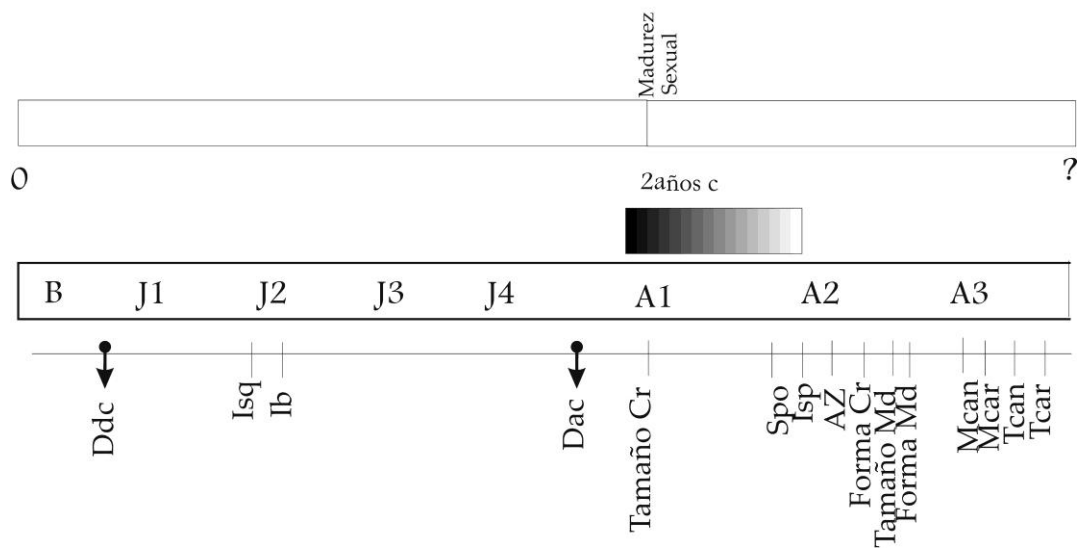
K

Urocyon cinereoargenteus



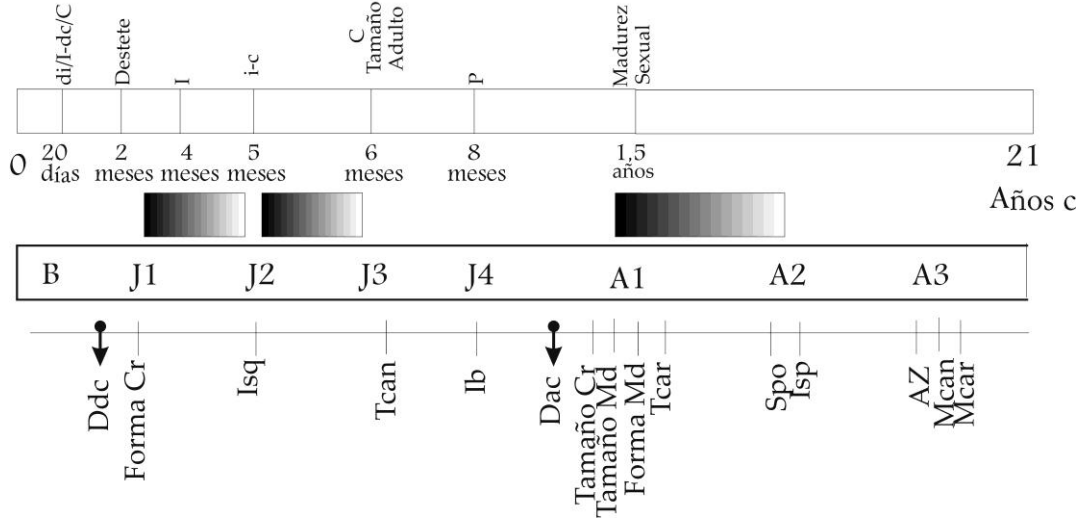
L

Leopardus colocolo



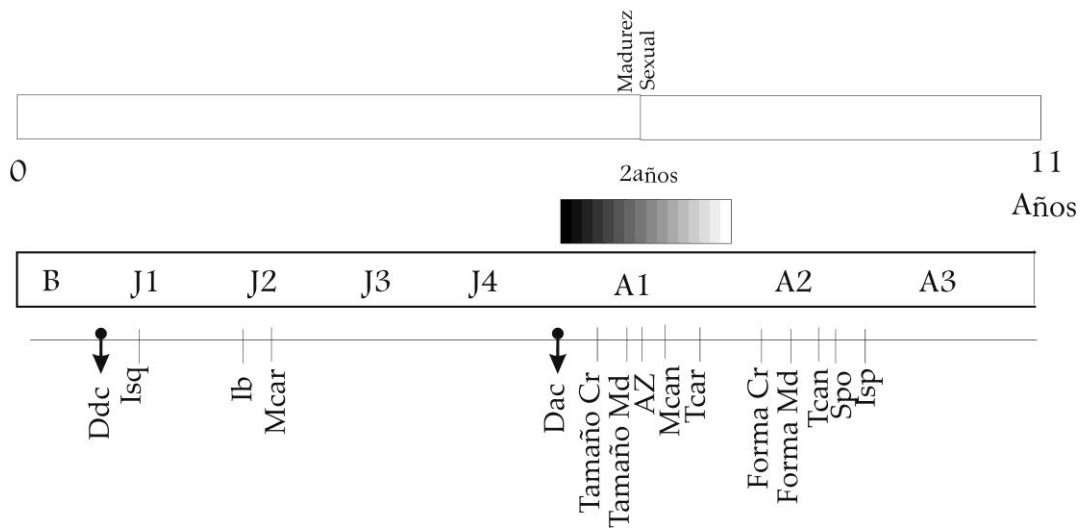
M

Leopardus geoffroyi



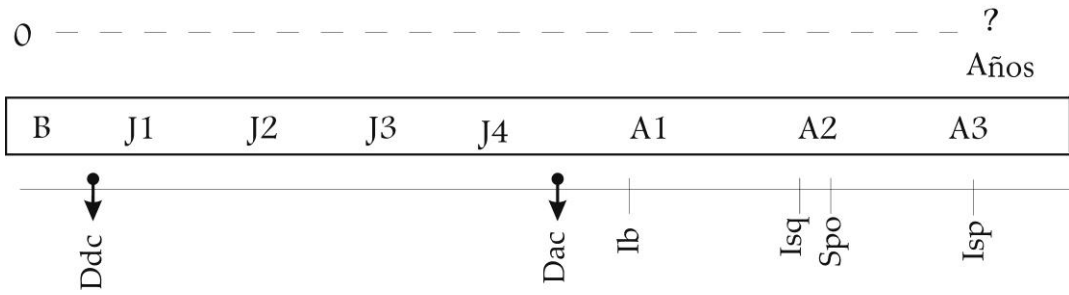
N

Leopardus guigna



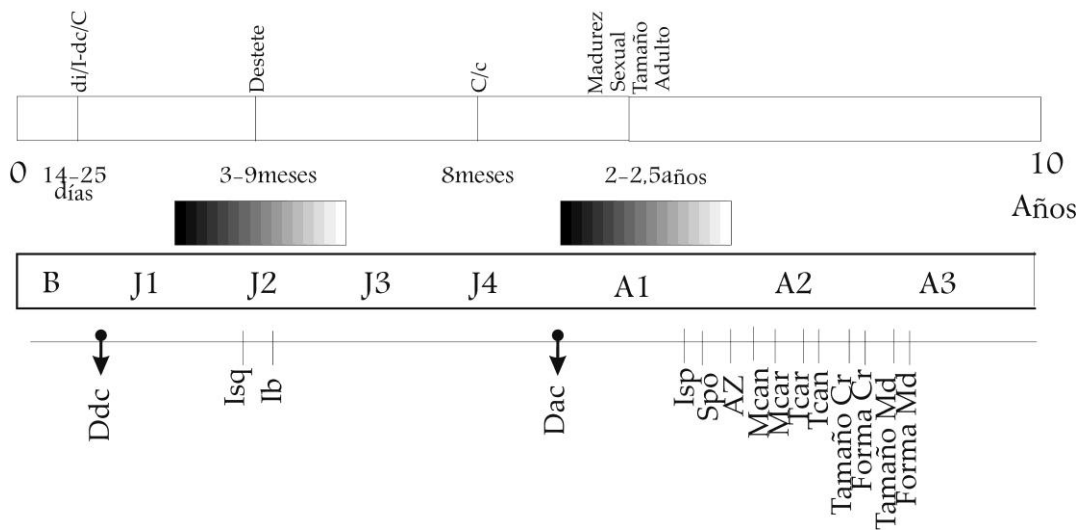
O

Leopardus jacobita



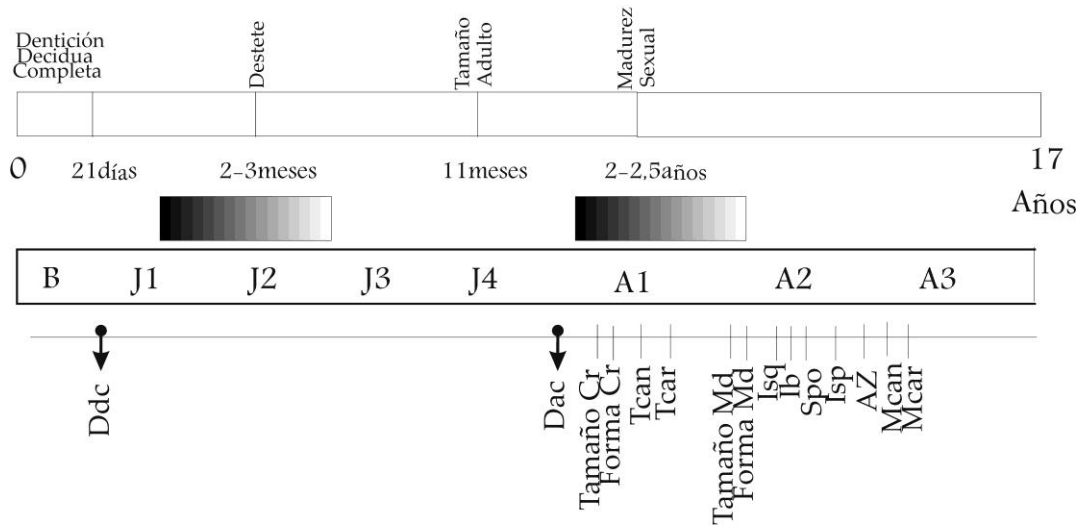
P

Leopardus pardalis



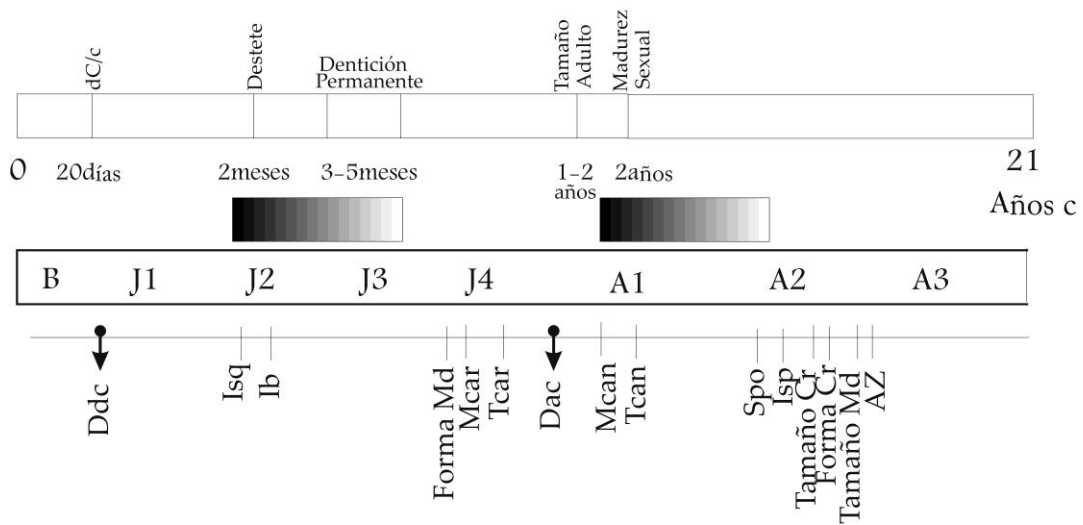
Q

Leopardus tigrinus



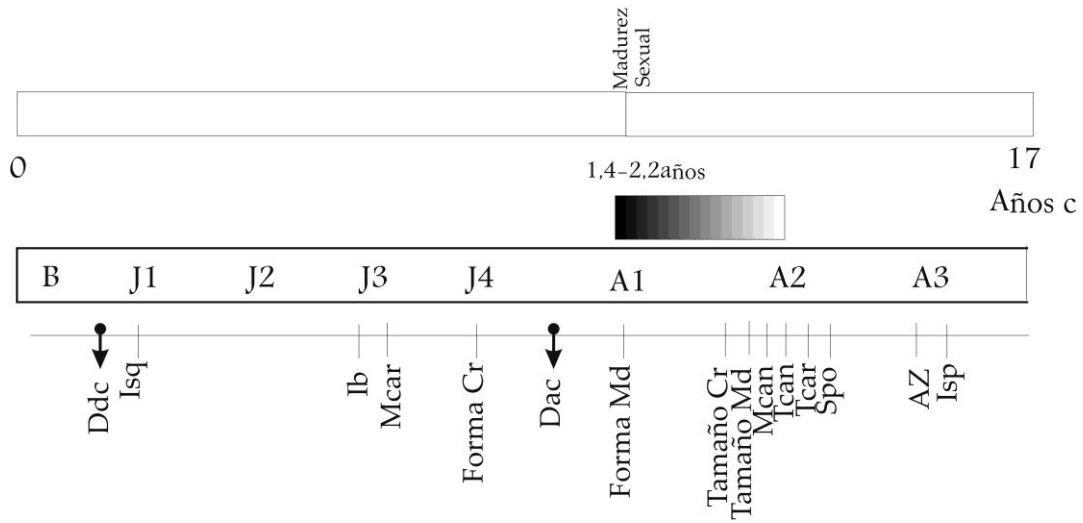
R

Leopardus wiedii



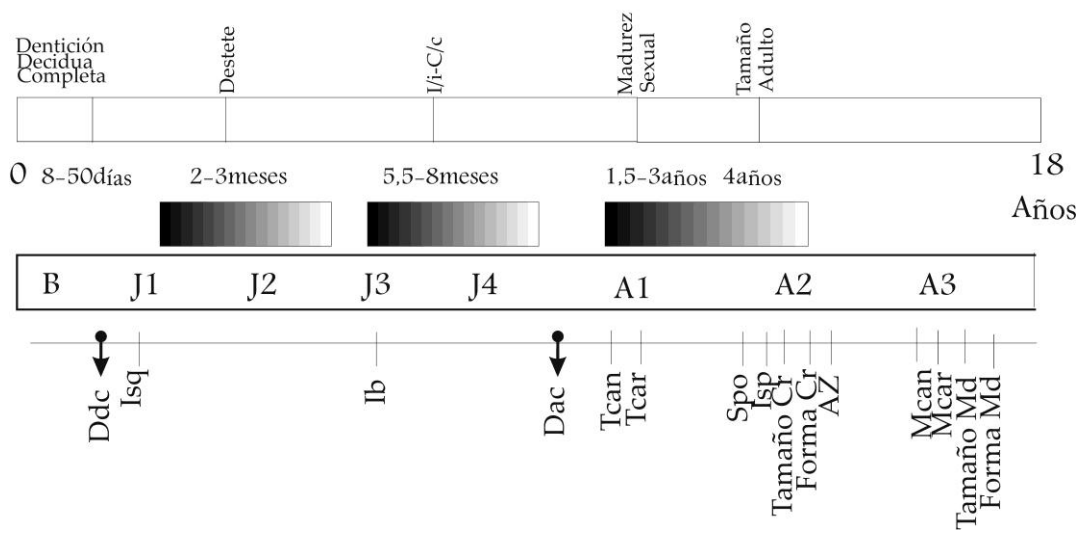
S

Herpailurus yagouaroundi



T

Puma concolor



U

Panthera onca

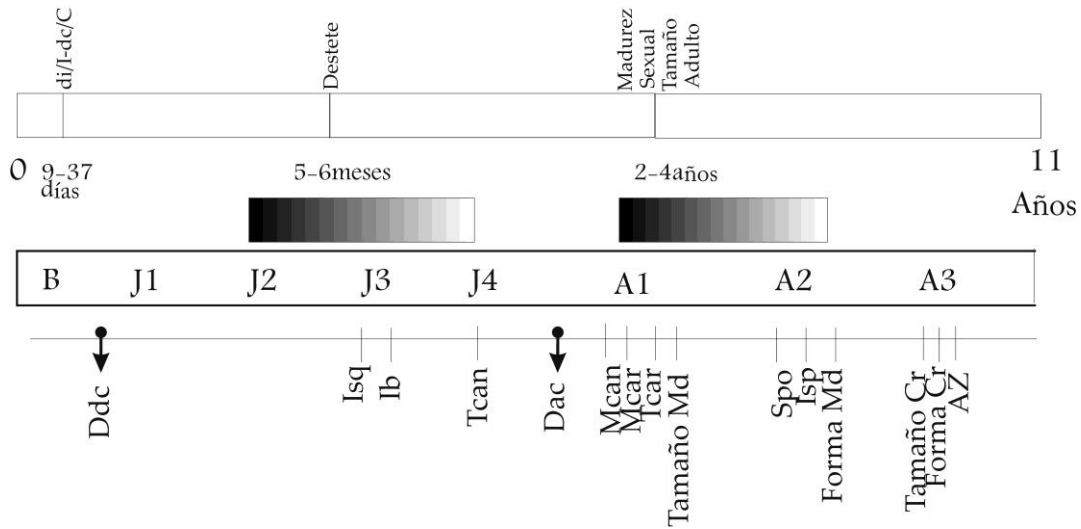


Fig. 4. Línea temporal para cánidos y félidos utilizando datos bibliográficos (parte superior de la figura) y los obtenidos en estos análisis (parte inferior de la figura). Los rectángulos grises simbolizan la/s clase/s de edad a la/s que podría corresponder el período de tiempo en edad absoluta. Las abreviaturas se encuentran en el apéndice III. (A) *Atelocynus microtis*, (B) *Cerdocyon thous*, (C) *Chrysocyon brachyurus*, (D) *Lycalopex culpaeus*, (E) *Lycalopex fulvipes*, (F) *Lycalopex griseus*, (G) *Lycalopex gymnocercus*, (H) *Lycalopex sechurae*, (I) *Lycalopex vetulus*, (J) *Speothos venaticus*, (K) *Urocyon cinereoargenteus*, (L) *Leopardus colocolo*, (M) *Leopardus geoffroyi*, (N) *Leopardus guigna*, (O) *Leopardus jacobita*, (P) *Leopardus pardalis*, (Q) *Leopardus tigrinus*, (R) *Leopardus wiedii*, (S) *Herpailurus yagouaroundi*, (T) *Puma concolor*, (U) *Panthera onca*.

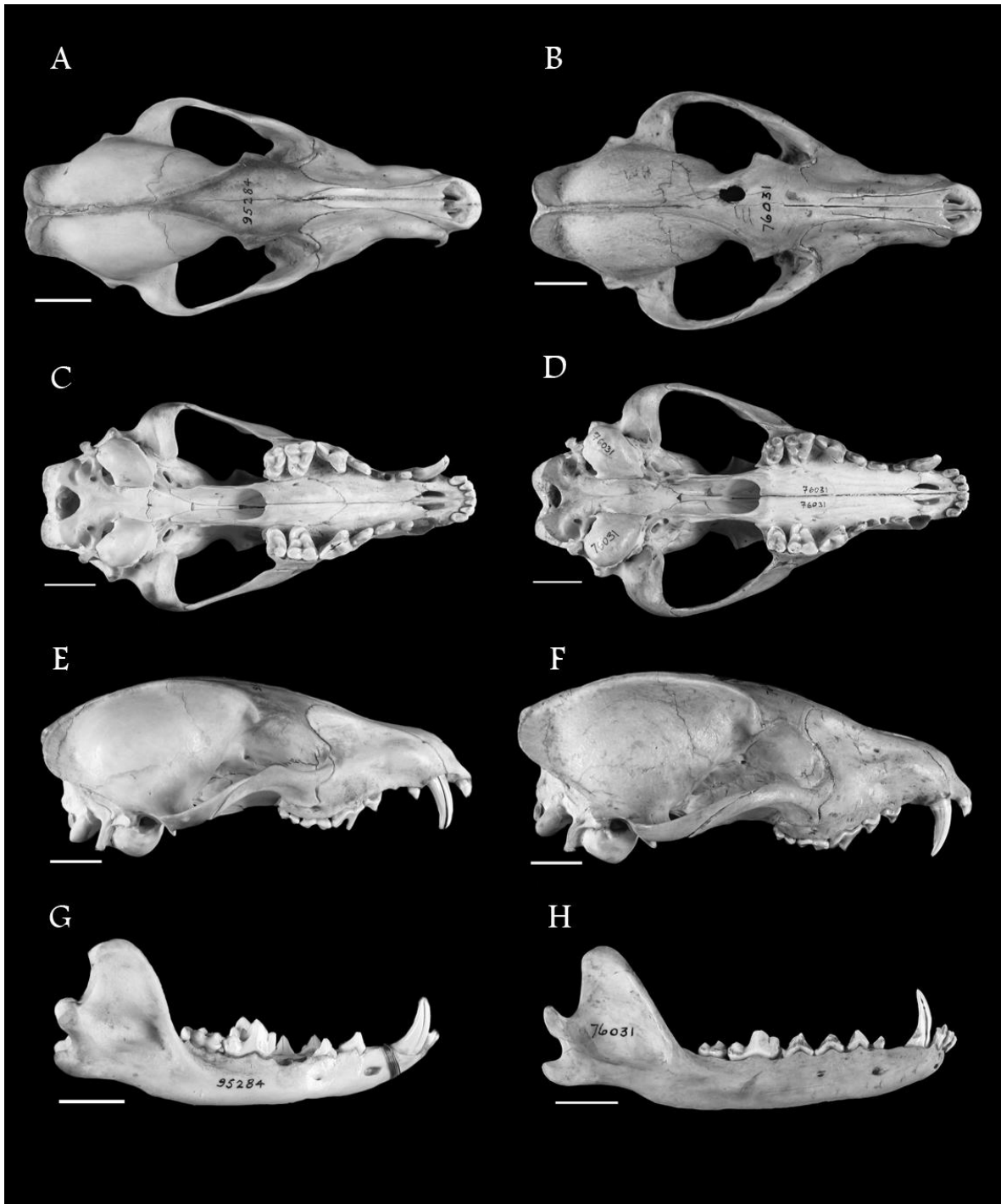
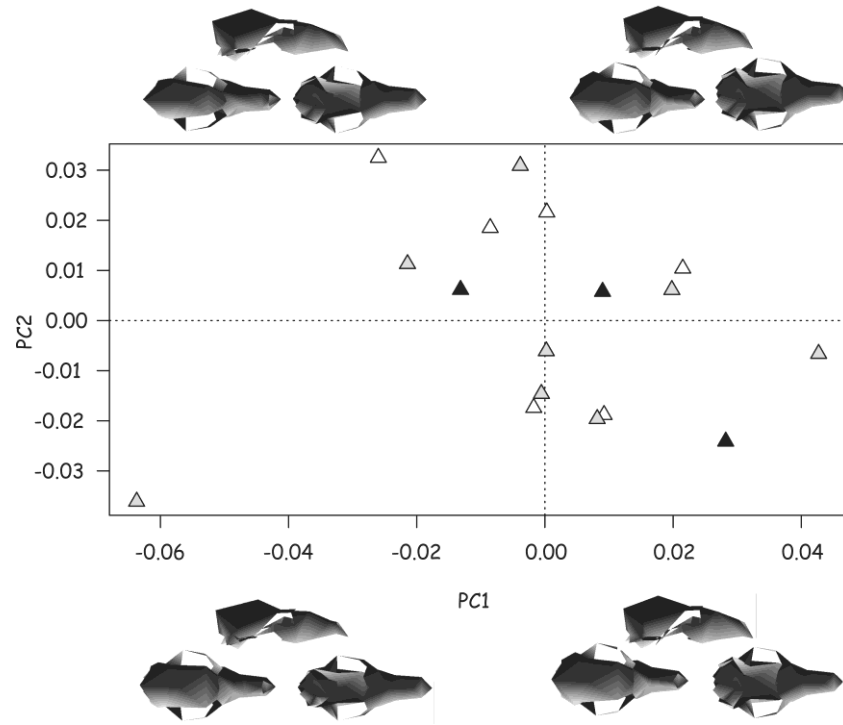


Fig. 5. *Atelocynus microtis*. Vista dorsal, ventral, lateral y mandíbula del ejemplar A1: AMNH 95284 (A-C-E-G) y A2: AMNH 76031 (B-D-F-H). Escala: 2 cm.

A



B

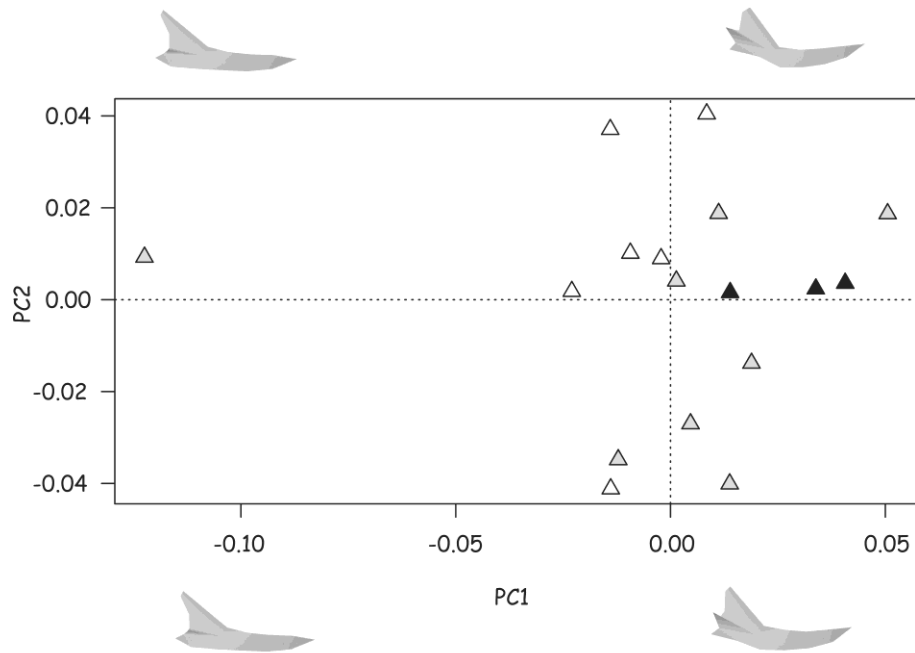


Fig. 6. PC1 vs PC2 para cráneo (A) y mandíbula (B) de *Atelocynus microtis*. Símbolos: A1 \triangle , A2 \triangle , A3 \blacktriangle .

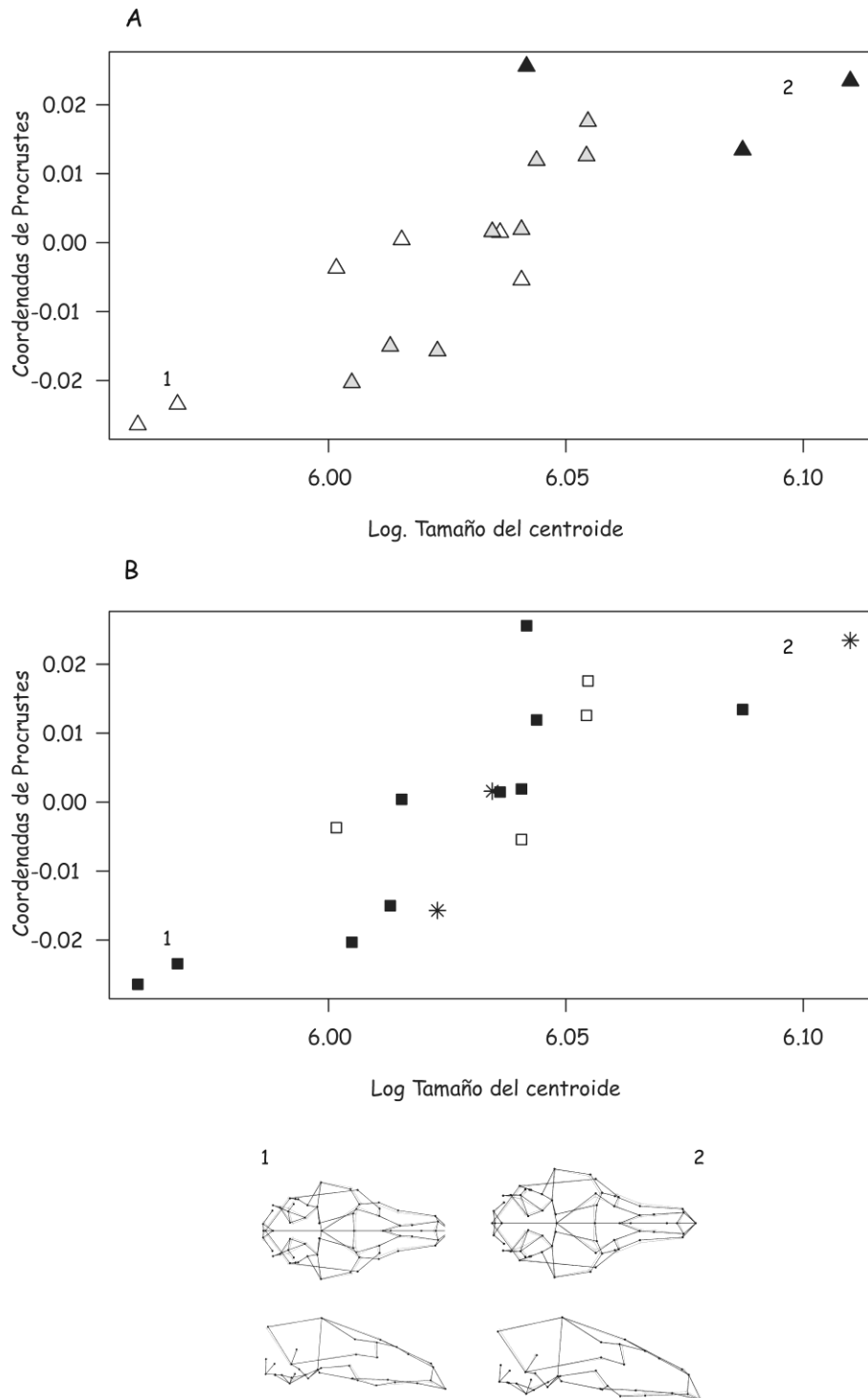


Fig. 7. Regresión de coordenadas de Procrustes contra tamaño de centroide log-transformado para cráneos de *Atelocynus microtis*, teniendo en cuenta las clases de edad (A) y los sexos (B). Símbolos: A1 Δ , A2 Δ , A3 \blacktriangle , Machos \blacksquare , Hembras \square , Especímenes no sexados $*$, formas pequeñas 1, formas grandes 2.

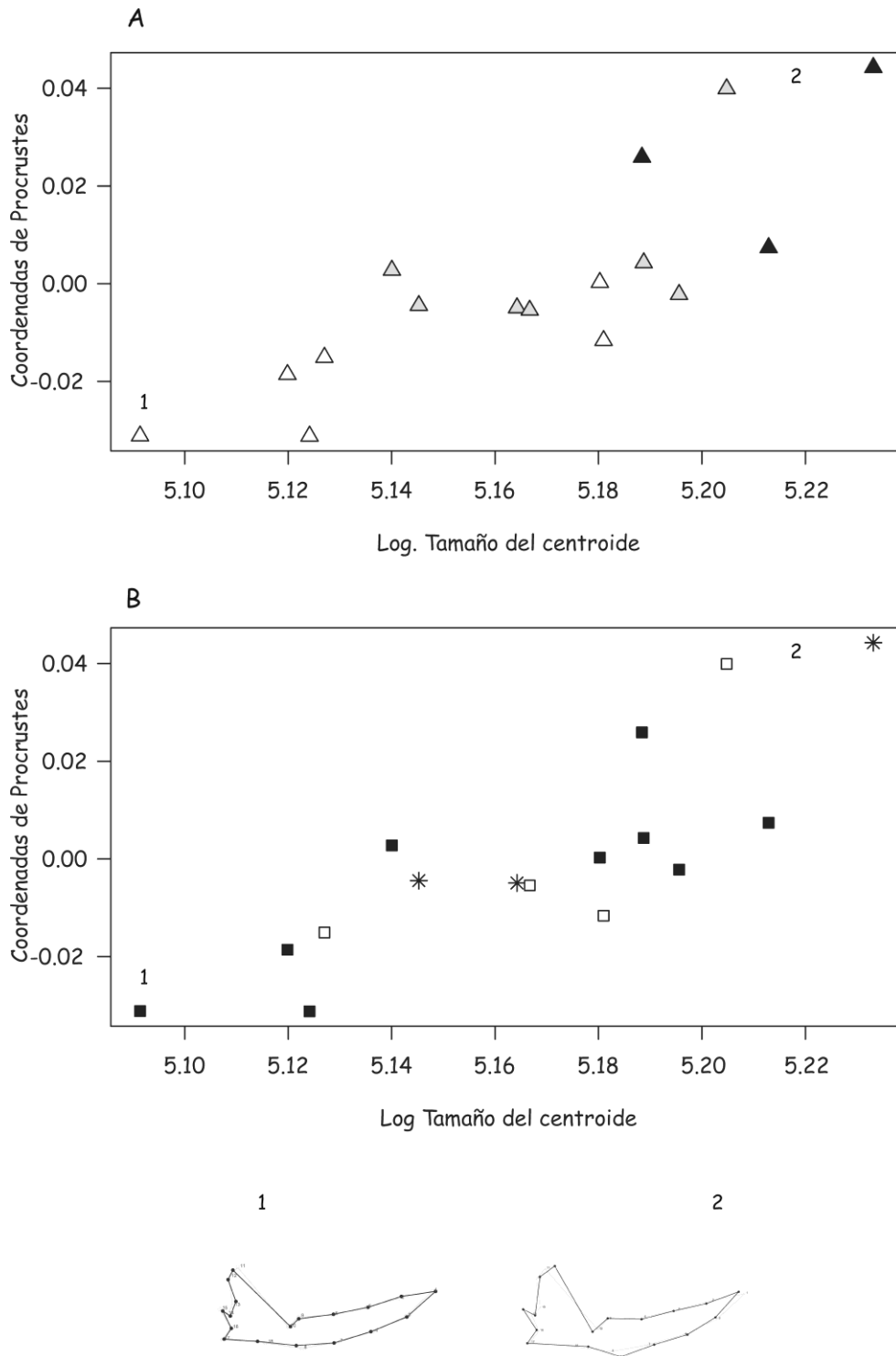


Fig. 8. Regresión de coordenadas de Procrustes contra tamaño de centroide log-transformado para mandíbulas de *Atelocynus microtis*, teniendo en cuenta las clases de edad (A) y los sexos (B). Símbolos: A1 \triangle , A2 \triangle , A3 \blacktriangle , Machos \blacksquare , Hembras \square , Especímenes no sexados $*$, formas pequeñas 1, formas grandes 2.

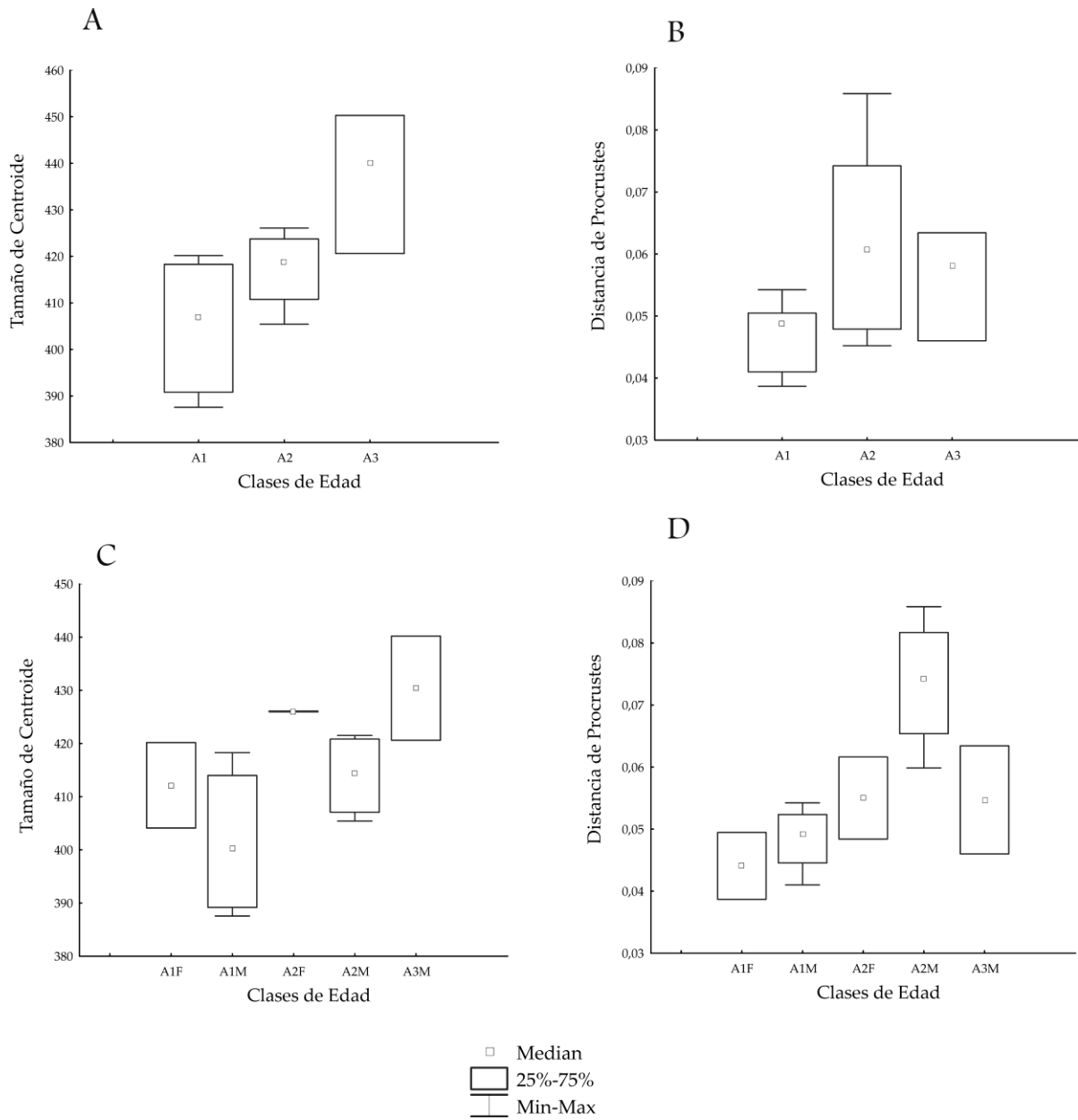


Fig. 9. Boxplots de *Atelocynus microtis* para tamaño y forma craneana contra clases de edad. Tamaño de centroide (A) y distancia de Procrustes del cráneo (B) sin tener en cuenta el sexo. Tamaño de centroide (C) y distancia de Procrustes del cráneo (D) teniendo en cuenta el sexo. Los boxplots incluyeron mediana, mínimo y máximo, y cuartiles superiores e inferiores (75 y 25%, respectivamente).

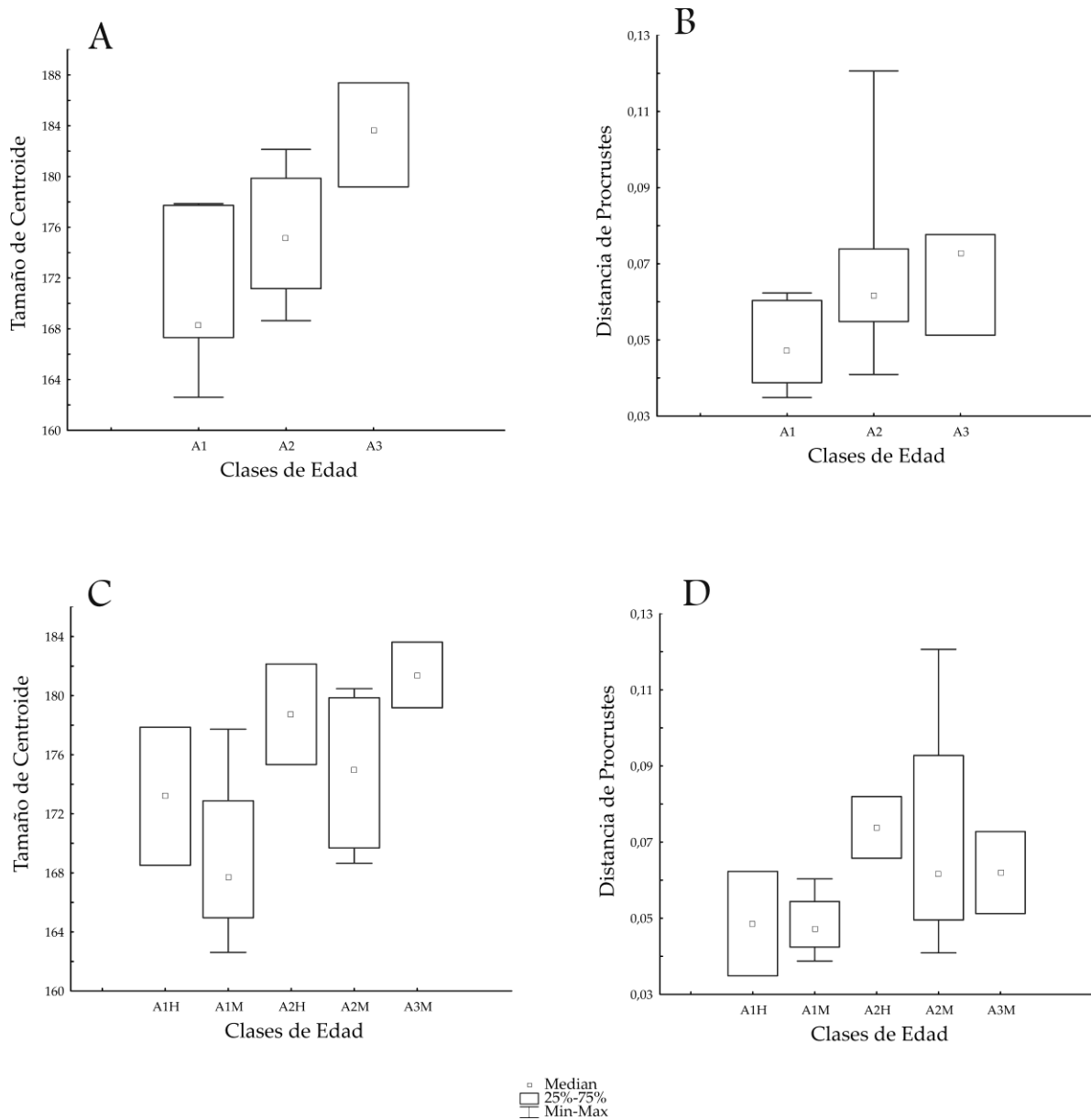


Fig. 10. Boxplots de *Atelocynus microtis* para tamaño y forma mandibular contra clases de edad. Tamaño de centroide (A) y distancia de Procrustes (B) de la mandíbula sin tener en cuenta el sexo. Tamaño de centroide (C) y distancia de Procrustes (D) teniendo en cuenta el sexo. Los boxplots incluyeron mediana, mínimo y máximo, y cuartiles superiores e inferiores (75 y 25%, respectivamente).

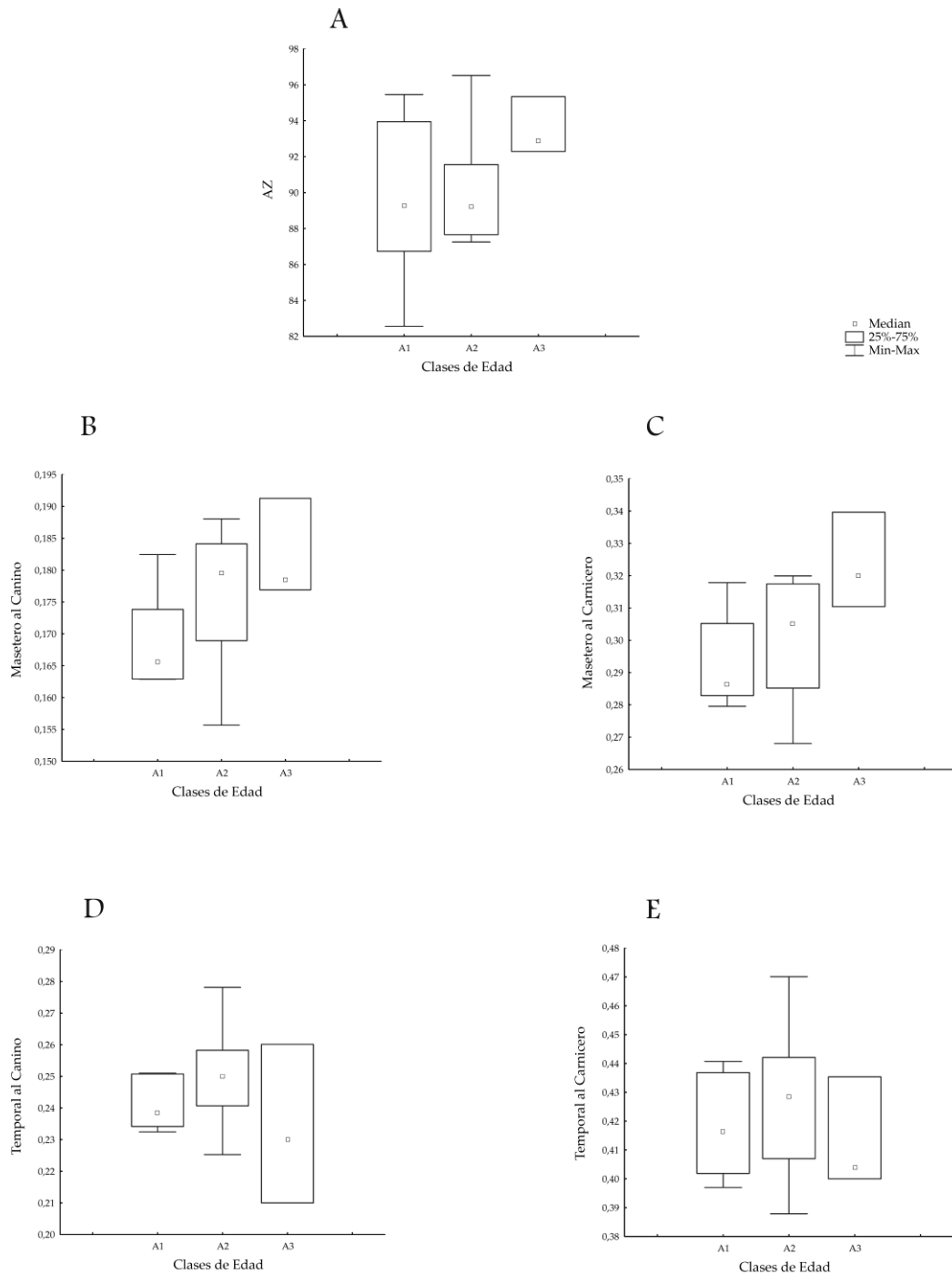


Fig. 11. Boxplots de *Atelocynus microtis* para ventajas mecánicas contra clases de edad. Tamaño de los músculos masticatorios (A), ventaja mecánica del músculo masetero al canino (B), ventaja mecánica del músculo masetero al carnicero (C), ventaja mecánica del músculo temporal al canino (D), ventaja mecánica del músculo temporal al carnicero (E). Los boxplots incluyeron mediana, mínimo y máximo, y cuartiles superiores e inferiores (75 y 25%, respectivamente).

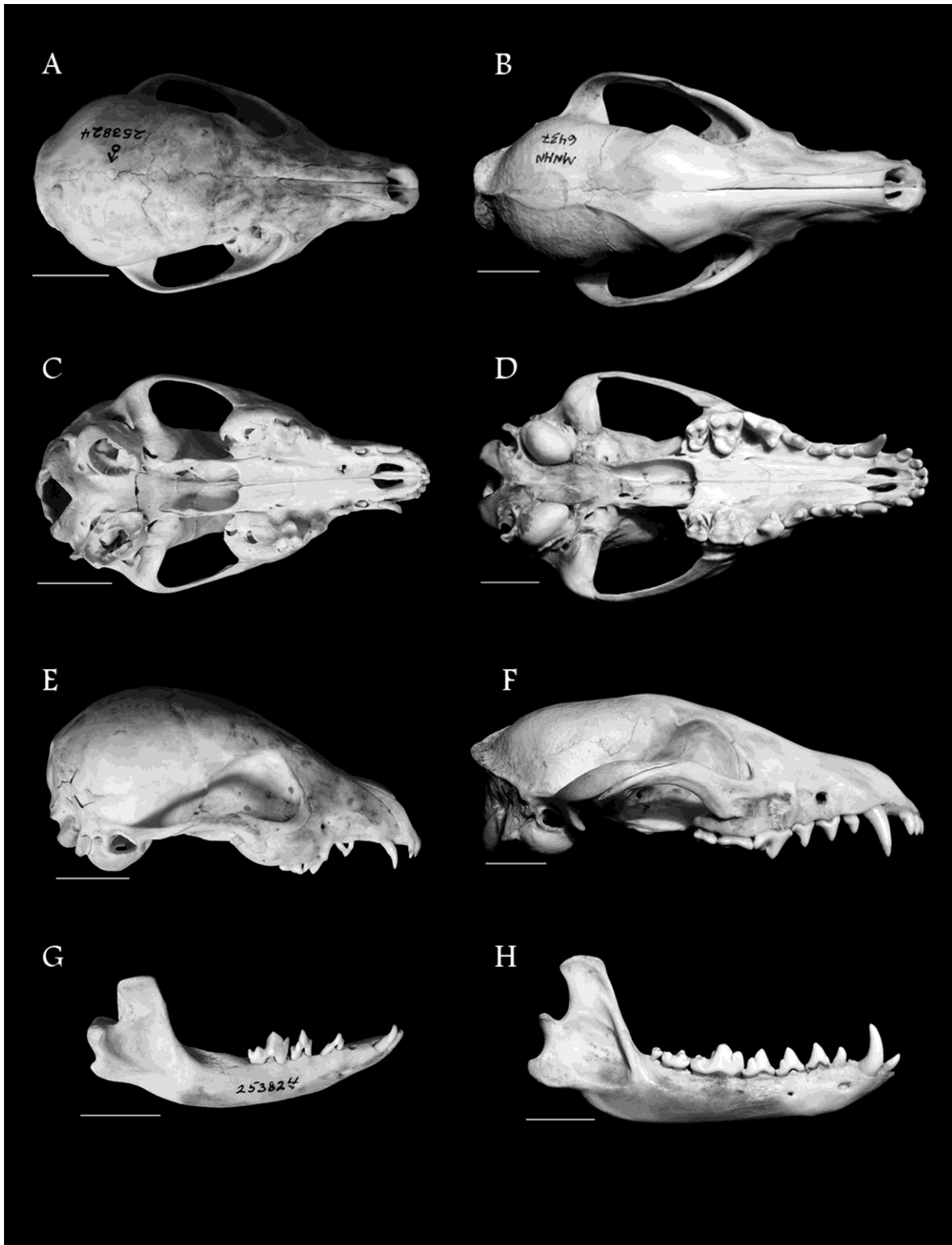
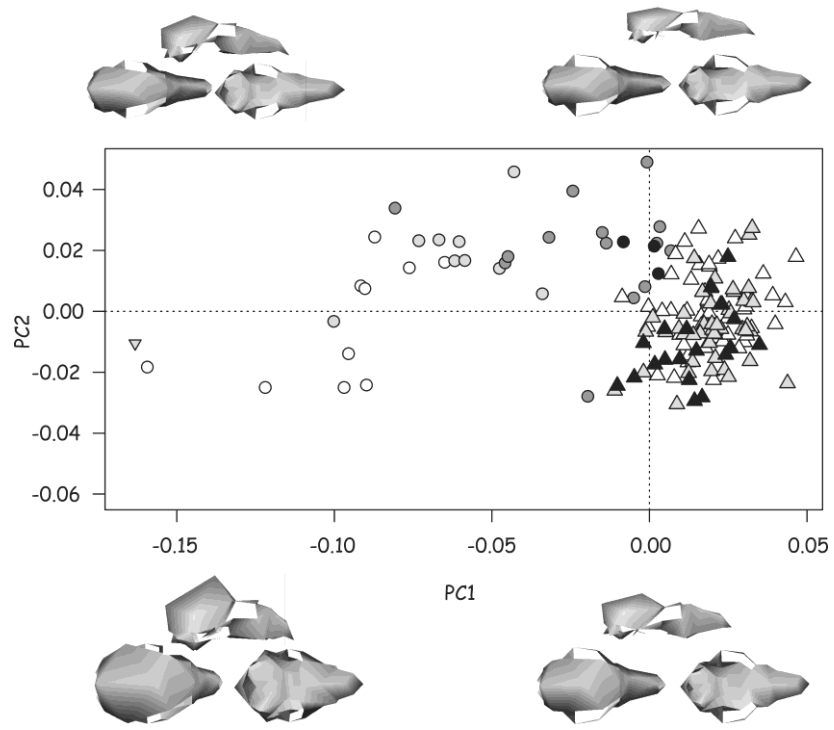


Fig. 12. *Cerdocyon thous*. Vista dorsal, ventral, lateral y mandíbula del ejemplar J1: USNM 253824 (A-C-E-G) y A2: MNHN 6437 (B-D-F-H). Escala: 2 cm.

A



B

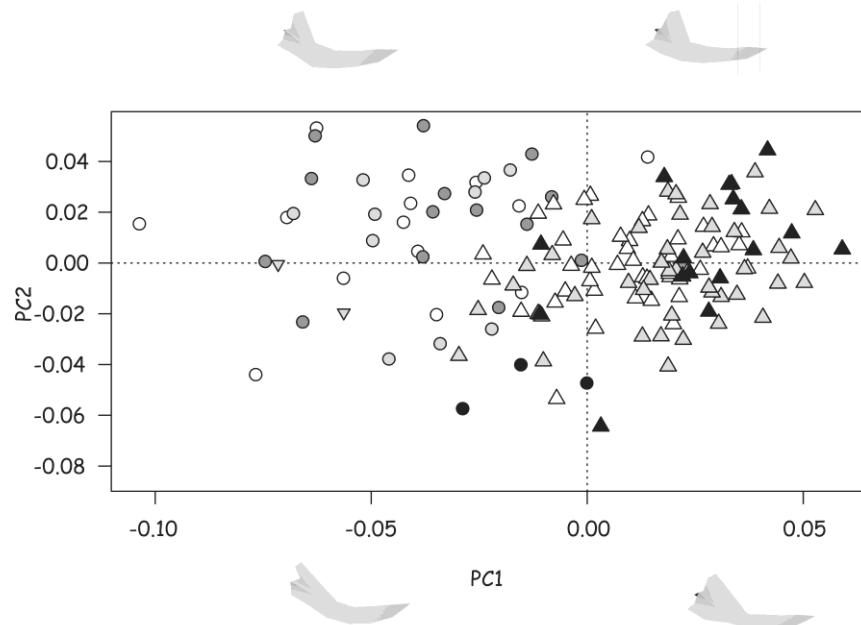


Fig.13. PC1 vs PC2 para cráneo (A) y mandíbula (B) de *Cerdocyon thous*. Símbolos: B ▽, J1 ○, J2 ●, J3 ●, J4 ●, A1 △, A2 △, A3 ▲.

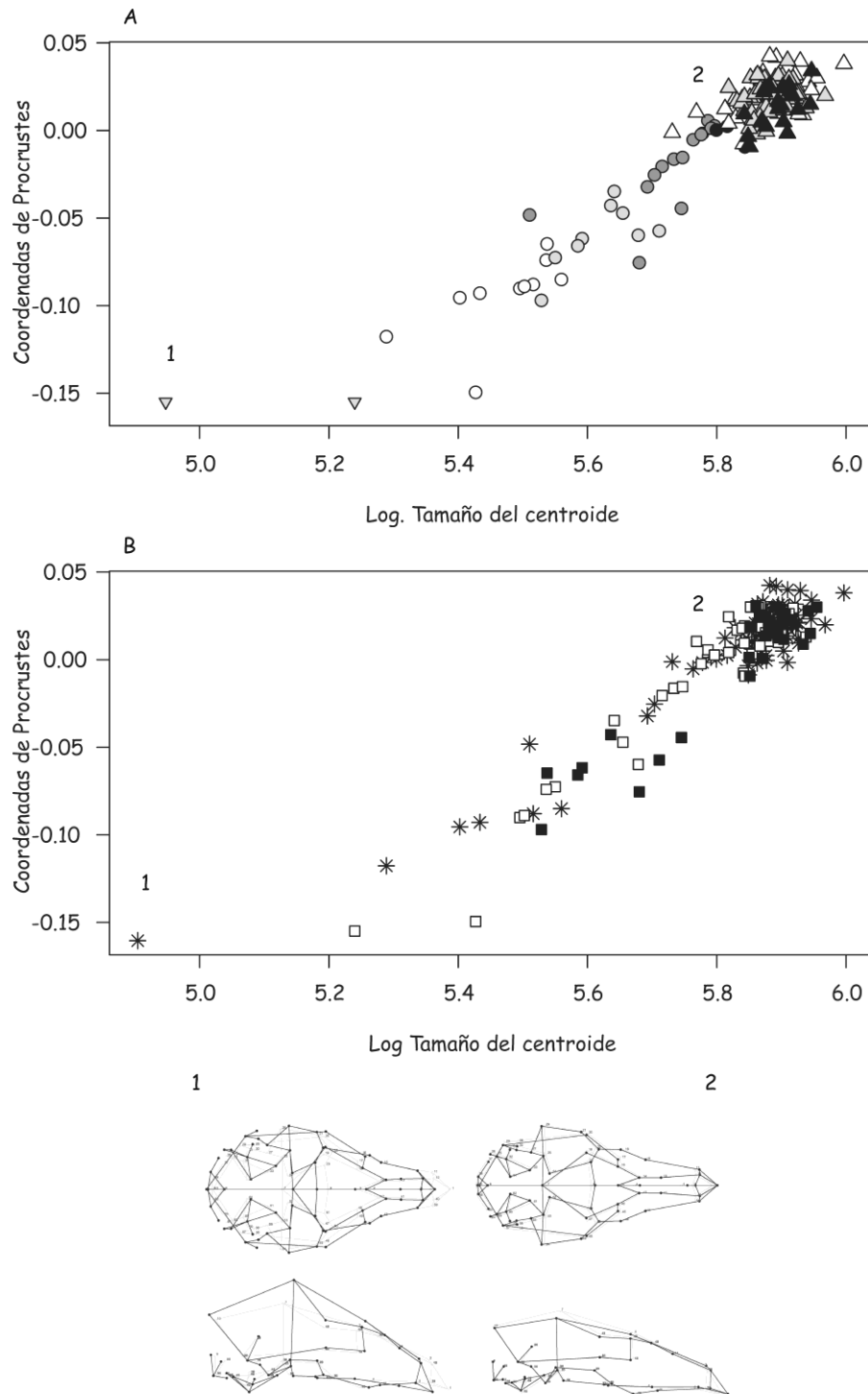


Fig. 14. Regresión de coordenadas de Procrustes contra tamaño de centroide log-transformado para cráneos de *Cerdocyon thous*, teniendo en cuenta las clases de edad. Símbolos: B ▽, J1 ○, J2 ●, J3 ●, J4 ●, A1 △, A2 △, A3 ▲, Machos ■, Hembras □, Especímenes no sexados *, 1 formas pequeñas, 2 formas grandes.

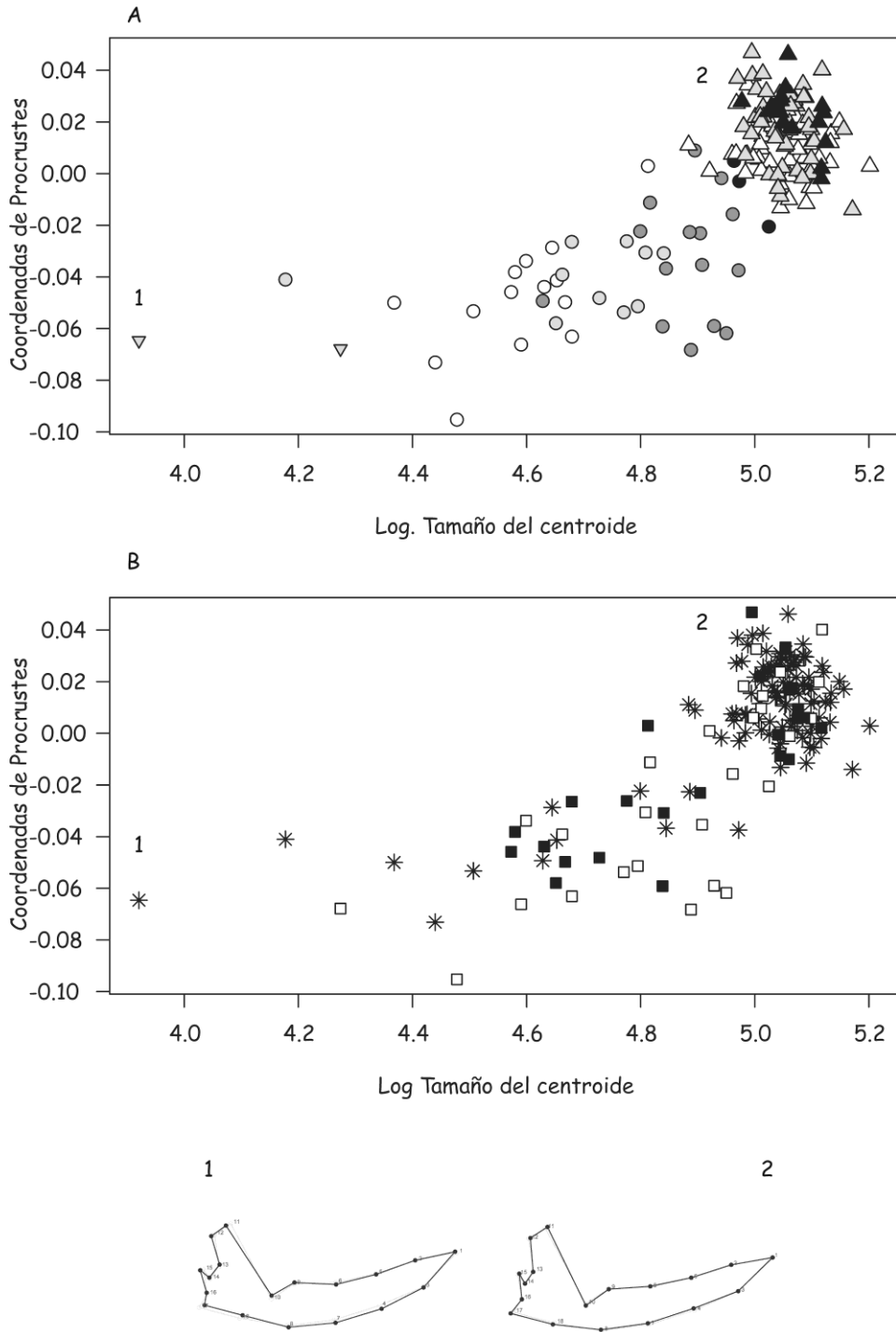


Fig. 15. Regresión de coordenadas de Procrustes contra tamaño de centroide log-transformado para mandíbulas de *Cerdocyon thous*, teniendo en cuenta las clases de edad (A) y los sexos (B). Símbolos: B ▽, J1 ○, J2 ●, J3 ●, J4 ●, A1 △, A2 △, A3 ▲, Machos ■, Hembras □, Especímenes no sexados *, 1 formas pequeñas, 2 formas grandes.

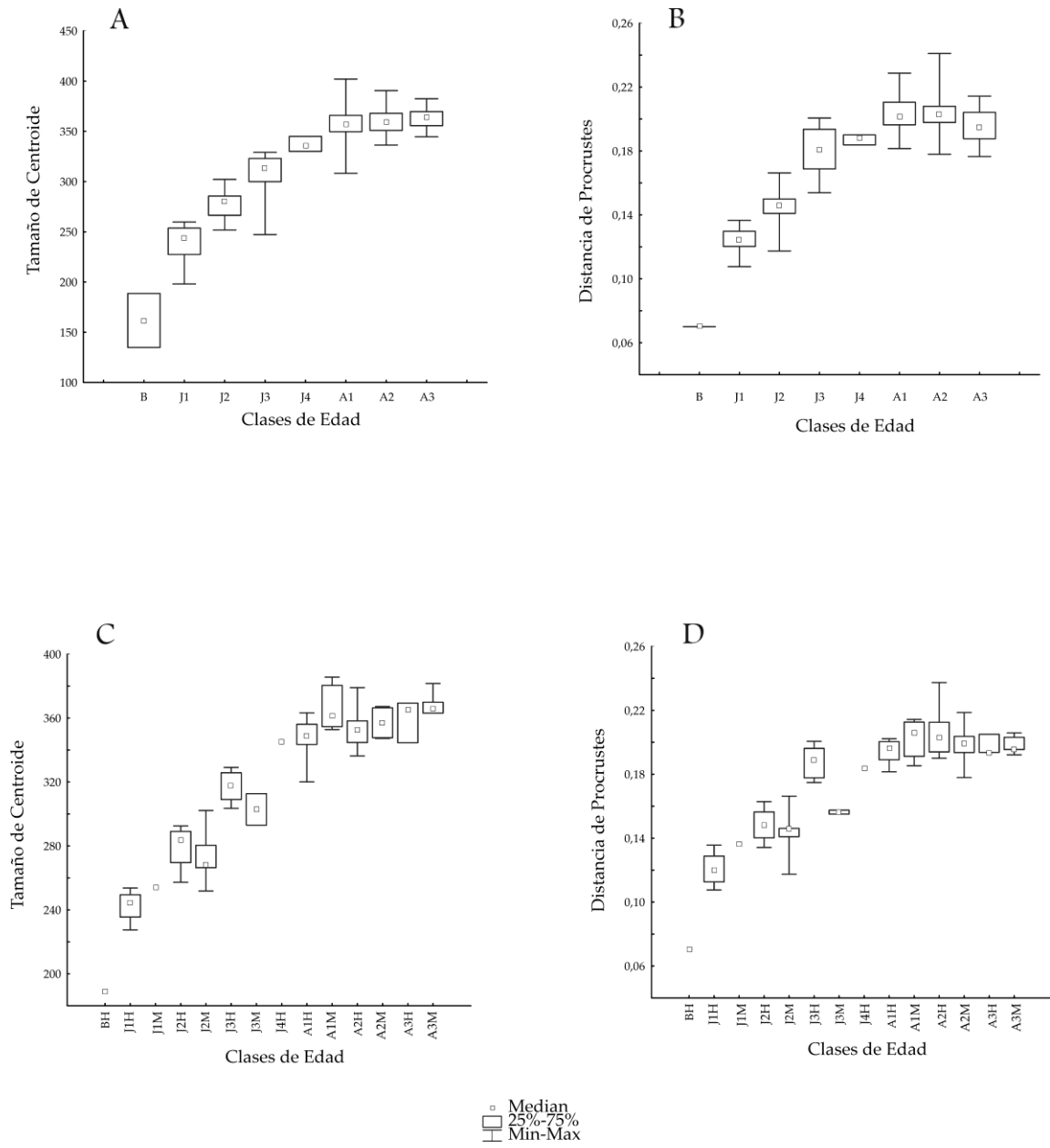


Fig. 16. Boxplots de *Cerdocyon thous* para tamaño y forma craneana contra clases de edad. Tamaño de centroide (A) y distancia de Procrustes (B) del cráneo sin tener en cuenta el sexo. Tamaño de centroide (C) y distancia de Procrustes (D) teniendo en cuenta el sexo. Los boxplots incluyeron mediana, mínimo y máximo, y cuartiles superiores e inferiores (75 y 25%, respectivamente).

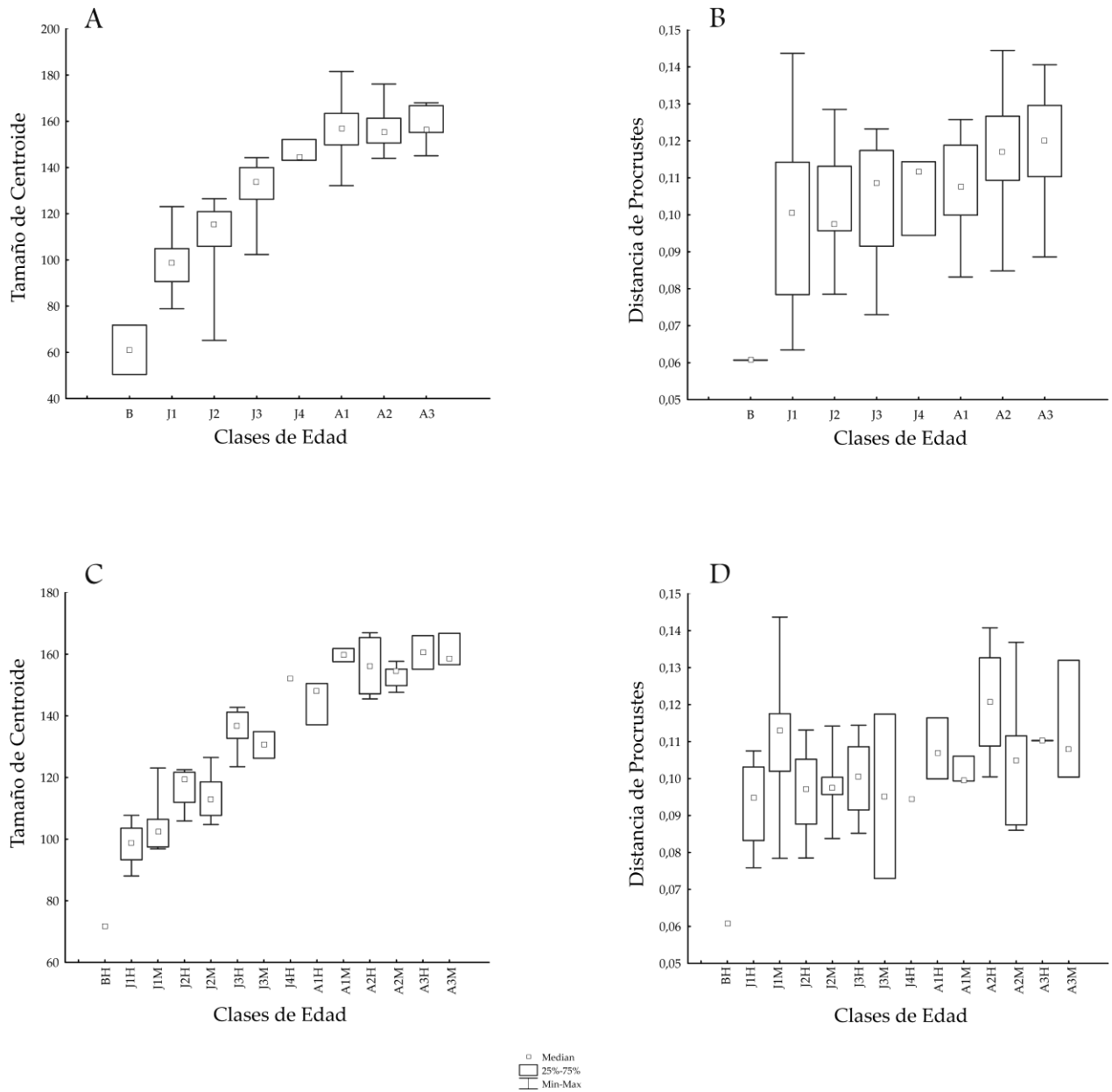


Fig.17. Boxplots de *Cerdocyon thous* para tamaño y forma mandibular contra clases de edad. Tamaño de centroide (A) y distancia de Procrustes (B) de la mandíbula sin tener en cuenta el sexo. Tamaño de centroide (C) y distancia de Procrustes (D) teniendo en cuenta el sexo. Los boxplots incluyeron mediana, mínimo y máximo, y cuartiles superiores e inferiores (75 y 25%, respectivamente).

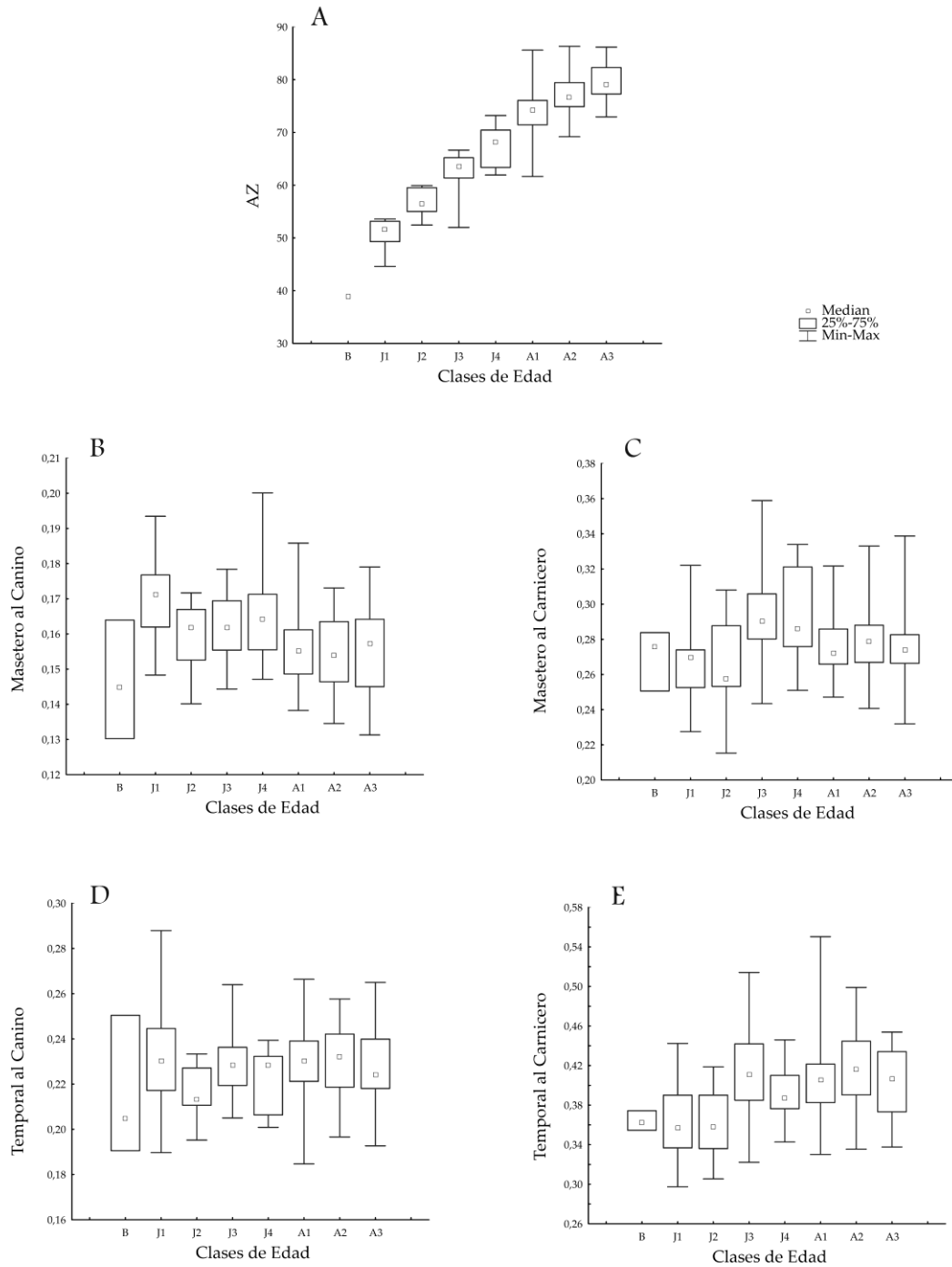


Fig. 18. Boxplots de *Cerdocyon thous* para ventajas mecánicas contra clases de edad. Tamaño de los músculos masticatorios (A), ventaja mecánica del músculo masetero al canino (B), ventaja mecánica del músculo masetero al carnicero (C), ventaja mecánica del músculo temporal al canino (D), ventaja mecánica del músculo temporal al carnicero (E). Los boxplots incluyeron mediana, mínimo y máximo, y cuartiles superiores e inferiores (75 y 25%, respectivamente).

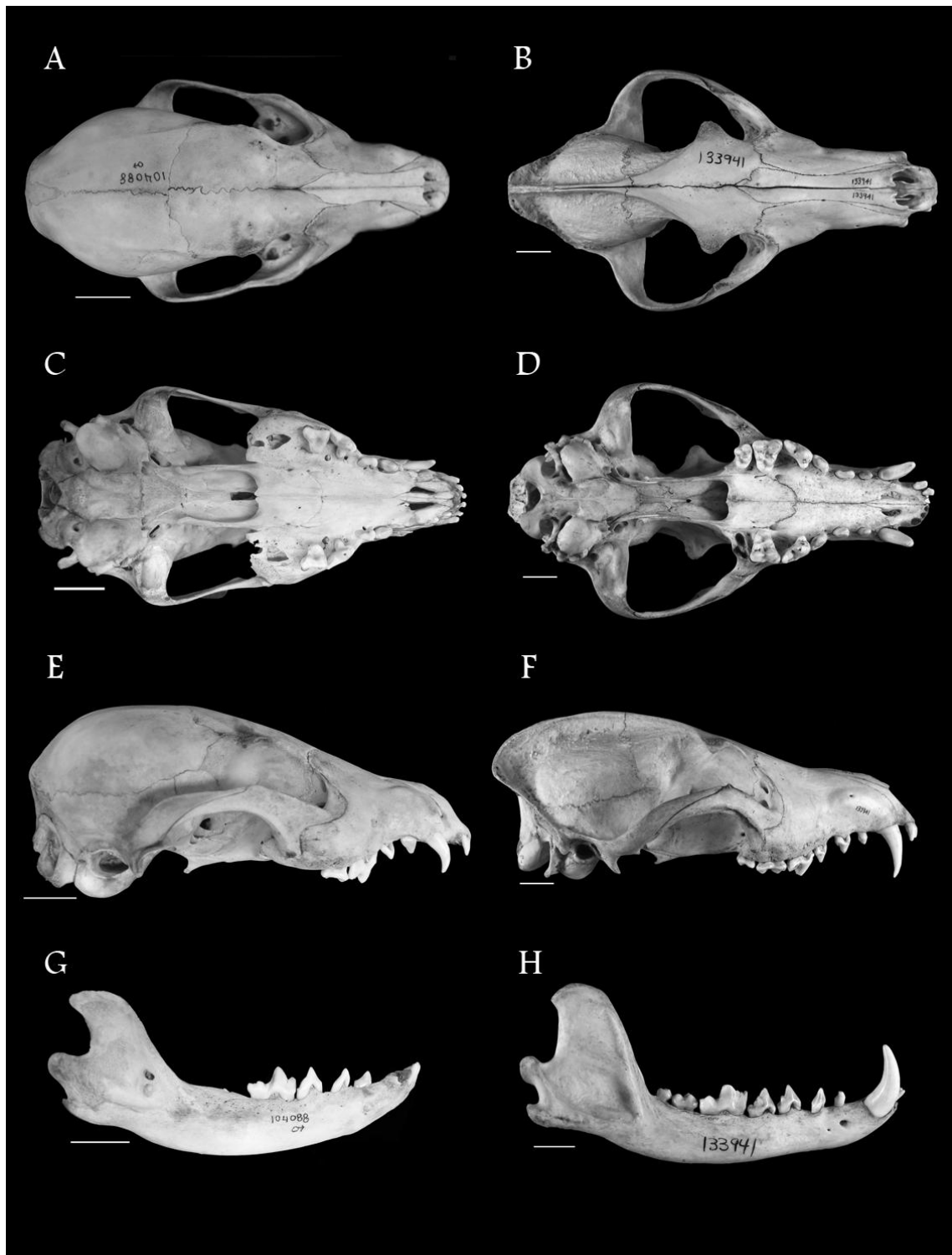
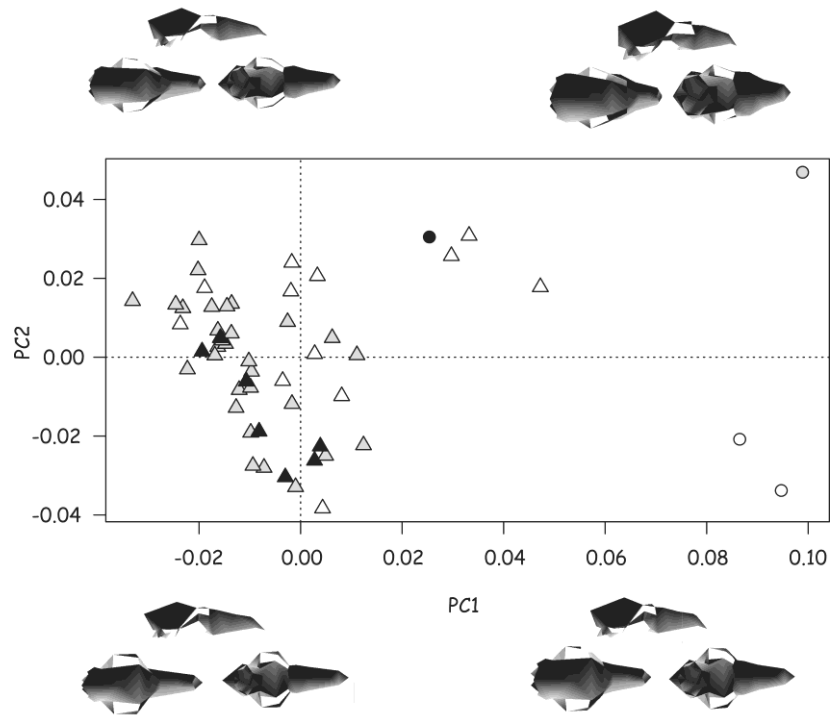


Fig. 19. *Chrysocyon brachyurus*. Vista dorsal, ventral, lateral y mandíbula del ejemplar J1: FMNH 104088 (A-C-E-G) y A2: AMNH 133941 (B-D-F-H). Escala: 2 cm.

A



B

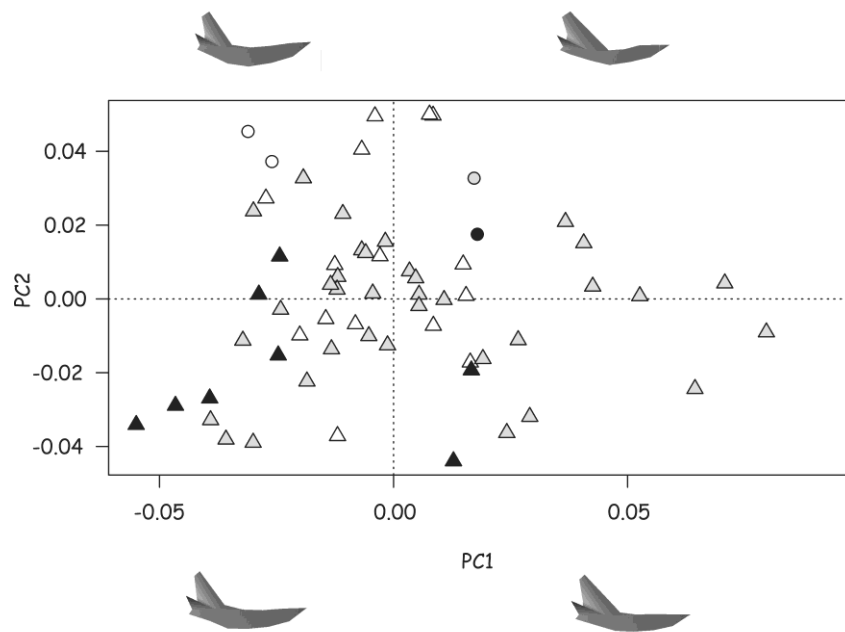


Fig. 20. PC1 vs PC2 para cráneo (A) y mandíbula (B) de *Chrysocyon brachyurus*. Símbolos: J1 ○, J2 ●, J4 ●, A1 △, A2 △, A3 ▲.

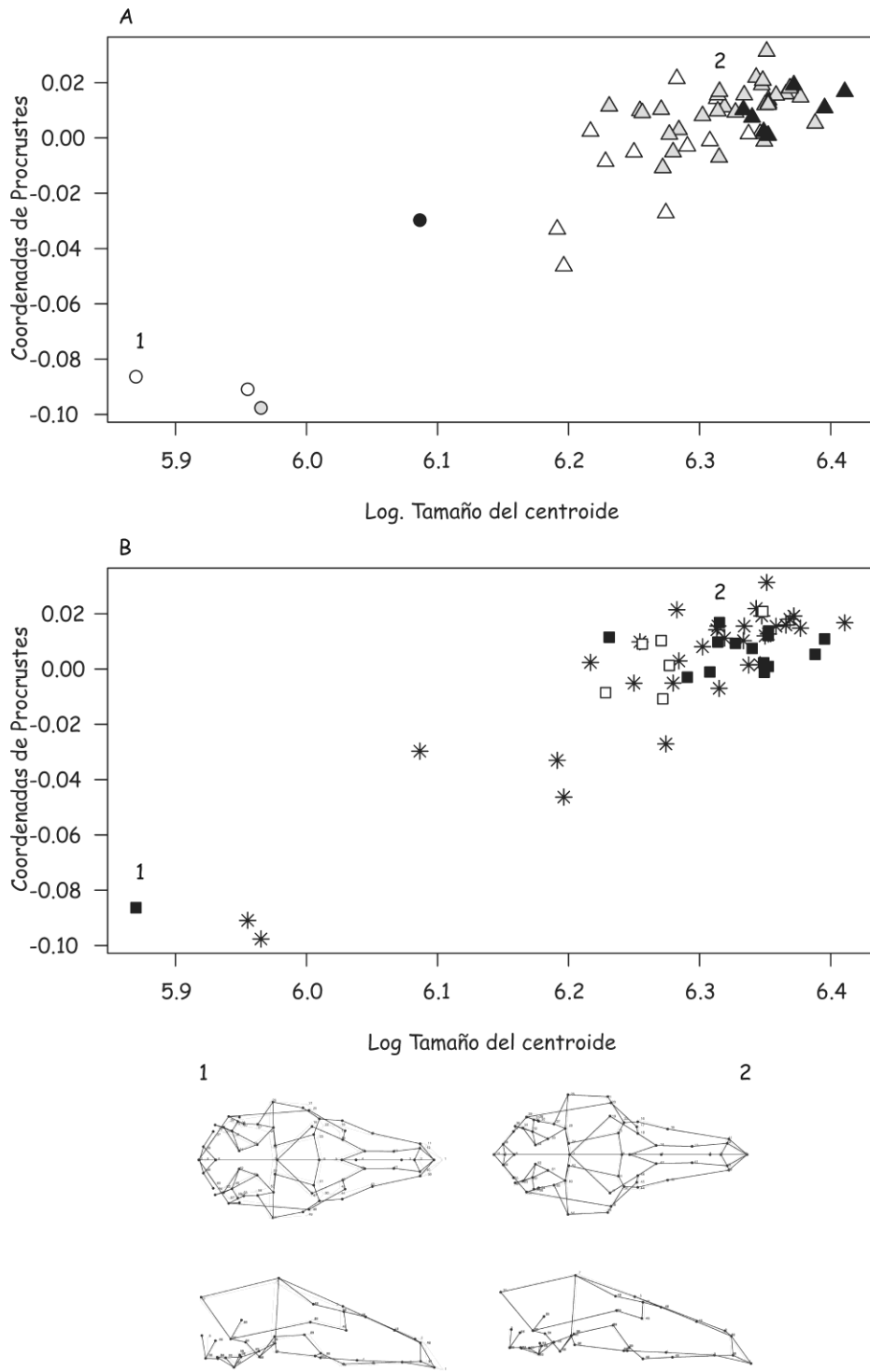


Fig.21. Regresión de coordenadas de Procrustes contra tamaño de centroide log-transformado para cráneos de *Chrysocyon brachyurus*, teniendo en cuenta las clases de edad (A) y los sexos (B). Símbolos: J1 ○, J2 ●, J4 ●, A1 △, A2 △, A3 ▲, Machos ■, Hembras □, Especímenes no sexados *, 1 formas pequeñas, 2 formas grandes.

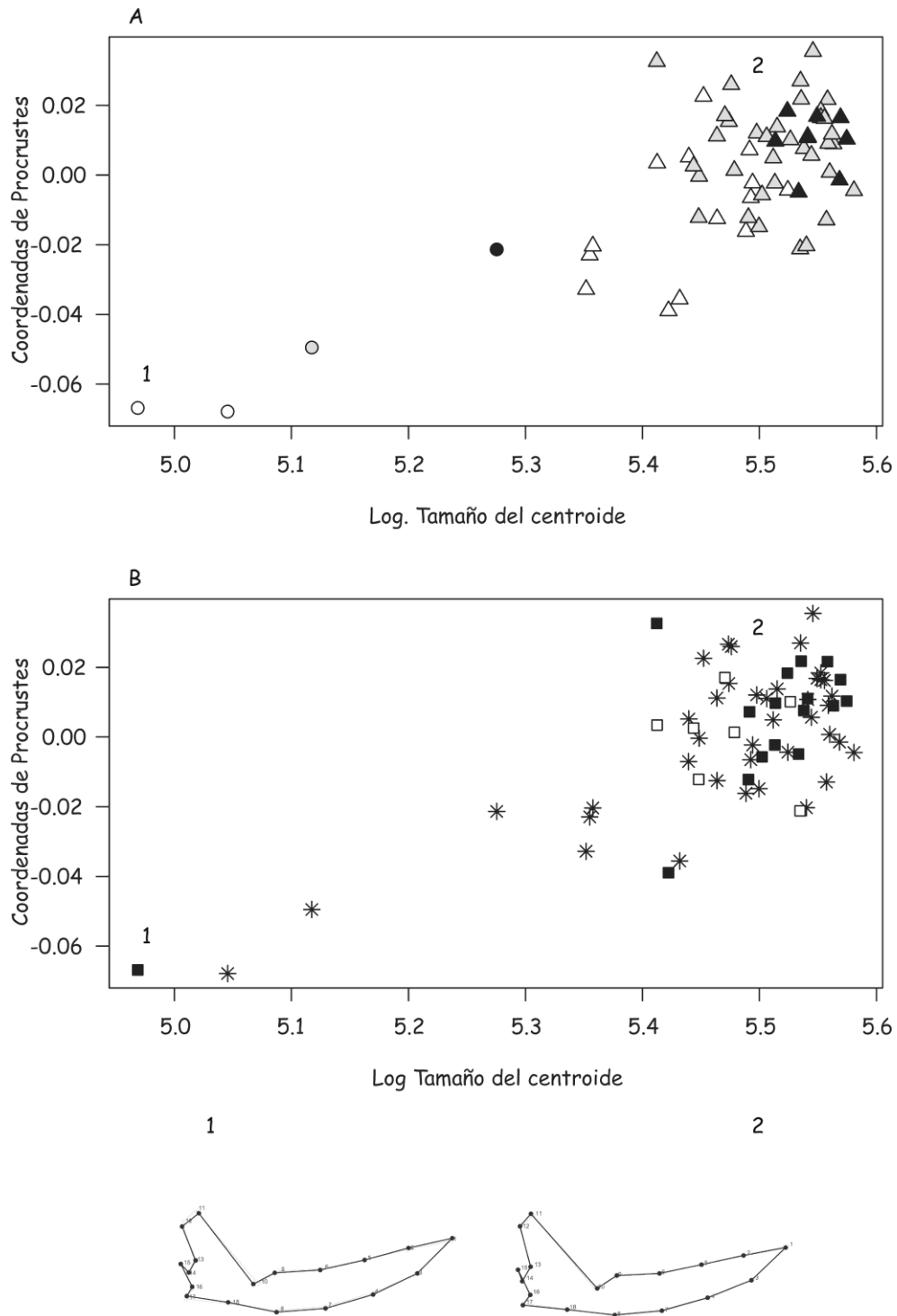


Fig. 22. Regresión de coordenadas de Procrustes contra tamaño de centroide log-transformado para mandíbulas de *Chrysocyon brachyurus*, teniendo en cuenta las clases de edad. Símbolos: J1 ○, J2 ●, J4 ●, A1 △, A2 △, A3 ▲, Machos ■, Hembras □, Especímenes no sexados *, 1 formas pequeñas, 2 formas grandes.

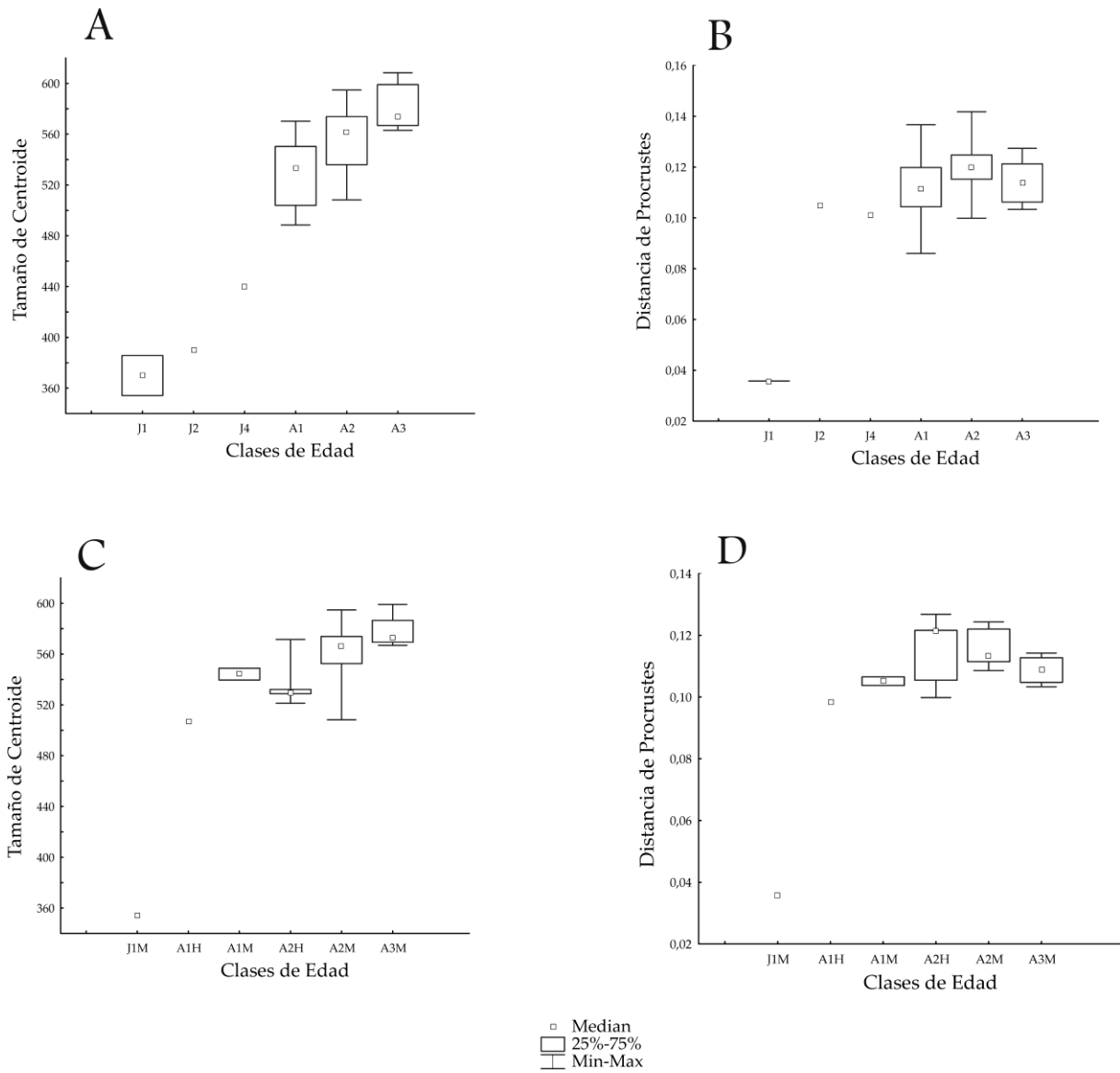


Fig. 23. Boxplots de *Chrysocyon brachyurus* para tamaño y forma craneana contra clases de edad. Tamaño de centroide (A) y distancia de Procrustes (B) del cráneo sin tener en cuenta el sexo. Tamaño de centroide (C) y distancia de Procrustes (D) teniendo en cuenta el sexo. Los boxplots incluyeron mediana, mínimo y máximo, y cuartiles superiores e inferiores (75 y 25%, respectivamente).

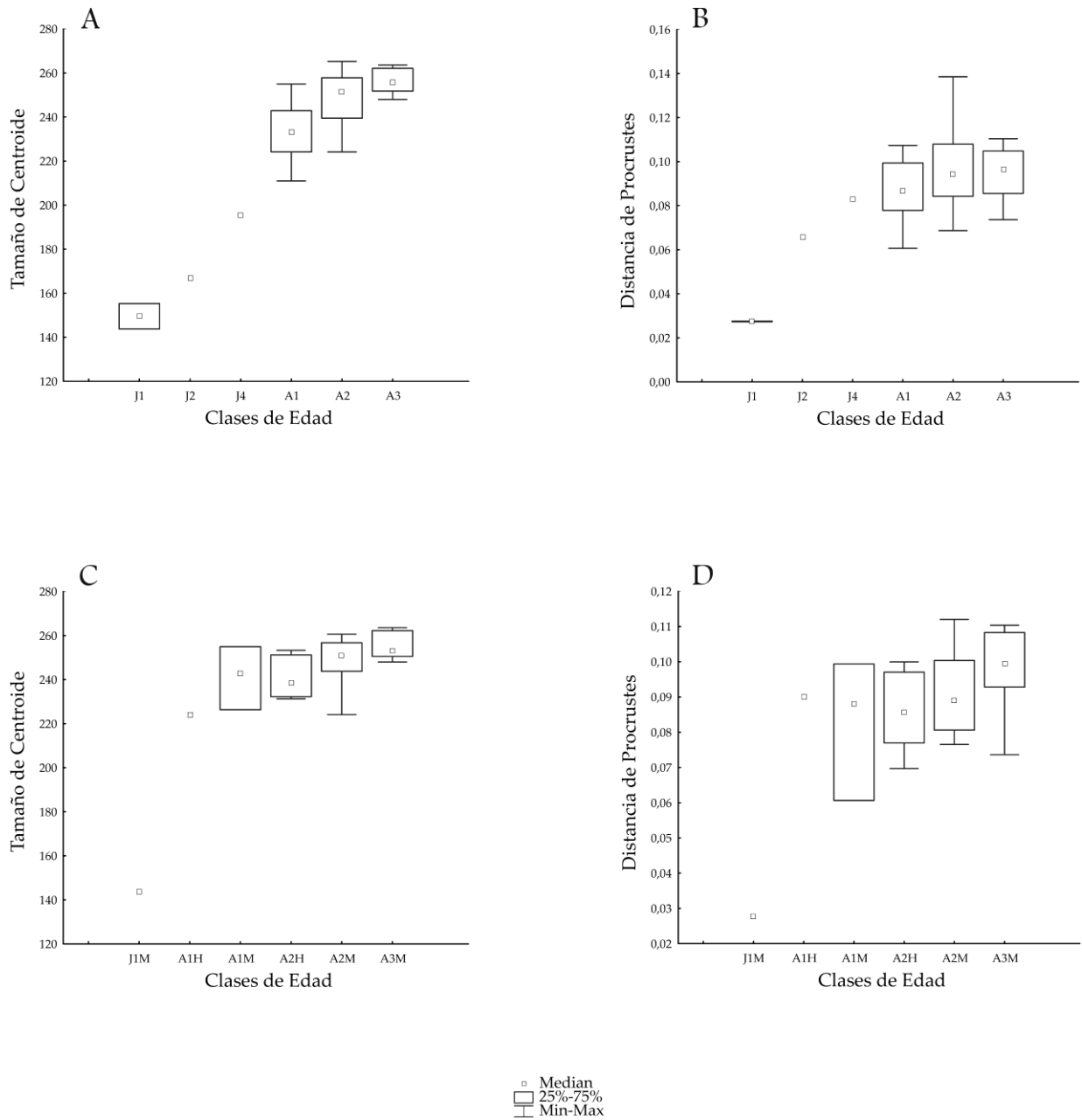


Fig. 24. Boxplots de *Chrysocyon brachyurus* para tamaño y forma mandibular contra clases de edad. Tamaño de centroide del cráneo (A) y distancia de Procrustes (B) de la mandíbula sin tener en cuenta el sexo. Tamaño de centroide del cráneo (C) y distancia de Procrustes (D) teniendo en cuenta el sexo. Los boxplots incluyeron mediana, mínimo y máximo, y cuartiles superiores e inferiores (75 y 25%, respectivamente).

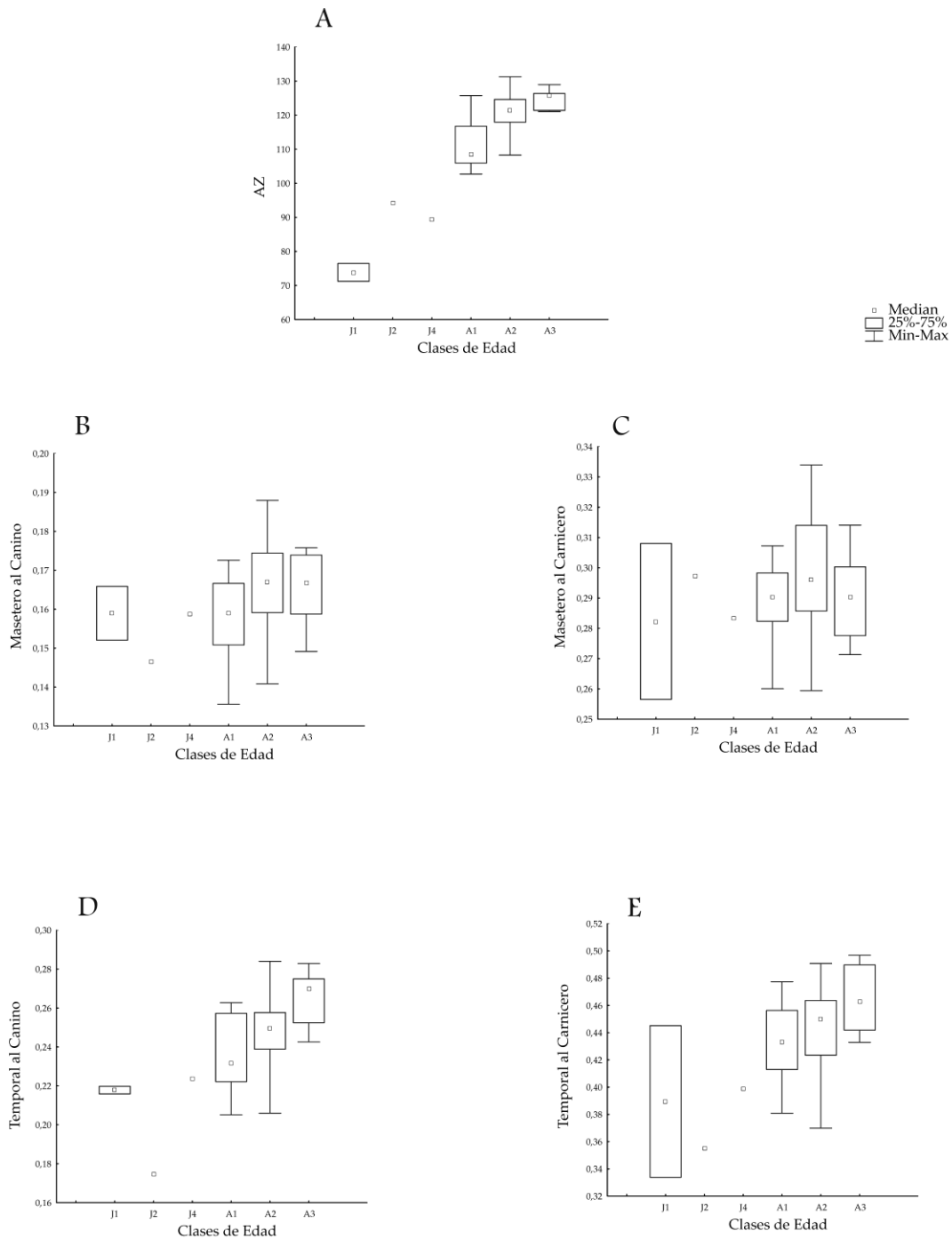


Fig. 25. Boxplots de *Chrysocyon brachyurus* para ventajas mecánicas contra clases de edad. Tamaño de los músculos masticatorios (A), ventaja mecánica del músculo masetero al canino (B), ventaja mecánica del músculo masetero al carnicero (C), ventaja mecánica del músculo temporal al canino (D), ventaja mecánica del músculo temporal al carnicero (E). Los boxplots incluyeron mediana, mínimo y máximo, y cuartiles superiores e inferiores (75 y 25%, respectivamente).

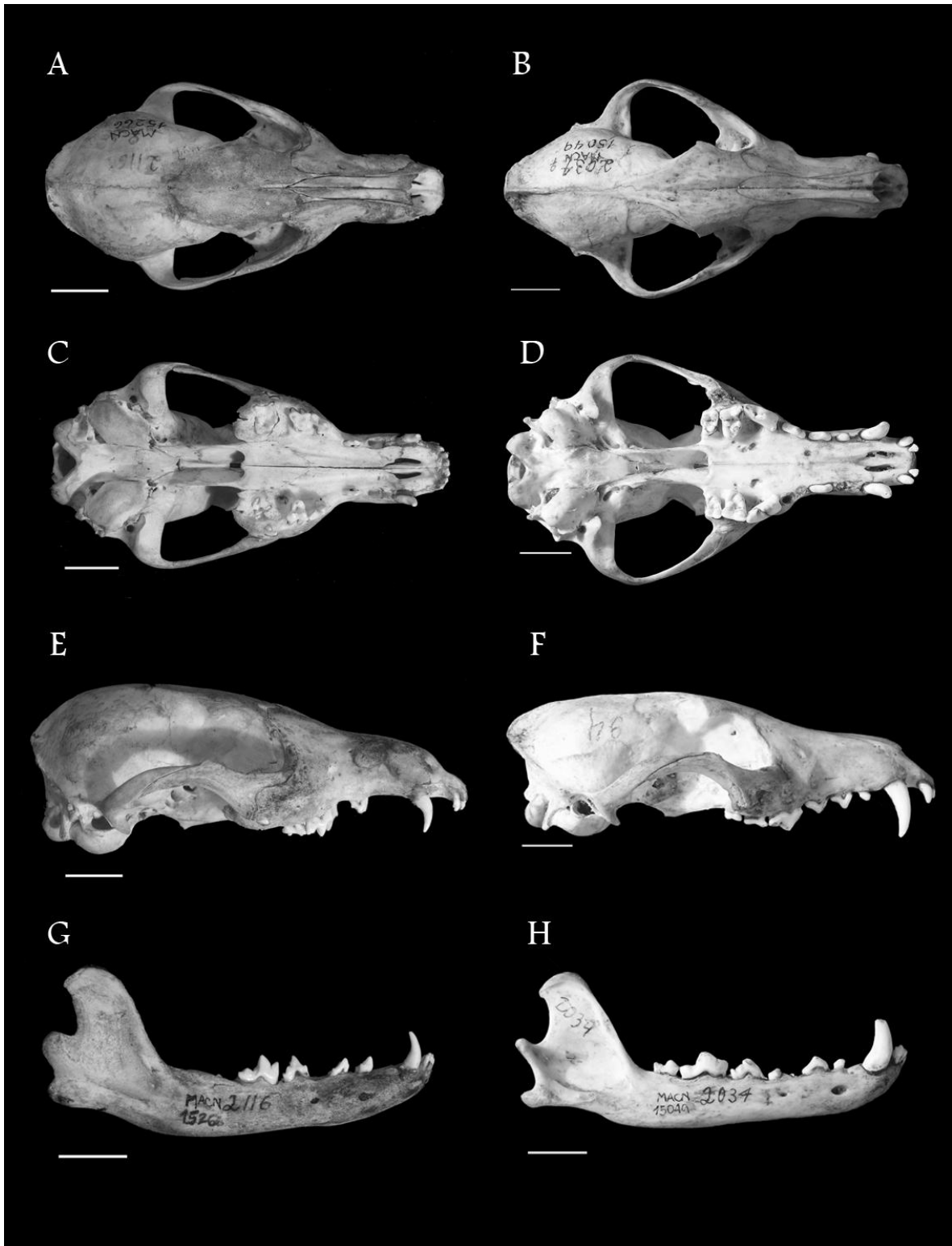
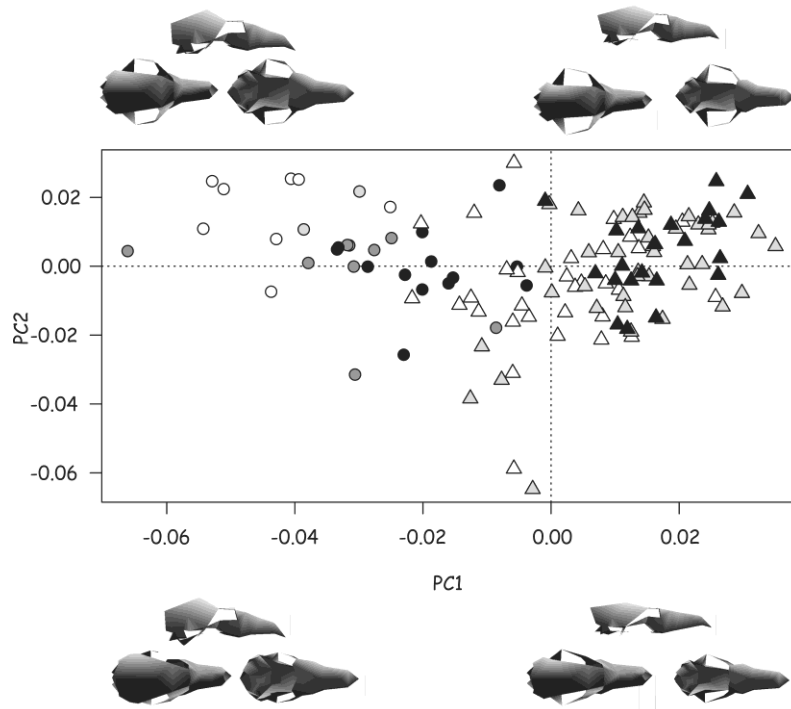


Fig. 26. *Lycalopex culpaeus*. Vista dorsal, ventral, lateral y mandíbula del ejemplar J1: MACN 15266 (A-C-E-G) y A2: MACN 15049 (B-D-F-H). Escala: 2 cm.

A



B

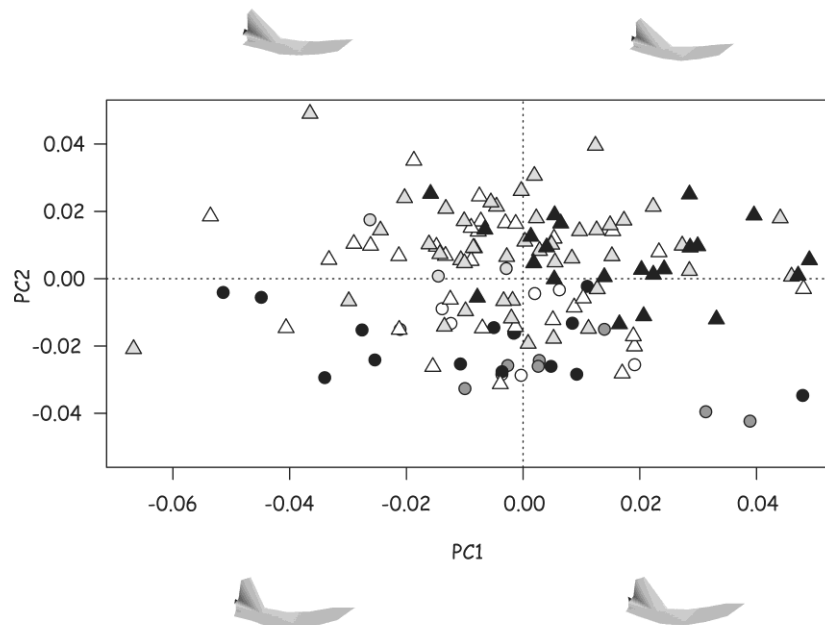


Fig. 27. PC1 vs PC2 para cráneo (A) y mandíbula (B) de *Lycalopex culpaeus*. Símbolos: J1 ○, J2 ●, J3 ●, J4 ●, A1 △, A2 △, A3 ▲.

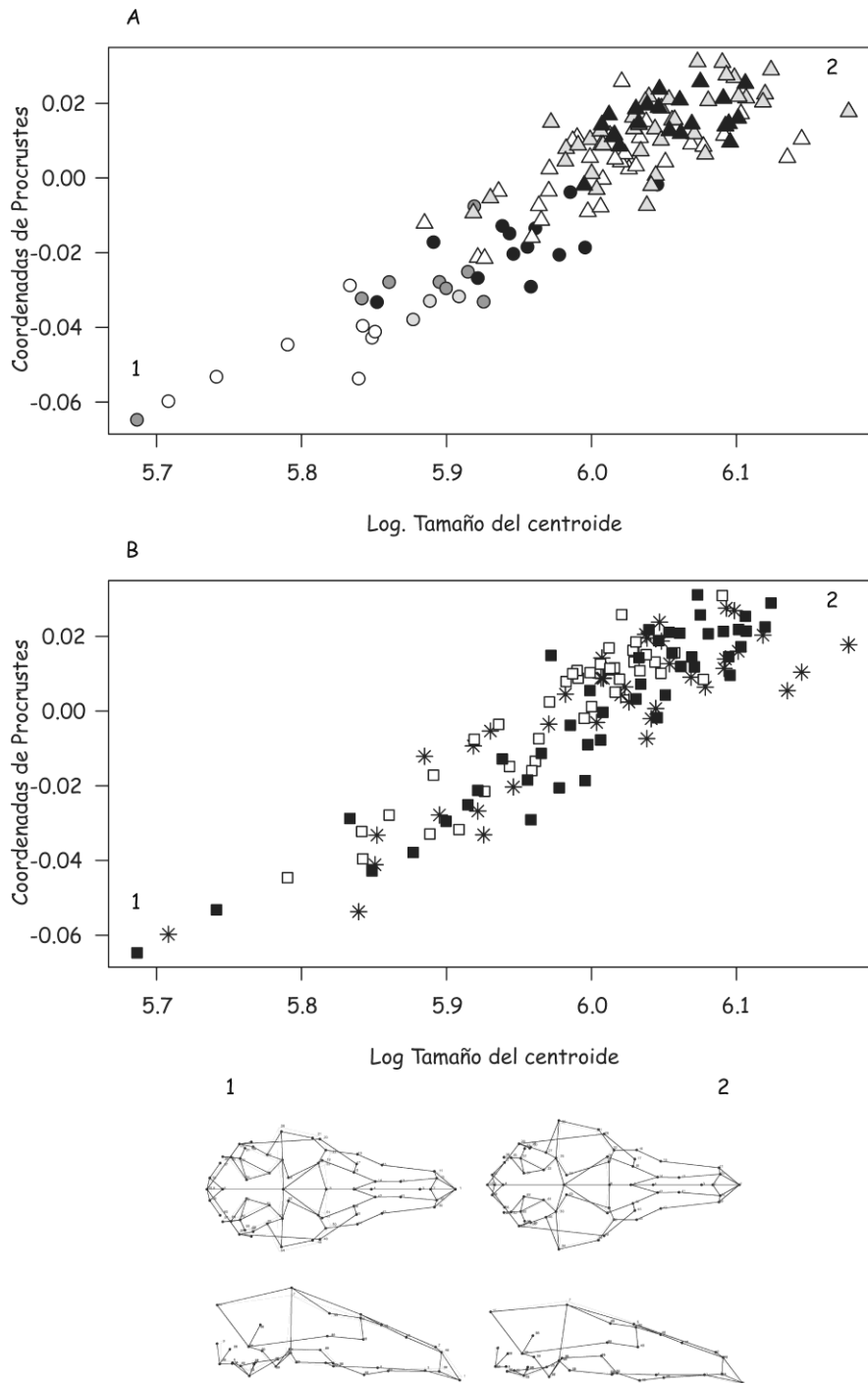


Fig. 28. Regresión de coordenadas de Procrustes contra tamaño de centroide log-transformado para cráneos de *Lycalopex culpaeus*, teniendo en cuenta las clases de edad (A) y los sexos (B). Símbolos: J1 ○, J2 ●, J3 ●, J4 ●, A1 △, A2 △, A3 ▲, Machos ■, Hembras □, Especímenes no sexados *, 1 formas pequeñas, 2 formas grandes.

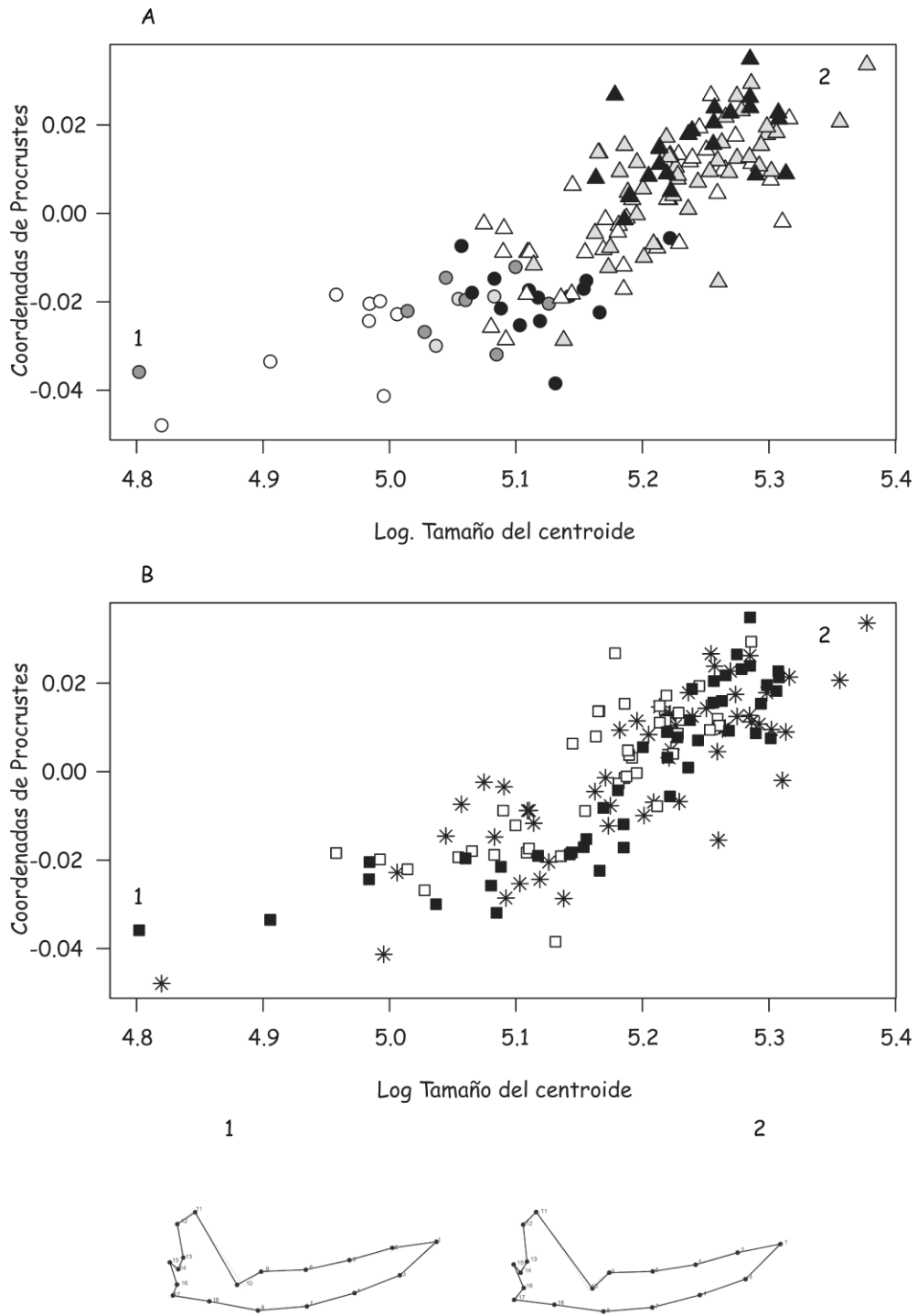


Fig. 29. Regresión de coordenadas de Procrustes contra tamaño de centroide log-transformado para mandíbulas de *Lycalopex culpaeus*, teniendo en cuenta las clases de edad (A) y los sexos (B). Símbolos: J1 ○, J2 ●, J3 ●, J4 ●, A1 △, A2 △, A3 ▲, Machos ■, Hembras □, Especímenes no sexados *, 1 formas pequeñas, 2 formas grandes.

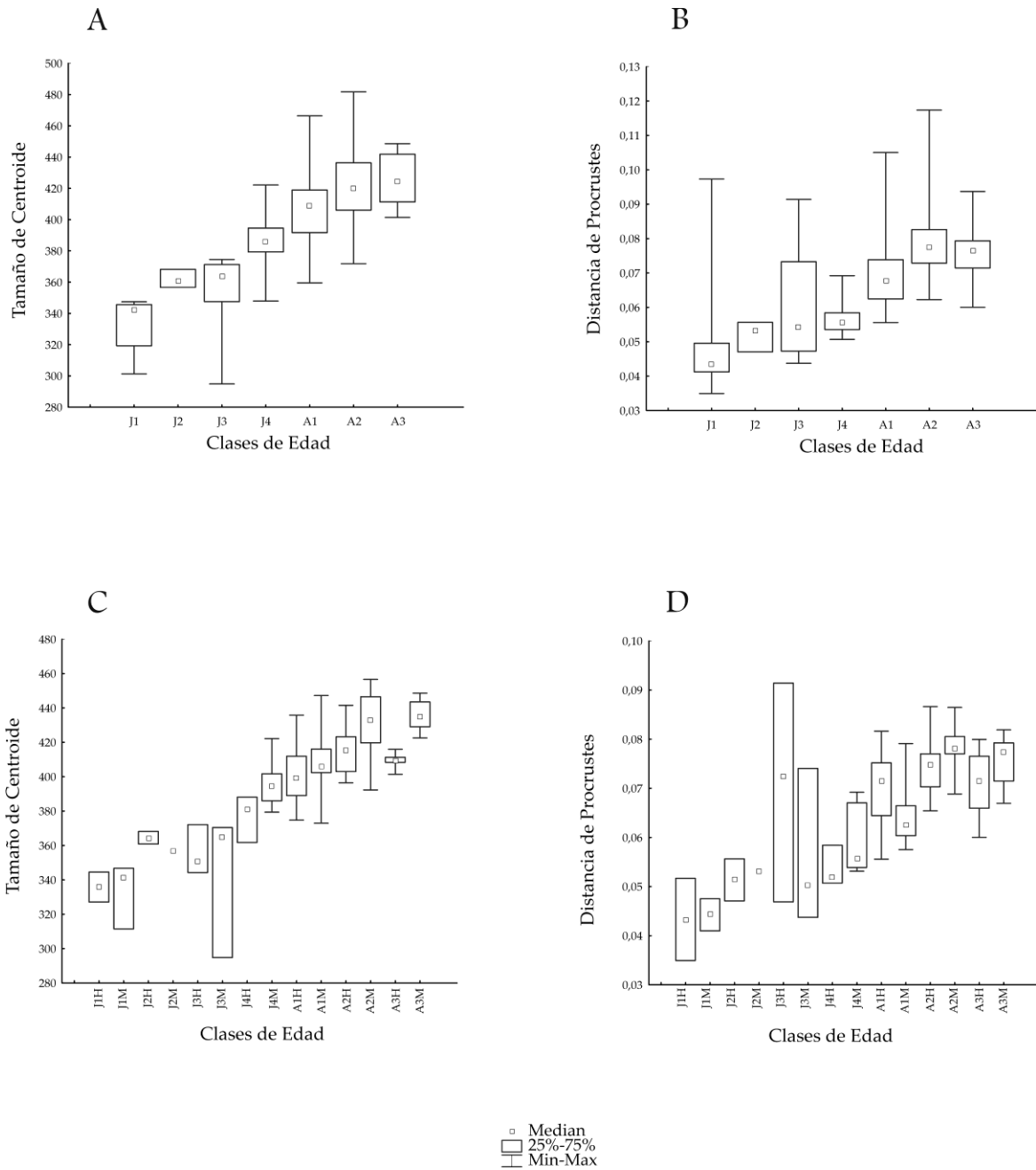


Fig. 30. Boxplots de *Lycalopex culpaeus* para tamaño y forma craneana contra clases de edad. Tamaño de centroide (A) y distancia de Procrustes (B) del cráneo sin tener en cuenta el sexo. Tamaño de centroide (C) y distancia de Procrustes (D) teniendo en cuenta el sexo. Los boxplots incluyeron mediana, mínimo y máximo, y cuartiles superiores e inferiores (75 y 25%, respectivamente).

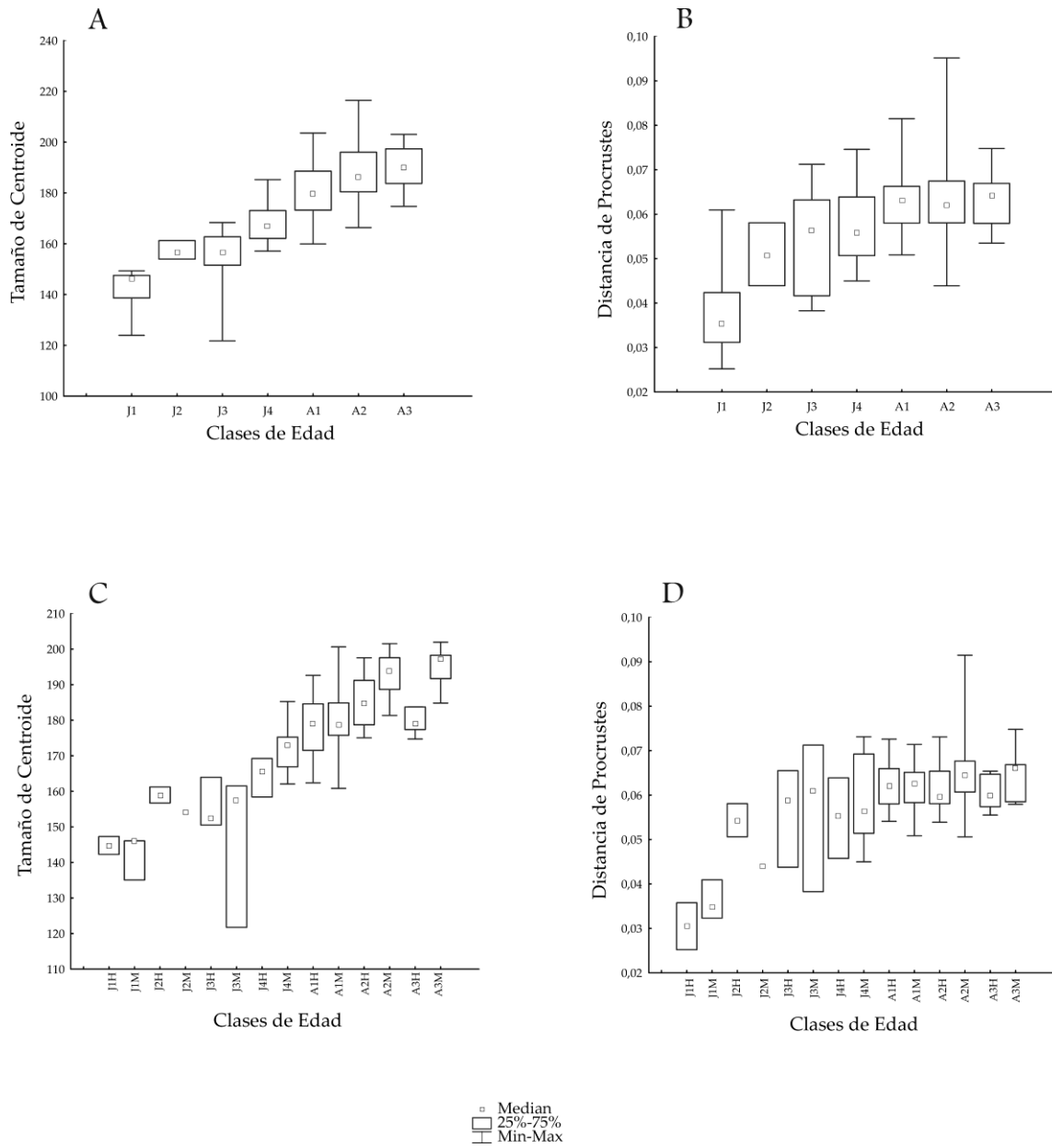


Fig. 31. Boxplots de *Lycalopex culpaeus* para tamaño y forma mandibular contra clases de edad. Tamaño de centroide del cráneo (A) y distancia de Procrustes (B) de la mandíbula sin tener en cuenta el sexo. Tamaño de centroide del cráneo (C) y distancia de Procrustes (D) teniendo en cuenta el sexo. Los boxplots incluyeron mediana, mínimo y máximo, y cuartiles superiores e inferiores (75 y 25%, respectivamente).

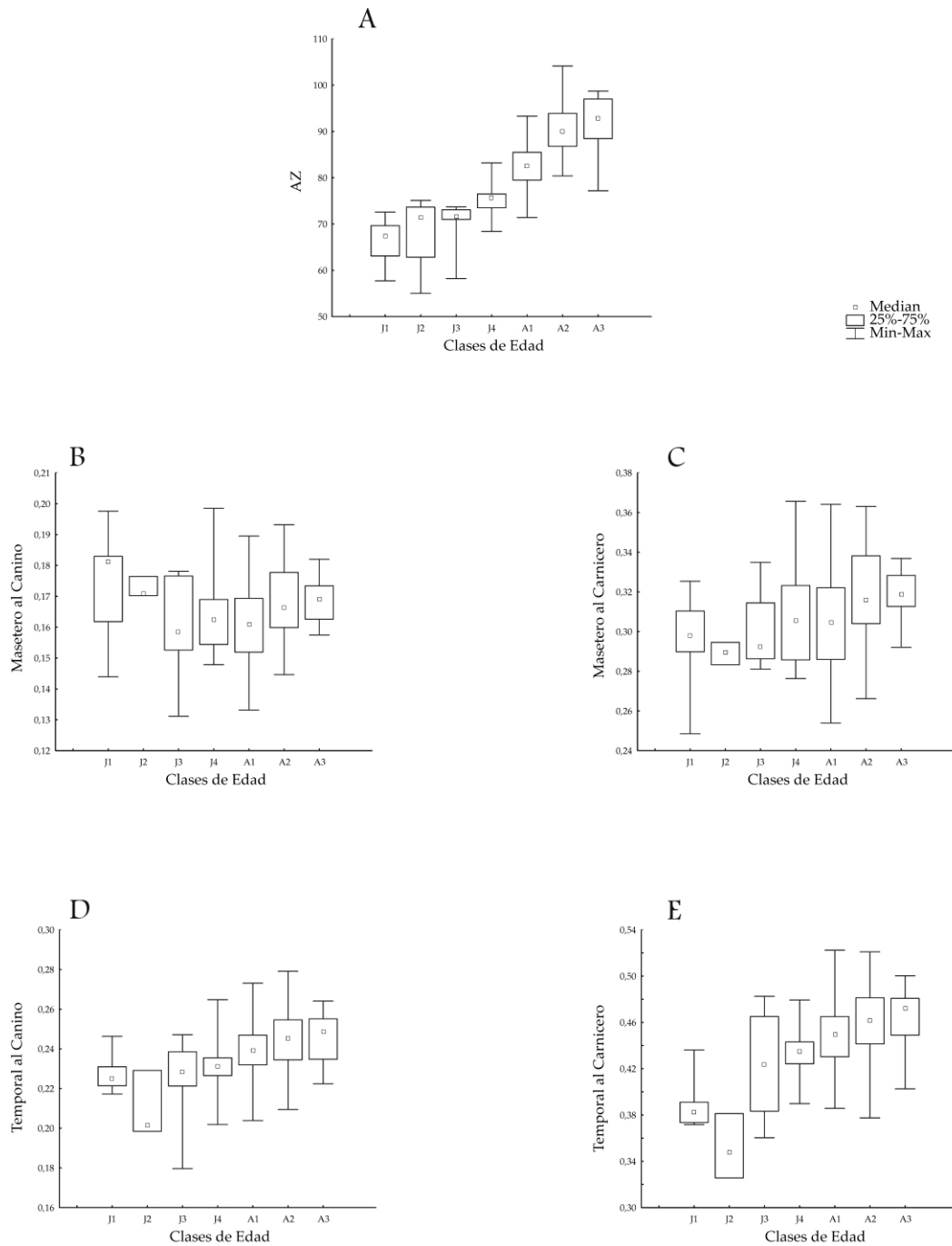


Fig. 32. Boxplots de *Lycalopex culpaeus* para ventajas mecánicas contra clases de edad. Tamaño de los músculos masticatorios (A), ventaja mecánica del músculo masetero al canino (B), ventaja mecánica del músculo masetero al carnicero (C), ventaja mecánica del músculo temporal al canino (D), ventaja mecánica del músculo temporal al carnicero (E). Los boxplots incluyeron mediana, mínimo y máximo, y cuartiles superiores e inferiores (75 y 25%, respectivamente).

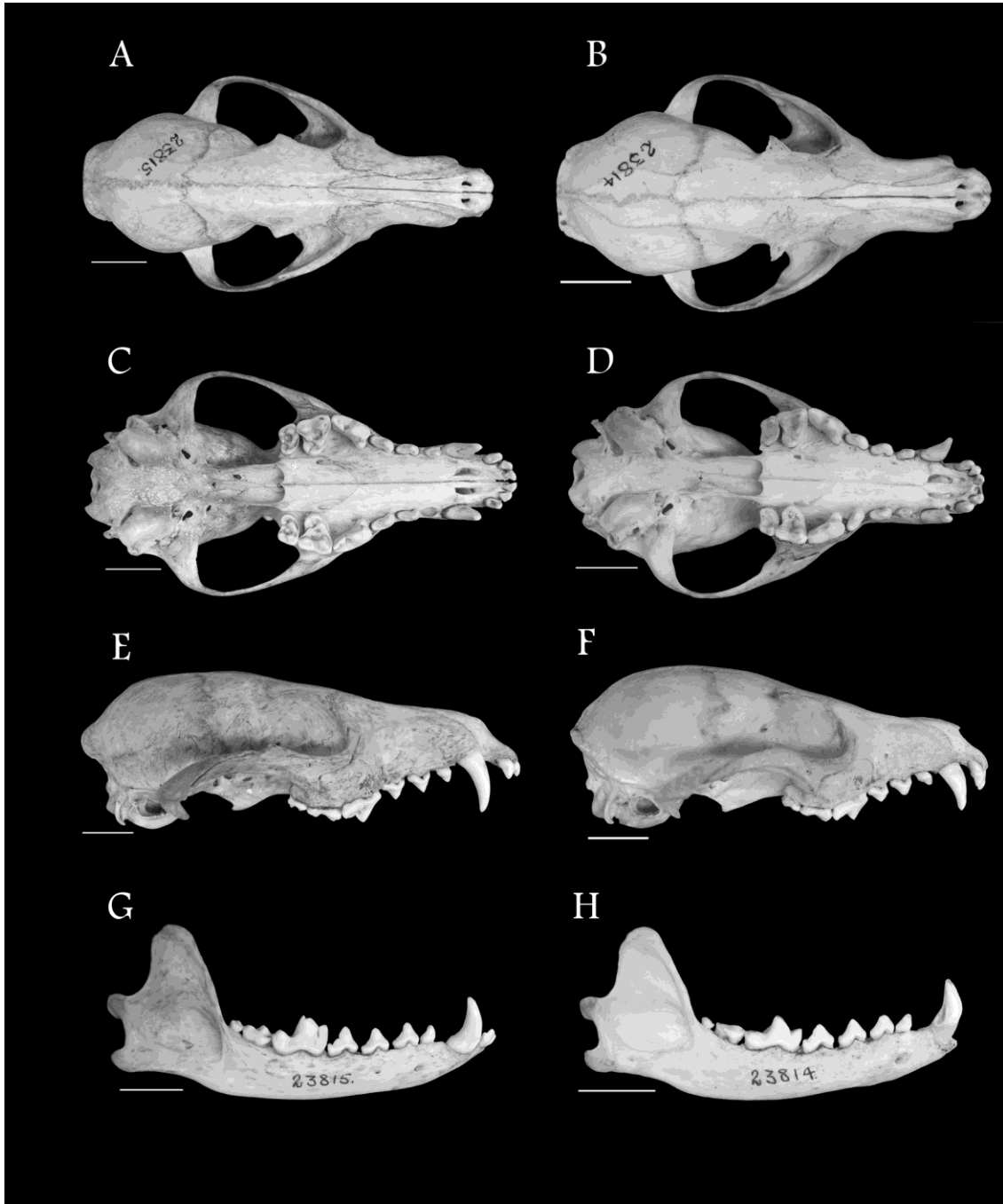


Fig. 33. *Lycalopex fulvipes*. Vista dorsal, ventral, lateral y mandíbula del ejemplar A1: FMNH 23815 (A-C-E-G) y A3: FMNH 23814 (B-D-F-H). Escala: 2 cm.

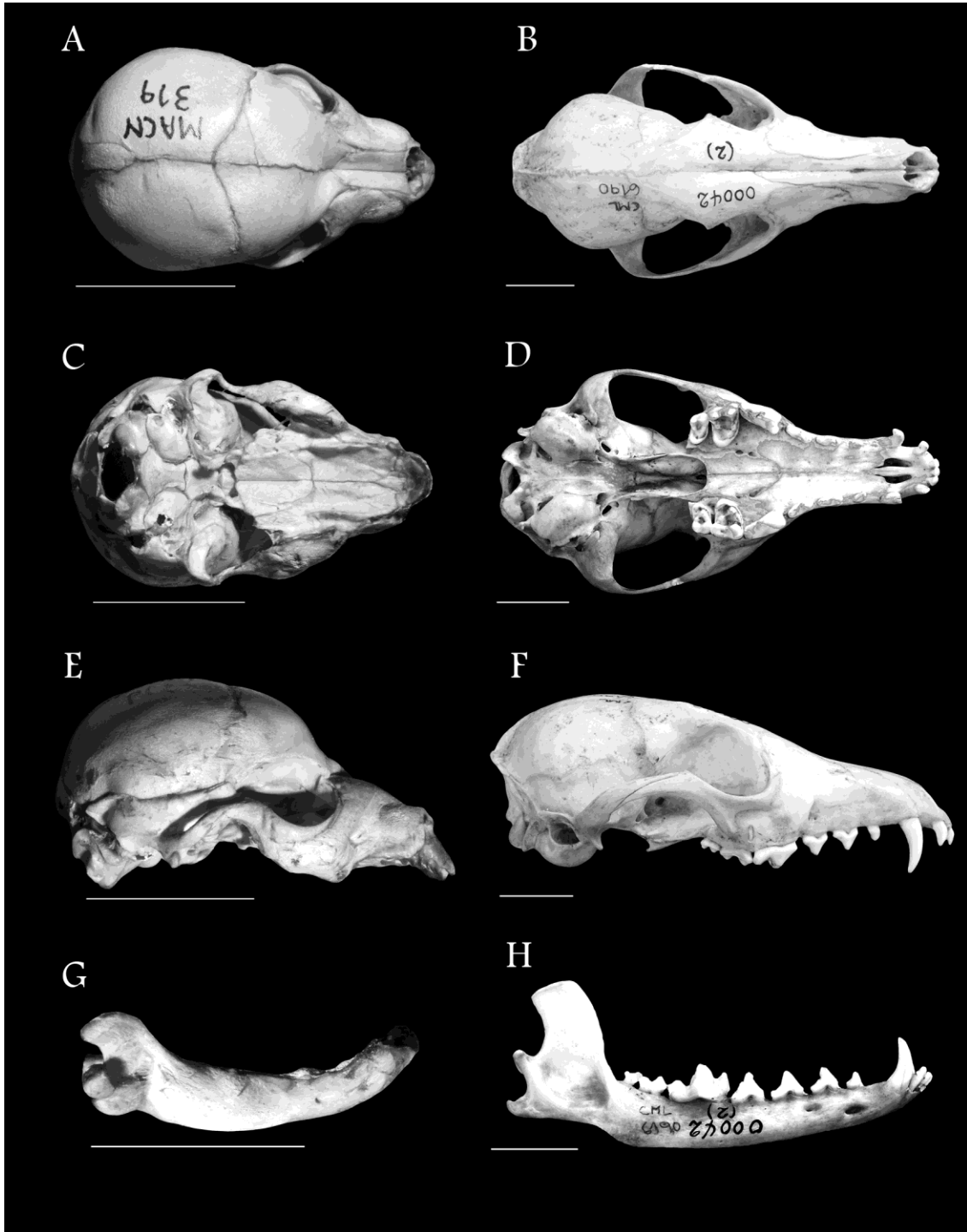
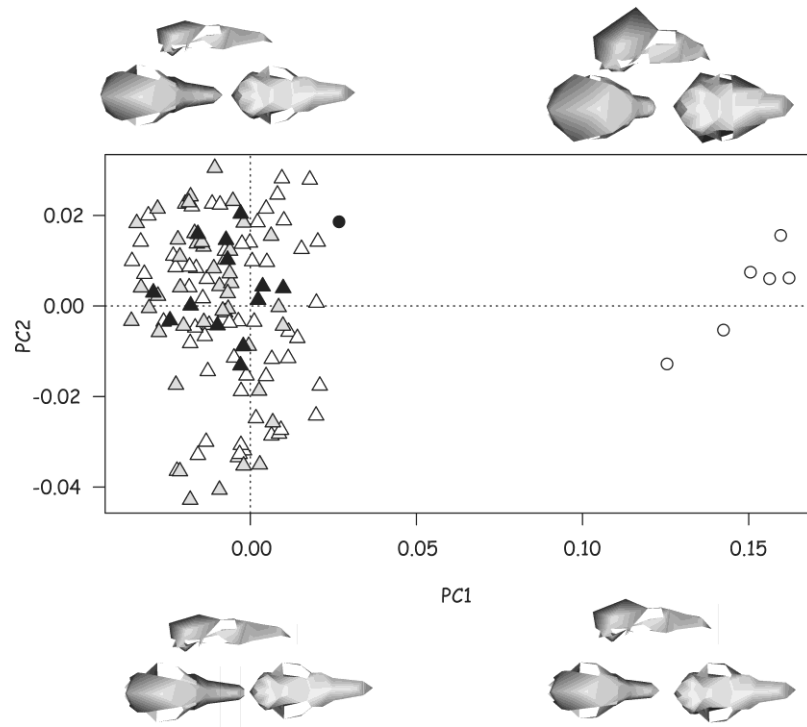


Fig. 34. *Lycalopex griseus*. Vista dorsal, ventral, lateral y mandíbula del ejemplar B: MACN 319 (A-C-E-G) y A2: CML 6190 (B-D-F-H). Escala: 2 cm.

A



B

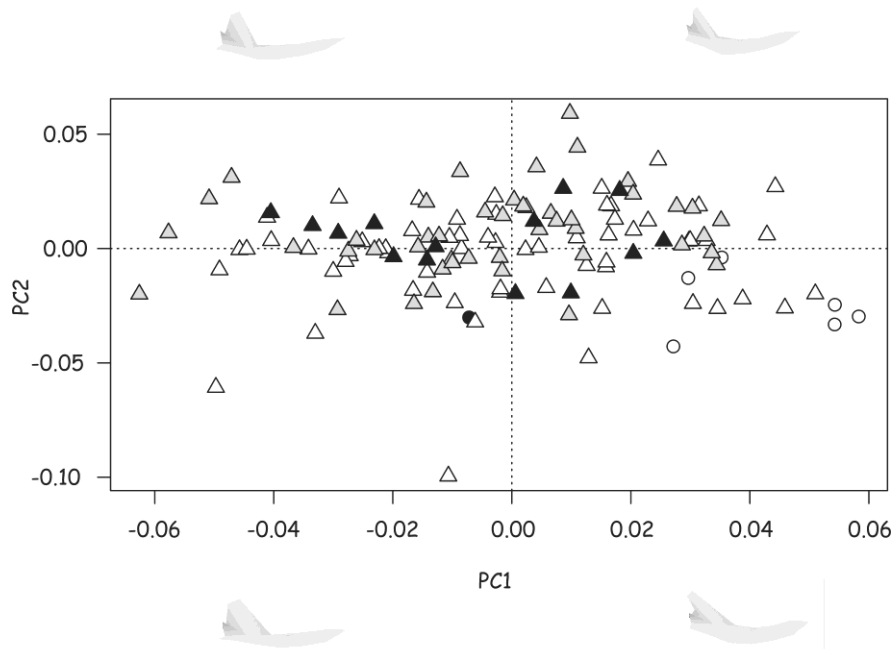


Fig. 35. PC1 vs PC2 para cráneo (A) y mandíbula (B) de *Lycalopex griseus*. Símbolos: J1 ○, J4 ●, A1 △, A2 △, A3 ▲.

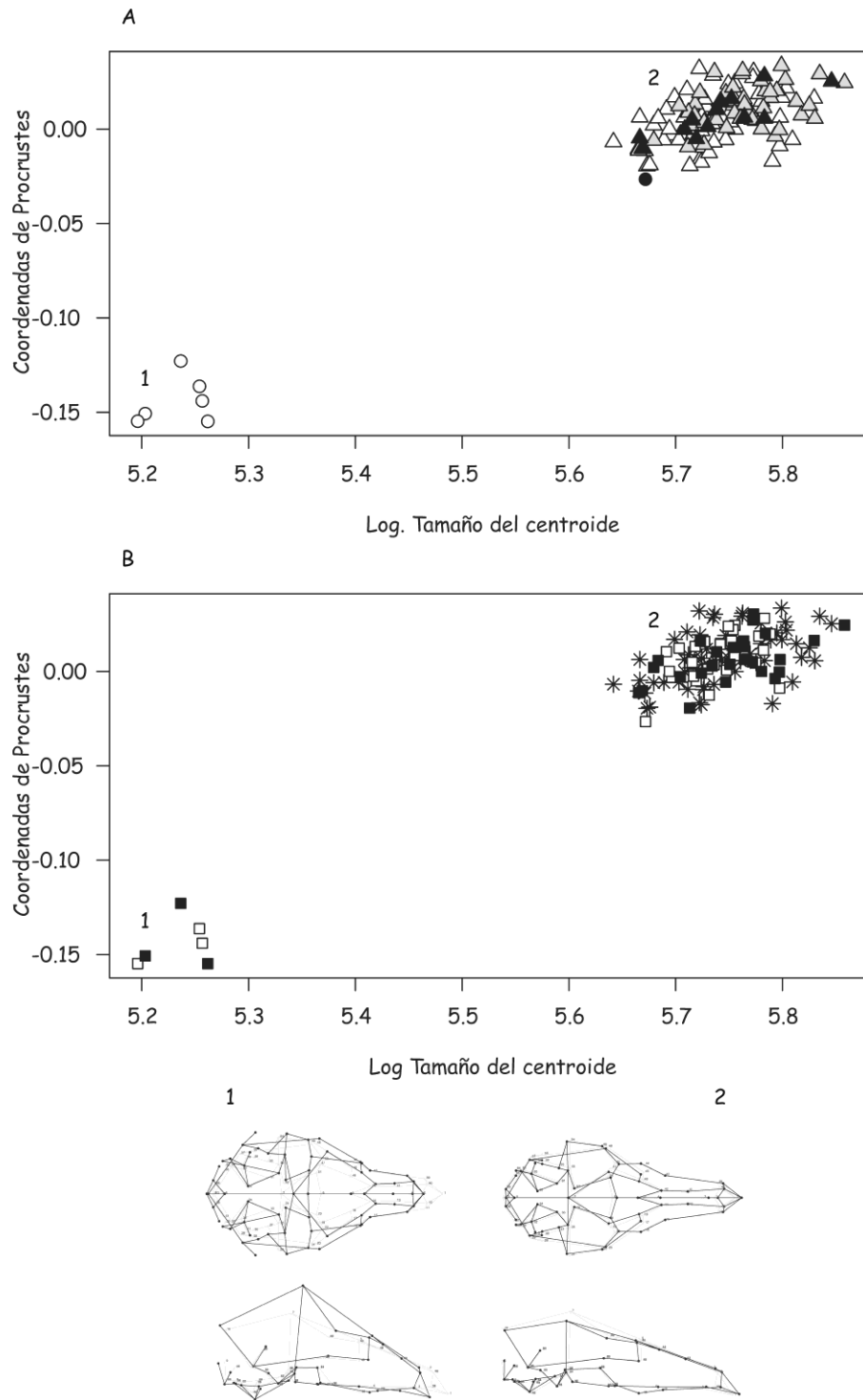


Fig. 36. Regresión de coordenadas de Procrustes contra tamaño de centroide log-transformado para cráneos de *Lycalopex griseus*, teniendo en cuenta las clases de edad (A) y los sexos (B). Símbolos: J1 ○, J4 ●, A1 △, A2 △, A3 ▲, Machos ■, Hembras □, Especímenes no sexados *, 1 formas pequeñas, 2 formas grandes.

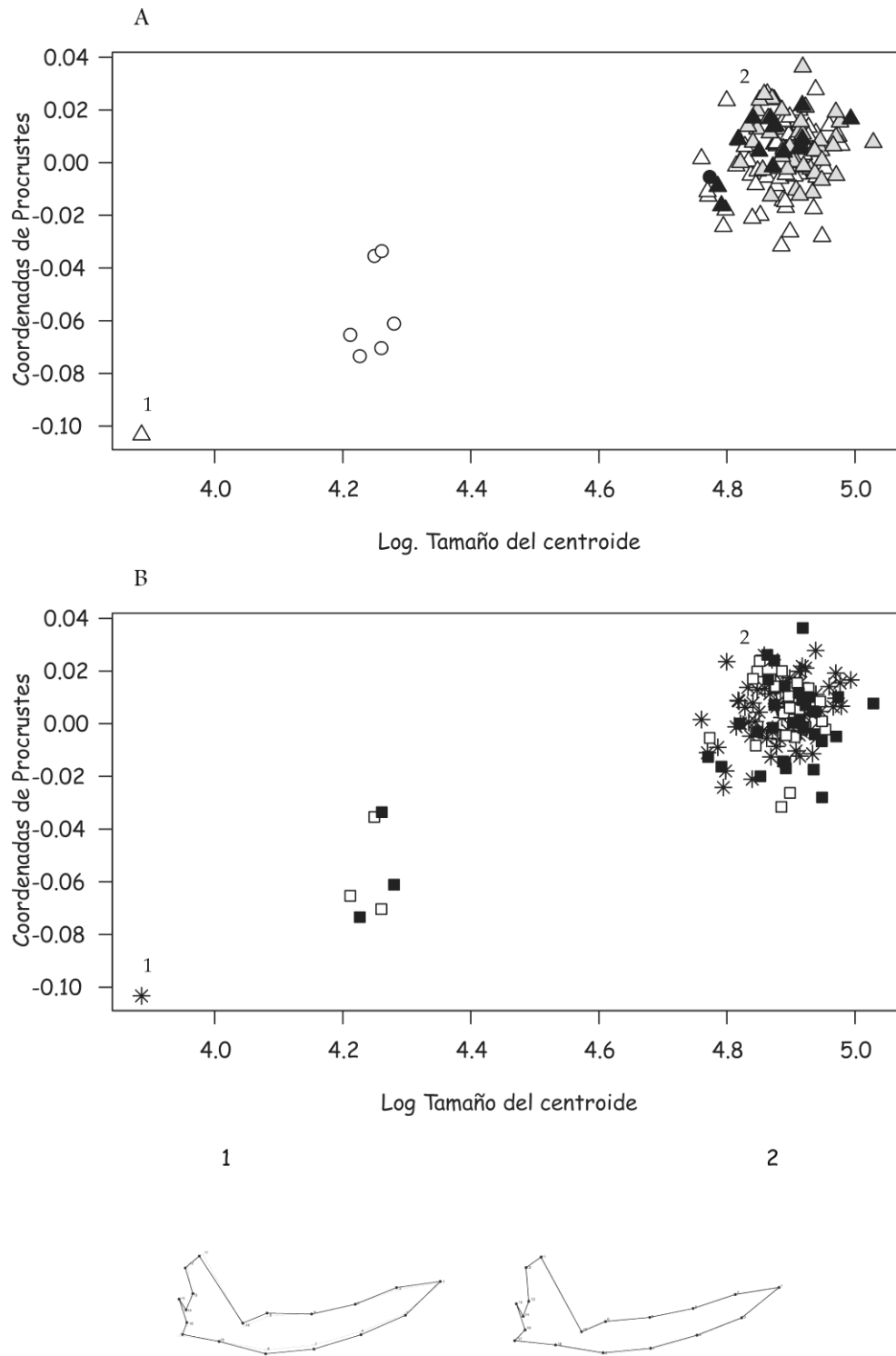


Fig. 37. Regresión de coordenadas de Procrustes contra tamaño de centroide log-transformado para mandíbulas de *Lycalopex griseus*, teniendo en cuenta las clases de edad (A) y los sexos (B). Símbolos: J1 \square , J4 \bullet , A1 \triangle , A2 \triangle , A3 \blacktriangle , Machos \blacksquare , Hembras \square , Especímenes no sexados $*$, 1 formas pequeñas, 2 formas grandes.

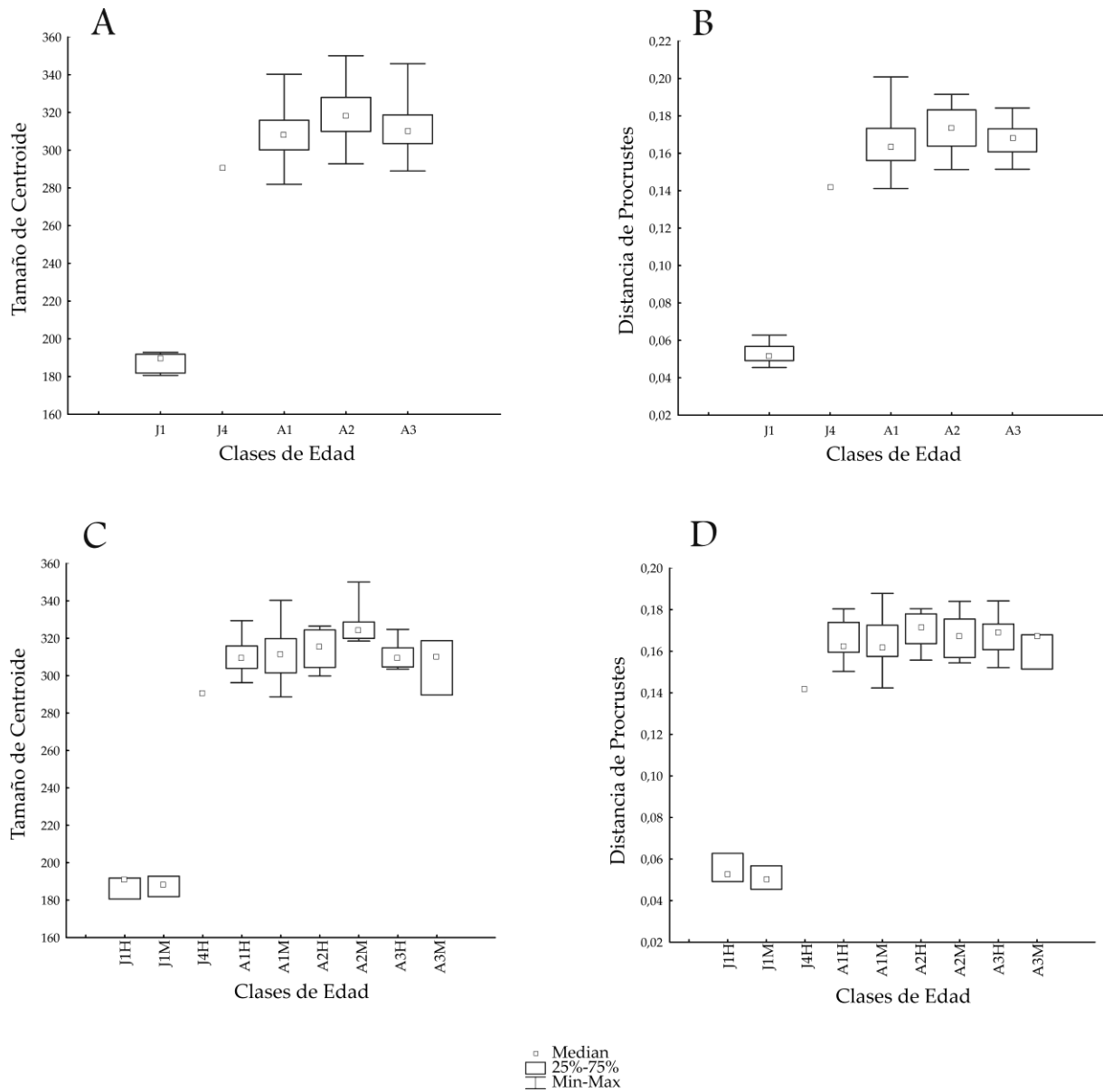


Fig. 38. Boxplots de *Lycalopex griseus* para tamaño y forma craneana contra clases de edad. Tamaño de centroide (A) y distancia de Procrustes (B) del cráneo sin tener en cuenta el sexo. Tamaño de centroide (C) y distancia de Procrustes (D) teniendo en cuenta el sexo. Los boxplots incluyeron mediana, mínimo y máximo, y cuartiles superiores e inferiores (75 y 25%, respectivamente).

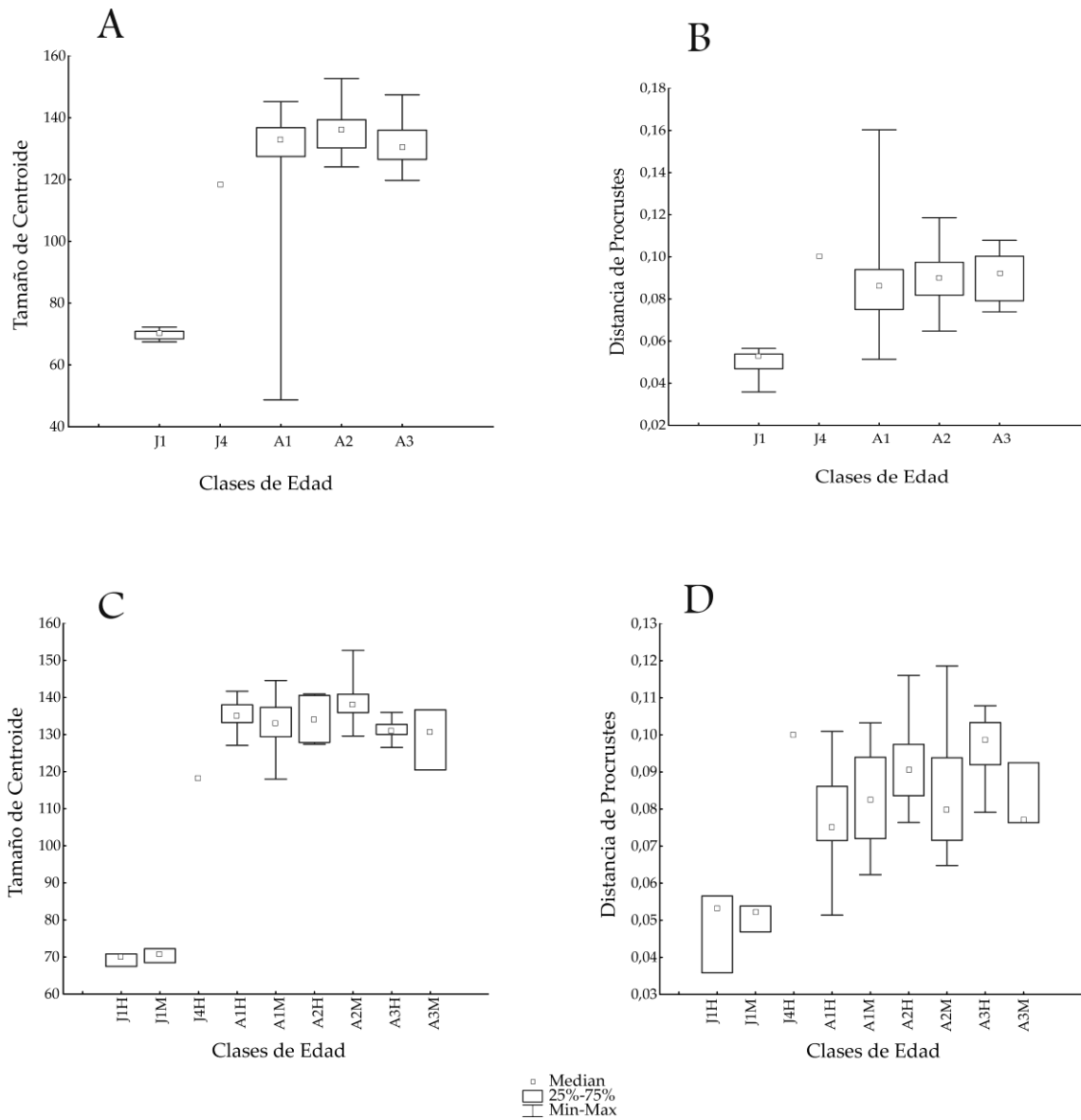


Fig. 39. Boxplots de *Lycalopex griseus* para tamaño y forma mandibular contra clases de edad. Tamaño de centroide (A) y distancia de Procrustes (B) de la mandíbula sin tener en cuenta el sexo. Tamaño de centroide (C) y distancia de Procrustes (D) teniendo en cuenta el sexo. Los boxplots incluyeron mediana, mínimo y máximo, y cuartiles superiores e inferiores (75 y 25%, respectivamente).

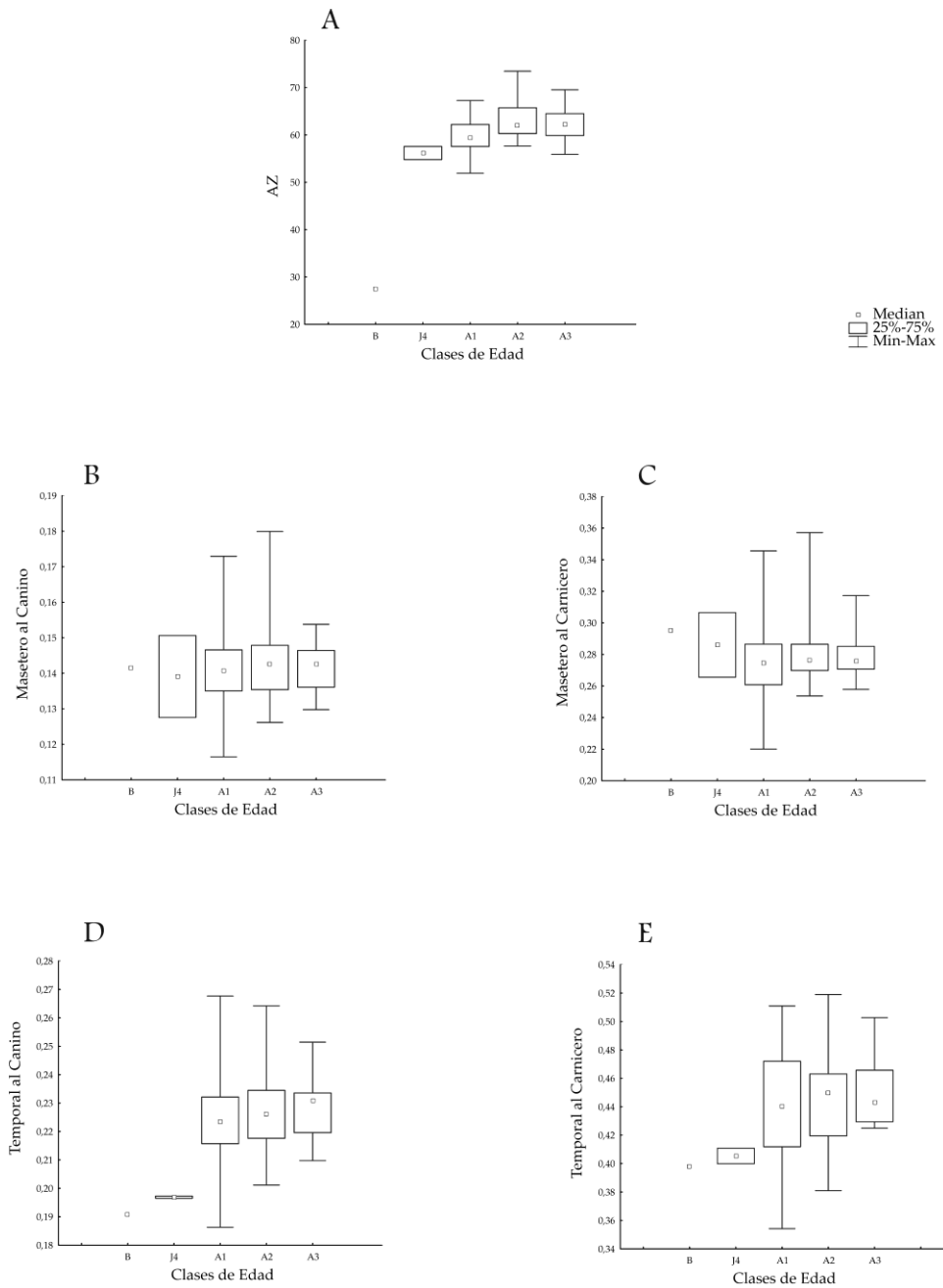


Fig. 40. Boxplots de *Lycalopex griseus* para ventajas mecánicas contra clases de edad. Tamaño de los músculos masticatorios (A), ventaja mecánica del músculo masetero al canino (B), ventaja mecánica del músculo masetero al carnicero (C), ventaja mecánica del músculo temporal al canino (D), ventaja mecánica del músculo temporal al carnicero (E). Los boxplots incluyeron mediana, mínimo y máximo, y cuartiles superiores e inferiores (75 y 25%, respectivamente).

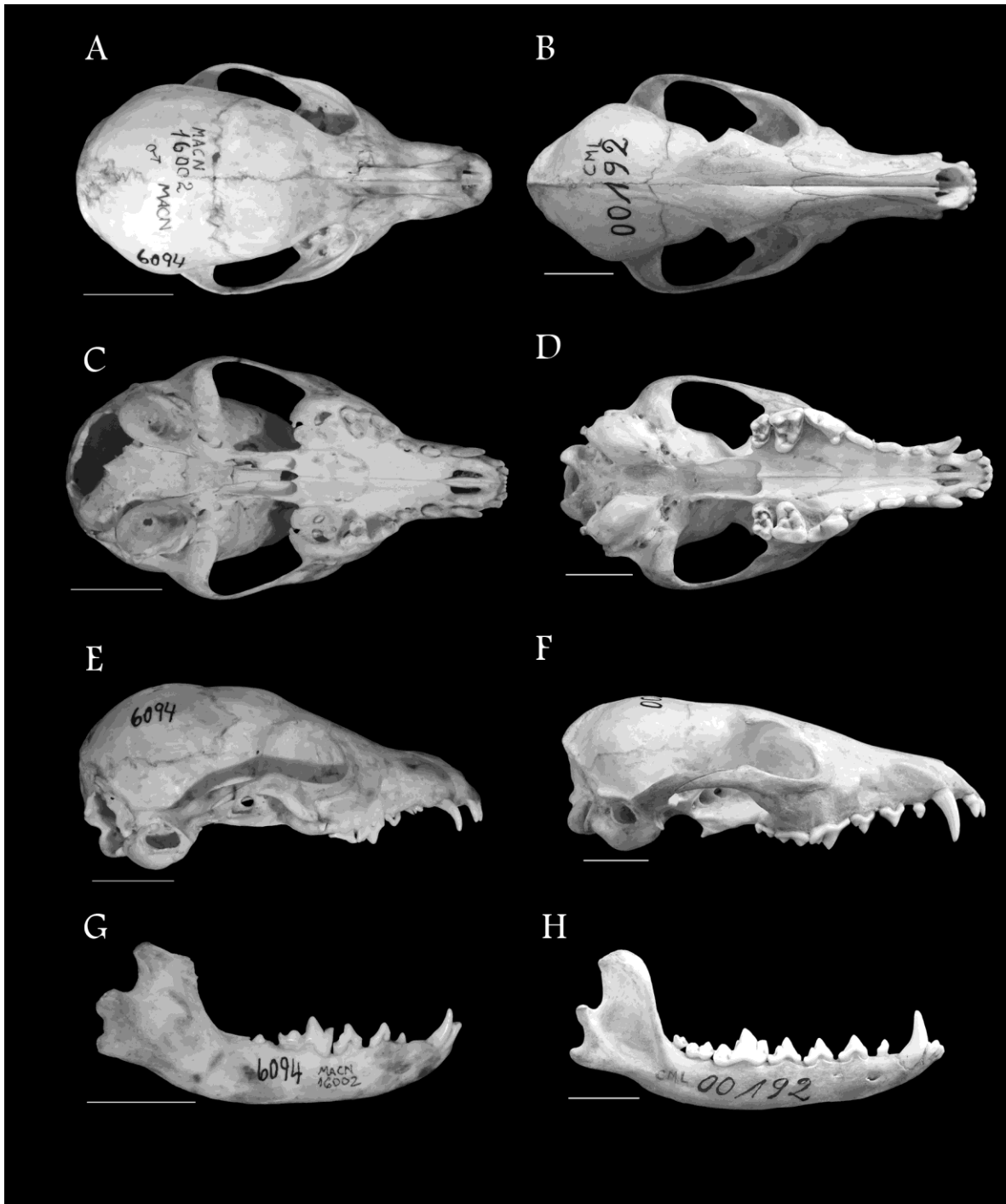
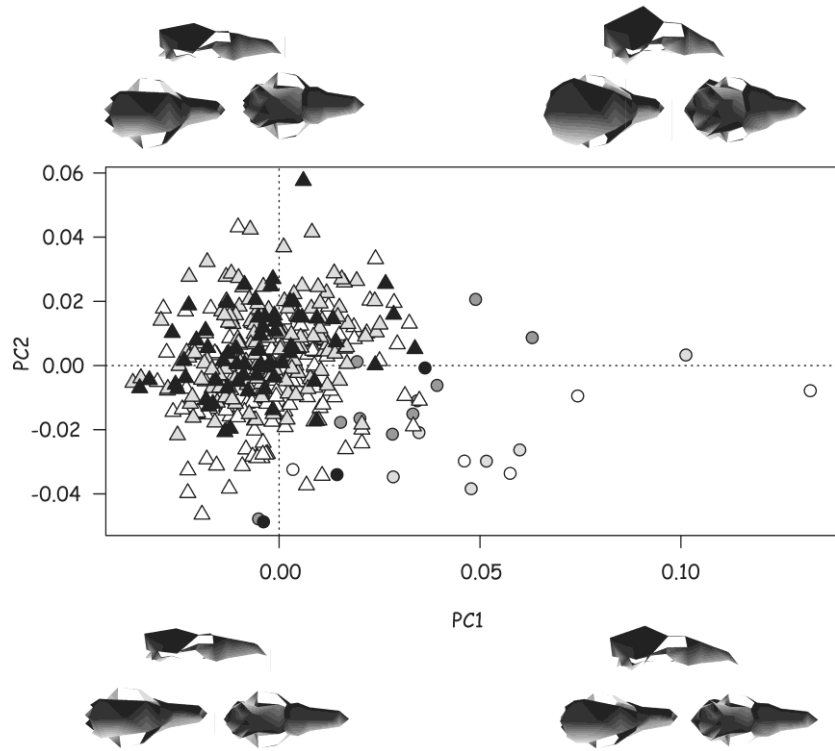


Fig. 41. *Lycalopex gymnocercus*. Vista dorsal, ventral, lateral y mandíbula del ejemplar J1: MACN 16002 (A-C-E-G) y A2: CML 192 (B-D-F-H). Escala: 2 cm.

A



B

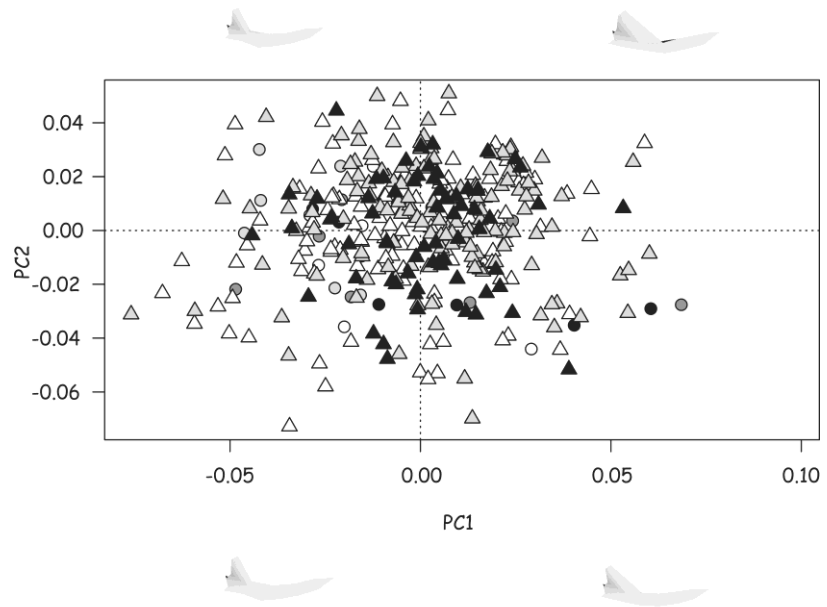


Fig. 42. PC1 vs PC2 para cráneo (A) y mandíbula (B) de *Lycalopex gymnocercus*.
Símbolos: J1 ○, J2 ●, J3 ●, J4 ●, A1 △, A2 △, A3 ▲.

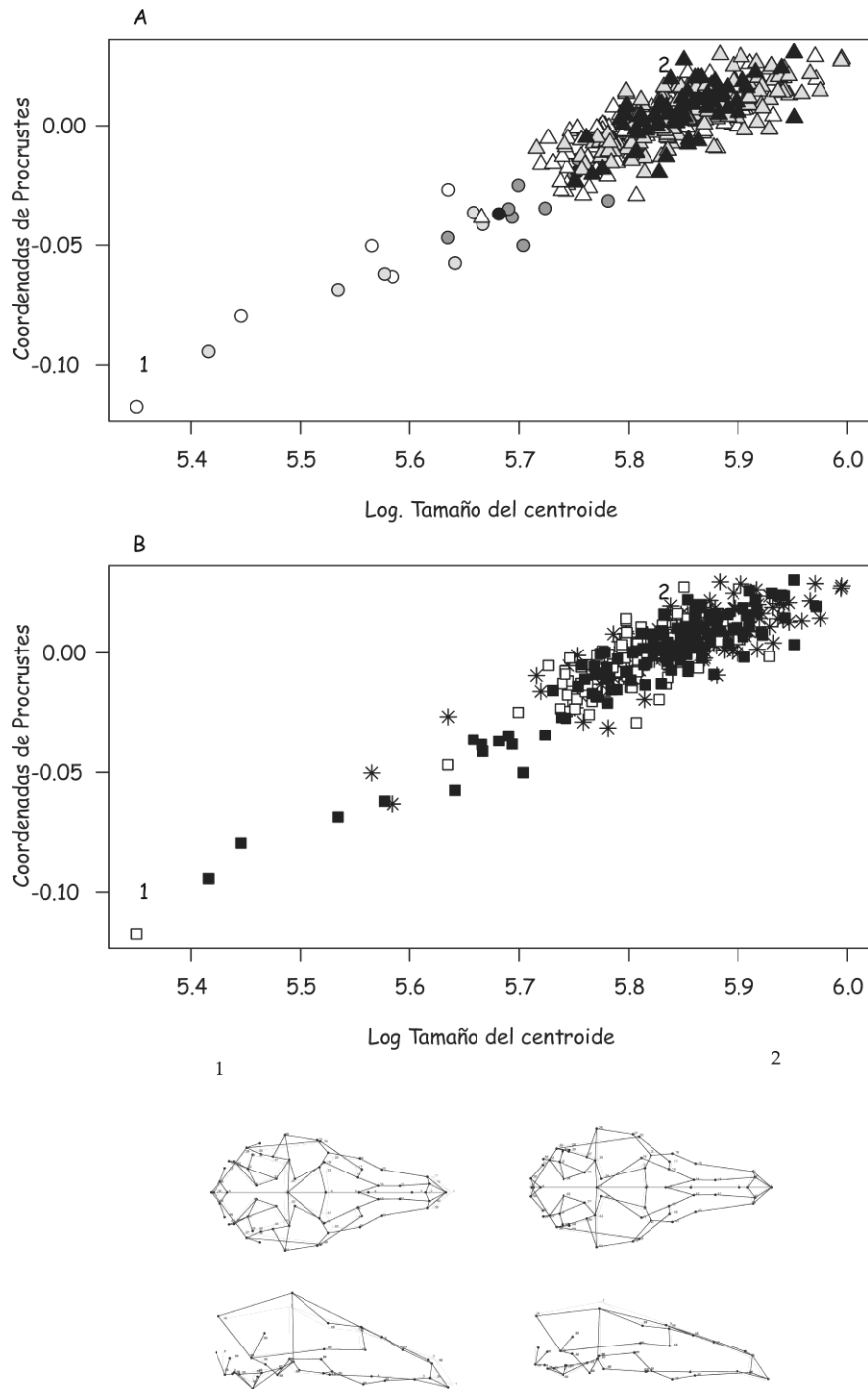


Fig. 43. Regresión de coordenadas de Procrustes contra tamaño de centroide log-transformado para cráneos de *Lycalopex gymnocercus*, teniendo en cuenta las clases de edad (A) y los sexos (B). Símbolos: J1 \square , J2 \circ , J3 \bullet , J4 \bullet , A1 \triangle , A2 \triangle , A3 \blacktriangle , Machos \blacksquare , Hembras \square , Especímenes no sexados *, 1 formas pequeñas, 2 formas grandes.

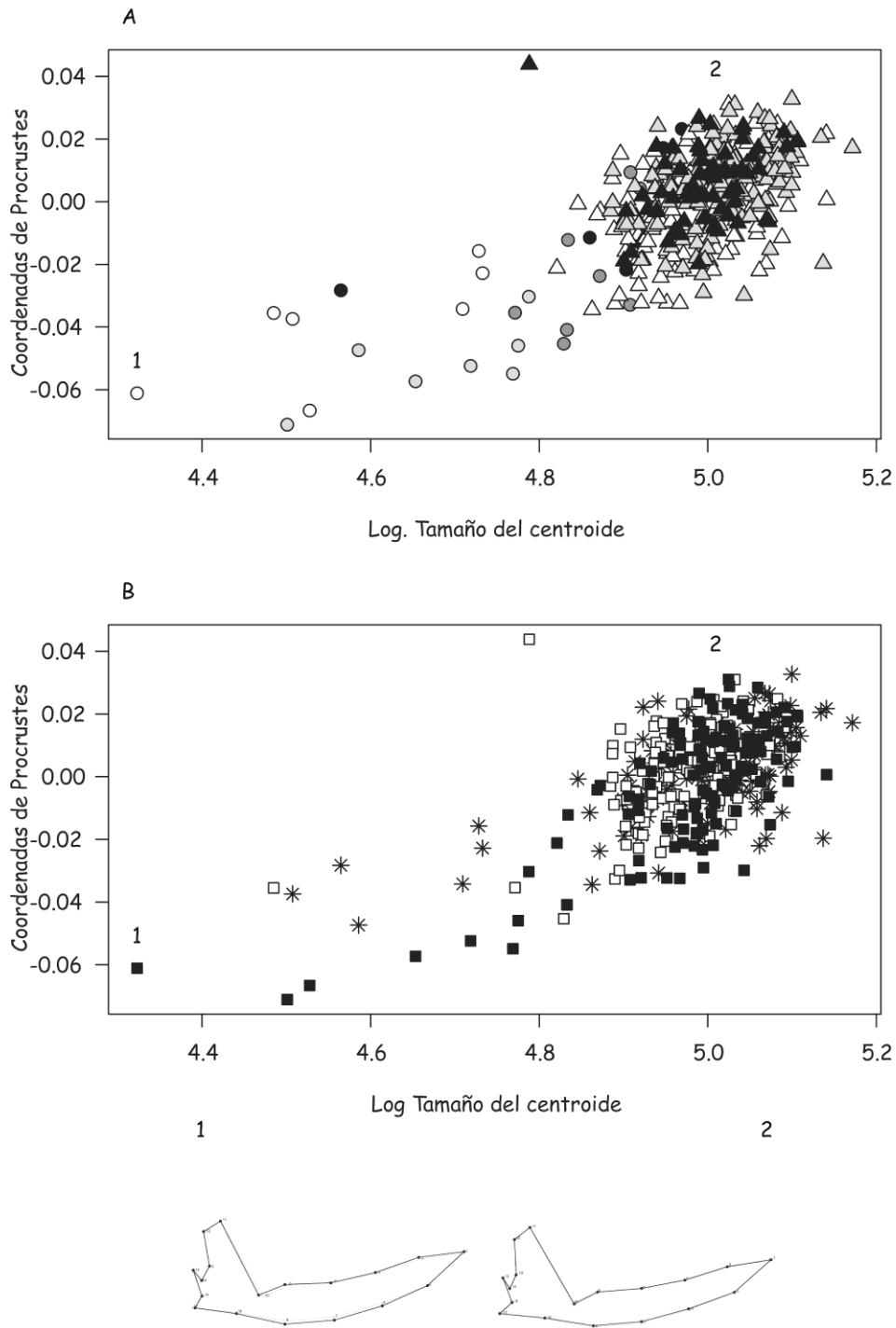


Fig. 44. Regresión de coordenadas de Procrustes contra tamaño de centroide log-transformado para mandíbulas de *Lycalopex gymnocercus*, teniendo en cuenta las clases de edad (A) y los sexos (B). Símbolos: J1 ○, J2 ●, J3 ●, J4 ●, A1 △, A2 △, A3 ▲, Machos ■, Hembras □, Especímenes no sexados *, 1 formas pequeñas, 2 formas grandes.

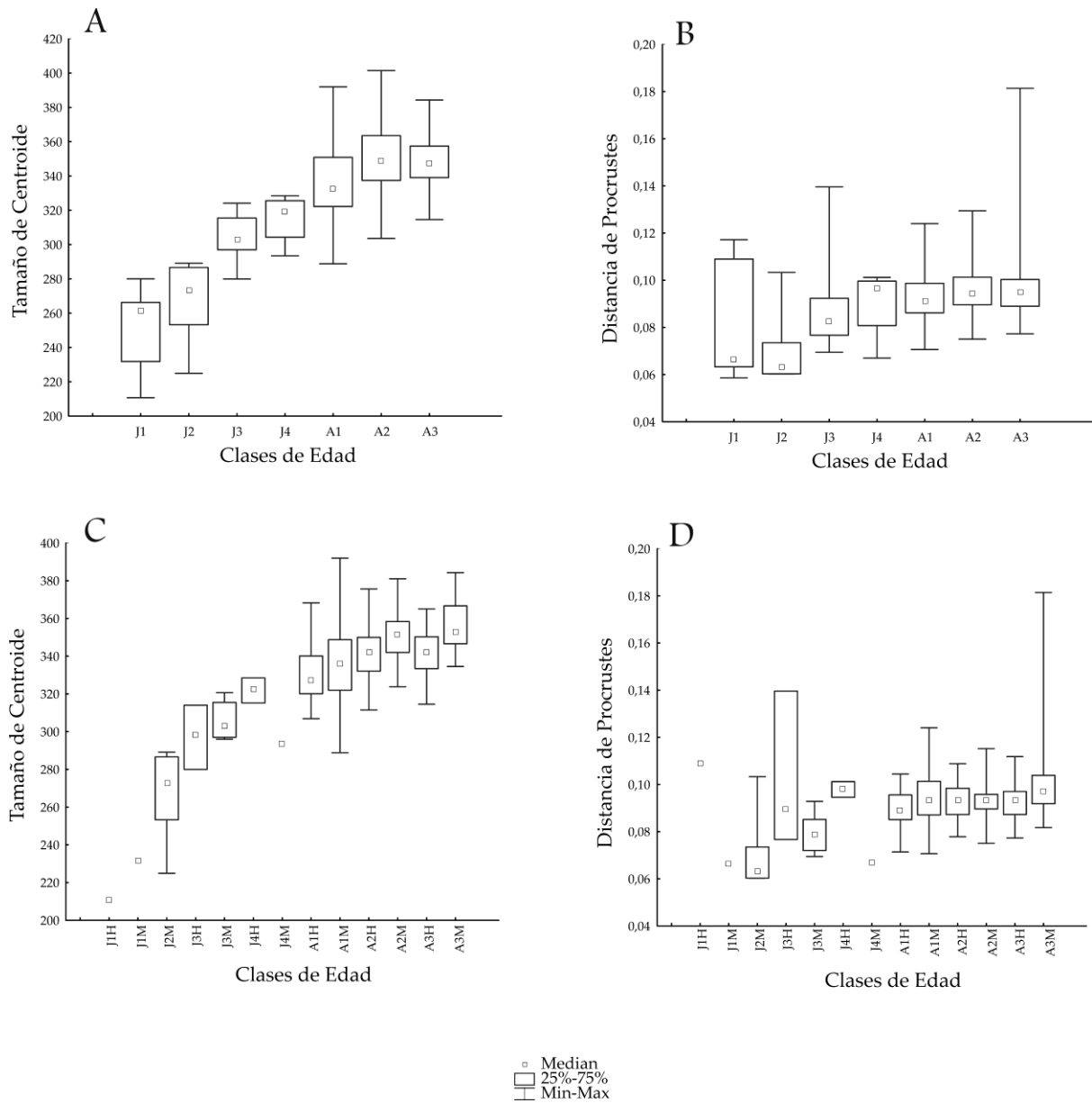


Fig. 45. Boxplots de *Lycalopex gymnocercus* para tamaño y forma craneana contra clases de edad. Tamaño de centroide (A) y distancia de Procrustes (B) del cráneo sin tener en cuenta el sexo. Tamaño de centroide (C) y distancia de Procrustes (D) teniendo en cuenta el sexo. Los boxplots incluyeron mediana, mínimo y máximo, y cuartiles superiores e inferiores (75 y 25%, respectivamente).

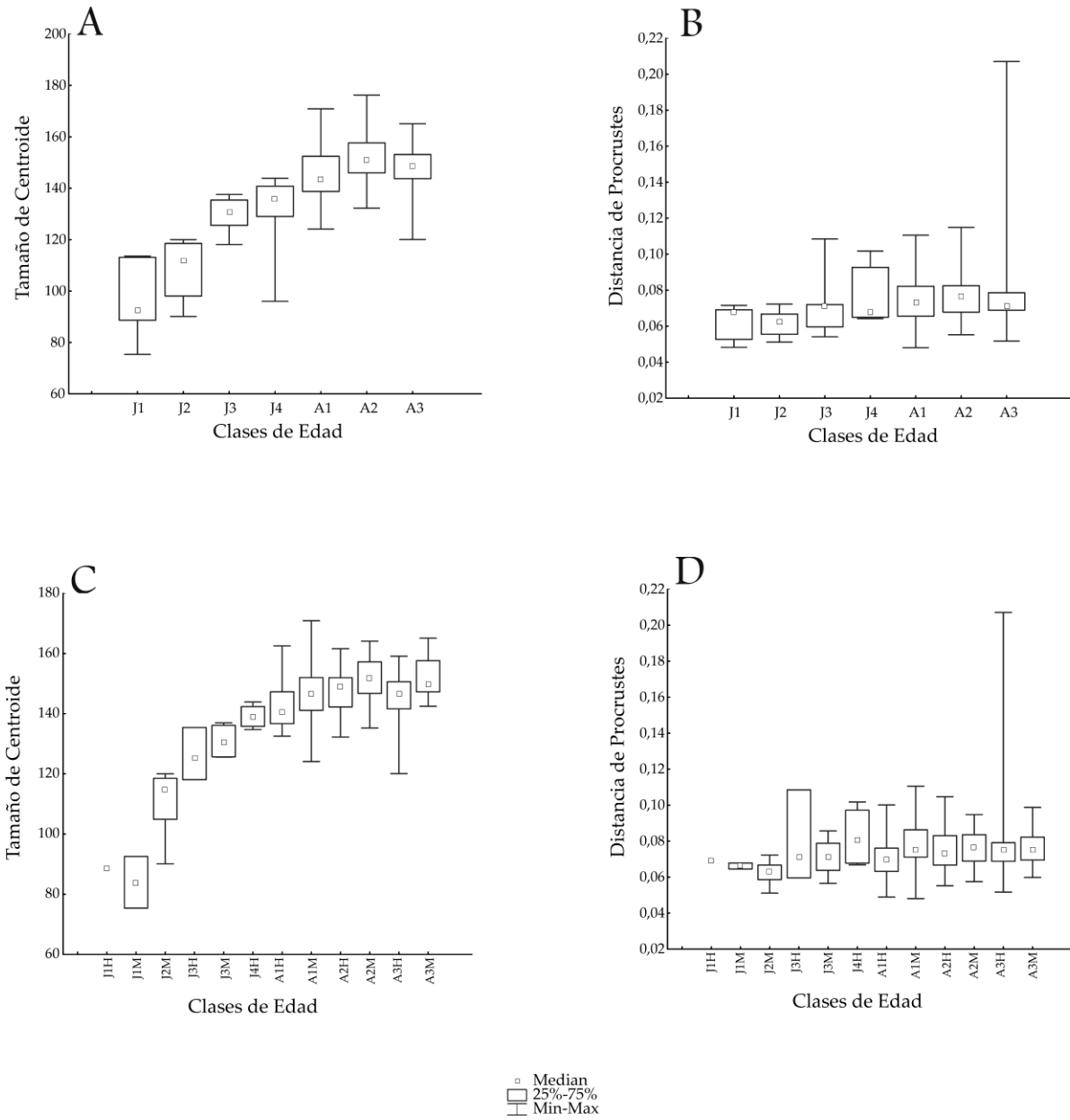


Fig. 46. Boxplots de *Lycalopex gymnocercus* para tamaño y forma mandibular contra clases de edad. Tamaño de centroide (A) y distancia de Procrustes (B) de la mandíbula sin tener en cuenta el sexo. Tamaño de centroide (C) y distancia de Procrustes (D) teniendo en cuenta el sexo. Los boxplots incluyeron mediana, mínimo y máximo, y cuartiles superiores e inferiores (75 y 25%, respectivamente).

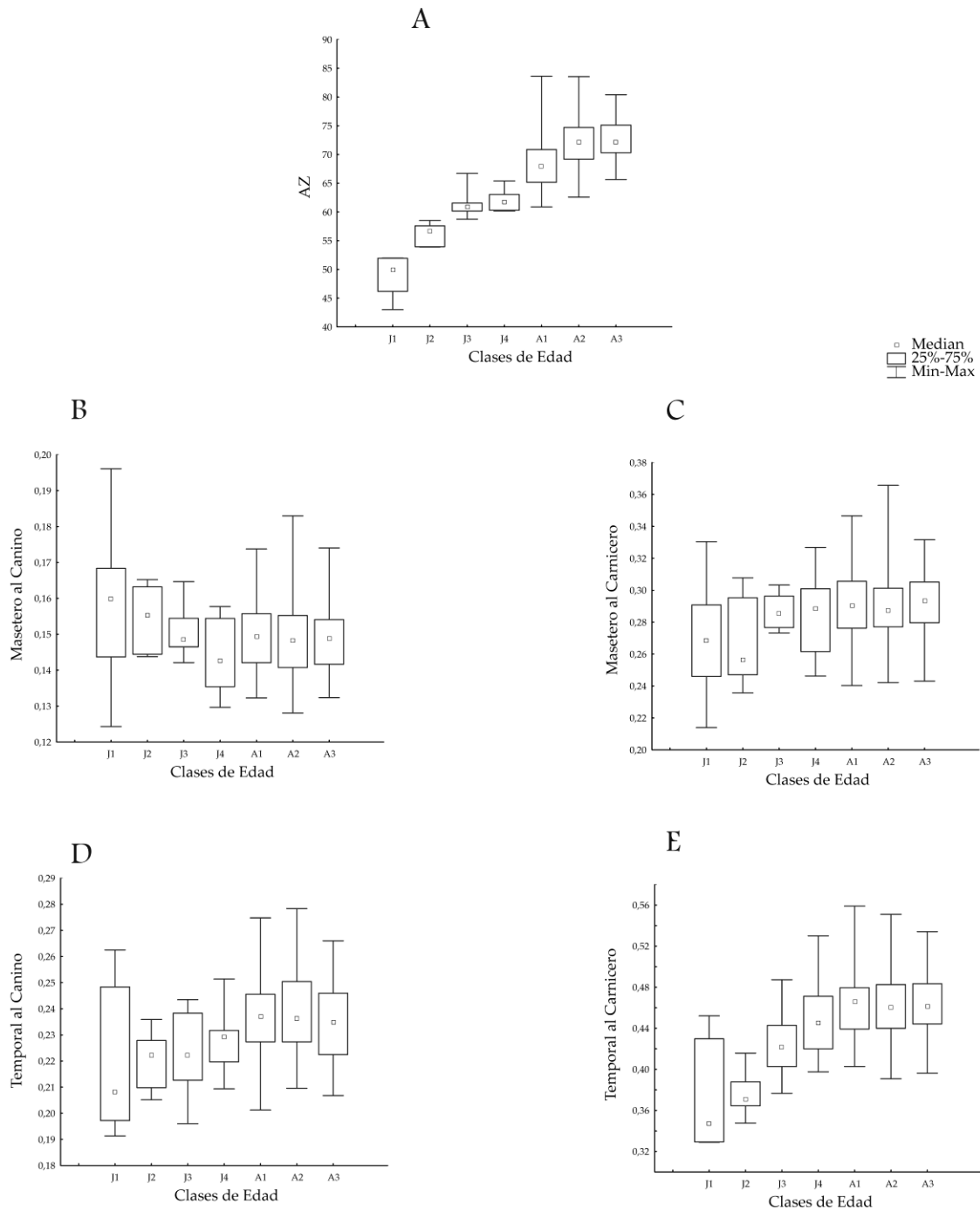
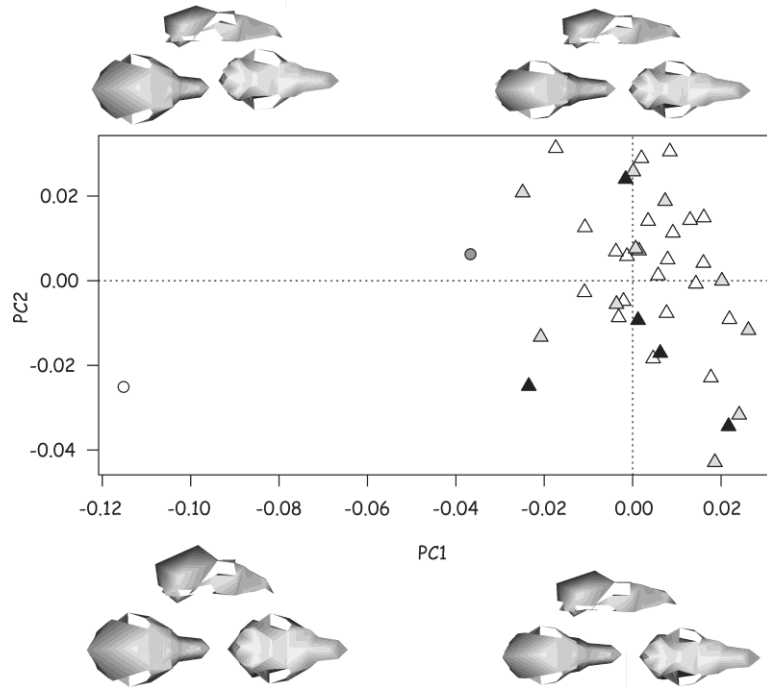


Fig. 47. Boxplots de *Lycalopex gymnocercus* para ventajas mecánicas contra clases de edad. Tamaño de los músculos masticatorios (A), ventaja mecánica del músculo masetero al canino (B), ventaja mecánica del músculo masetero al carnicero (C), ventaja mecánica del músculo temporal al canino (D), ventaja mecánica del músculo temporal al carnicero (E). Los boxplots incluyeron mediana, mínimo y máximo, y cuartiles superiores e inferiores (75 y 25%, respectivamente).



Fig. 48. *Lycalopex sechurae*. Vista dorsal, ventral, lateral y mandíbula del ejemplar A1: AMNH 46532 (A-C-E-G) y A3: AMNH 46530 (B-D-F-H). Escala: 2 cm.

A



B

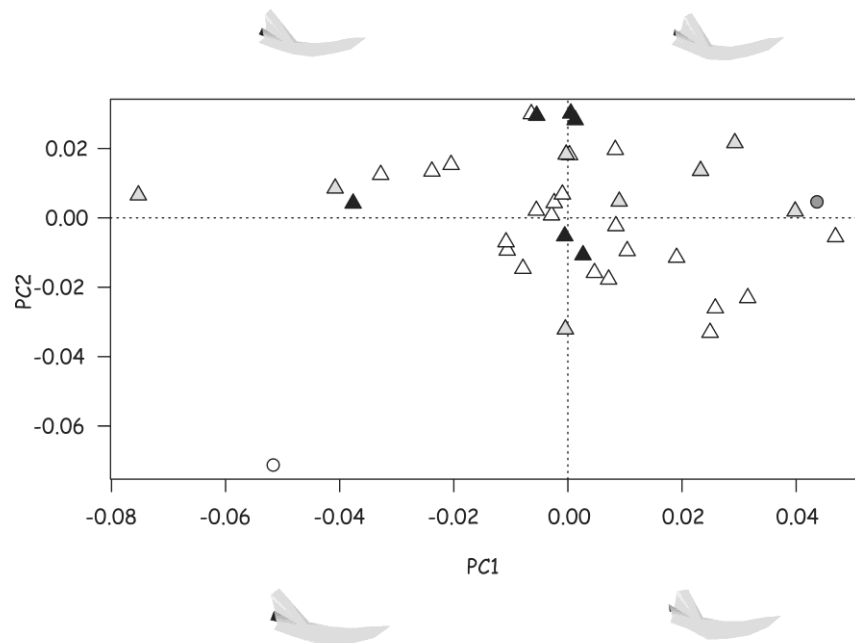


Fig. 49. PC1 vs PC2 para cráneo (A) y mandíbula (B) de *Lycalopex sechurae*. Símbolos: J1 ○, J3 ●, A1 △, A2 △, A3 ▲.

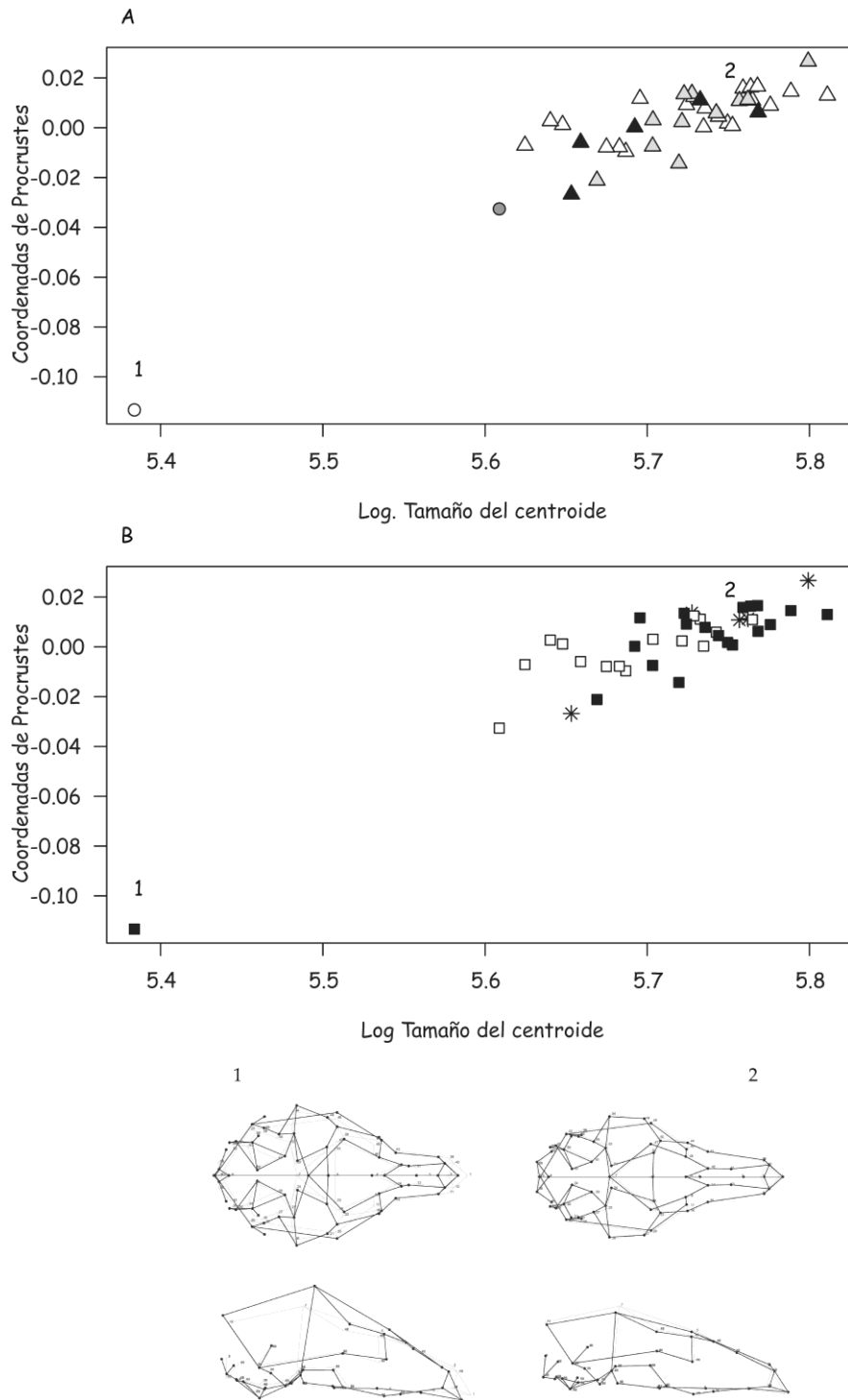


Fig. 50. Regresión de coordenadas de Procrustes contra tamaño de centroide log-transformado para cráneos de *Lycalopex sechurae*, teniendo en cuenta las clases de edad (A) y los sexos (B). Símbolos: J1 ○, J3 ●, A1 △, A2 △, A3 ▲, Machos ■, Hembras □, Especímenes no sexados *, 1 formas pequeñas, 2 formas grandes.

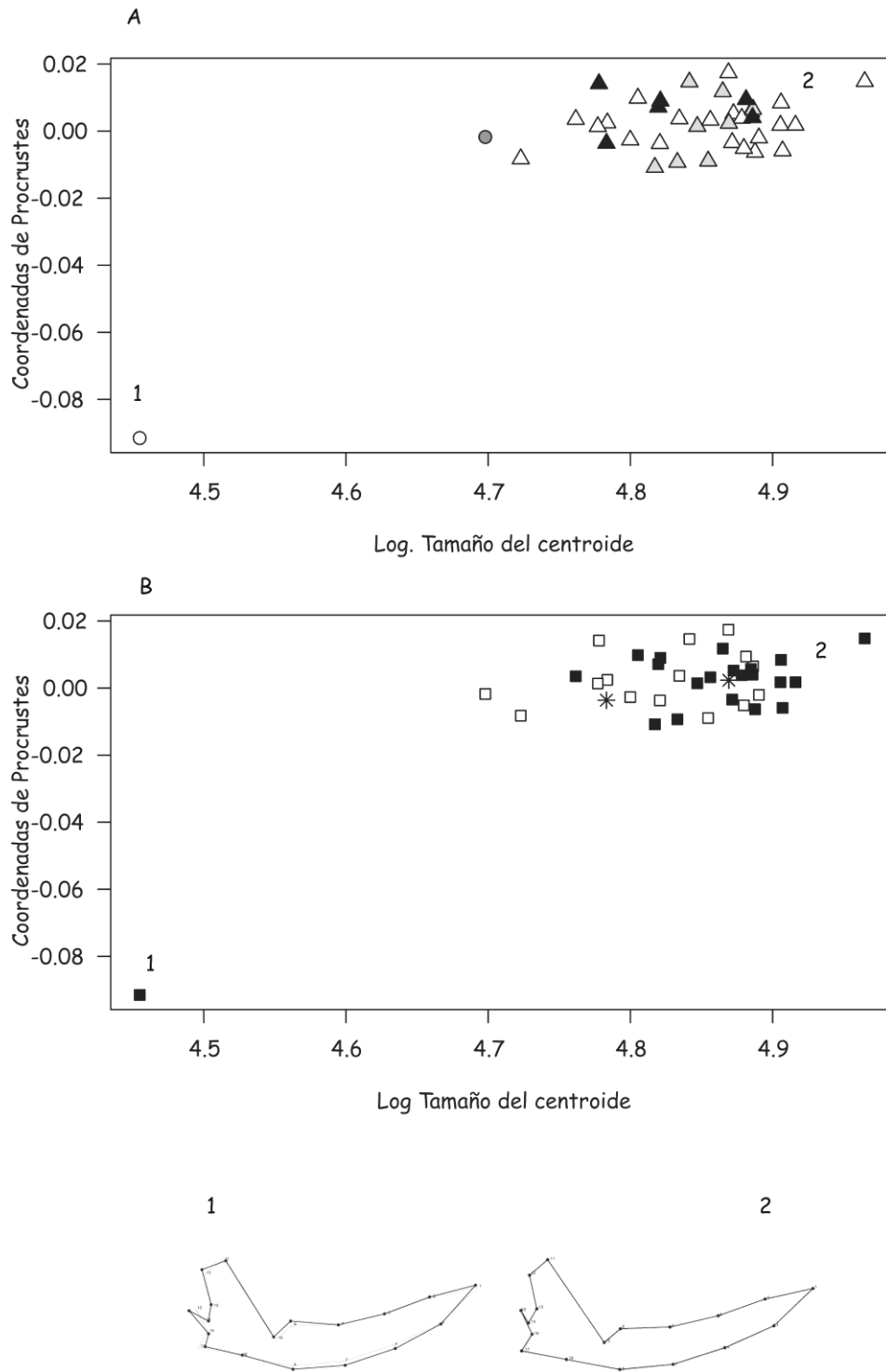


Fig. 51. Regresión de coordenadas de Procrustes contra tamaño de centroide log-transformado para mandíbulas de *Lycalopex sechurae*, teniendo en cuenta las clases de edad (A) y los sexos (B). Símbolos: J1 ○, J3 ●, A1 △, A2 △, A3 ▲, Machos ■, Hembras □, Especímenes no sexados *, 1 formas pequeñas, 2 formas grandes.

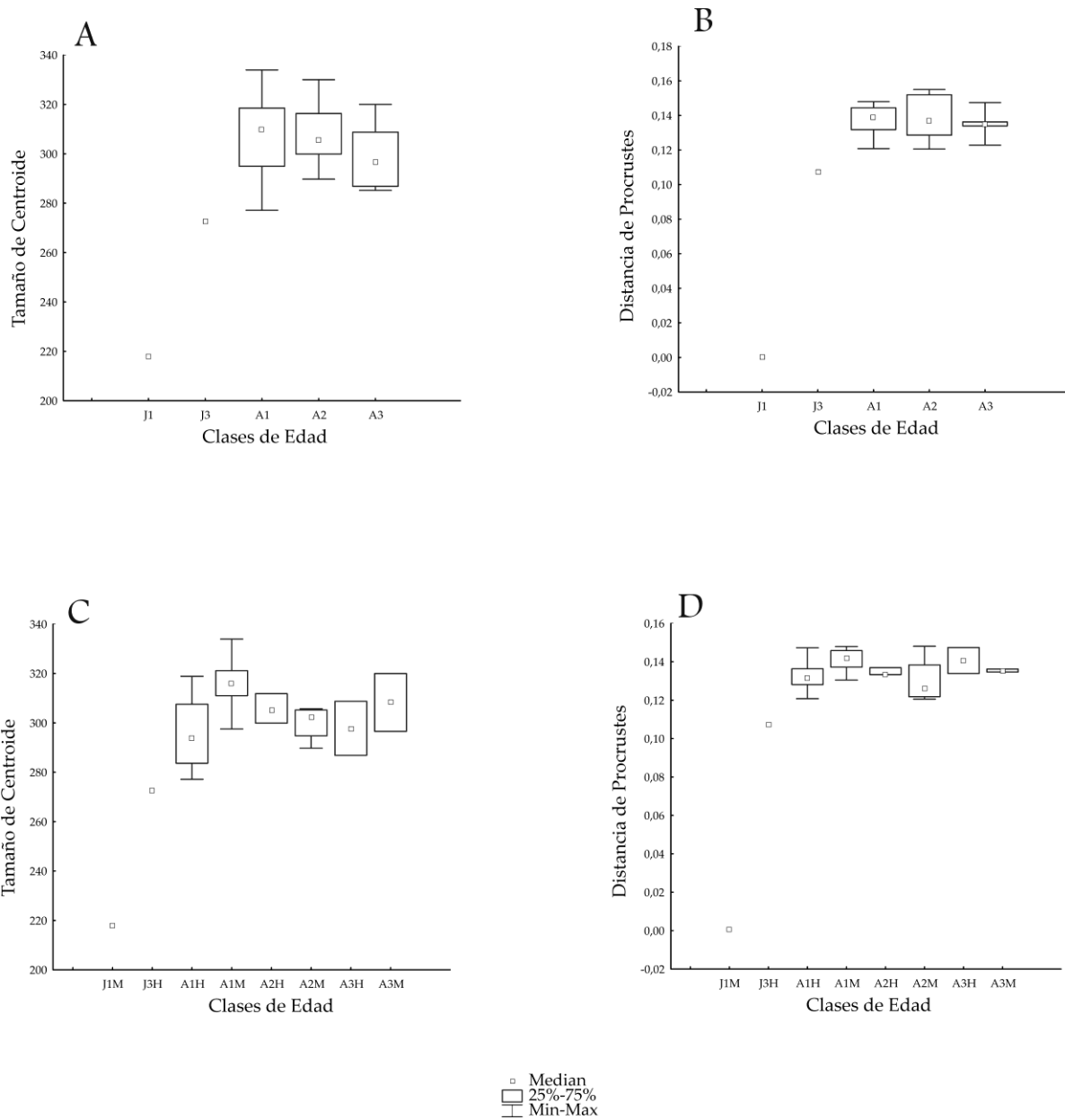


Fig. 52. Boxplots de *Lycalopex sechurae* para tamaño y forma craneana contra clases de edad. Tamaño de centroide (A) y distancia de Procrustes (B) del cráneo sin tener en cuenta el sexo. Tamaño de centroide (C) y distancia de Procrustes (D) teniendo en cuenta el sexo. Los boxplots incluyeron mediana, mínimo y máximo, y cuartiles superiores e inferiores (75 y 25%, respectivamente).

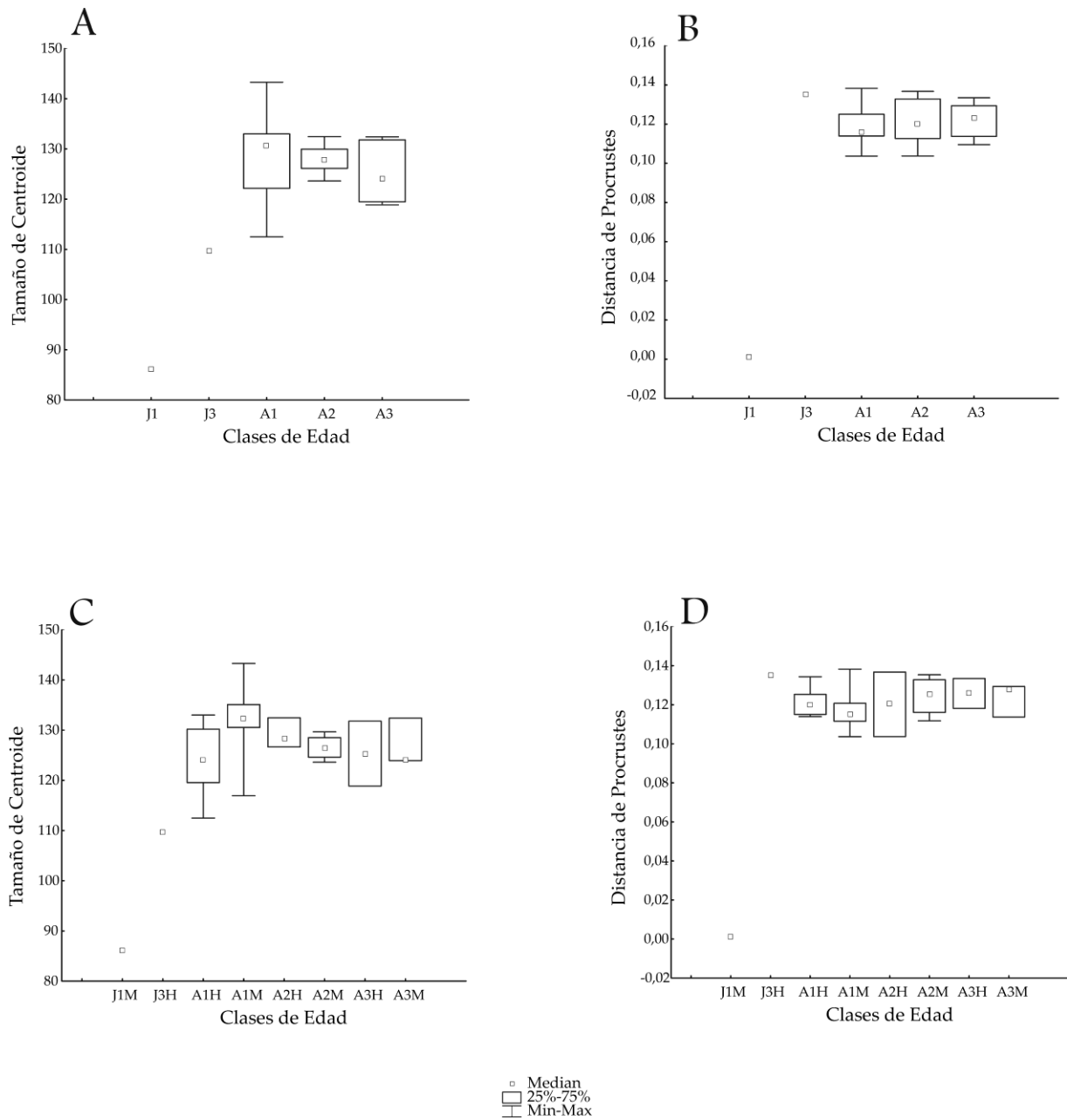


Fig. 53. Boxplots de *Lycalopex sechurae* para tamaño y forma mandibular contra clases de edad. Tamaño de centroide (A) y distancia de Procrustes (B) de la mandíbula sin tener en cuenta el sexo. Tamaño de centroide (C) y distancia de Procrustes (D) teniendo en cuenta el sexo. Los boxplots incluyeron mediana, mínimo y máximo, y cuartiles superiores e inferiores (75 y 25%, respectivamente).

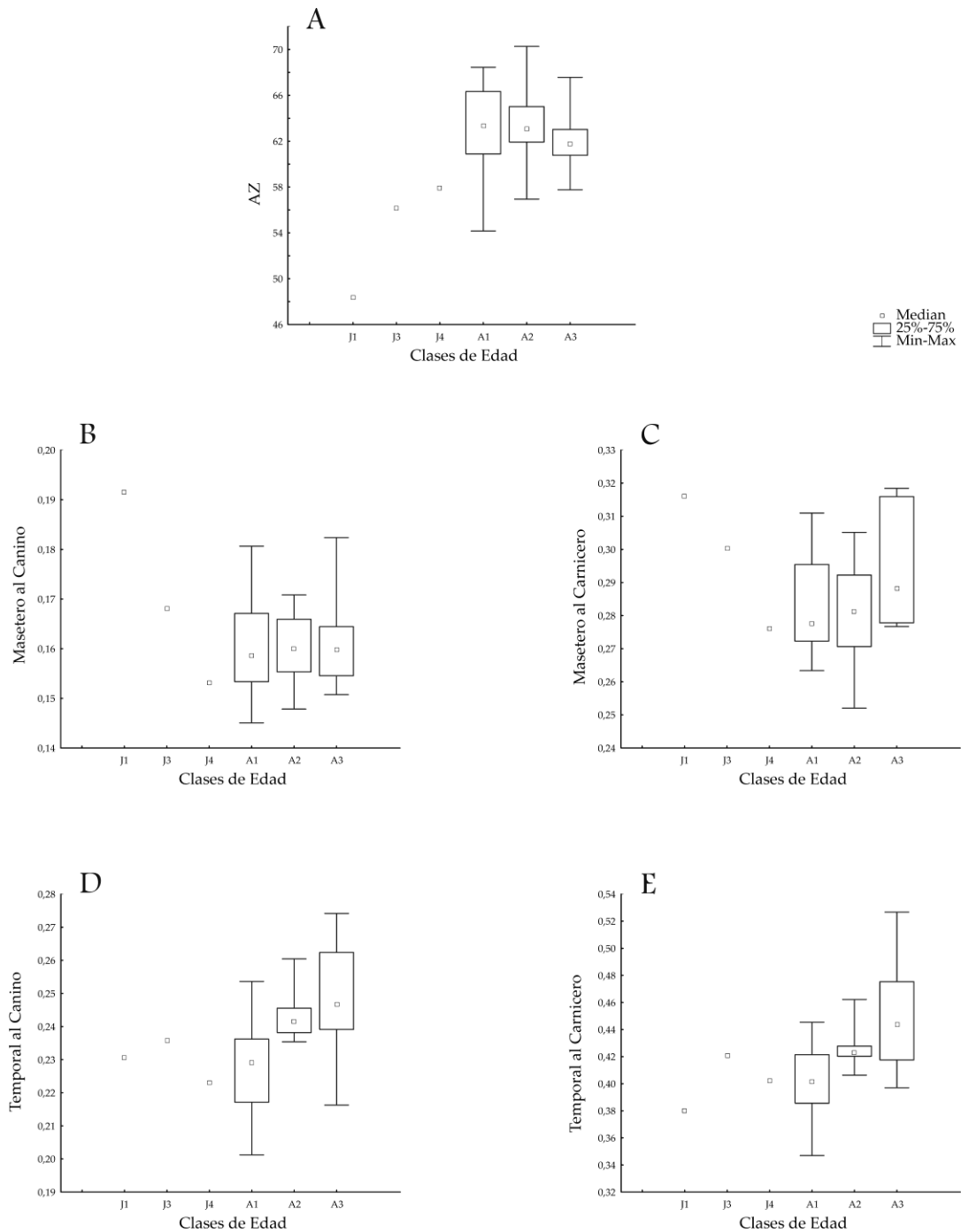


Fig. 54. Boxplots de *Lycalopex sechurae* para ventajas mecánicas contra clases de edad. Tamaño de los músculos masticatorios (A), ventaja mecánica del músculo masetero al canino (B), ventaja mecánica del músculo masetero al carnicero (C), ventaja mecánica del músculo temporal al canino (D), ventaja mecánica del músculo temporal al carnicero (E). Los boxplots incluyeron mediana, mínimo y máximo, y cuartiles superiores e inferiores (75 y 25%, respectivamente).

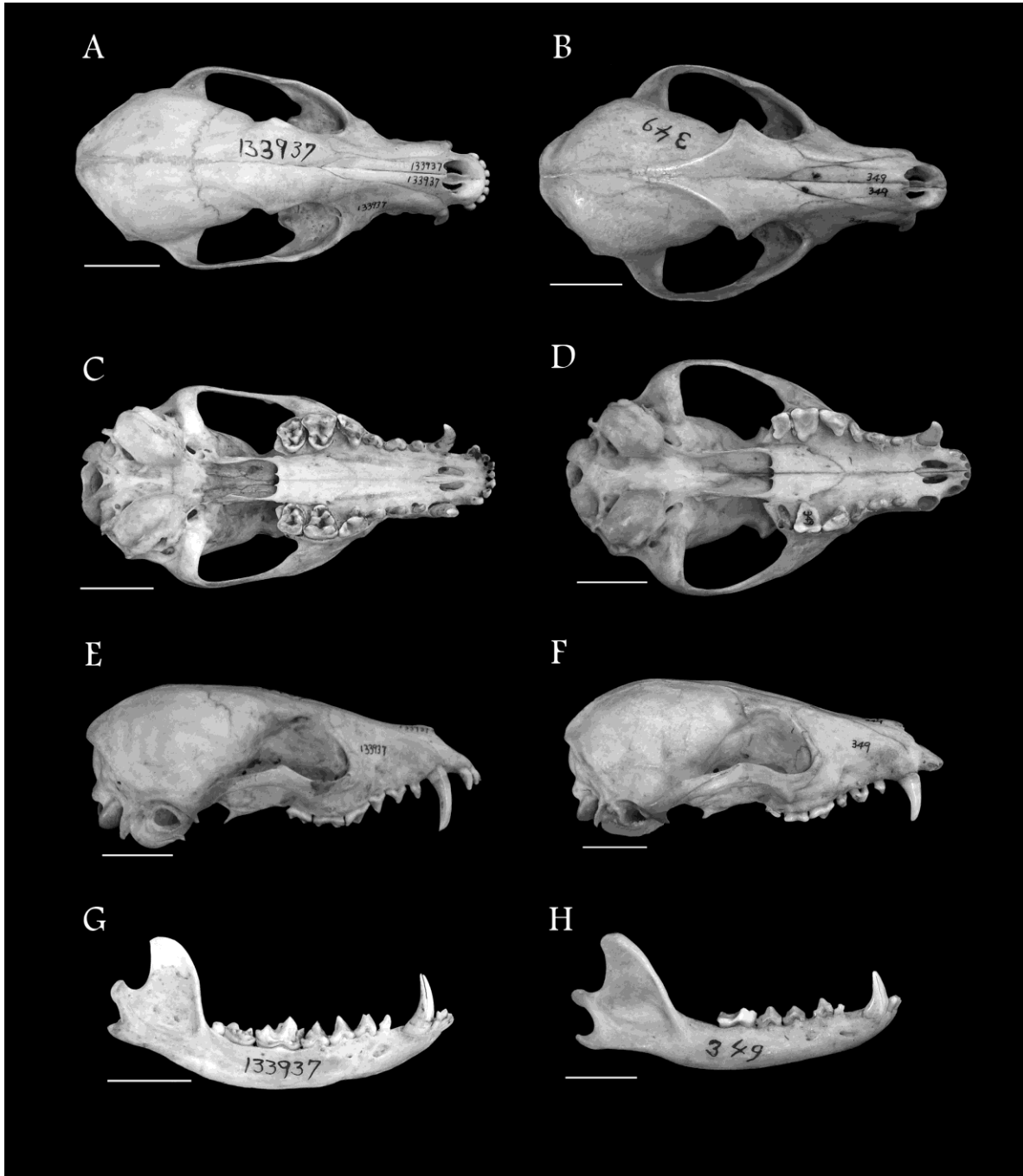
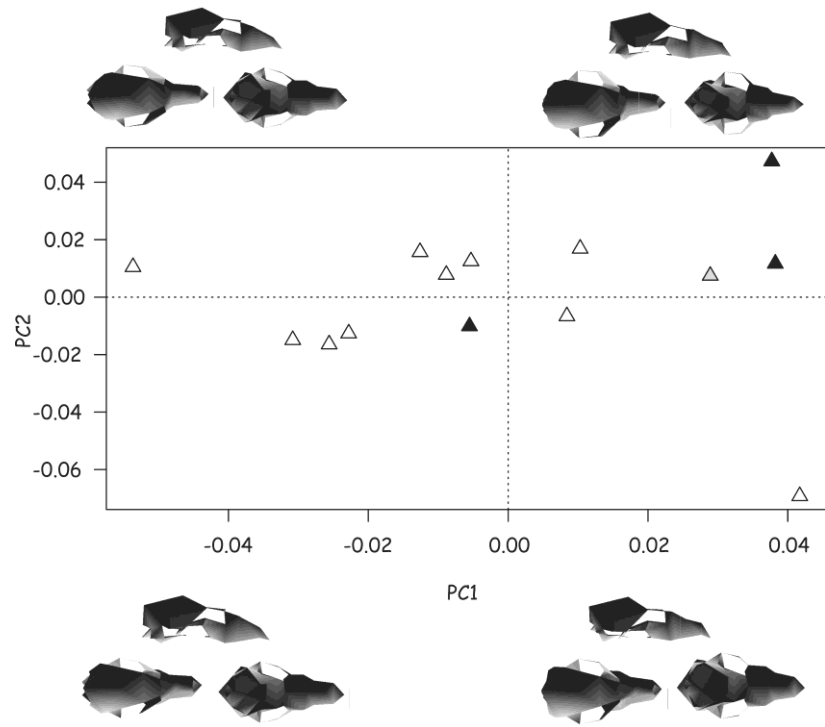


Fig. 55. *Lycalopex vetulus*. Vista dorsal, ventral, lateral y mandíbula del ejemplar A1: AMNH 133937 (A-C-E-G) y A3: AMNH 349 (B-D-F-H). Escala: 2 cm.

A



B

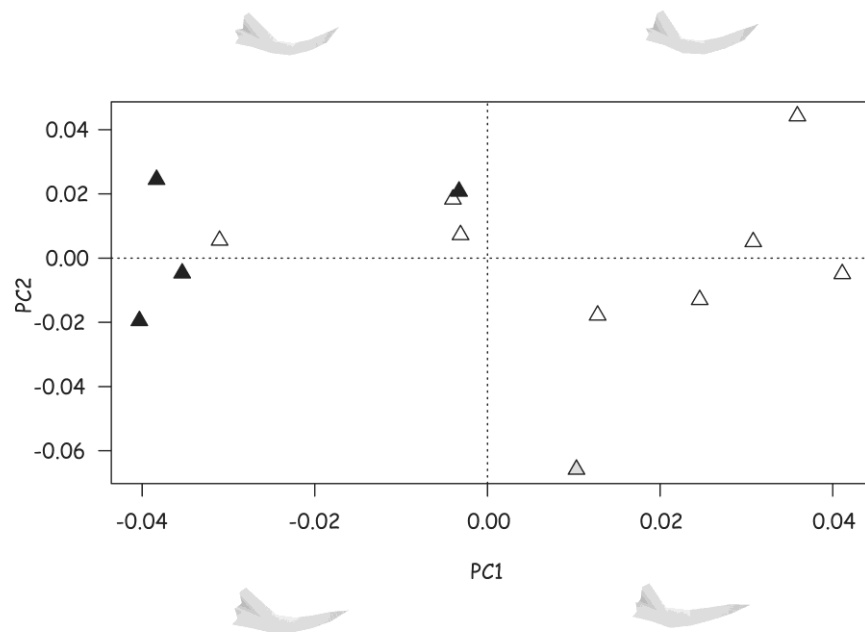


Fig. 56. PC1 vs PC2 para cráneo (A) y mandíbula (B) de *Lycalopex vetulus*. Símbolos: A1 \triangle , A2 \triangle , A3 \blacktriangle .

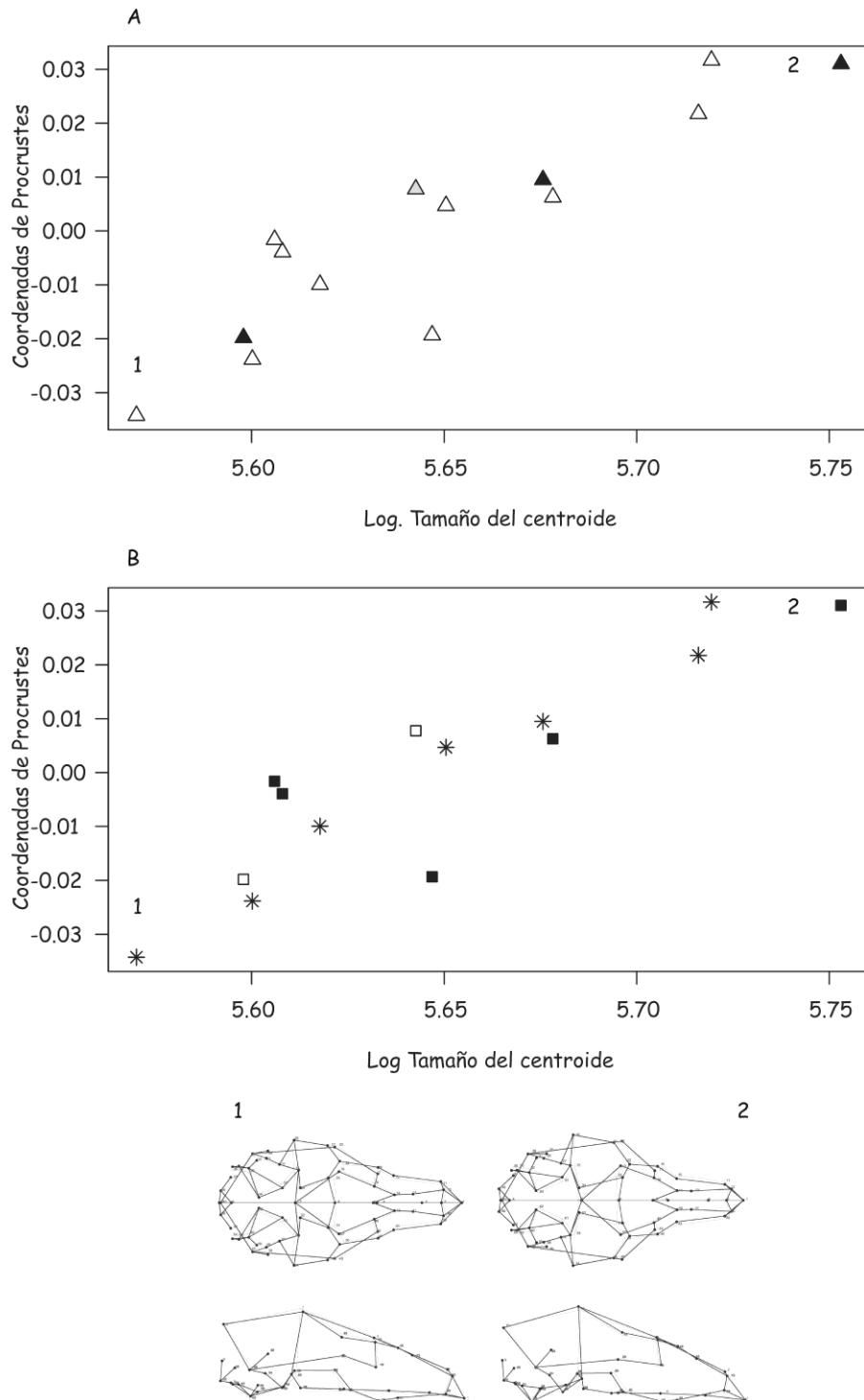


Fig. 57. Regresión de coordenadas de Procrustes contra tamaño de centroide log-transformado para cráneos de *Lycalopex vetulus*, teniendo en cuenta las clases de edad (A) y los sexos (B). Símbolos: A1 Δ , A2 Δ , A3 \blacktriangle , Machos \blacksquare , Hembras \square , Especímenes no sexados $*$, 1 formas pequeñas, 2 formas grandes.

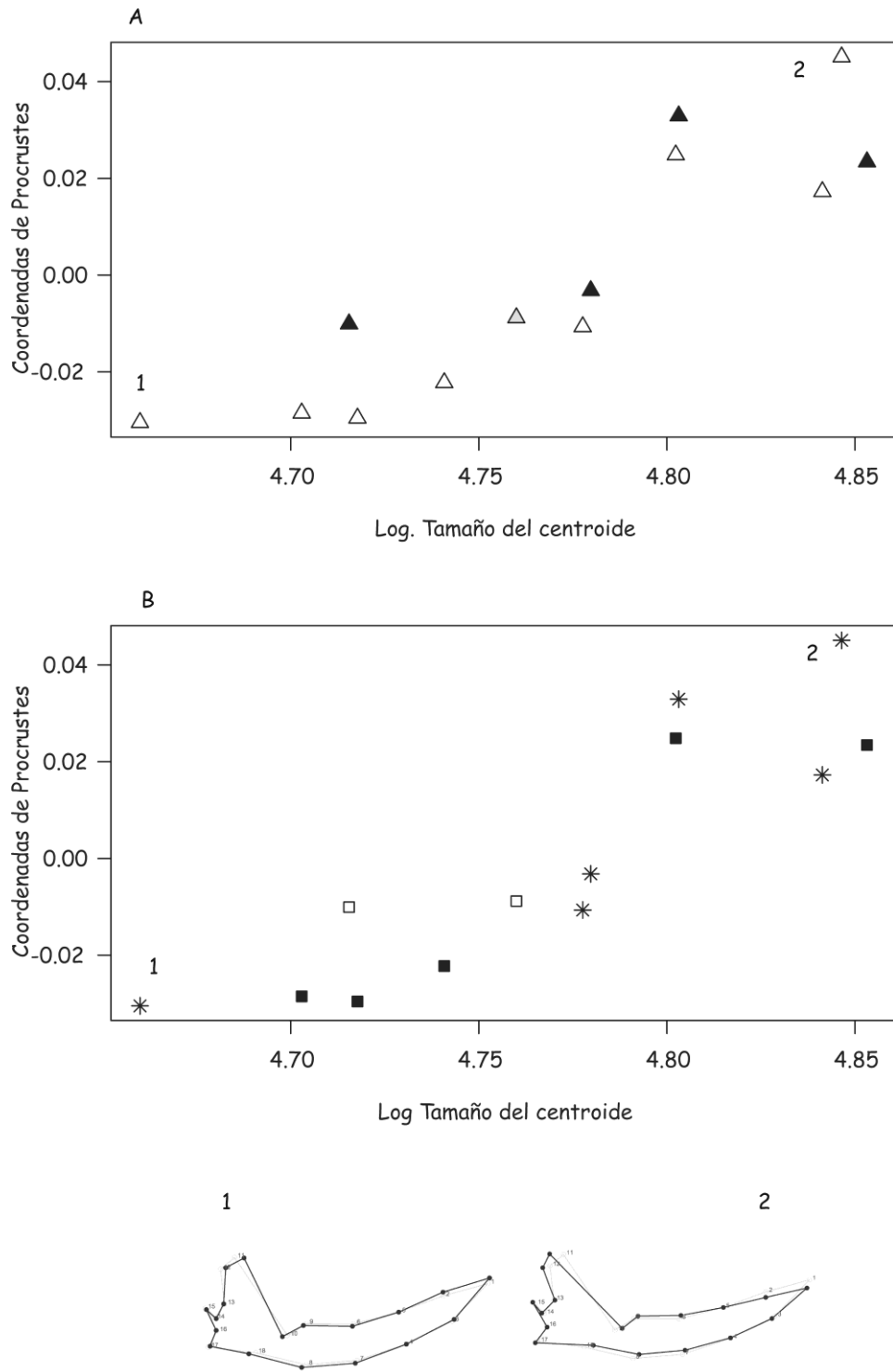


Fig. 58. Regresión de coordenadas de Procrustes contra tamaño de centroide log-transformado para mandíbulas de *Lycalopez vetulus*, teniendo en cuenta las clases de edad (A) y los sexos (B). Símbolos: A1 \triangle , A2 \triangle , A3 \blacktriangle , Machos \blacksquare , Hembras \square , Especímenes no sexados $*$, 1 formas pequeñas, 2 formas grandes.

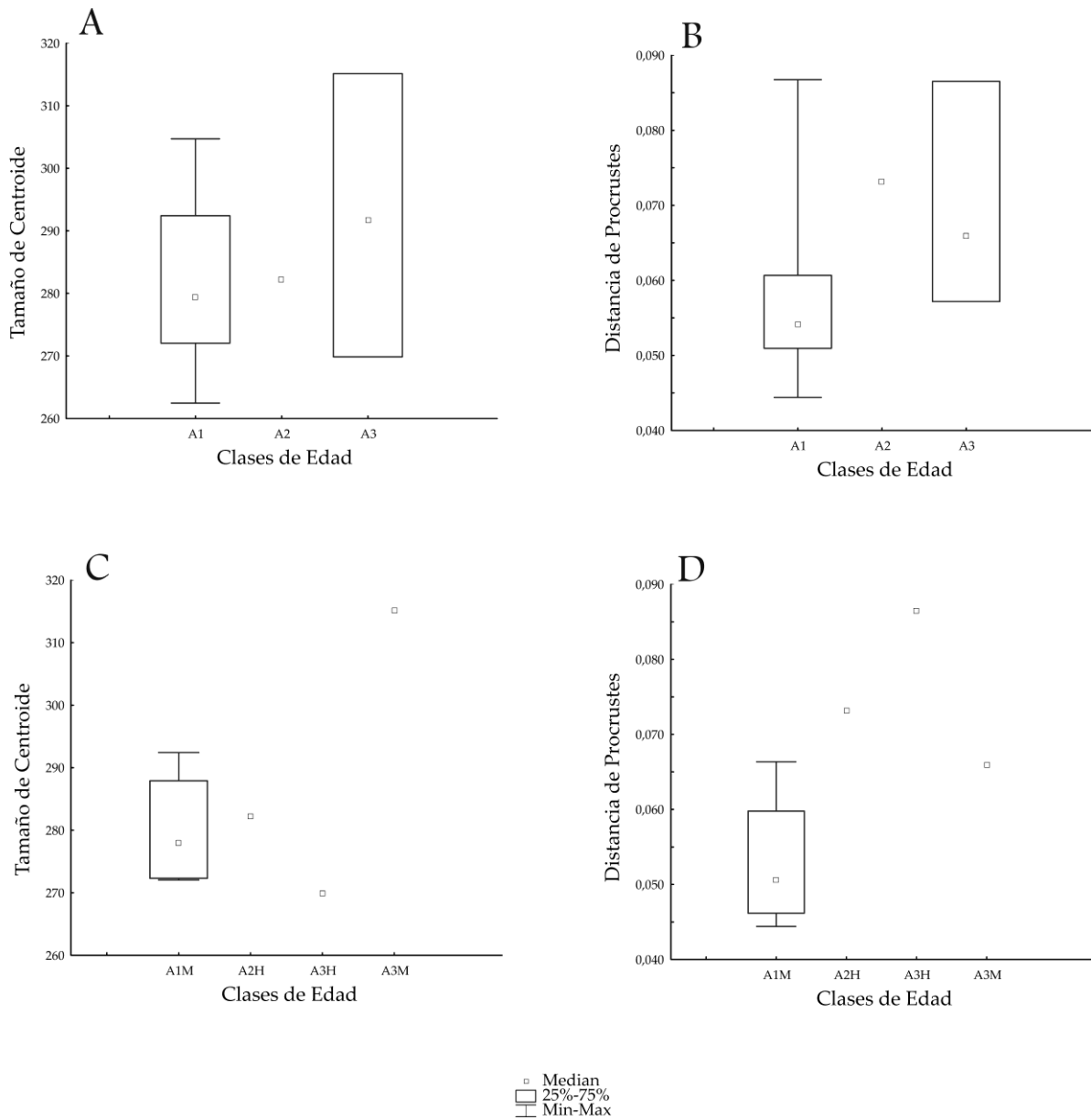


Fig. 59. Boxplots de *Lycalopex vetulus* para tamaño y forma craneana contra clases de edad. Tamaño de centroide (A) y distancia de Procrustes (B) del cráneo sin tener en cuenta el sexo. Tamaño de centroide (C) y distancia de Procrustes (D) teniendo en cuenta el sexo. Los boxplots incluyeron mediana, mínimo y máximo, y cuartiles superiores e inferiores (75 y 25%, respectivamente).

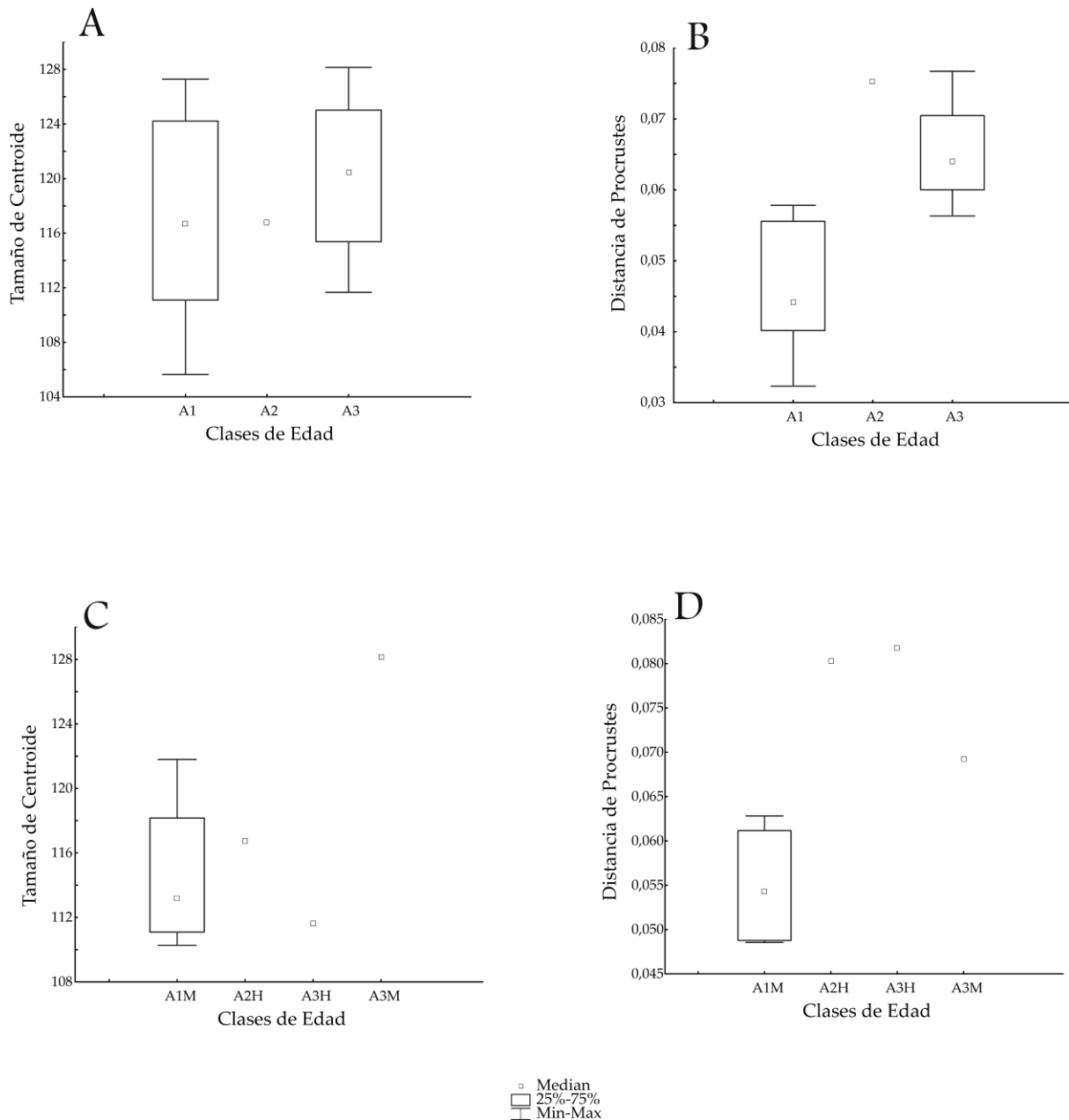


Fig. 60. Boxplots de *Lycalopex vetulus* para tamaño y forma mandibular contra clases de edad. Tamaño de centroide (A) y distancia de Procrustes (B) de la mandíbula sin tener en cuenta el sexo. Tamaño de centroide (C) y distancia de Procrustes (D) teniendo en cuenta el sexo. Los boxplots incluyeron mediana, mínimo y máximo, y cuartiles superiores e inferiores (75 y 25%, respectivamente).

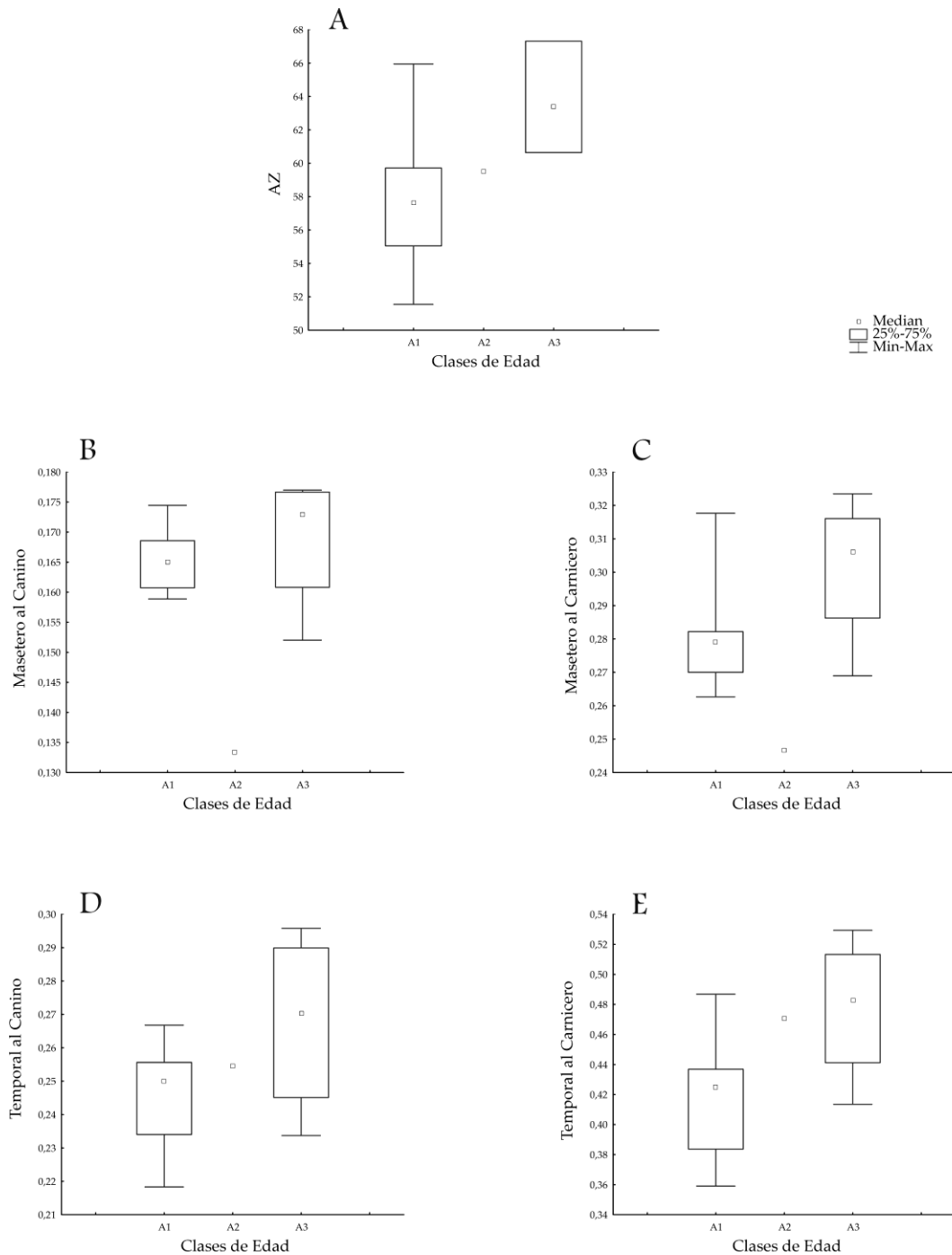
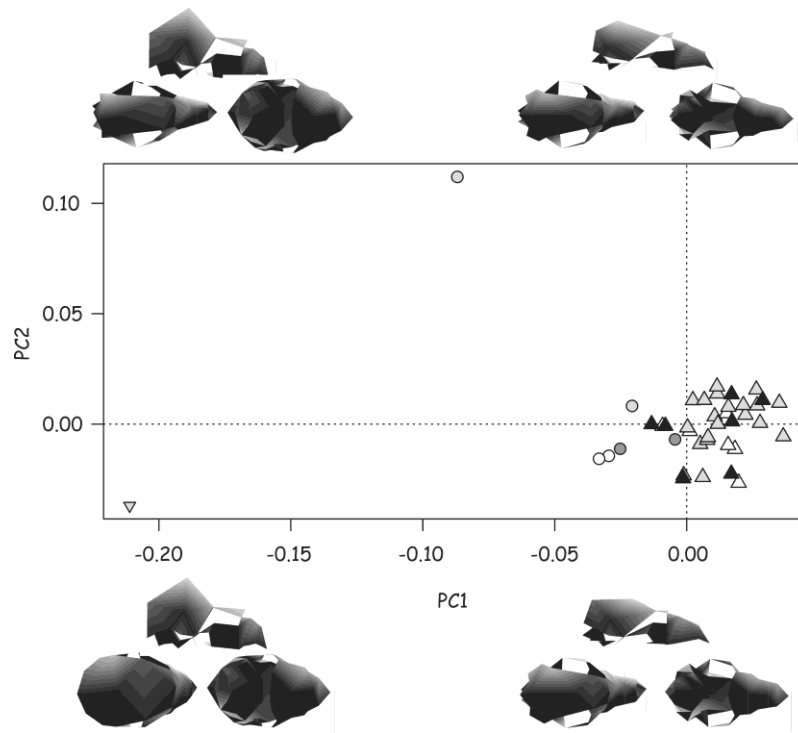


Fig. 61. Boxplots de *Lycalopex vetulus* para ventajas mecánicas contra clases de edad. Tamaño de los músculos masticatorios (A), ventaja mecánica del músculo masetero al canino (B), ventaja mecánica del músculo masetero al carnicero (C), ventaja mecánica del músculo temporal al canino (D), ventaja mecánica del músculo temporal al carnicero (E). Los boxplots incluyeron mediana, mínimo y máximo, y cuartiles superiores e inferiores (75 y 25%, respectivamente).



Fig.62. *Speothos venaticus*. Vista dorsal, ventral, lateral y mandíbula del ejemplar J1: AMNH 136284 (A-C-E-G) y A2: USNM 270370 (B-D-F-H). Escala: 2 cm.

A



B

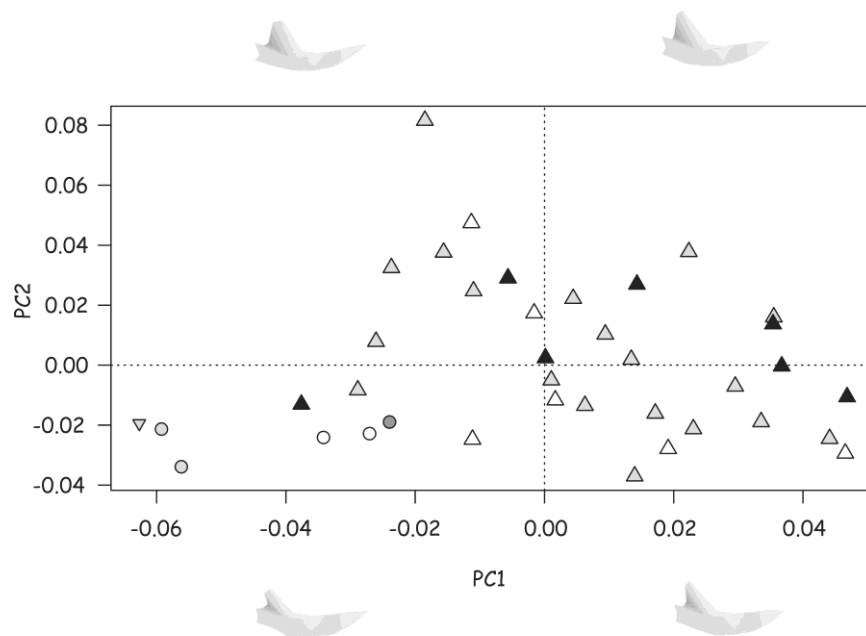


Fig. 63. PC1 vs PC2 para cráneo (A) y mandíbula (B) de *Speothos venaticus*. Símbolos: B ▽, J1 ○, J2 ●, J3 ●, A1 △, A2 △, A3 ▲.

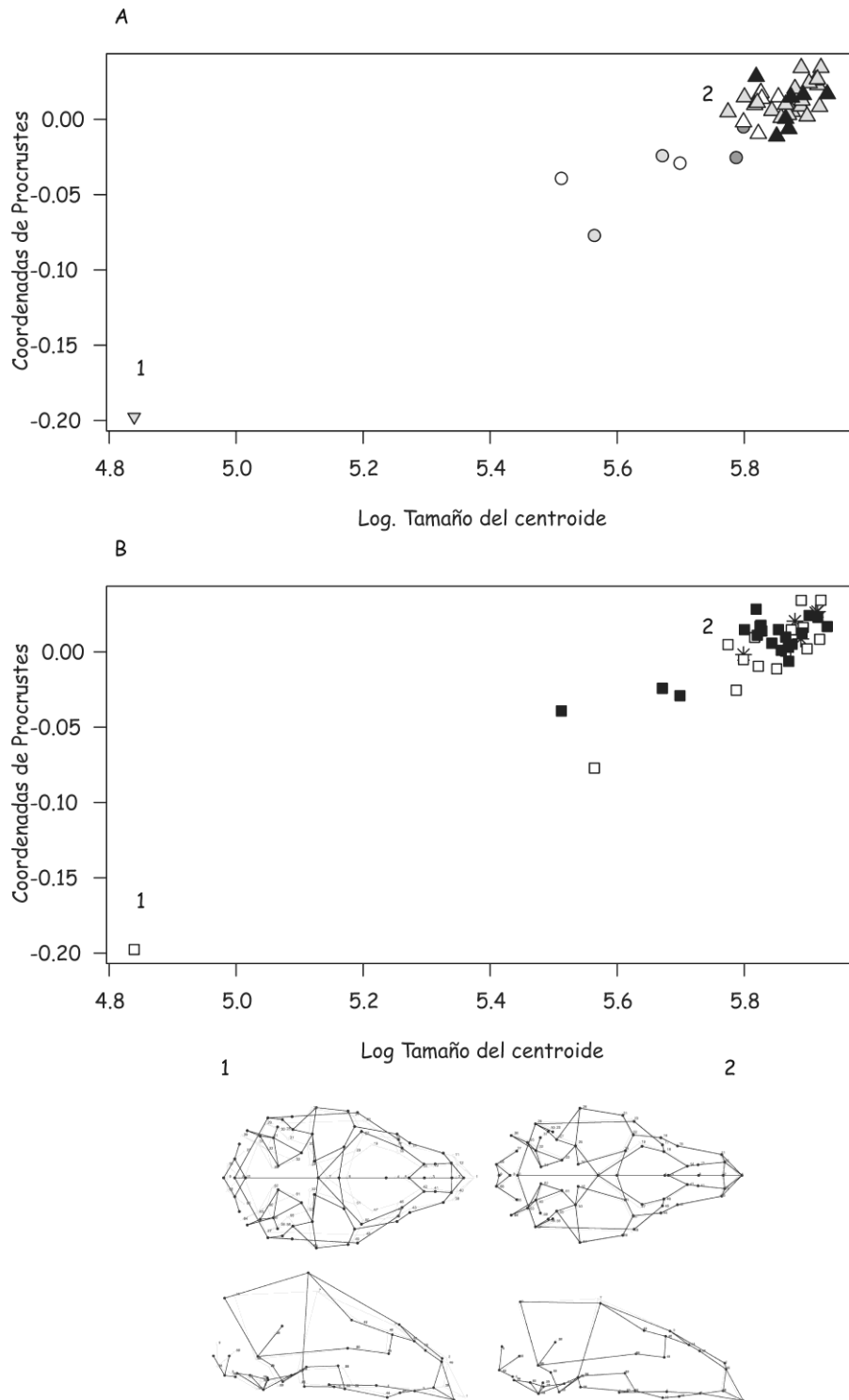


Fig. 64. Regresión de coordenadas de Procrustes contra tamaño de centroide log-transformado para cráneos de *Speothos venaticus*, teniendo en cuenta las clases de edad (A) y los sexos (B). Símbolos: J1 ○, J2 ●, J3 ●, A1 △, A2 △, A3 ▲, Machos ■, Hembras □, Especímenes no sexados *, 1 formas pequeñas, 2 formas grandes.

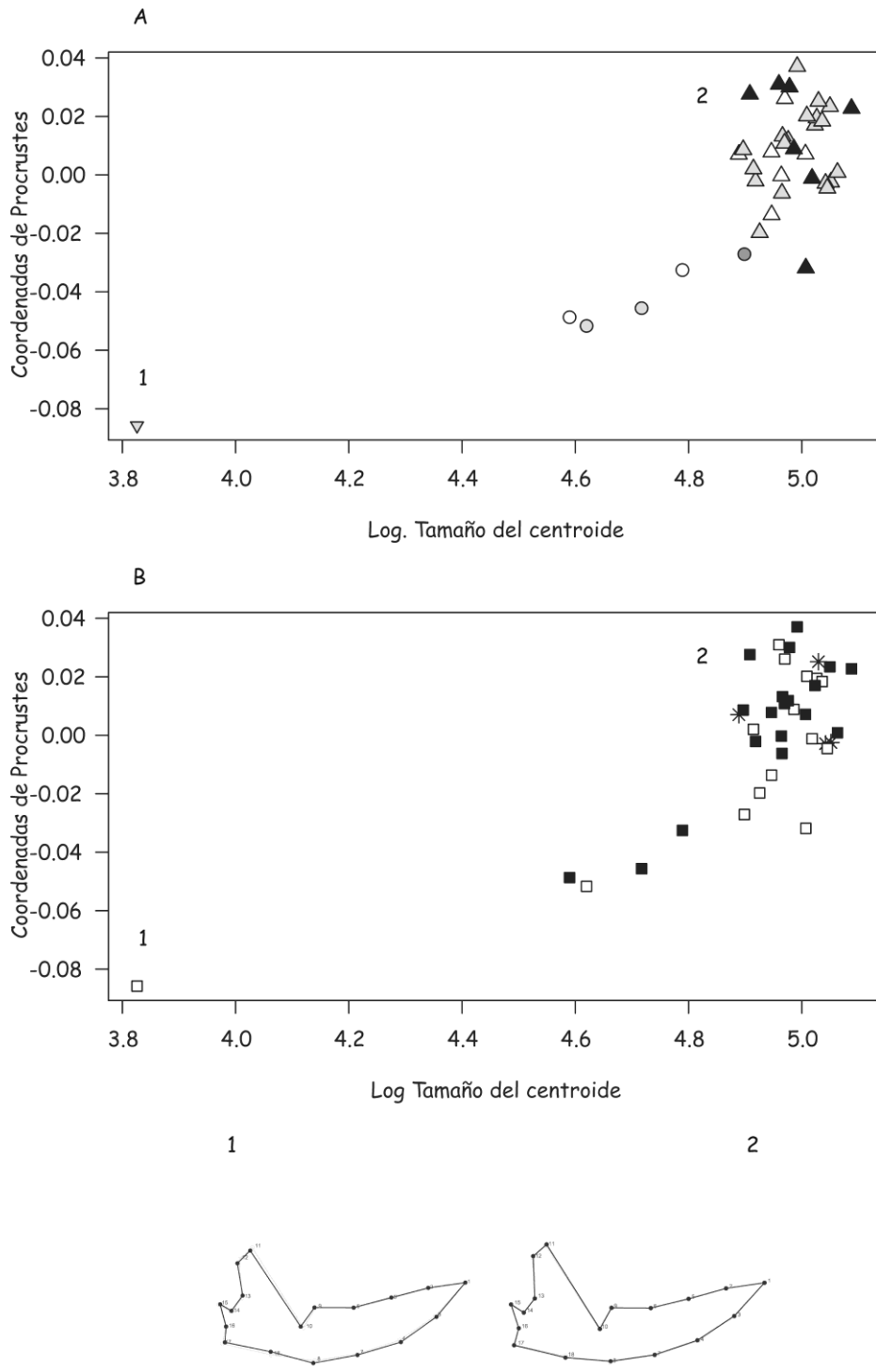


Fig. 65. Regresión de coordenadas de Procrustes contra tamaño de centroide log-transformado para mandíbulas de *Speothos venaticus*, teniendo en cuenta las clases de edad (A) y los sexos (B). Símbolos: J1 □, J2 ●, J3 ●, A1 △, A2 △, A3 ▲, Machos ■, Hembras □, Especímenes no sexados *, 1 formas pequeñas, 2 formas grandes.

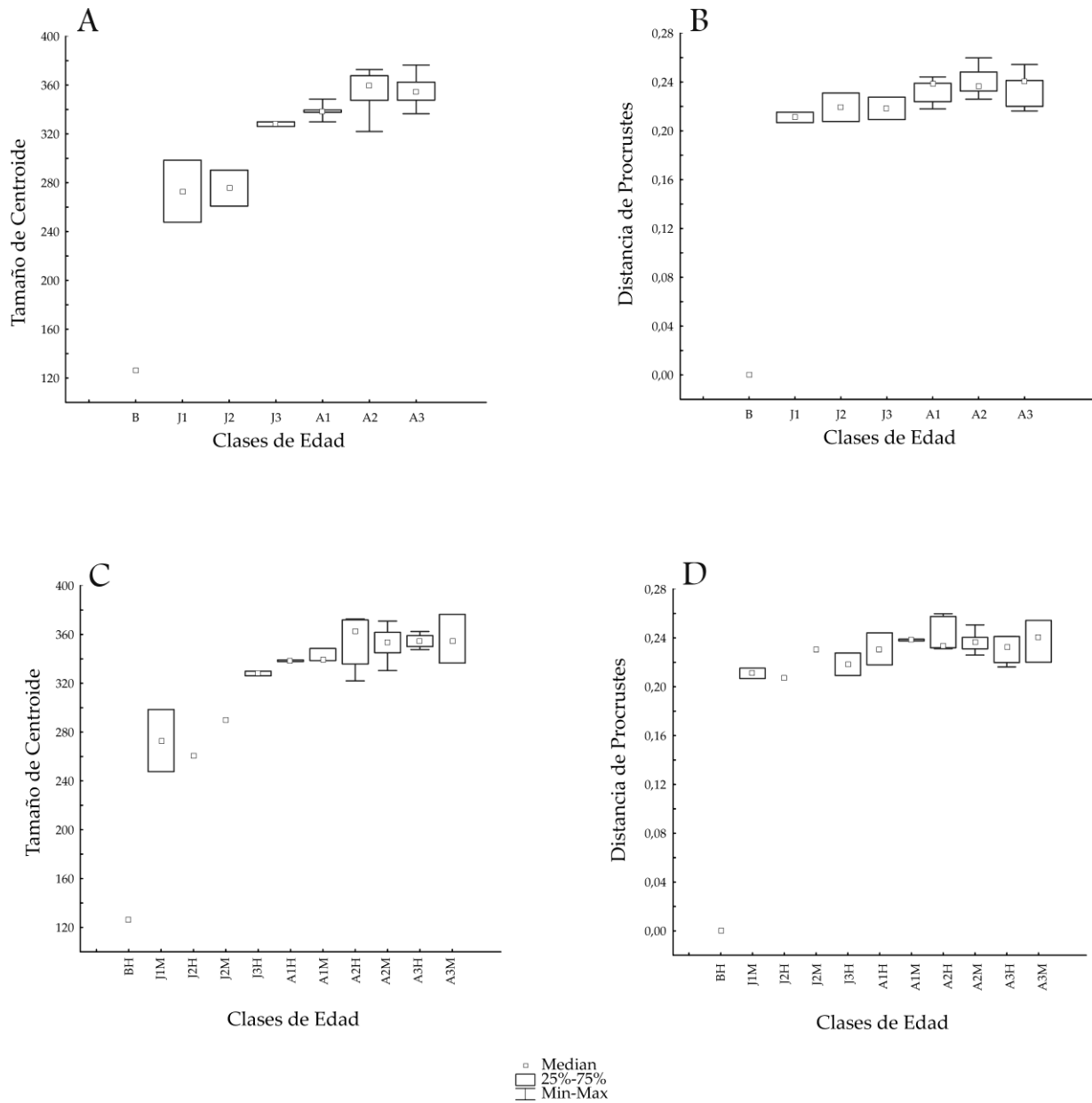


Fig. 66. Boxplots de *Speothos venaticus* para tamaño y forma craneana contra clases de edad. Tamaño de centroide (A) y distancia de Procrustes (B) del cráneo sin tener en cuenta el sexo. Tamaño de centroide (C) y distancia de Procrustes (D) teniendo en cuenta el sexo. Los boxplots incluyeron mediana, mínimo y máximo, y cuartiles superiores e inferiores (75 y 25%, respectivamente).

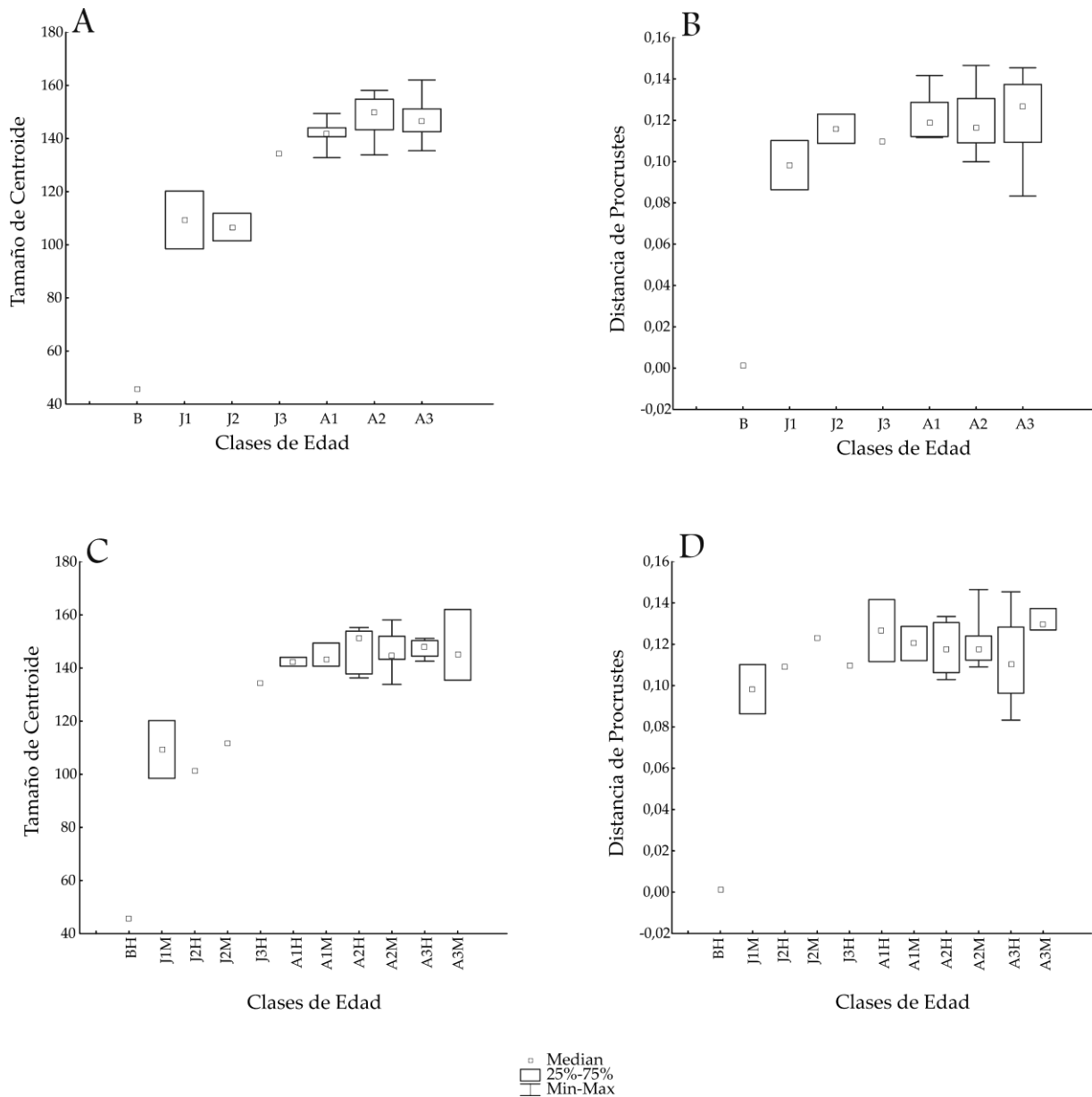


Fig. 67. Boxplots de *Speothos venaticus* para tamaño y forma mandibular contra clases de edad. Tamaño de centroide (A) y distancia de Procrustes (B) de la mandíbula sin tener en cuenta el sexo. Tamaño de centroide (C) y distancia de Procrustes (D) teniendo en cuenta el sexo. Los boxplots incluyeron mediana, mínimo y máximo, y cuartiles superiores e inferiores (75 y 25%, respectivamente).

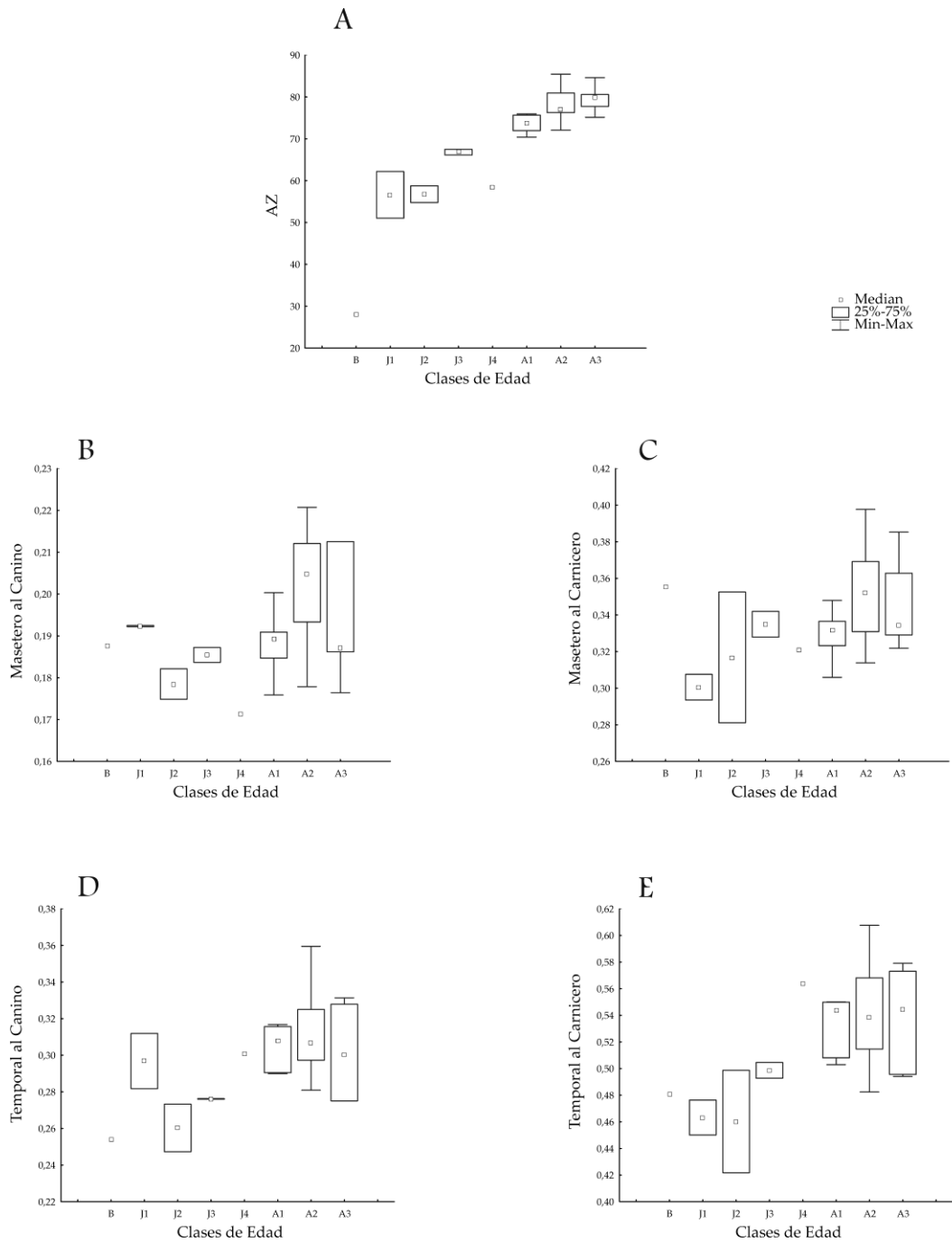


Fig. 68. Boxplots de *Speothos venaticus* para ventajas mecánicas contra clases de edad. Tamaño de los músculos masticatorios (A), ventaja mecánica del músculo masetero al canino (B), ventaja mecánica del músculo masetero al carnicero (C), ventaja mecánica del músculo temporal al canino (D), ventaja mecánica del músculo temporal al carnicero (E). Los boxplots incluyeron mediana, mínimo y máximo, y cuartiles superiores e inferiores (75 y 25%, respectivamente).

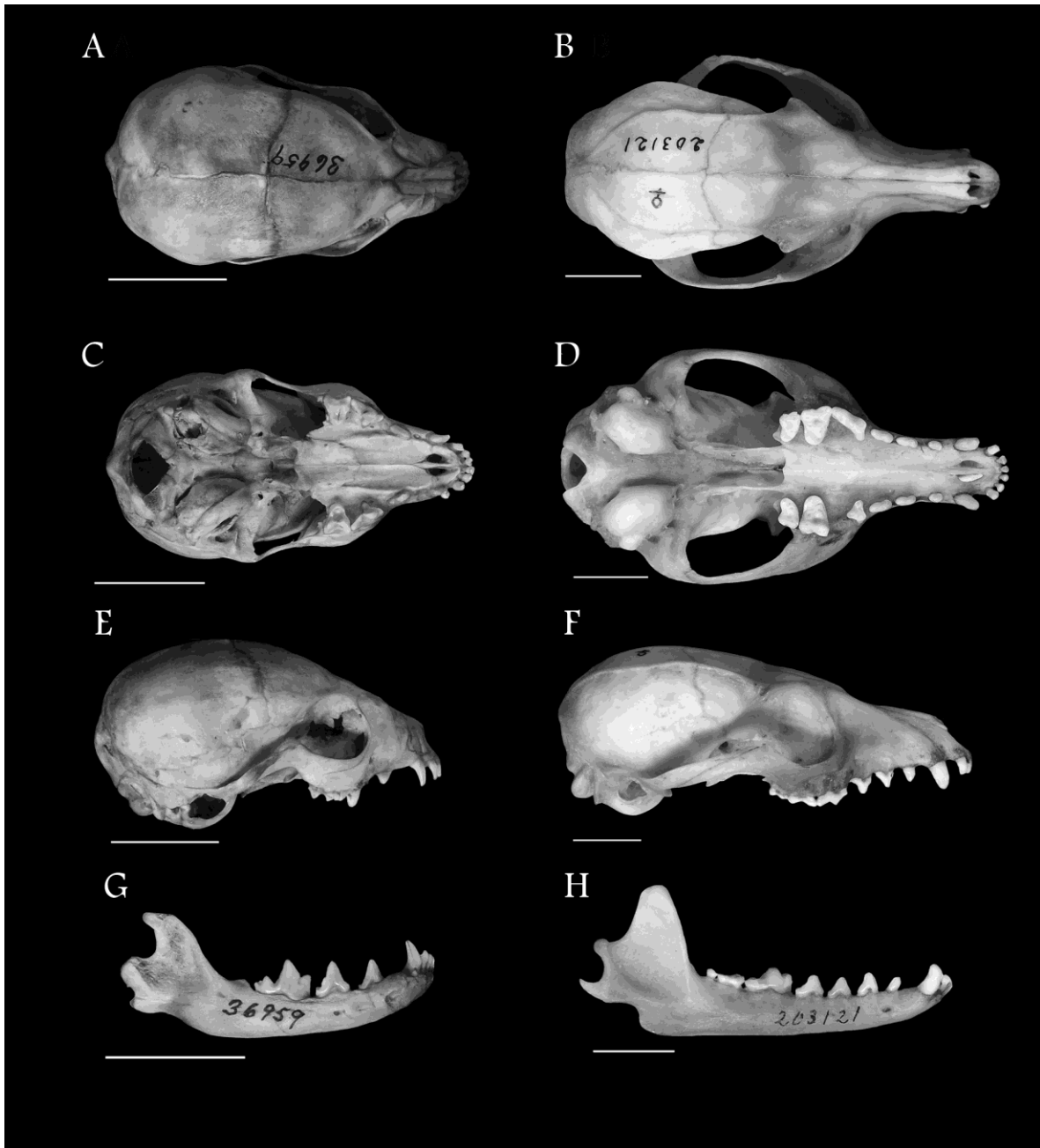
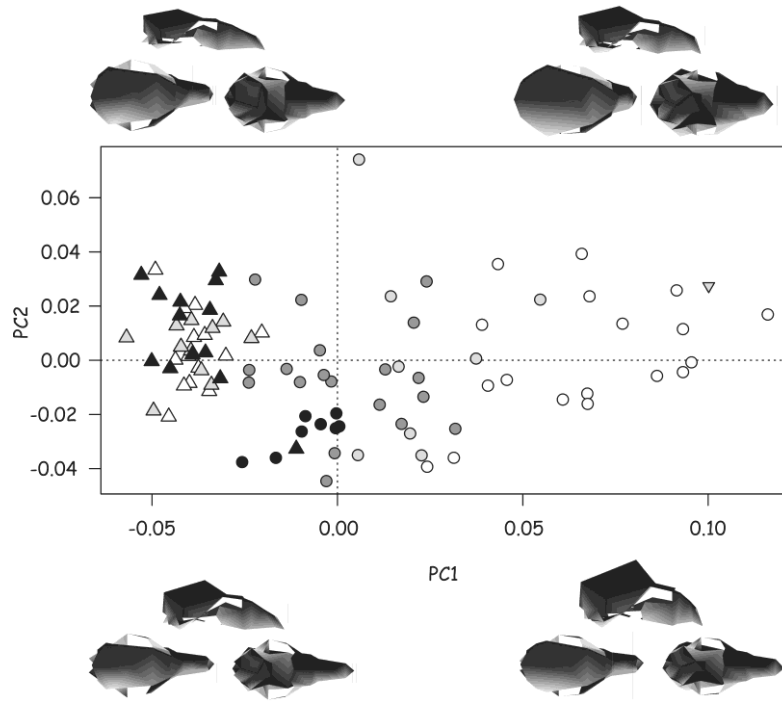


Fig.69. *Urocyon cinereoargenteus*. Vista dorsal, ventral, lateral y mandíbula del ejemplar J1: NMNH 14553 (A-C-E-G) y A3: USNM 203121 (B-D-F-H). Escala: 2 cm.

A



B

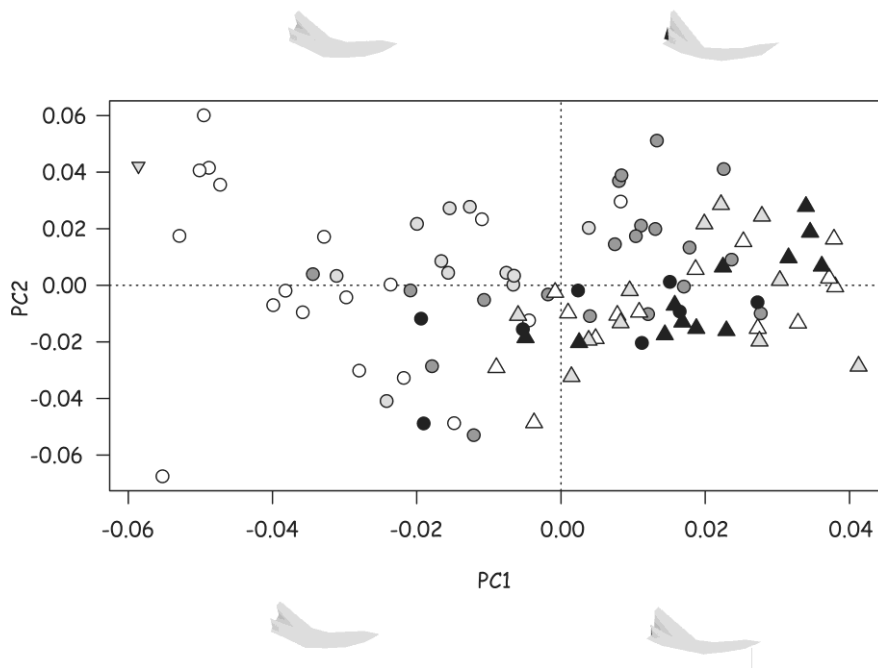


Fig. 70. PC1 vs PC2 para cráneo (A) y mandíbula (B) de *Urocyon cinereoargenteus*. Símbolos: B ▽, J1 ○, J2 ●, J3 ●, J4 ●, A1 △, A2 △, A3 ▲.

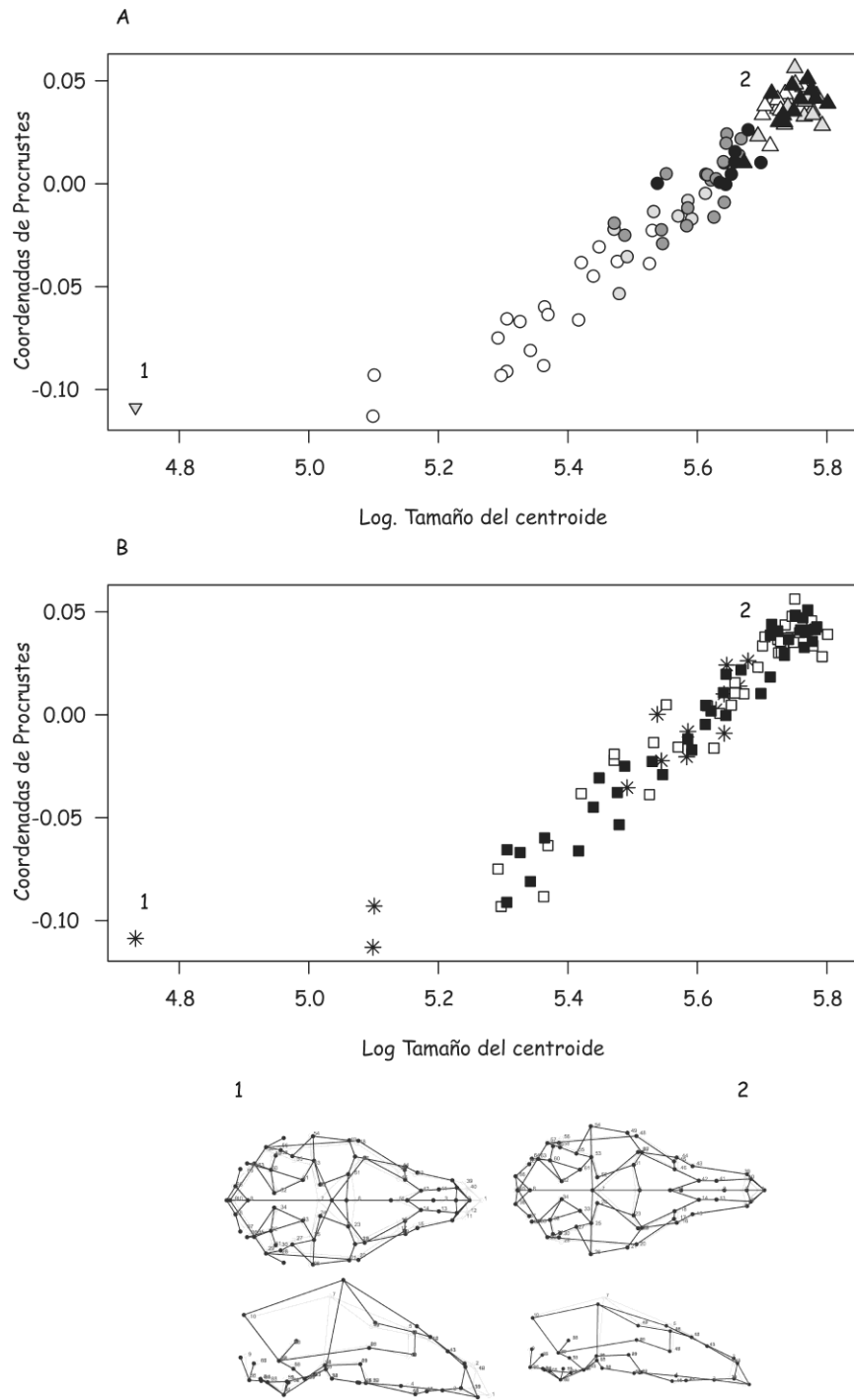


Fig. 71. Regresión de coordenadas de Procrustes contra tamaño de centroide log-transformado para cráneos de *Urocyon cinereoargenteus*, teniendo en cuenta las clases de edad (A) y los sexos (B). Símbolos: B ▽, J1 ○, J2 ●, J3 ●, J4 ●, A1 △, A2 △, A3 ▲, Machos ■, Hembras □, Especímenes no sexados *, 1 formas pequeñas, 2 formas grandes.

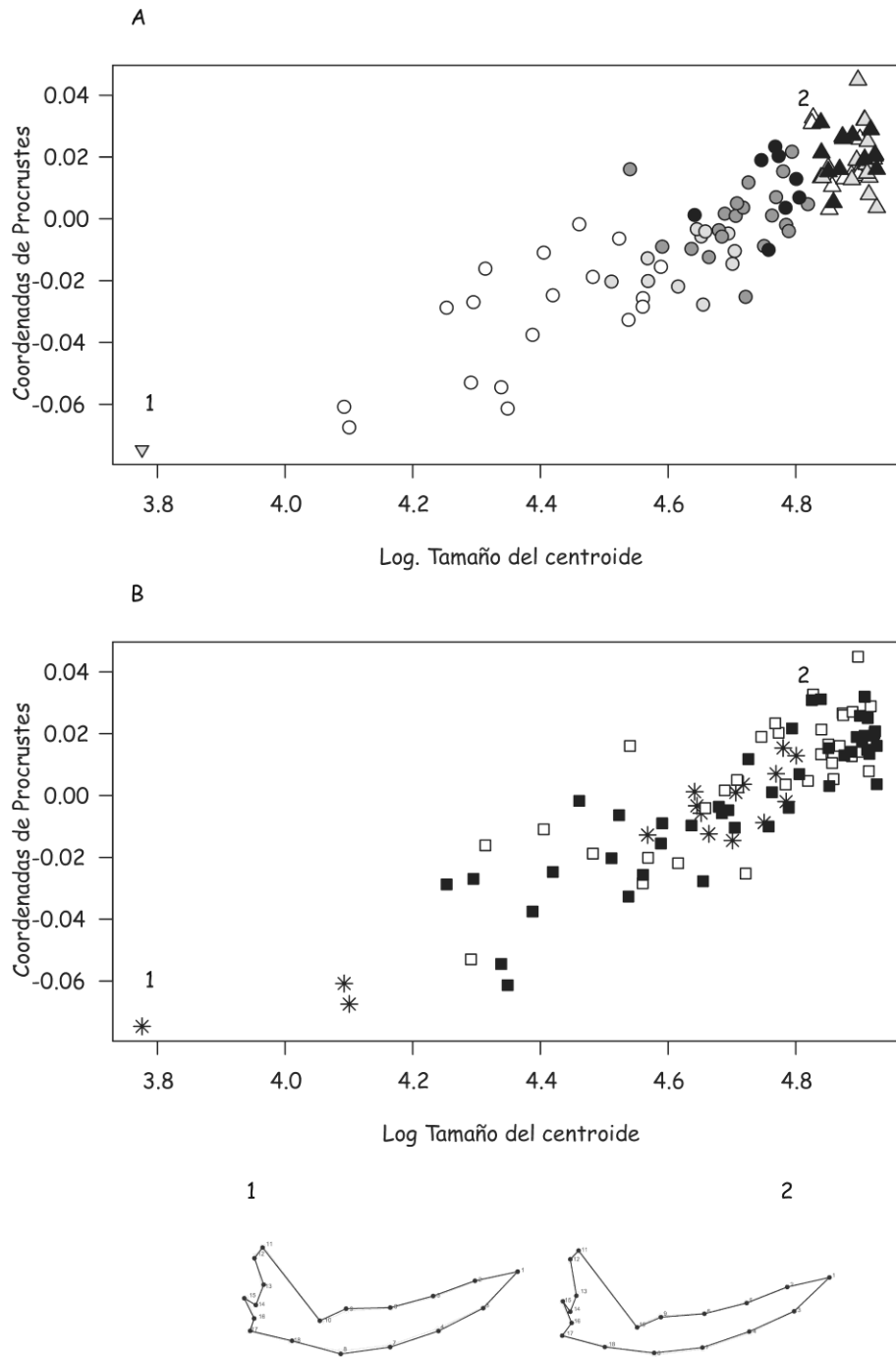


Fig. 72. Regresión de coordenadas de Procrustes contra tamaño de centroide log-transformado para mandíbulas de *Urocyon cinereoargenteus*, teniendo en cuenta las clases de edad (A) y los sexos (B). B ▽, J1○, J2 ●, J3 ●, J4 ●, A1 △, A2 △, A3 ▲, Machos ■, Hembras □, Especímenes no sexados *, 1 formas pequeñas, 2 formas grandes.

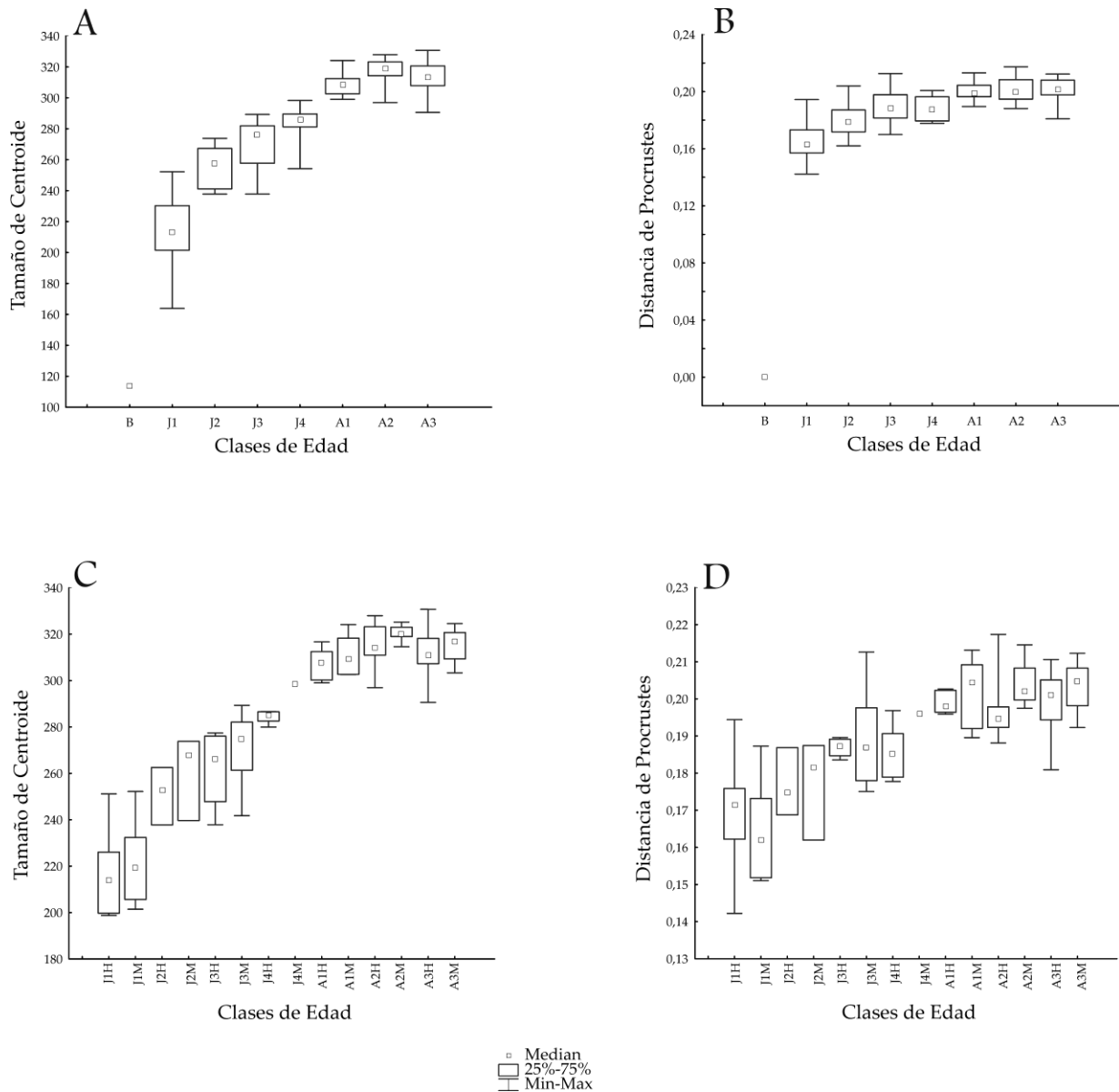


Fig. 73. Boxplots de *Urocyon cinereoargenteus* para tamaño y forma craneana contra clases de edad. Tamaño de centroide (A) y distancia de Procrustes (B) del cráneo sin tener en cuenta el sexo. Tamaño de centroide (C) y distancia de Procrustes (D) teniendo en cuenta el sexo. Los boxplots incluyeron mediana, mínimo y máximo, y cuartiles superiores e inferiores (75 y 25%, respectivamente).

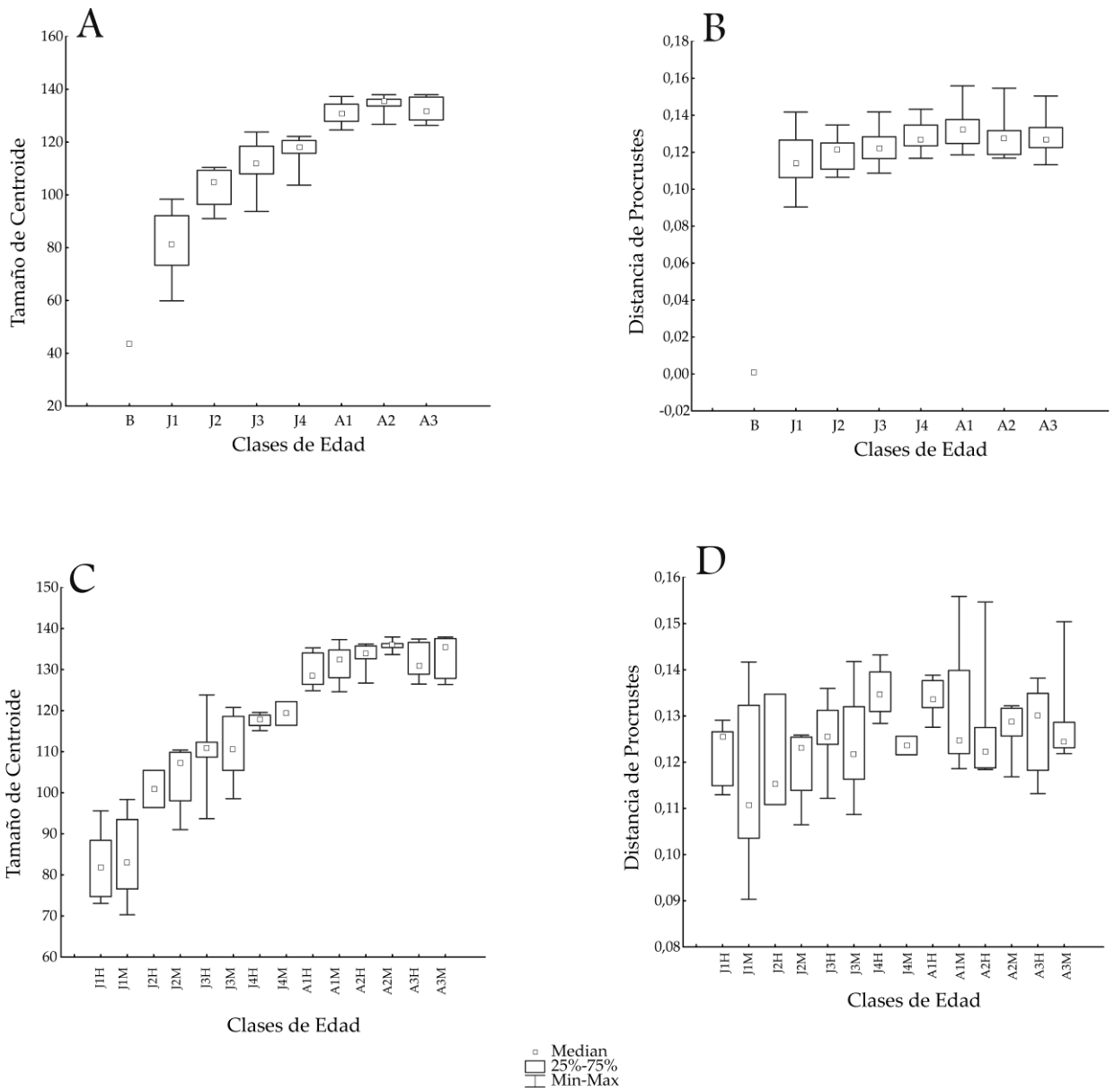


Fig. 74. Boxplots de *Urocyon cinereoargenteus* para tamaño y forma mandibular contra clases de edad. Tamaño de centroide (A) y distancia de Procrustes (B) de la mandíbula sin tener en cuenta el sexo. Tamaño de centroide (C) y distancia de Procrustes (D) teniendo en cuenta el sexo. Los boxplots incluyeron mediana, mínimo y máximo, y cuartiles superiores e inferiores (75 y 25%, respectivamente).

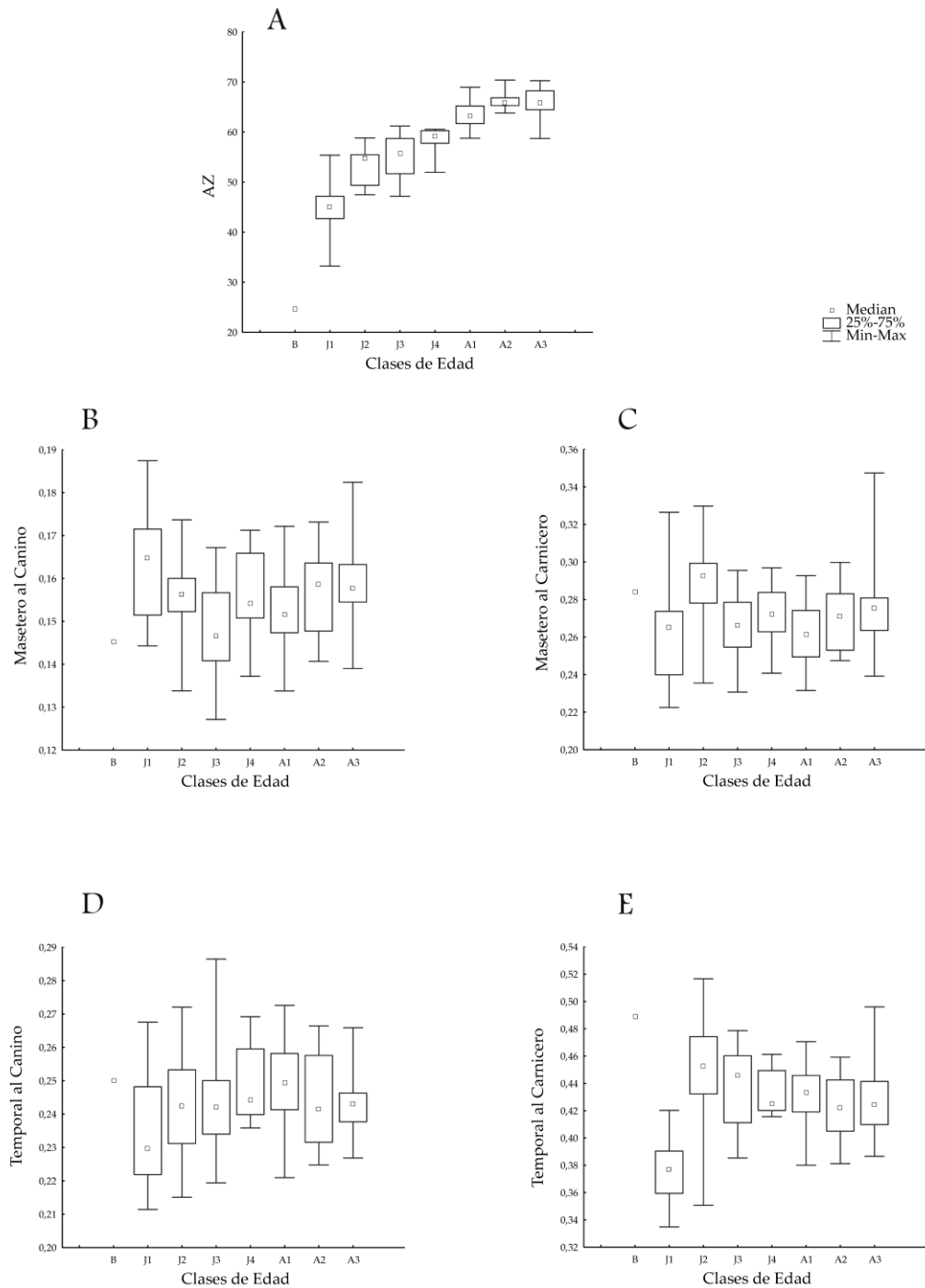


Fig. 75. Boxplots de *Urocyon cinereoargenteus* para ventajas mecánicas contra clases de edad. Tamaño de los músculos masticatorios (A), ventaja mecánica del músculo masetero al canino (B), ventaja mecánica del músculo masetero al carnicero (C), ventaja mecánica del músculo temporal al canino (D), ventaja mecánica del músculo temporal al carnicero (E). Los boxplots incluyeron mediana, mínimo y máximo, y cuartiles superiores e inferiores (75 y 25%, respectivamente).

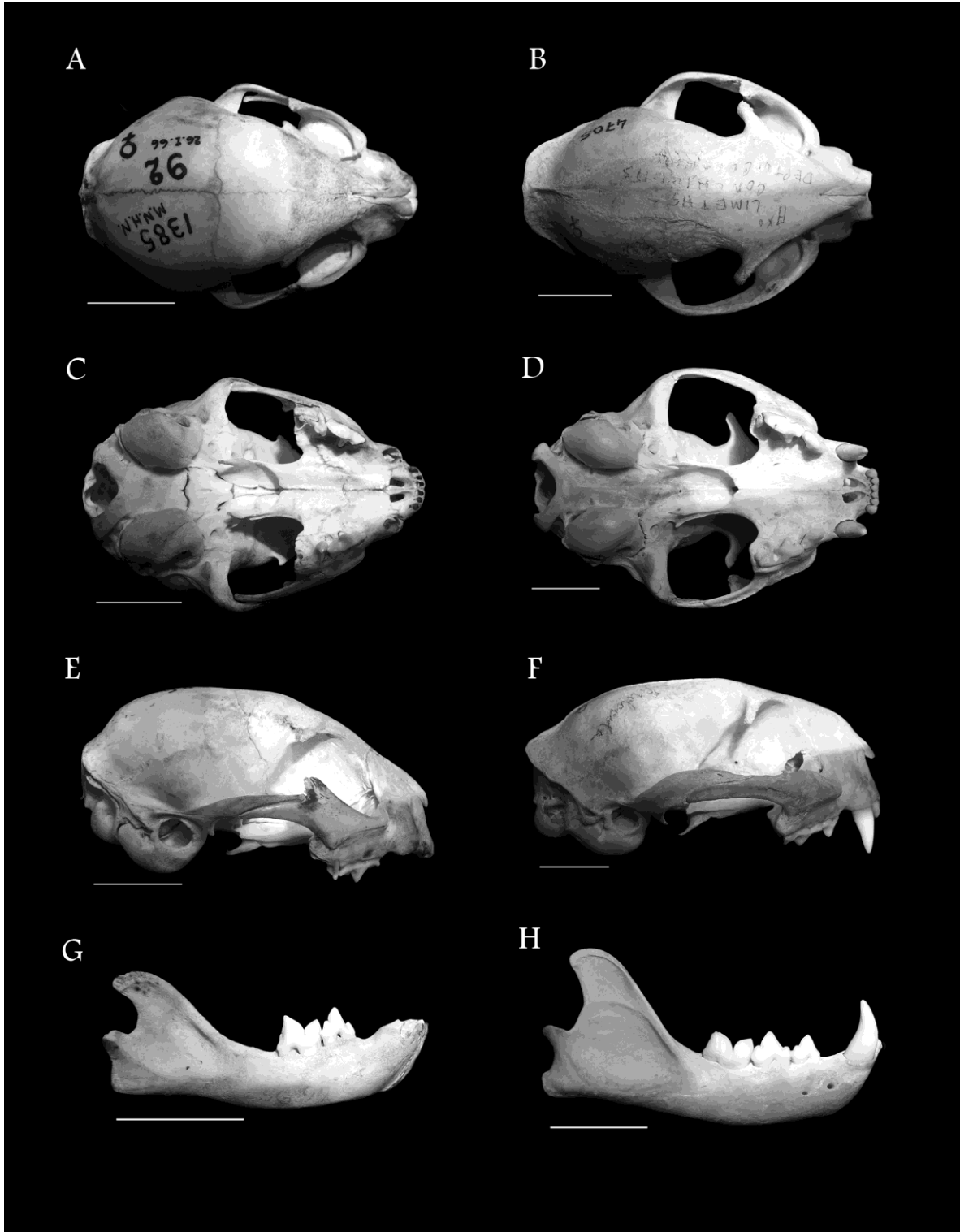
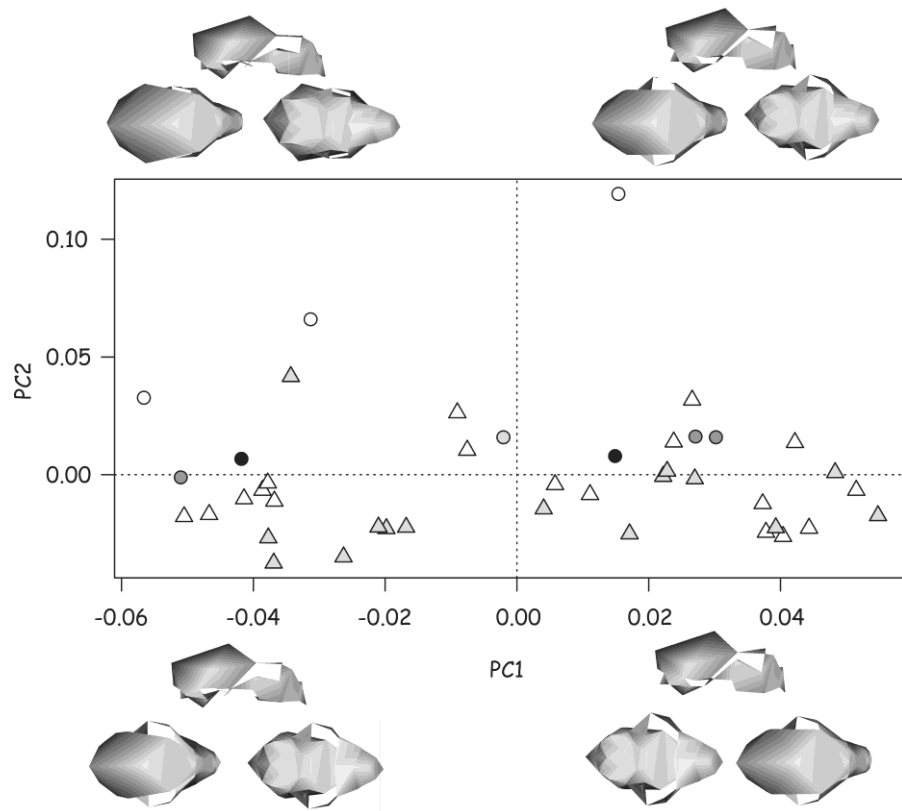


Fig.76. *Leopardus colocolo*. Vista dorsal, ventral, lateral y mandíbula del ejemplar J1: MNHN 1385 (A-C-E-G) y A2: MNHN 4705 (B-D-F-H). Escala: 2 cm.

A



B

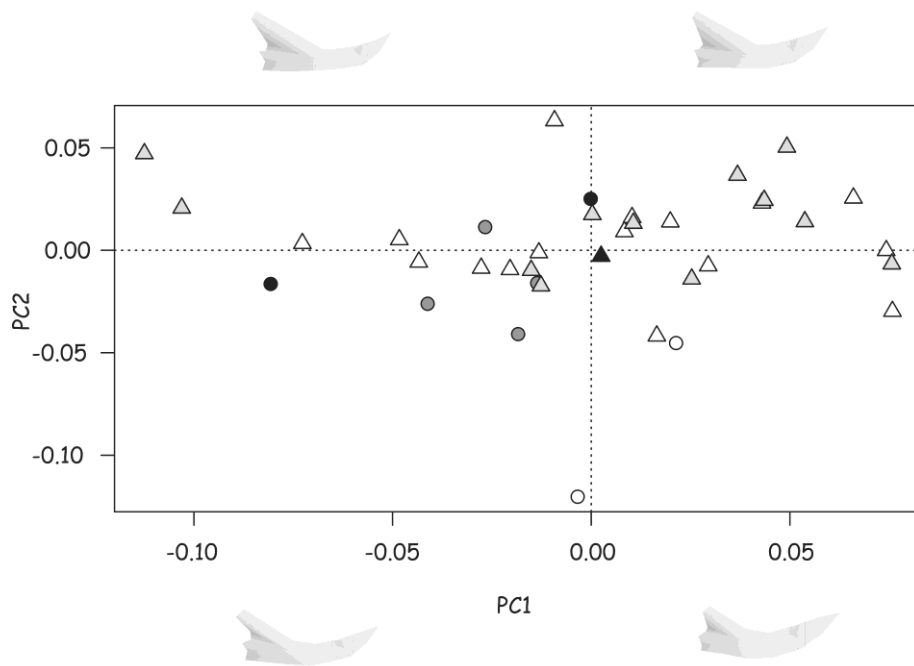


Fig. 77. PC1 vs PC2 para cráneo (A) y mandíbula (B) de *Leopardus colocolo*. Símbolos: J1 ○, J2 ●, J3 ●, J4 ●, A1 △, A2 △, A3 ▲.

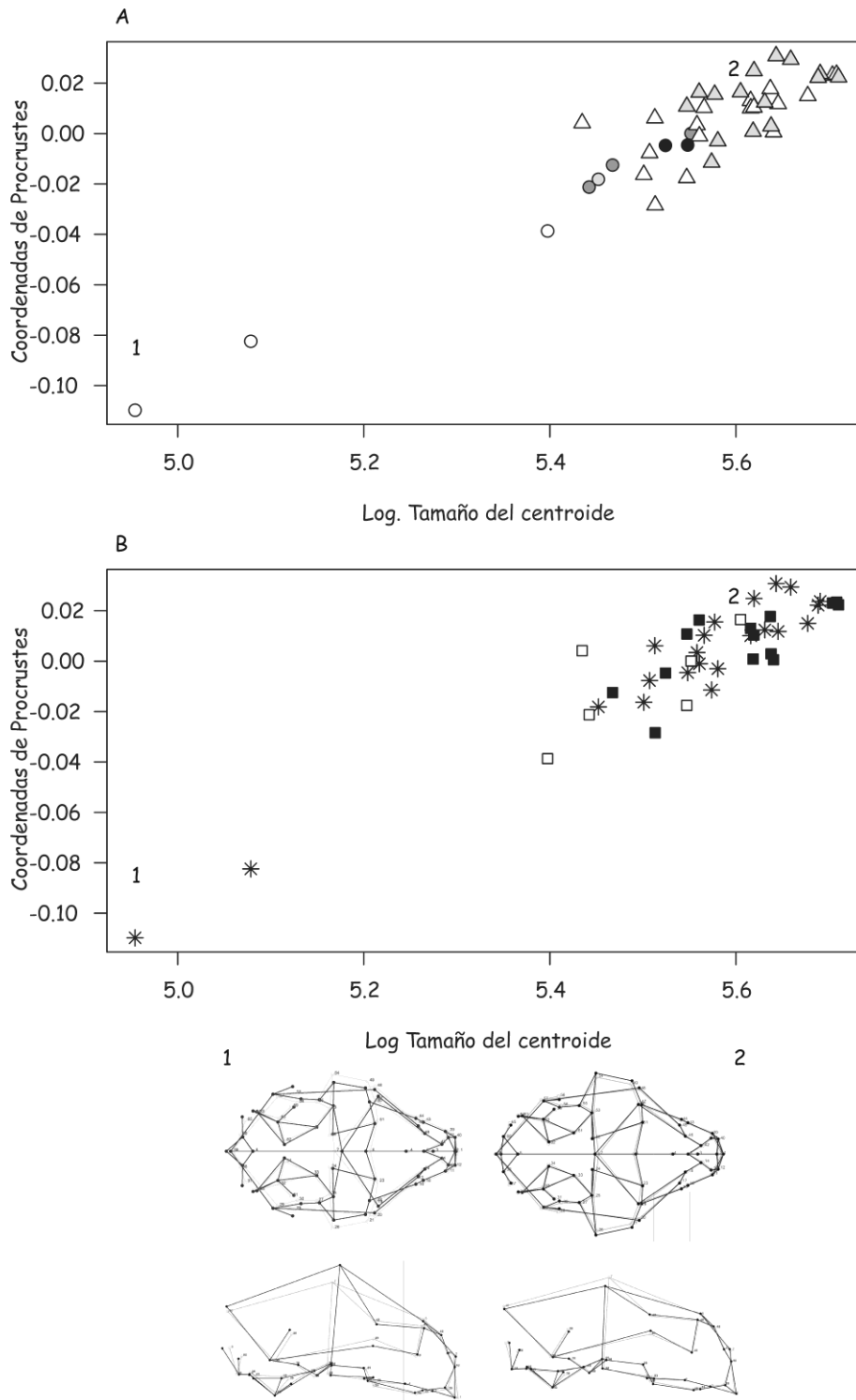


Fig. 78. Regresión de coordenadas de Procrustes contra tamaño de centroide log-transformado para cráneos de *Leopardus colocolo*, teniendo en cuenta las clases de edad (A) y los sexos (B). Símbolos: J1 ○, J2 ●, J3 ●, J4 ●, A1 △, A2 △, Machos ■, Hembras □, Especímenes no sexados *, 1 formas pequeñas, 2 formas grandes.

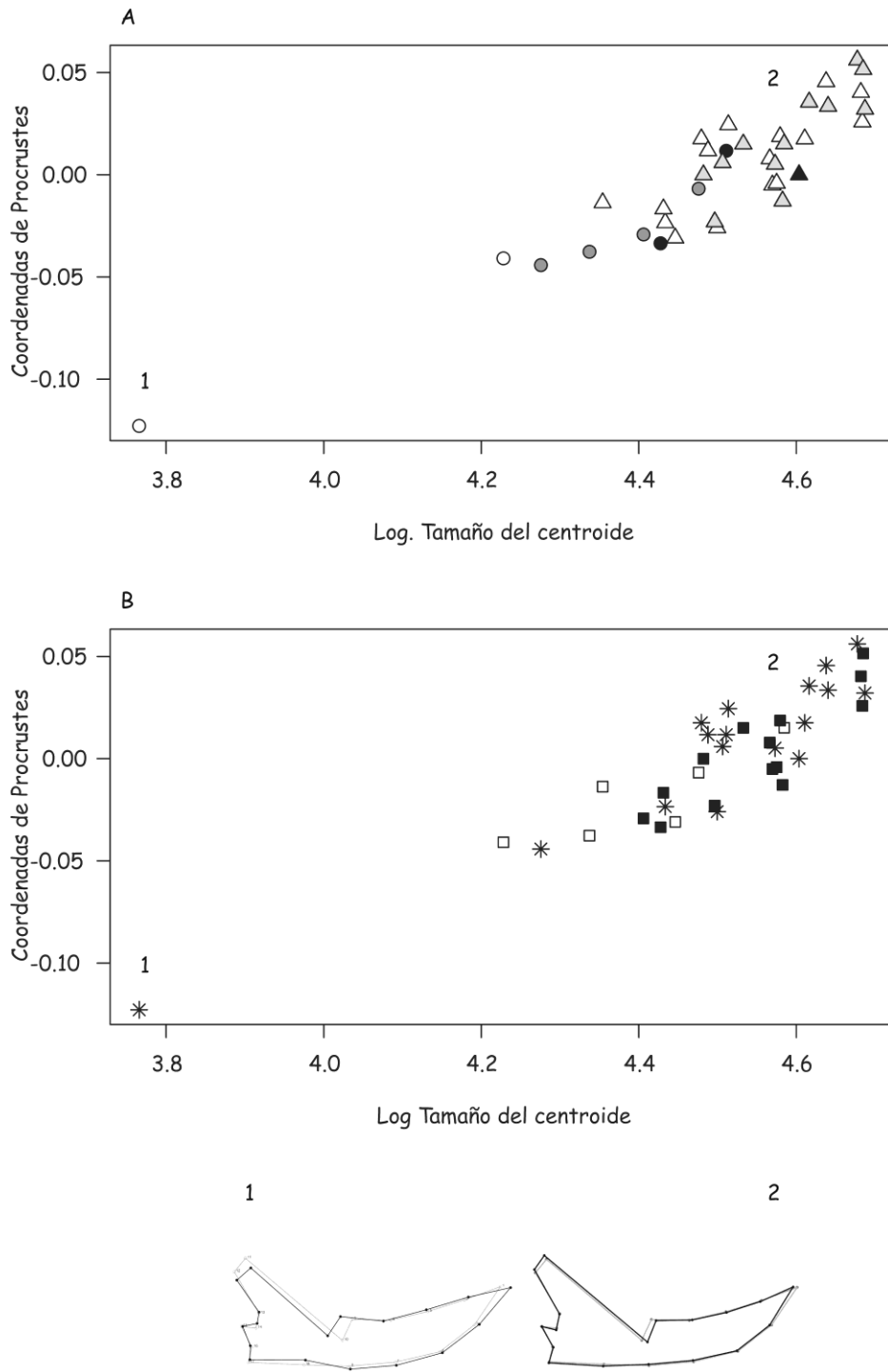


Fig. 79. Regresión de coordenadas de Procrustes contra tamaño de centroide log-transformado para mandíbulas de *Leopardus colocolo*, teniendo en cuenta las clases de edad (A) y los sexos (B). Símbolos: J1 ○, J2 ●, J3 ●, J4 ●, A1 △, A2 △, Machos ■, Hembras □, Especímenes no sexados *, 1 formas pequeñas, 2 formas grandes.

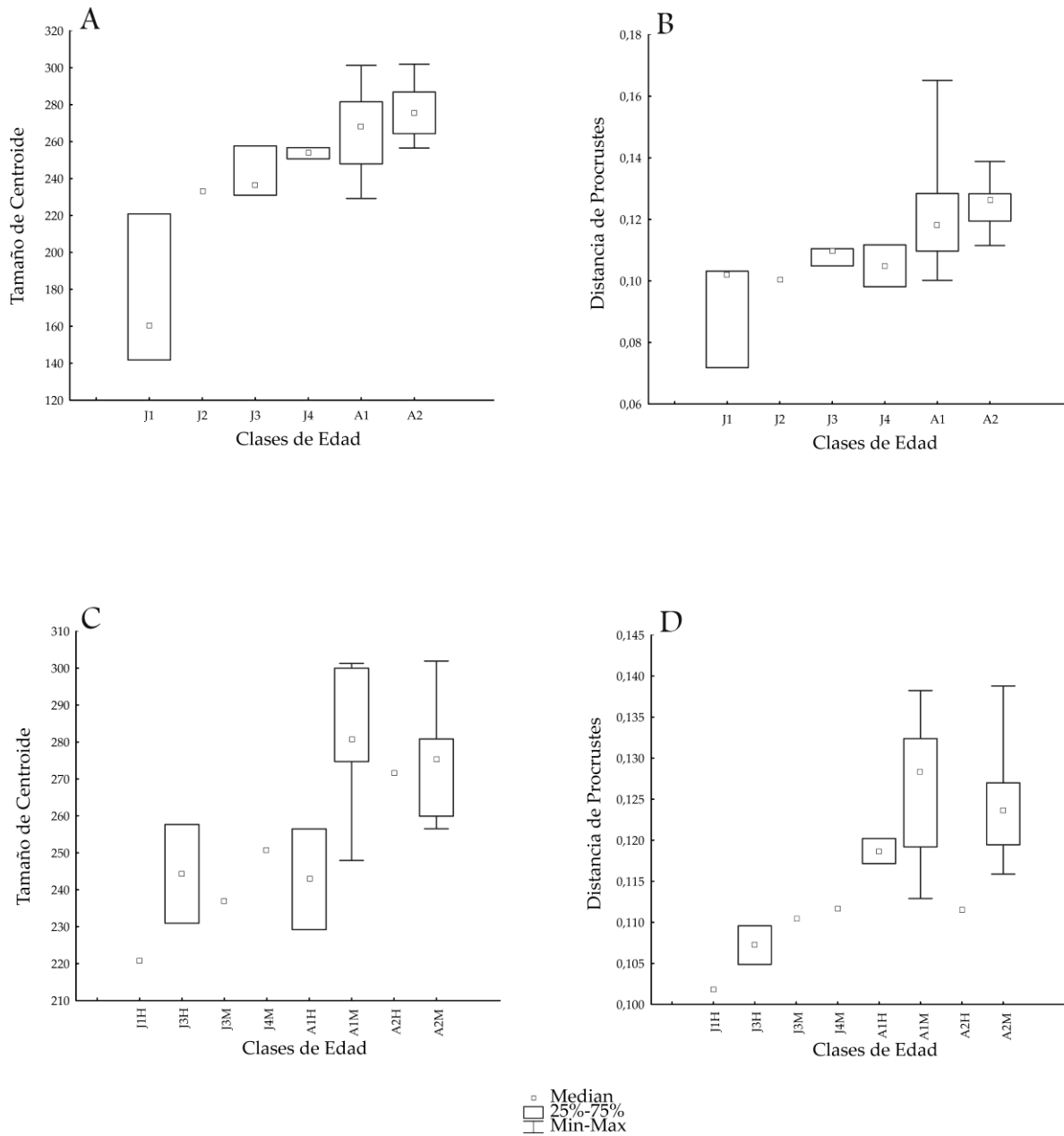


Fig. 80. Boxplots de *Leopardus colocolo* para tamaño y forma craneana contra clases de edad. Tamaño de centroide (A) y distancia de Procrustes (B) del cráneo sin tener en cuenta el sexo. Tamaño de centroide (C) y distancia de Procrustes (D) teniendo en cuenta el sexo. Los boxplots incluyeron mediana, mínimo y máximo, y cuartiles superiores e inferiores (75 y 25%, respectivamente).

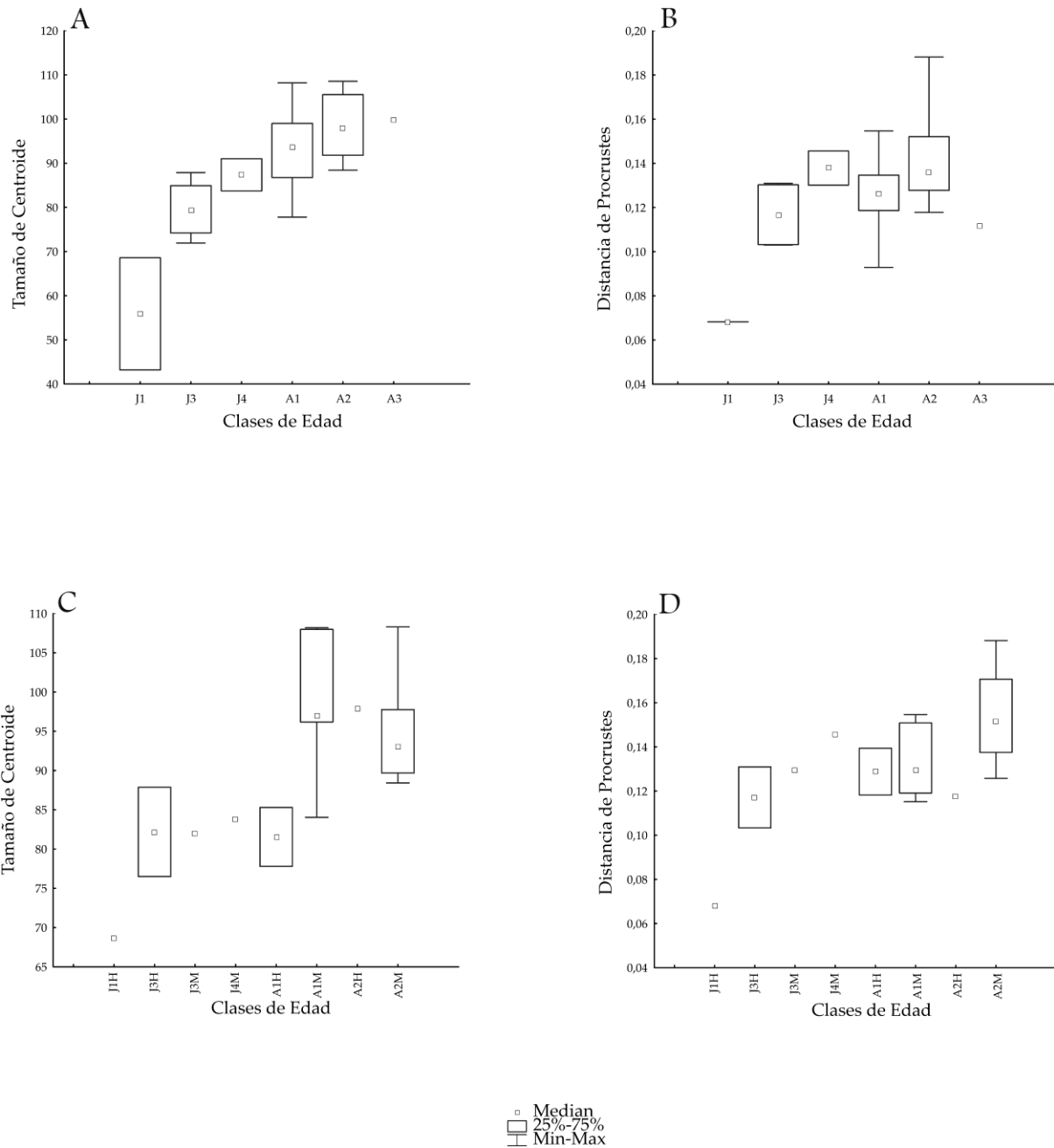


Fig. 81. Boxplots de *Leopardus colocolo* para tamaño y forma mandibular contra clases de edad. Tamaño de centroide (A) y distancia de Procrustes (B) de la mandíbula sin tener en cuenta el sexo. Tamaño de centroide (C) y distancia de Procrustes (D) teniendo en cuenta el sexo. Los boxplots incluyeron mediana, mínimo y máximo, y cuartiles superiores e inferiores (75 y 25%, respectivamente).

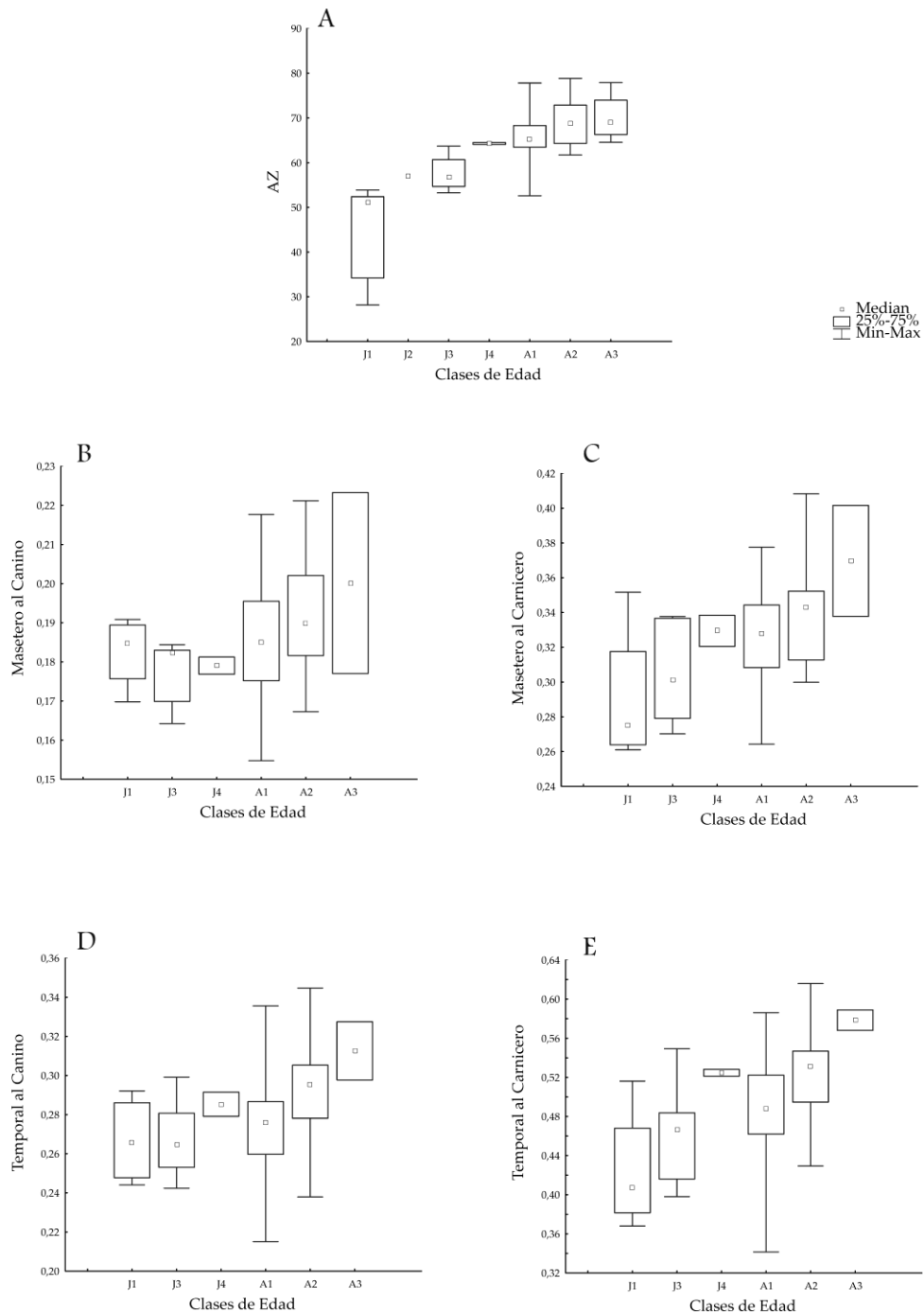


Fig. 82. Boxplots de *Leopardus colocolo* para ventajas mecánicas contra clases de edad. Tamaño de los músculos masticatorios (A), ventaja mecánica del músculo masetero al canino (B), ventaja mecánica del músculo masetero al carnicero (C), ventaja mecánica del músculo temporal al canino (D), ventaja mecánica del músculo temporal al carnicero (E). Los boxplots incluyeron mediana, mínimo y máximo, y cuartiles superiores e inferiores (75 y 25%, respectivamente).

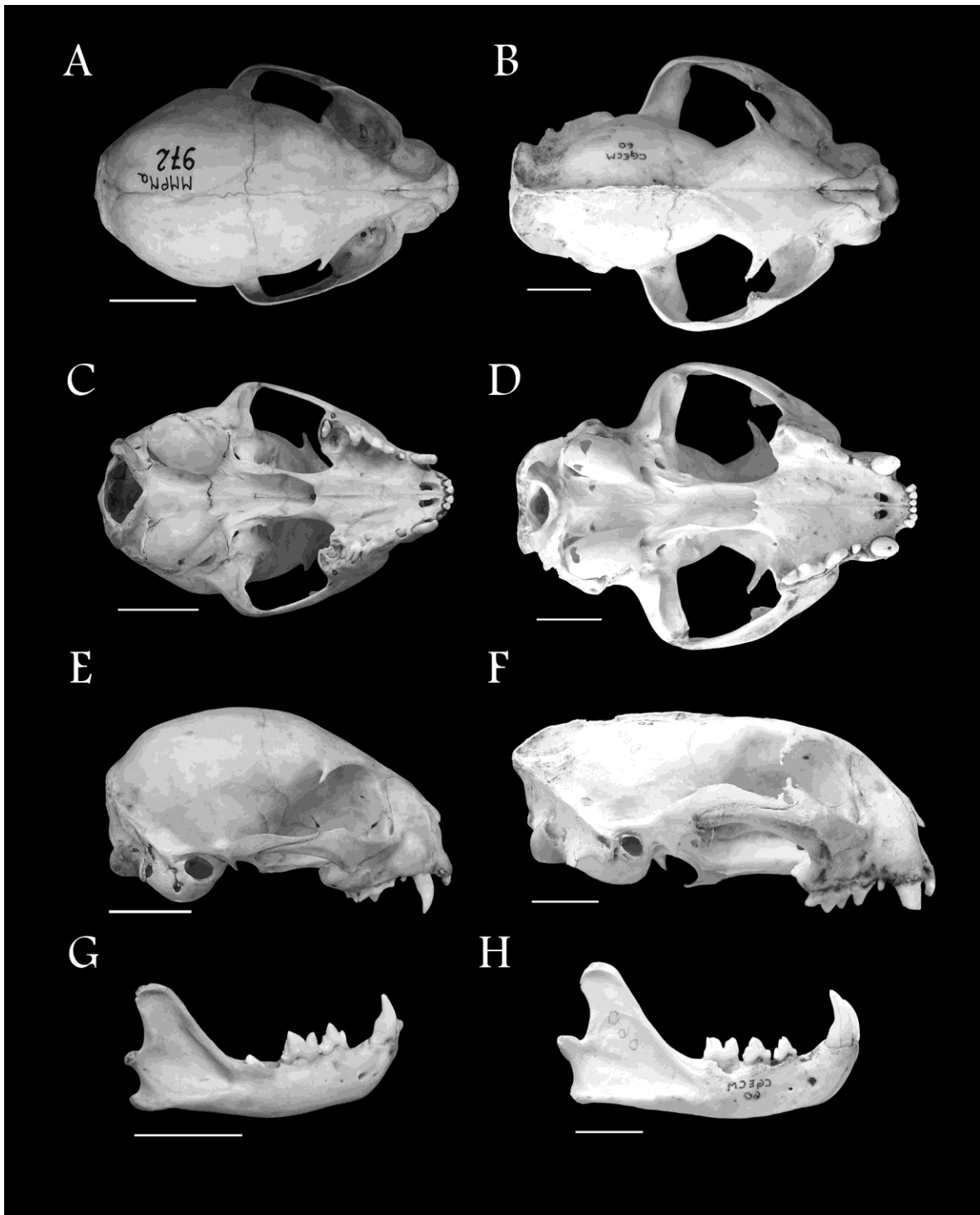
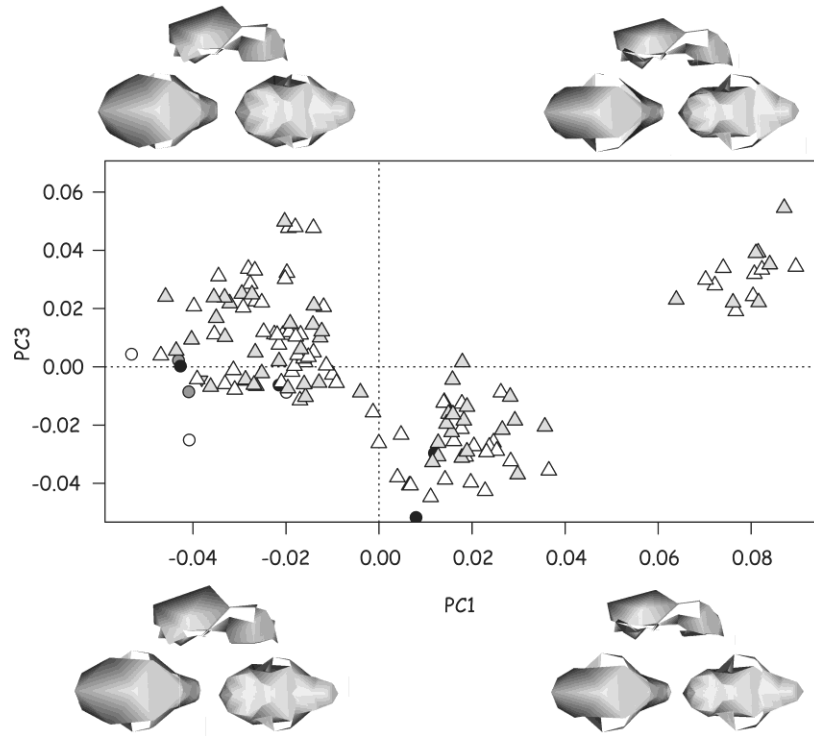


Fig.83. *Leopardus geoffroyi*. Vista dorsal, ventral, lateral y mandíbula del ejemplar J1: MMPMa 972 (A-C-E-G) y A2: GECEM 60 (B-D-F-H). Escala: 2 cm.

A



B

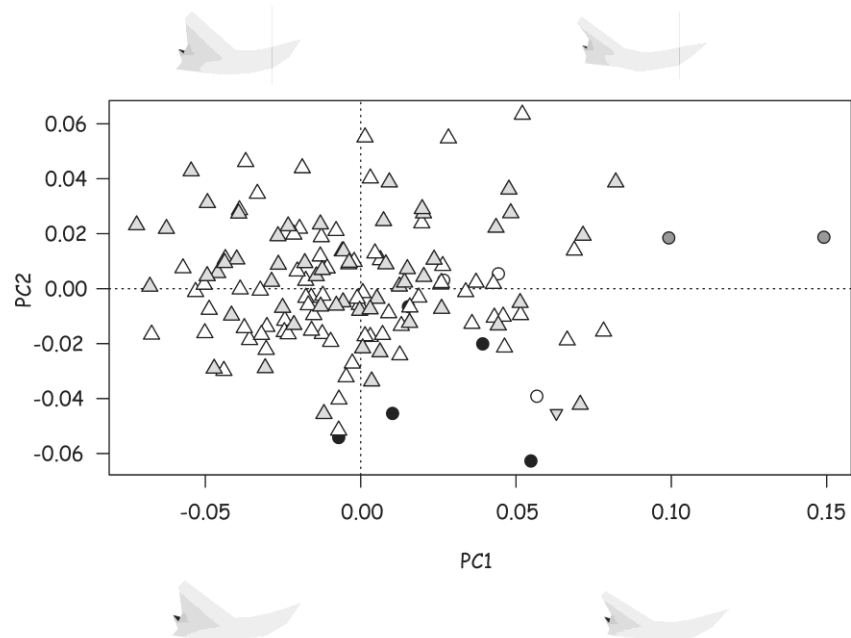


Fig. 84. PC1 vs PC3 para cráneo (A) y PC1 vs PC2 para mandíbula (B) de *Leopardus geoffroyi*. Símbolos: J1 ○, J2 ●, J3 ●, J4 ●, A1 △, A2 △, A3 ▲.

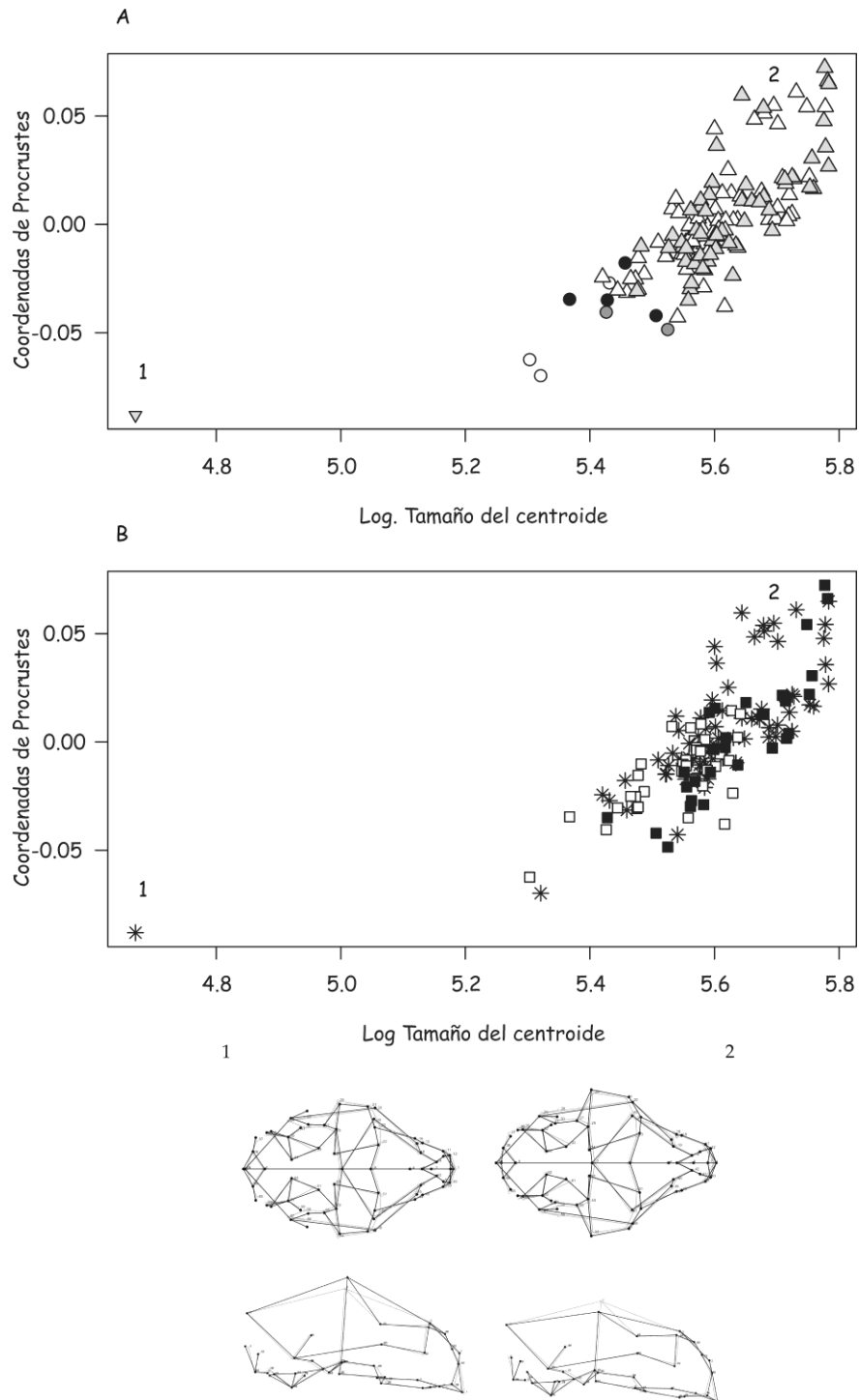


Fig. 85. Regresión de coordenadas de Procrustes contra tamaño de centroide log-transformado para cráneos de *Leopardus geoffroyi*, teniendo en cuenta las clases de edad (A) y los sexos (B). Símbolos: B ▽, J1 ○, J2 ●, J3 ●, J4 ●, A1 △, A2 △, Machos ■, Hembras □, Especímenes no sexados *, 1 formas pequeñas, 2 formas grandes.

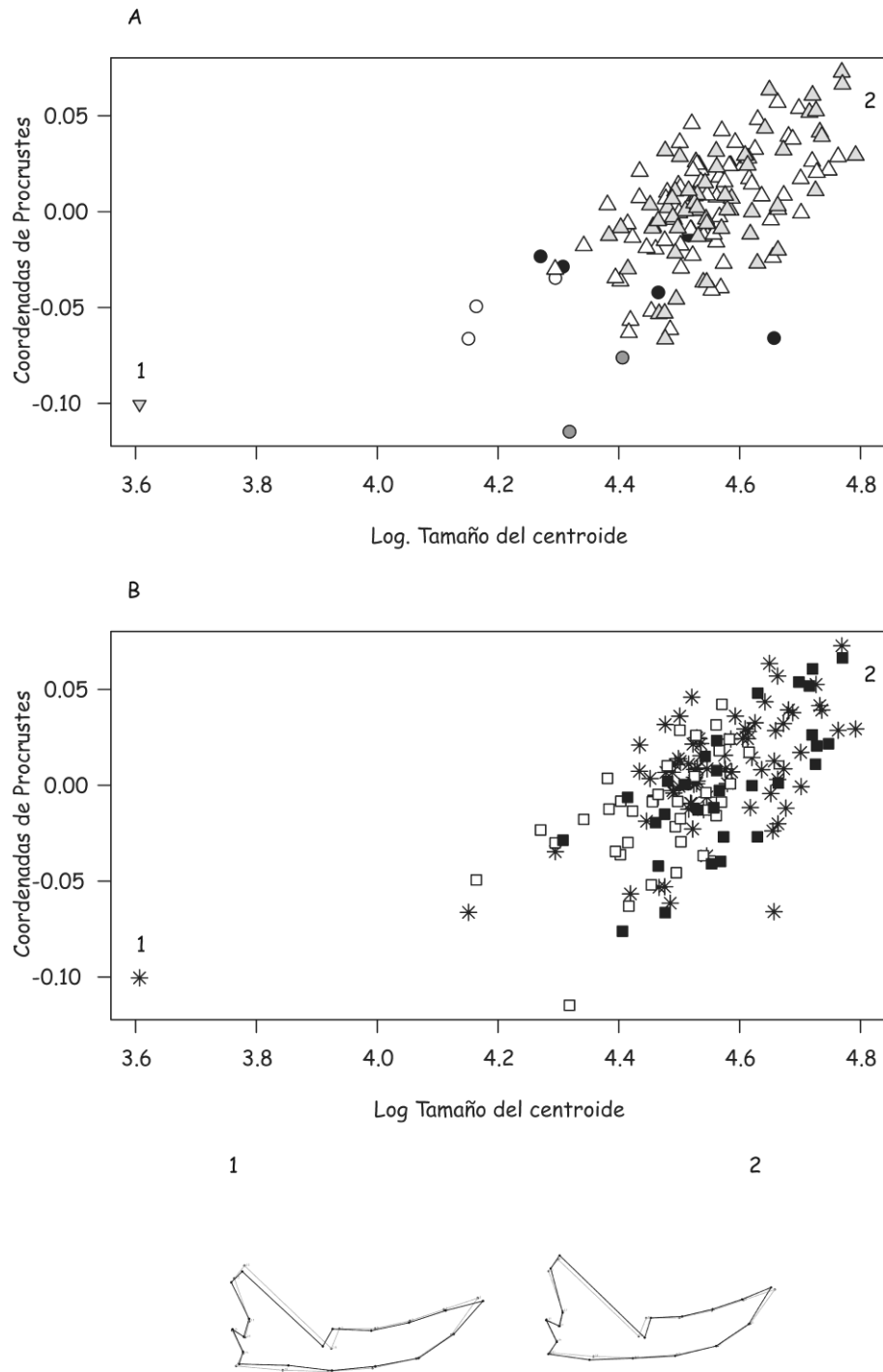


Fig. 86. Regresión de coordenadas de Procrustes contra tamaño de centroide log-transformado para mandíbulas de *Leopardus geoffroyi*, teniendo en cuenta las clases de edad (A) y los sexos (B). Símbolos: B ▽, J1 ○, J2 ●, J3 ●, J4 ●, A1 △, A2 △, Machos ■, Hembras □, Especímenes no sexados *, 1 formas pequeñas, 2 formas grandes.

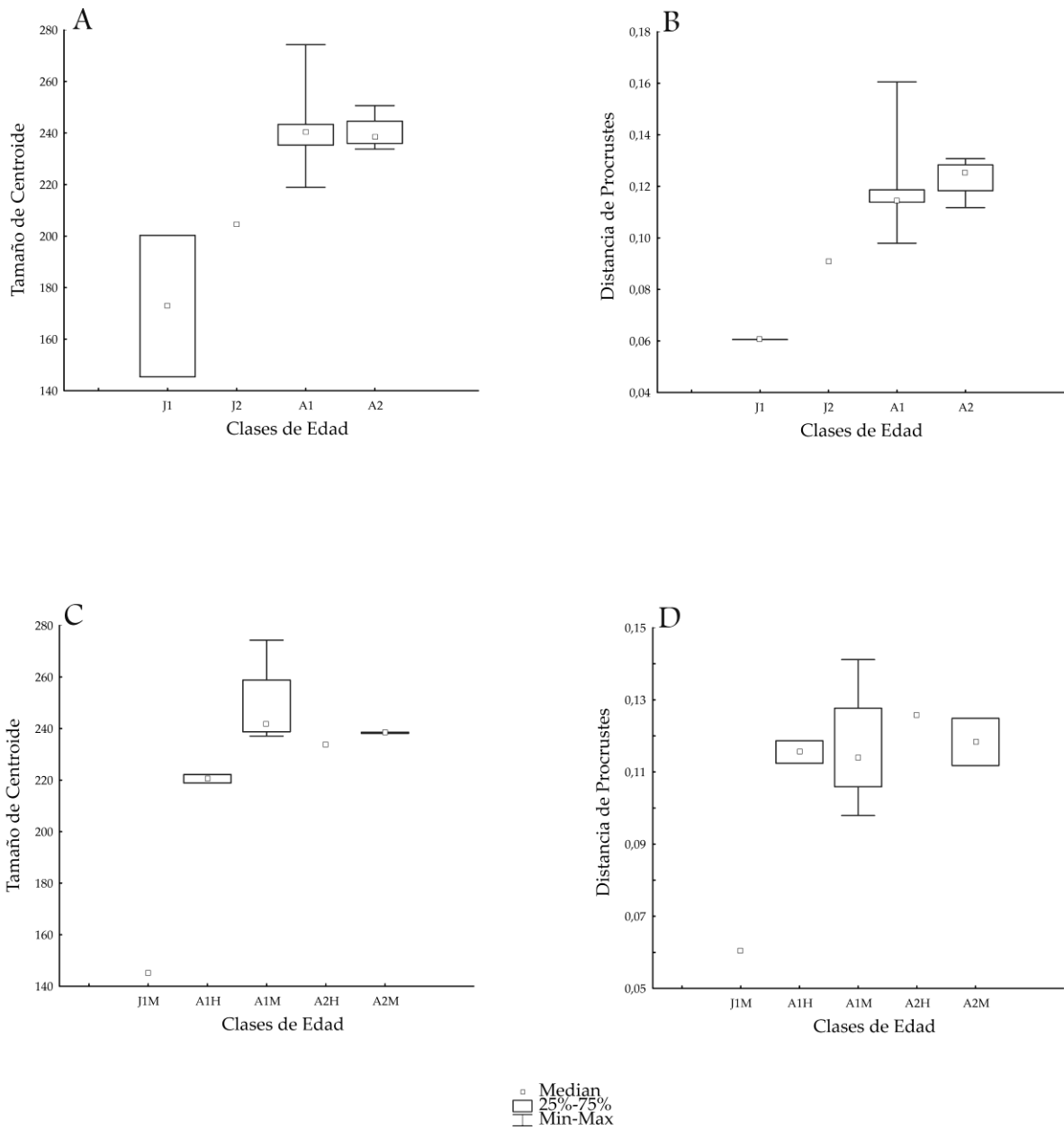


Fig. 87. Boxplots de *Leopardus geoffroyi* para tamaño y forma craneana contra clases de edad. Tamaño de centroide (A) y distancia de Procrustes (B) del cráneo sin tener en cuenta el sexo. Tamaño de centroide (C) y distancia de Procrustes (D) teniendo en cuenta el sexo. Los boxplots incluyeron mediana, mínimo y máximo, y cuartiles superiores e inferiores (75 y 25%, respectivamente).

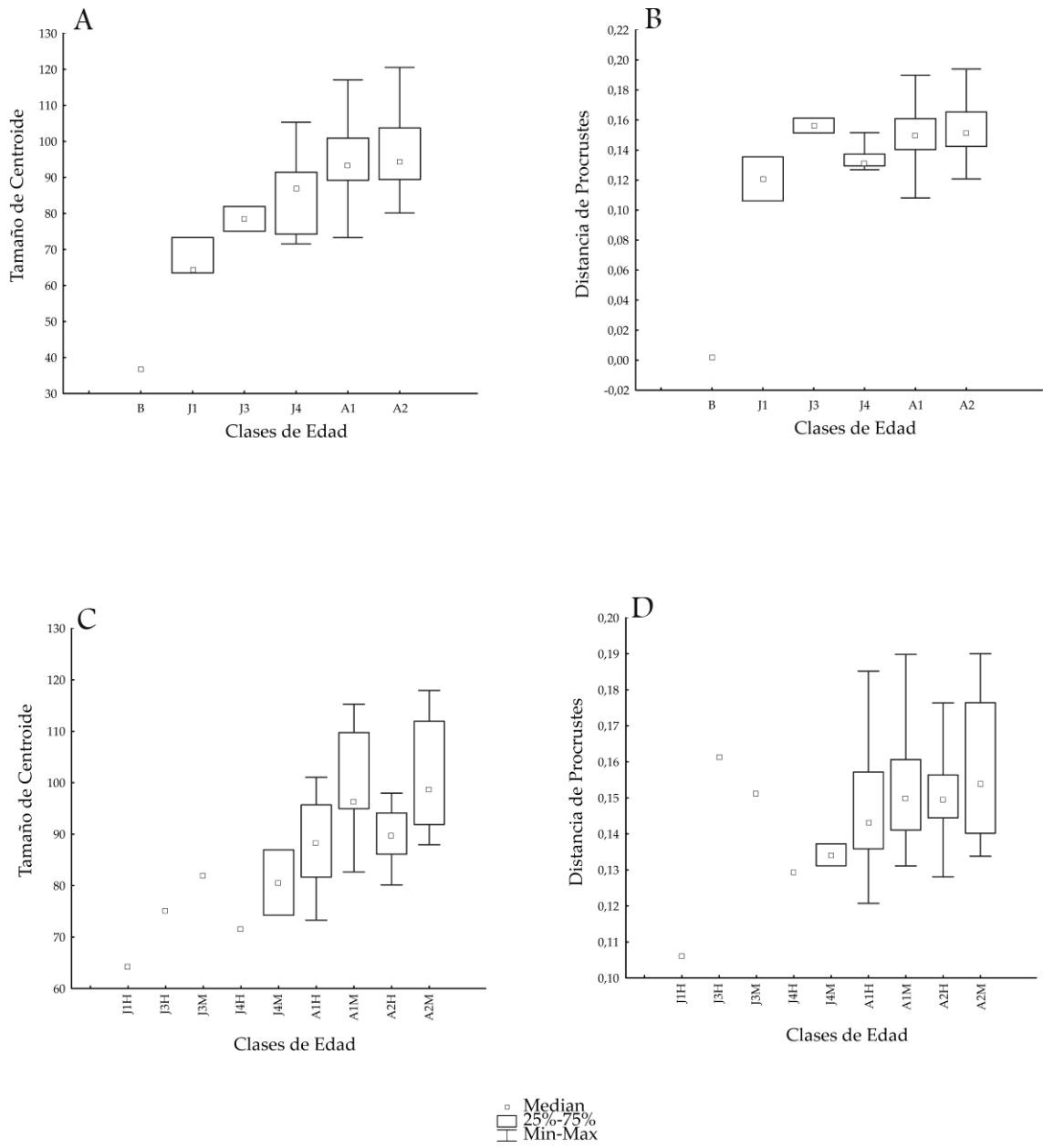


Fig. 88. Boxplots de *Leopardus geoffroyi* para tamaño y forma mandibular contra clases de edad. Tamaño de centroide (A) y distancia de Procrustes (B) de la mandíbula sin tener en cuenta el sexo. Tamaño de centroide (C) y distancia de Procrustes (D) teniendo en cuenta el sexo. Los boxplots incluyeron mediana, mínimo y máximo, y cuartiles superiores e inferiores (75 y 25%, respectivamente).

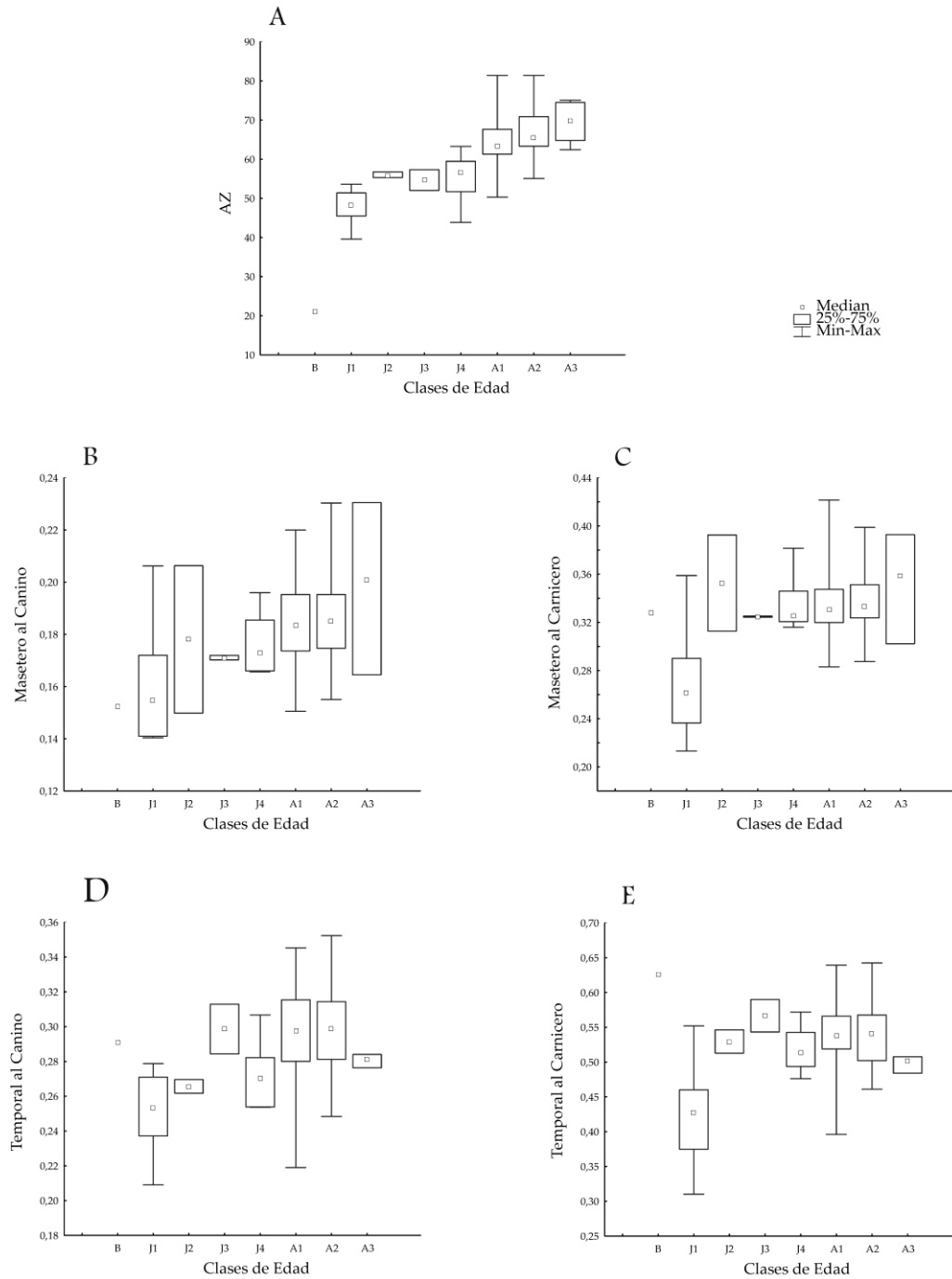


Fig. 89. Boxplots de *Leopardus geoffroyi* para ventajas mecánicas contra clases de edad. Tamaño de los músculos masticatorios (A), ventaja mecánica del músculo masetero al canino (B), ventaja mecánica del músculo masetero al carnicero (C), ventaja mecánica del músculo temporal al canino (D), ventaja mecánica del músculo temporal al carnicero (E). Los boxplots incluyeron mediana, mínimo y máximo, y cuartiles superiores e inferiores (75 y 25%, respectivamente).

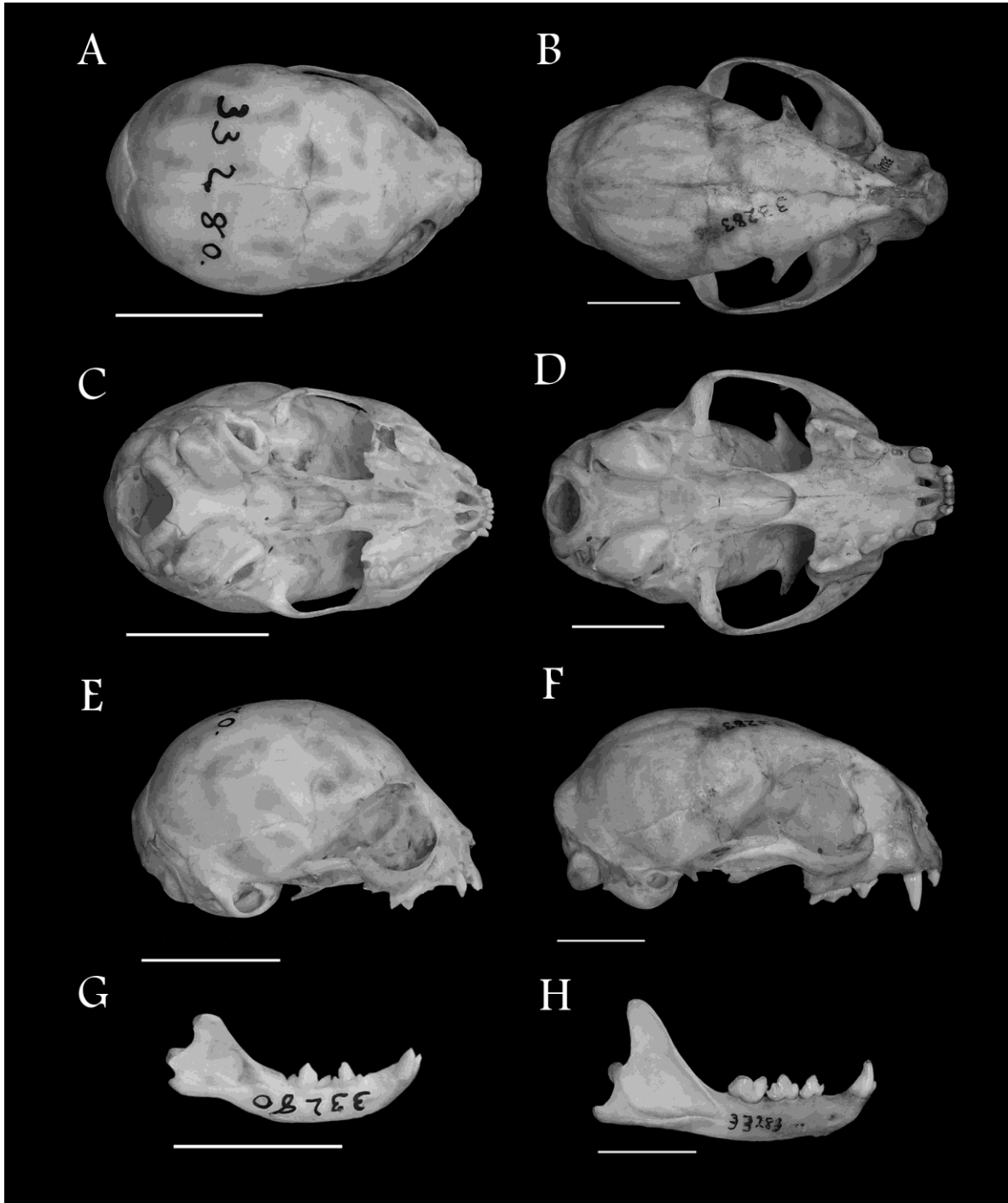
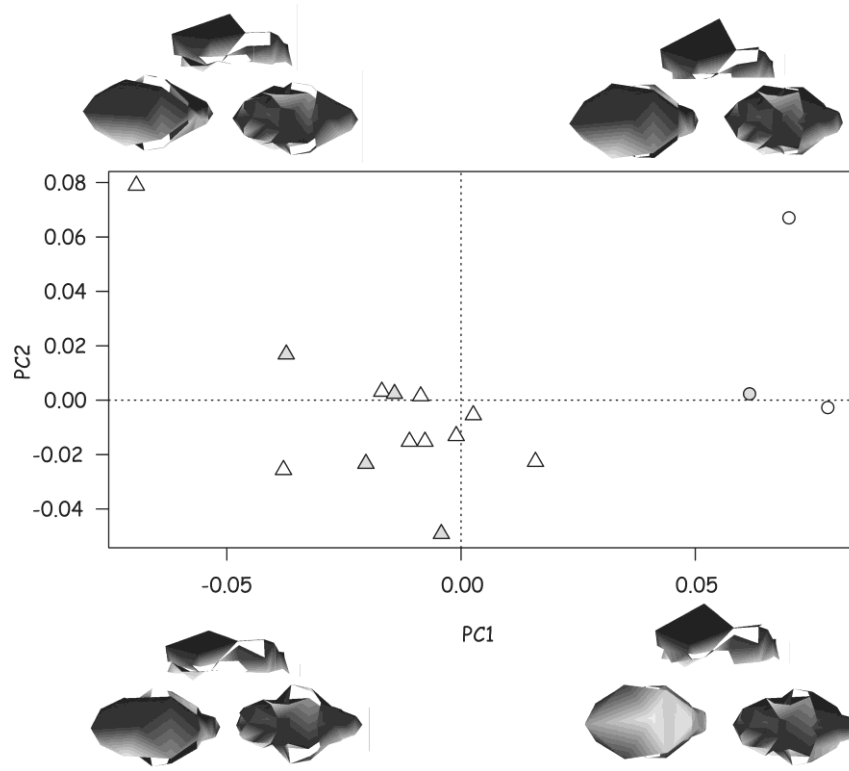


Fig.90. *Leopardus guigna*. Vista dorsal, ventral, lateral y mandíbula del ejemplar B: AMNH 33280 (A-C-E-G) y A2: AMNH 33283 (B-D-F-H). Escala: 2 cm.

A



B

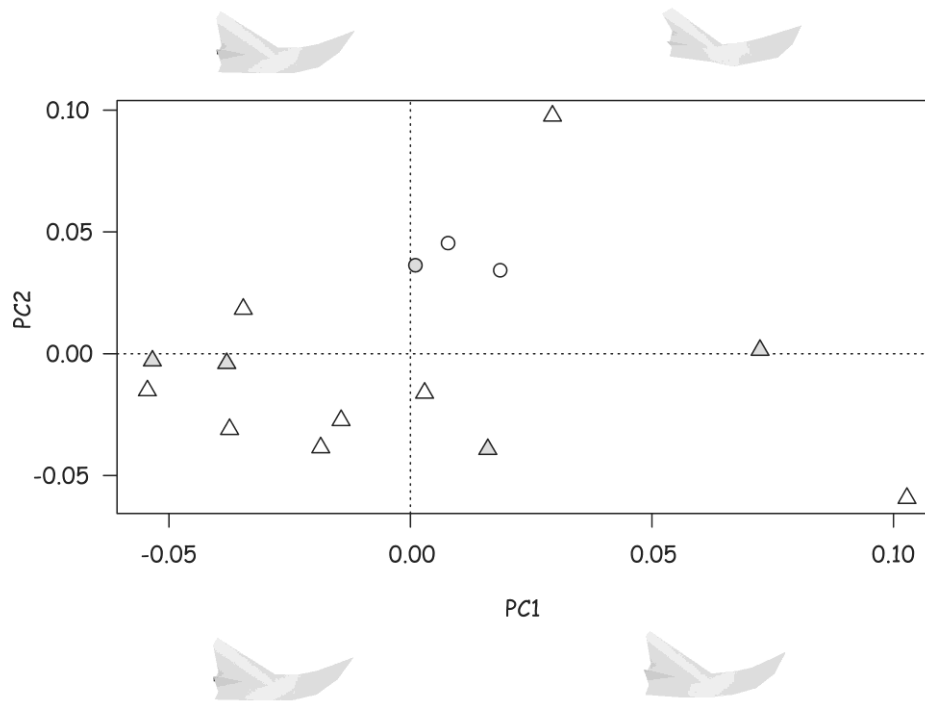


Fig. 91. PC1 vs PC2 para cráneo (A) y mandíbula (B) de *Leopardus guigna*. Símbolos: J1 ○, J2 ●, A1 △, A2 △.

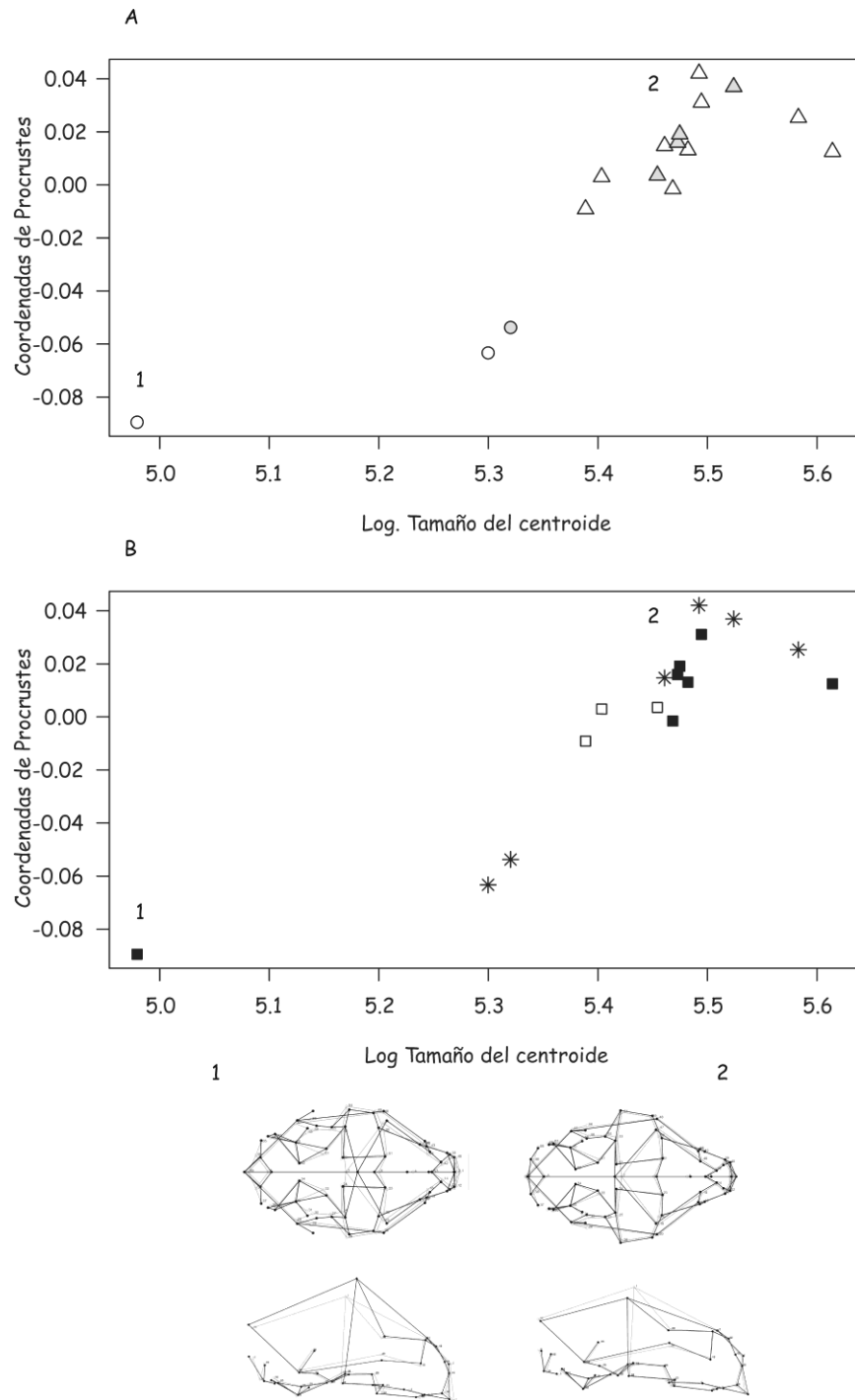


Fig. 92. Regresión de coordenadas de Procrustes contra tamaño de centroide log-transformado para cráneos de *Leopardus guigna*, teniendo en cuenta las clases de edad (A) y los sexos (B). Símbolos: J1 ○, J2 ●, A1 △, A2 ▲, Machos ■, Hembras □, Especímenes no sexados *, 1 formas pequeñas, 2 formas grandes.

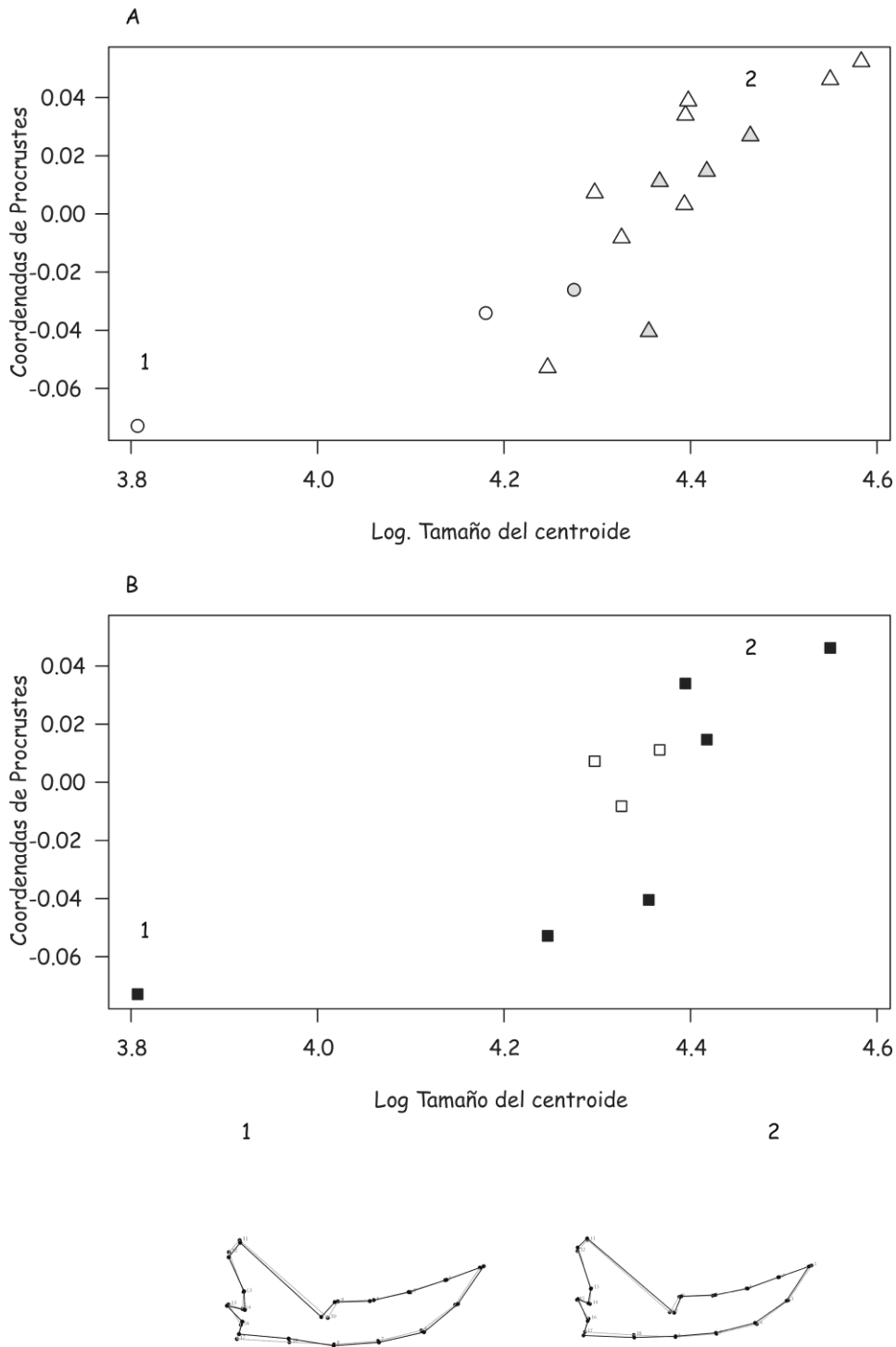


Fig. 93. Regresión de coordenadas de Procrustes contra tamaño de centroide log-transformado para mandíbulas de *Leopardus guigna*, teniendo en cuenta las clases de edad (A) y los sexos (B). Símbolos: J1 ○, J2 ●, A1 △, A2 △, Machos ■, Hembras □, Especímenes no sexados *, 1 formas pequeñas, 2 formas grandes.

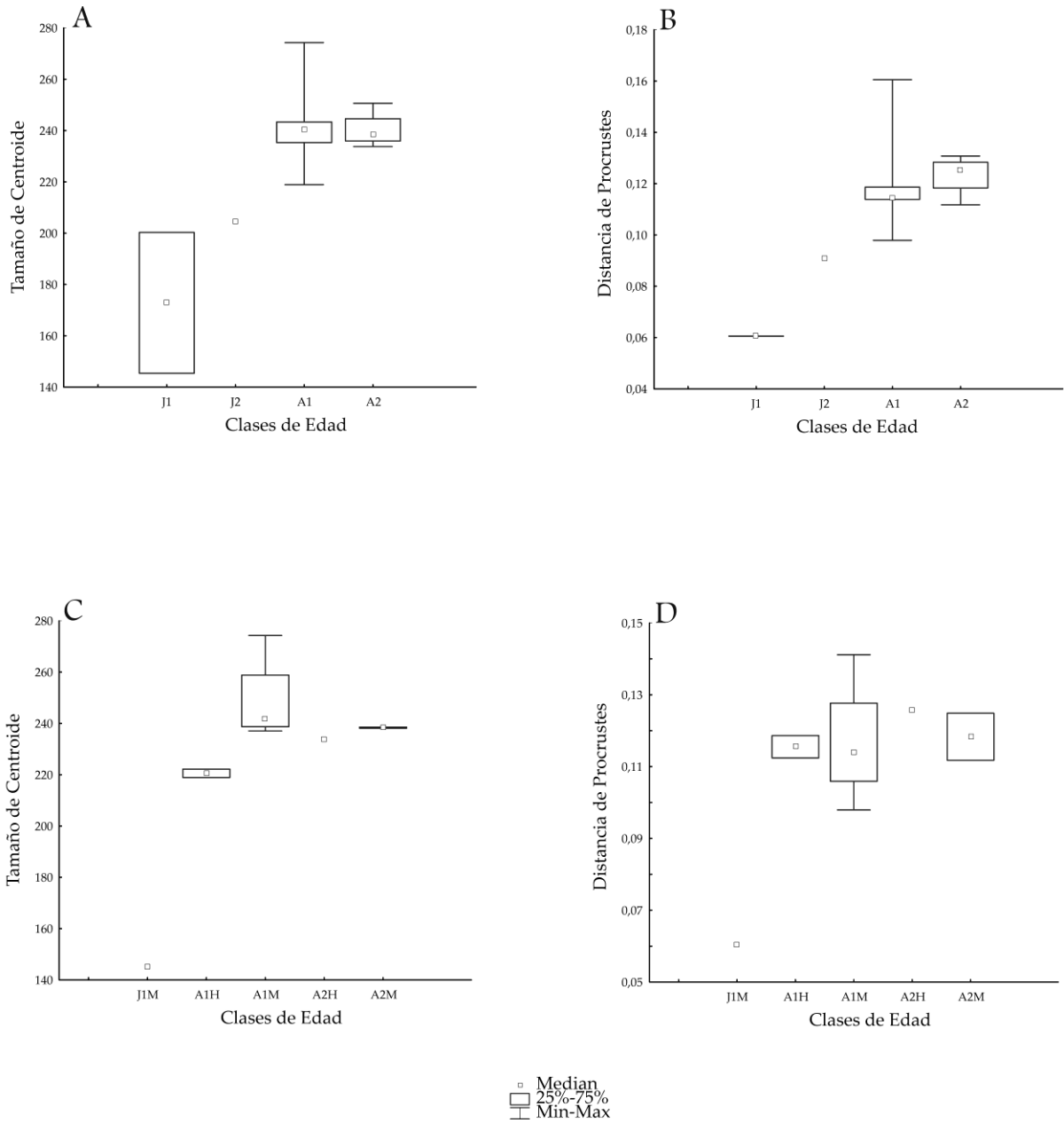


Fig. 94. Boxplots de *Leopardus guigna* para tamaño y forma craneana contra clases de edad. Tamaño de centroide (A) y distancia de Procrustes (B) del cráneo sin tener en cuenta el sexo. Tamaño de centroide (C) y distancia de Procrustes (D) teniendo en cuenta el sexo. Los boxplots incluyeron mediana, mínimo y máximo, y cuartiles superiores e inferiores (75 y 25%, respectivamente).

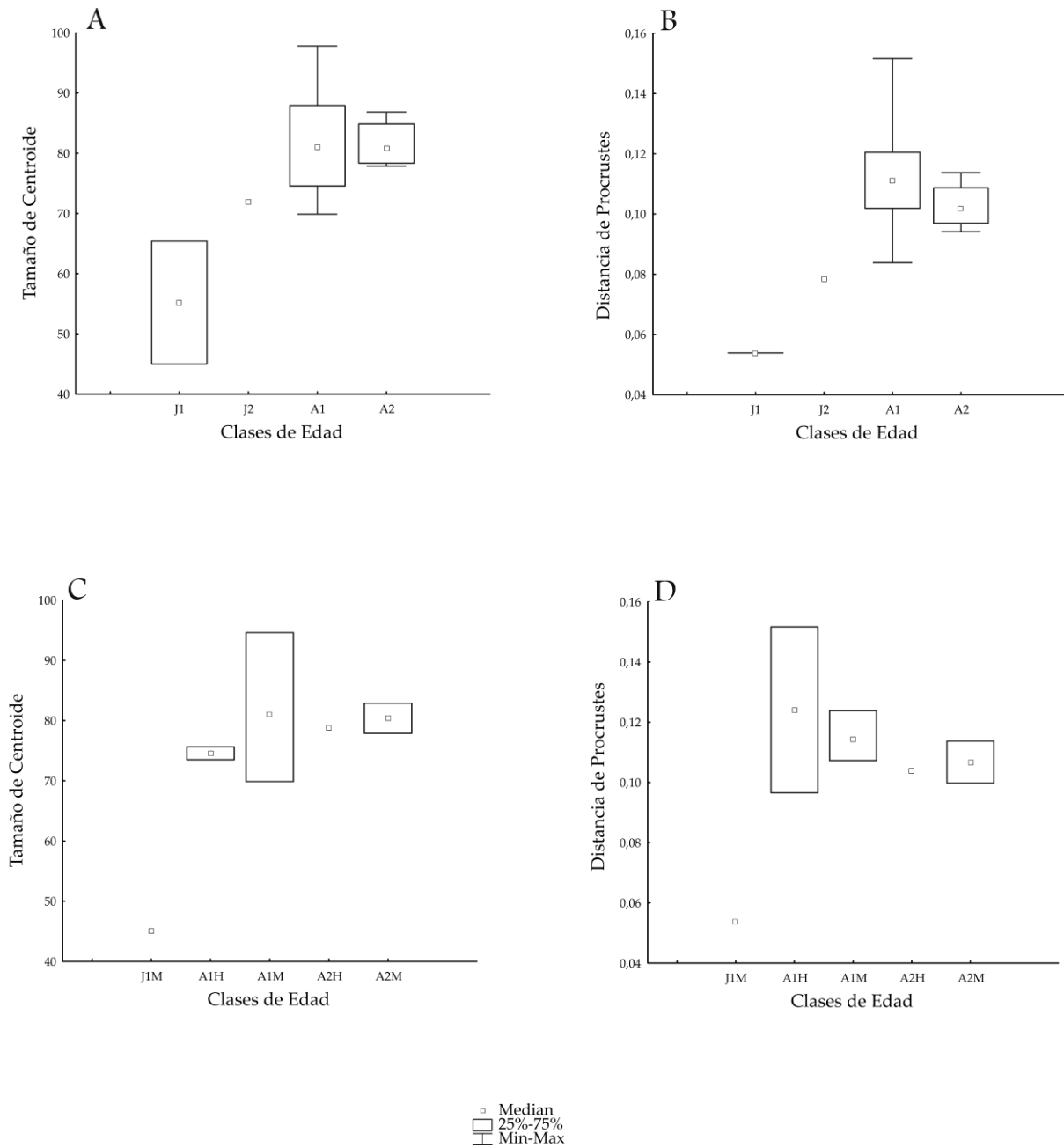


Fig. 95. Boxplots de *Leopardus guigna* para tamaño y forma mandibular contra clases de edad. Tamaño de centroide (A) y distancia de Procrustes (B) de la mandíbula sin tener en cuenta el sexo. Tamaño de centroide (C) y distancia de Procrustes (D) teniendo en cuenta el sexo. Los boxplots incluyeron mediana, mínimo y máximo, y cuartiles superiores e inferiores (75 y 25%, respectivamente).

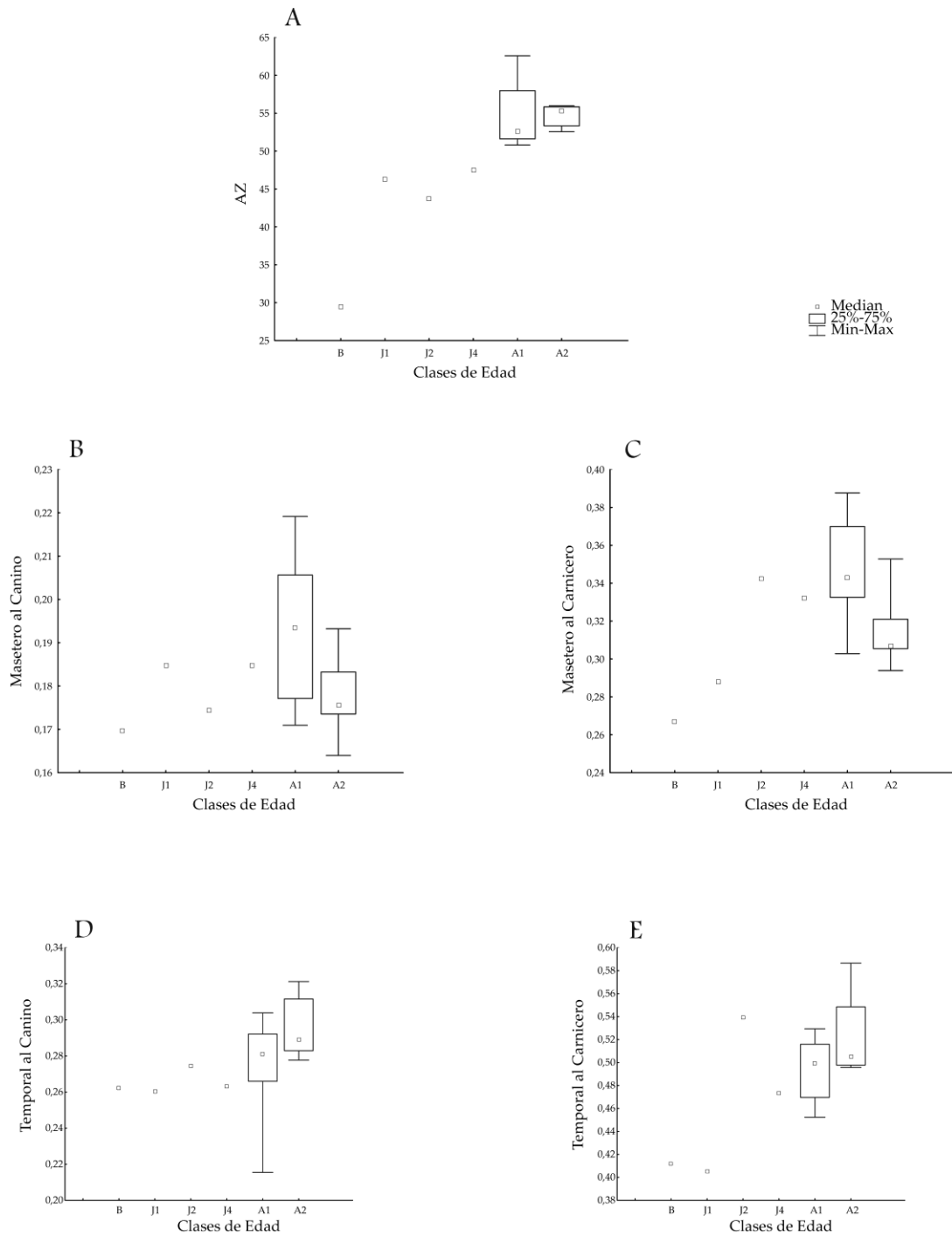


Fig. 96. Boxplots de *Leopardus guigna* para ventajas mecánicas contra clases de edad. Tamaño de los músculos masticatorios (A), ventaja mecánica del músculo masetero al canino (B), ventaja mecánica del músculo masetero al carnicero (C), ventaja mecánica del músculo temporal al canino (D), ventaja mecánica del músculo temporal al carnicero (E). Los boxplots incluyeron mediana, mínimo y máximo, y cuartiles superiores e inferiores (75 y 25%, respectivamente).

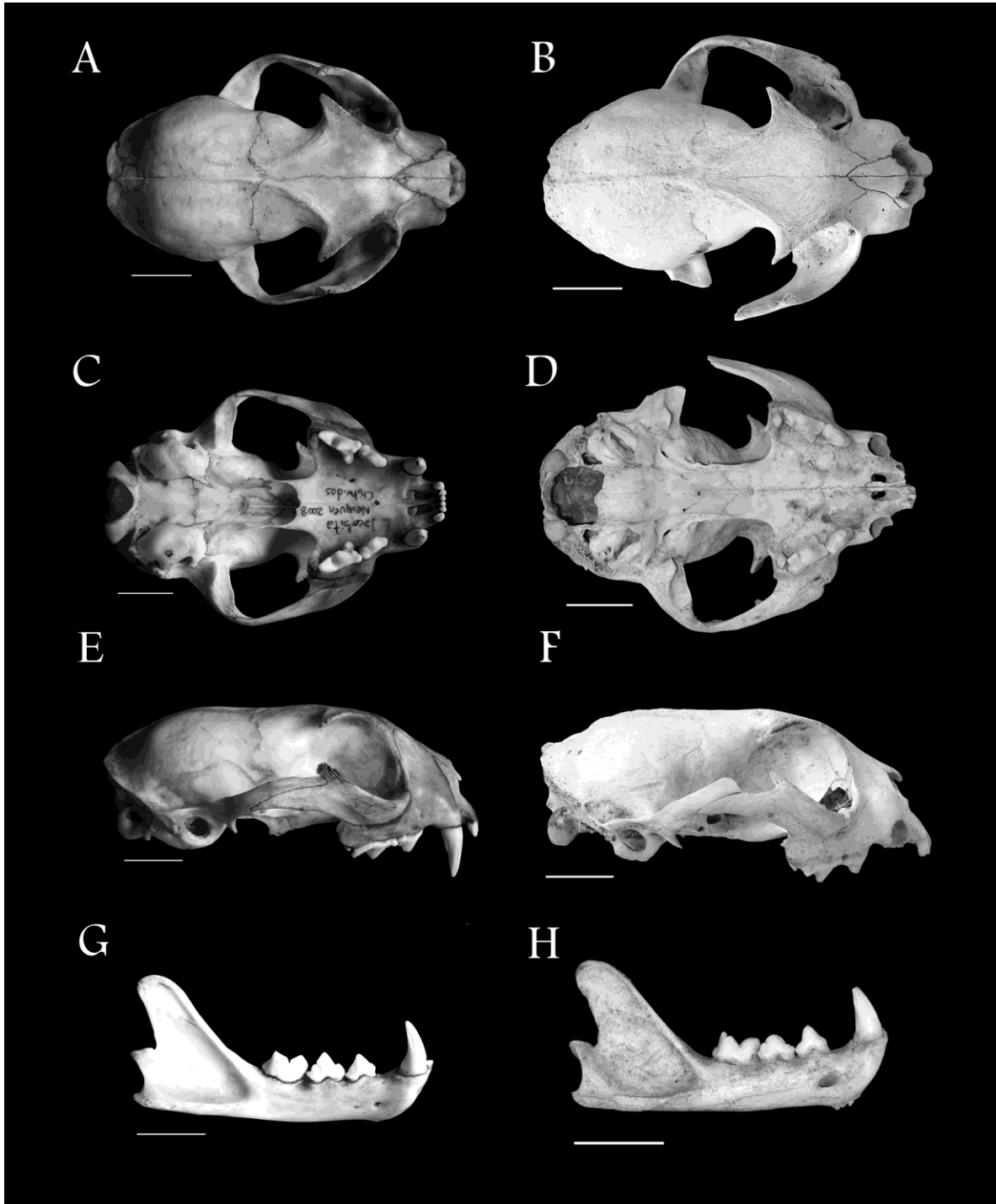


Fig.97. *Leopardus jacobita*. Vista dorsal, ventral, lateral y mandíbula del ejemplar A1: CEAN sin número (A-C-E-G) y A2: GECM 27 (B-D-F-H). Escala: 2 cm.

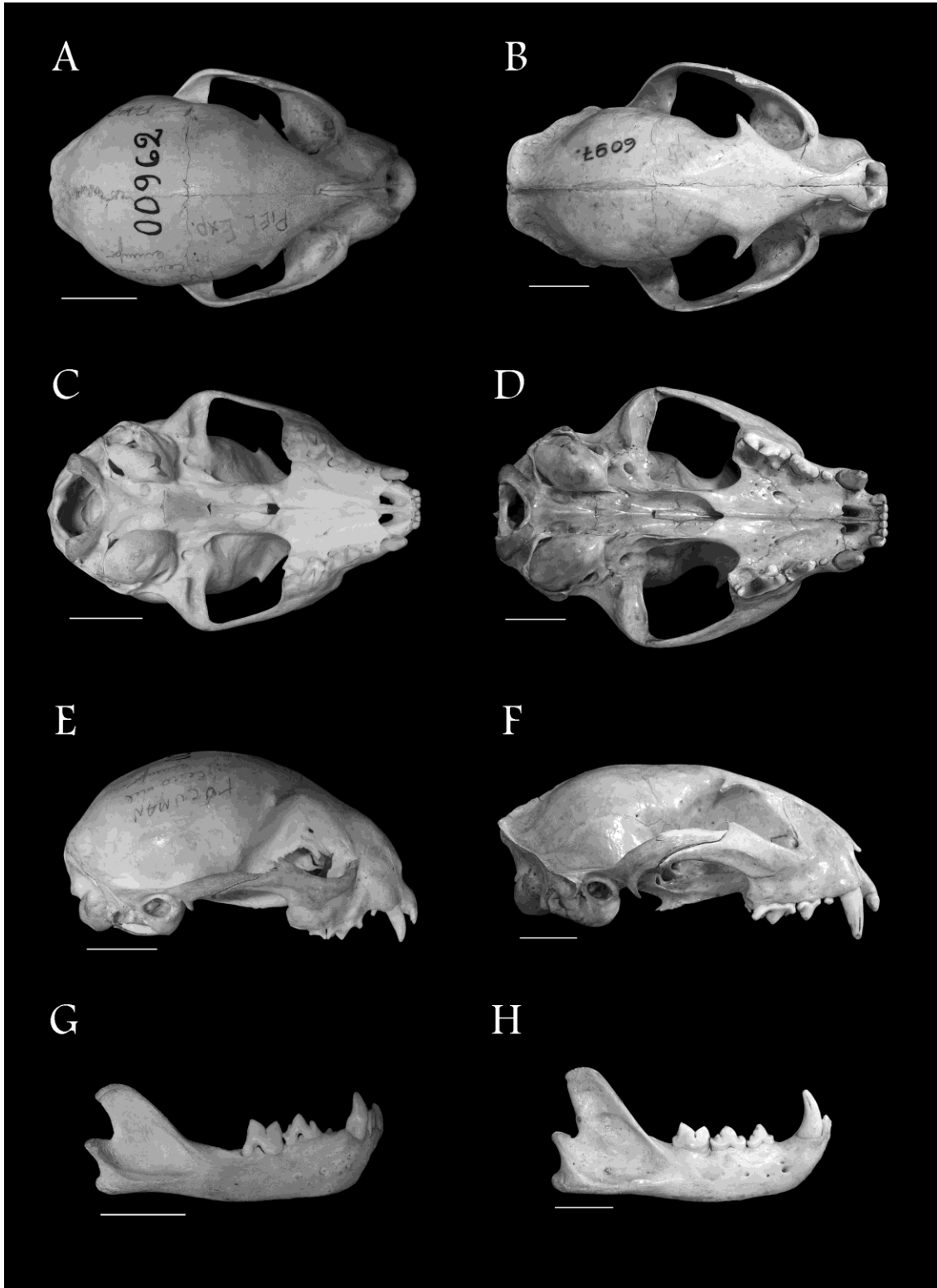
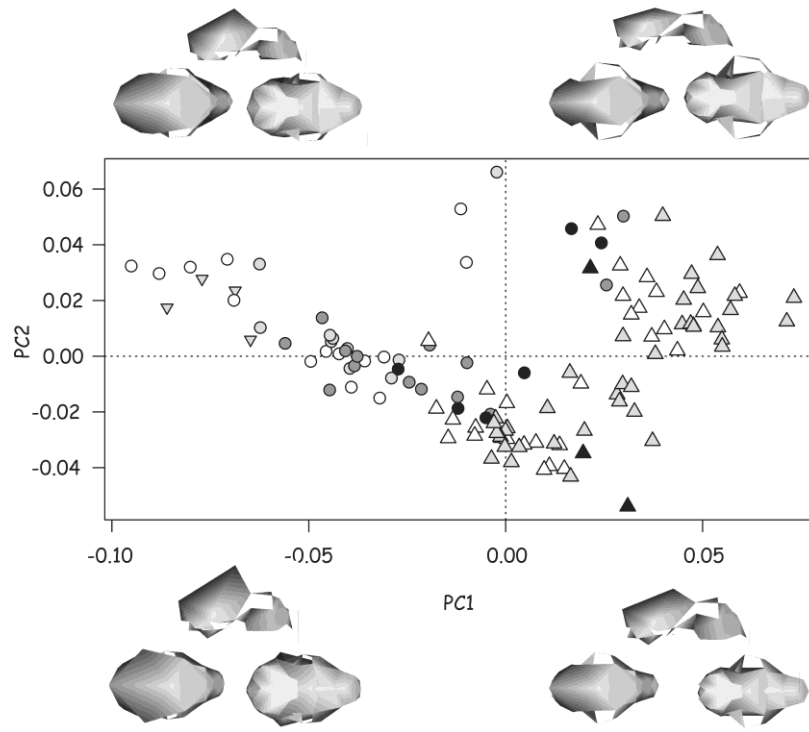


Fig.98. *Leopardus pardalis*. Vista dorsal, ventral, lateral y mandíbula del ejemplar J1: CML 962 (A-C-E-G) y A1: CFA 6097 (B-D-F-H). Escala: 2 cm.

A



B

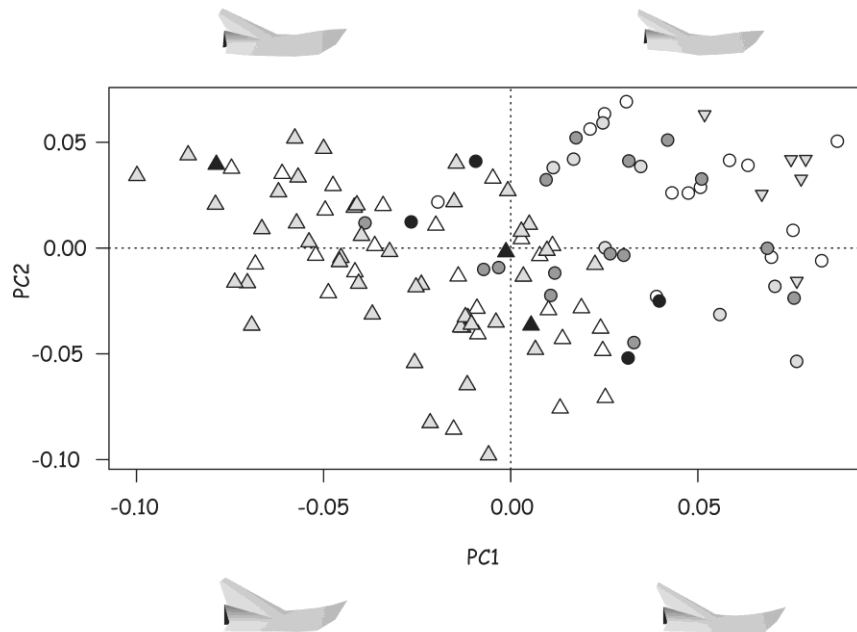


Fig. 99. PC1 vs PC2 para cráneo (A) y mandíbula (B) de *Leopardus pardalis*. Símbolos: B ▽, J1 ○, J2 ●, J3 ●, J4 ●, A1 △, A2 △, A3 ▲.

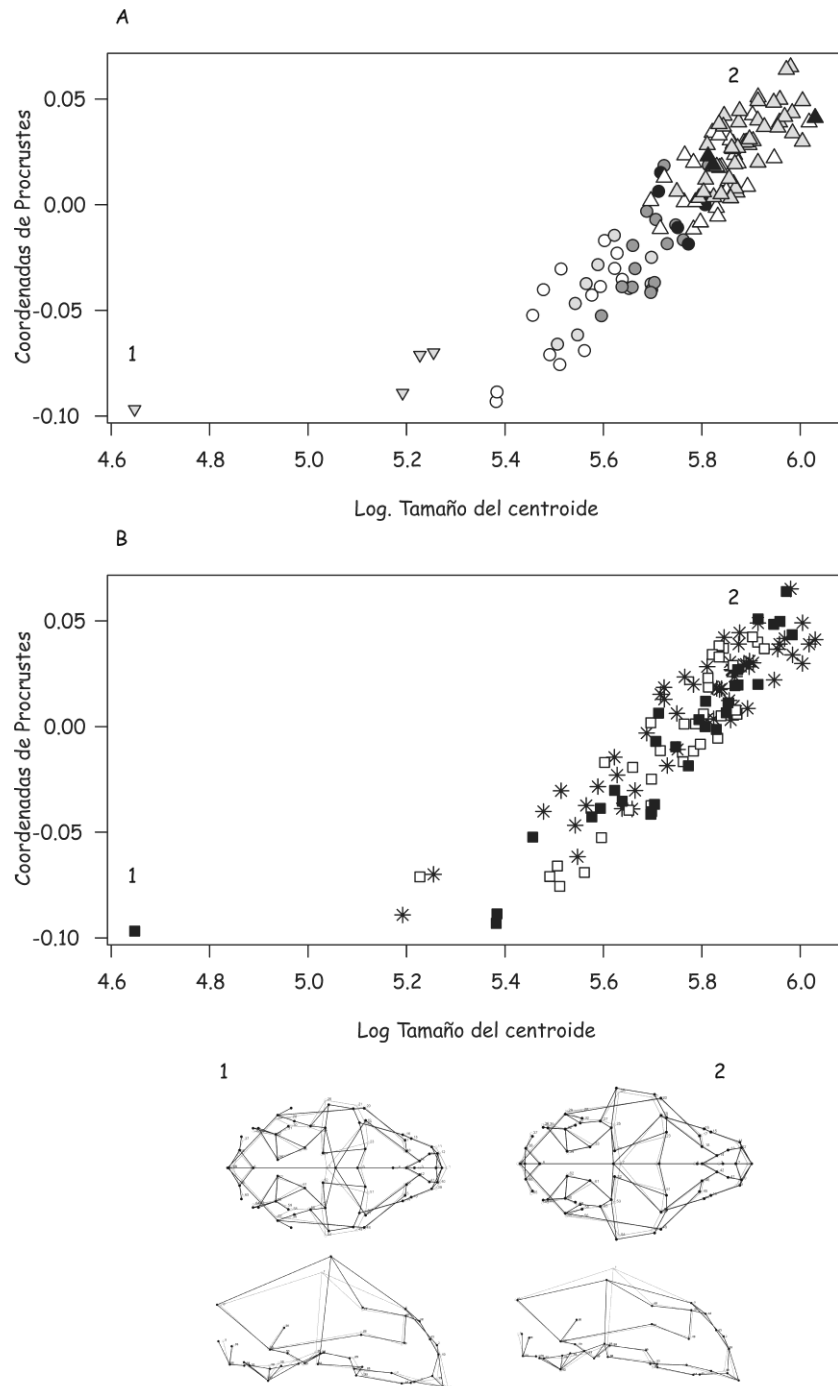


Fig. 100. Regresión de coordenadas de Procrustes contra tamaño de centroide log-transformado para cráneos de *Leopardus pardalis*, teniendo en cuenta las clases de edad (A) y los sexos (B). Símbolos: B ▽, J1 ○, J2 ●, J3 ●, J4 ●, A1 △, A2 △, A3 ▲, Machos ■, Hembras □, Especímenes no sexados *, 1 formas pequeñas, 2 formas grandes.

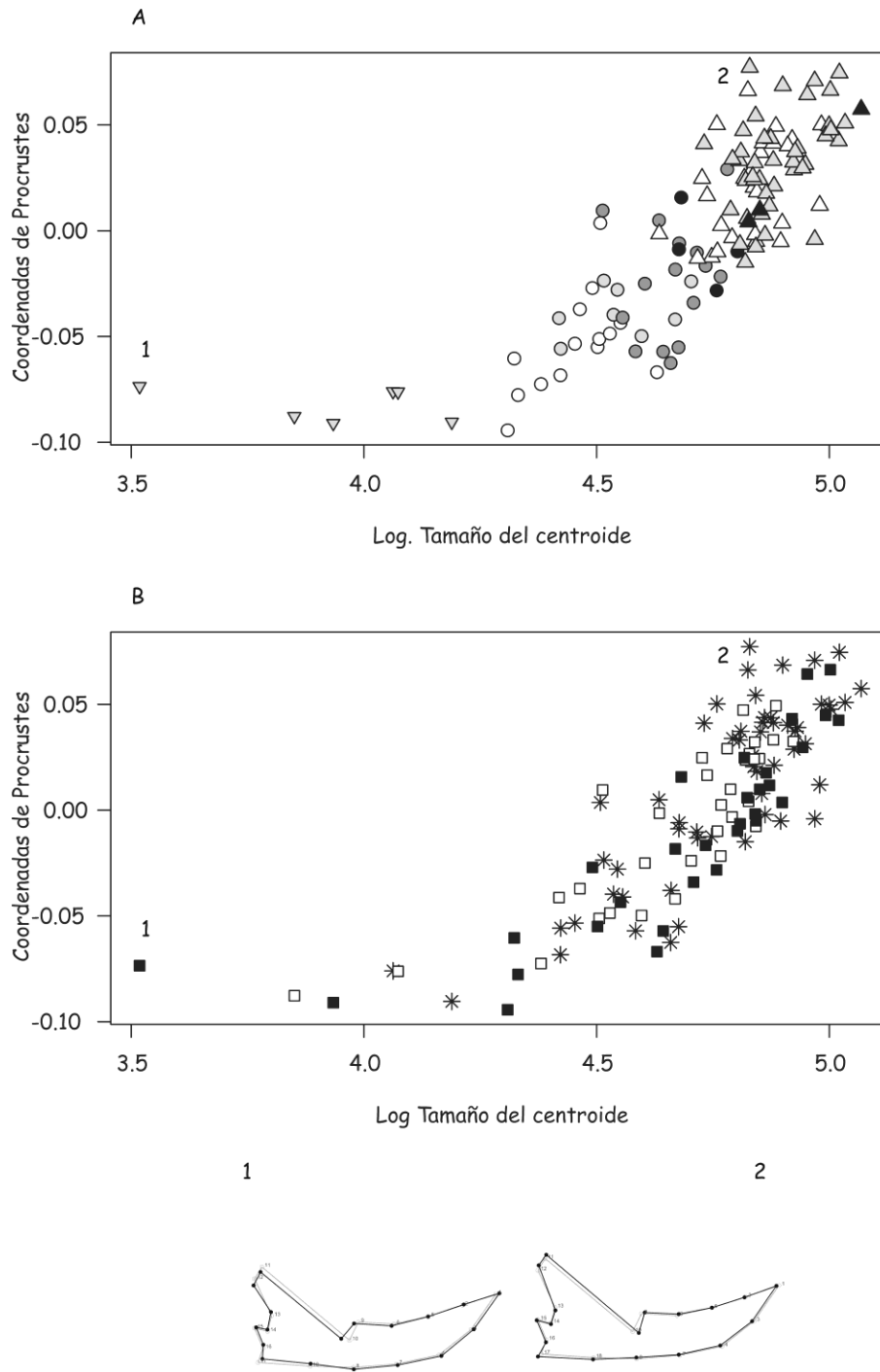


Fig. 101. Regresión de coordenadas de Procrustes contra tamaño de centroide log-transformado para mandíbulas de *Leopardus pardalis*, teniendo en cuenta las clases de edad (A) y los sexos (B). Símbolos: B ▽, J1 ○, J2 ●, J3 ●, J4 ●, A1 △, A2 △, A3 ▲, Machos ■, Hembras □, Especímenes no sexados *, 1 formas pequeñas, 2 formas grandes.

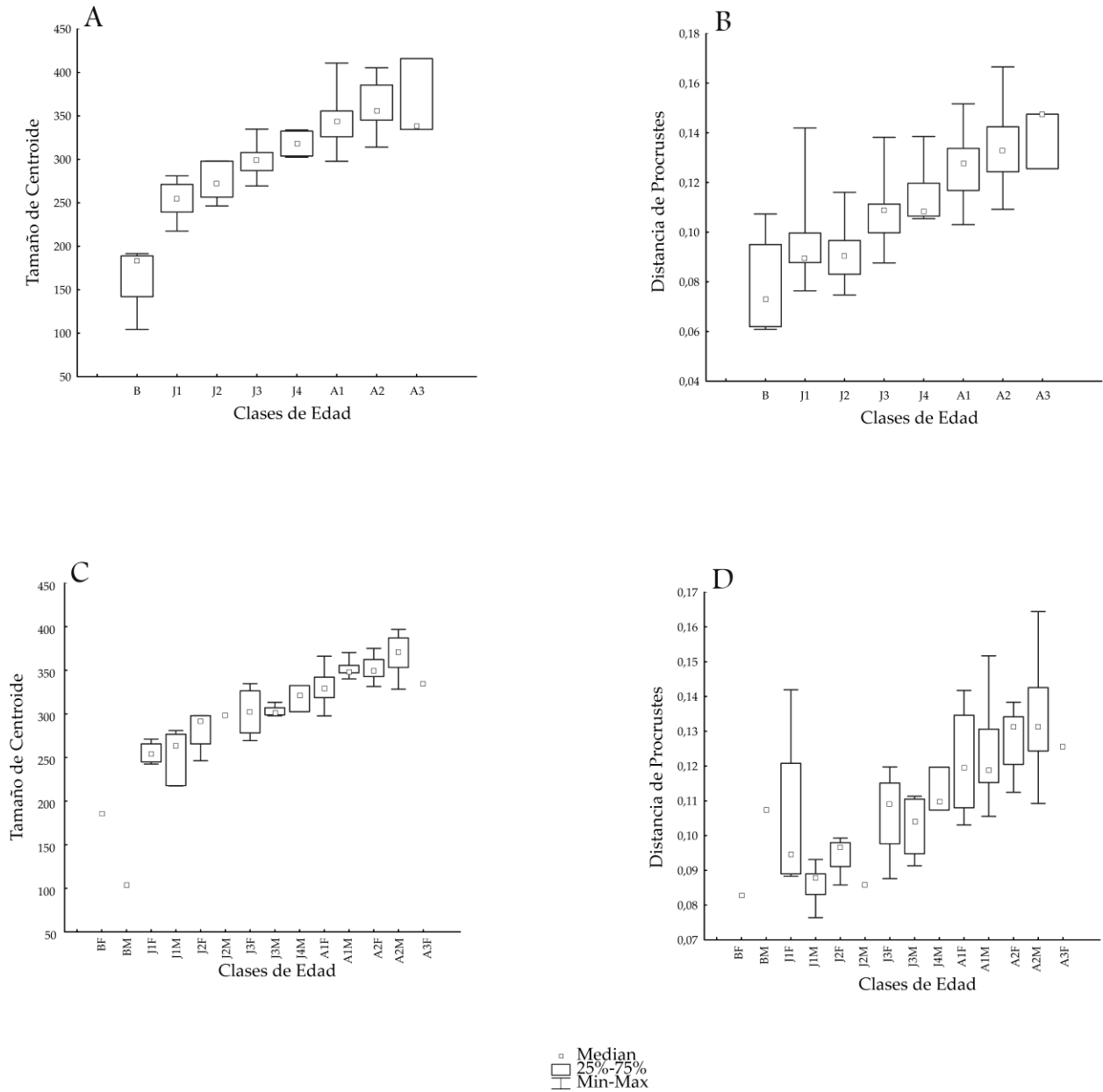


Fig. 102. Boxplots de *Leopardus pardalis* para tamaño y forma craneana contra clases de edad. Tamaño de centroide (A) y distancia de Procrustes (B) del cráneo sin tener en cuenta el sexo. Tamaño de centroide (C) y distancia de Procrustes (D) teniendo en cuenta el sexo. Los boxplots incluyeron mediana, mínimo y máximo, y cuartiles superiores e inferiores (75 y 25%, respectivamente).

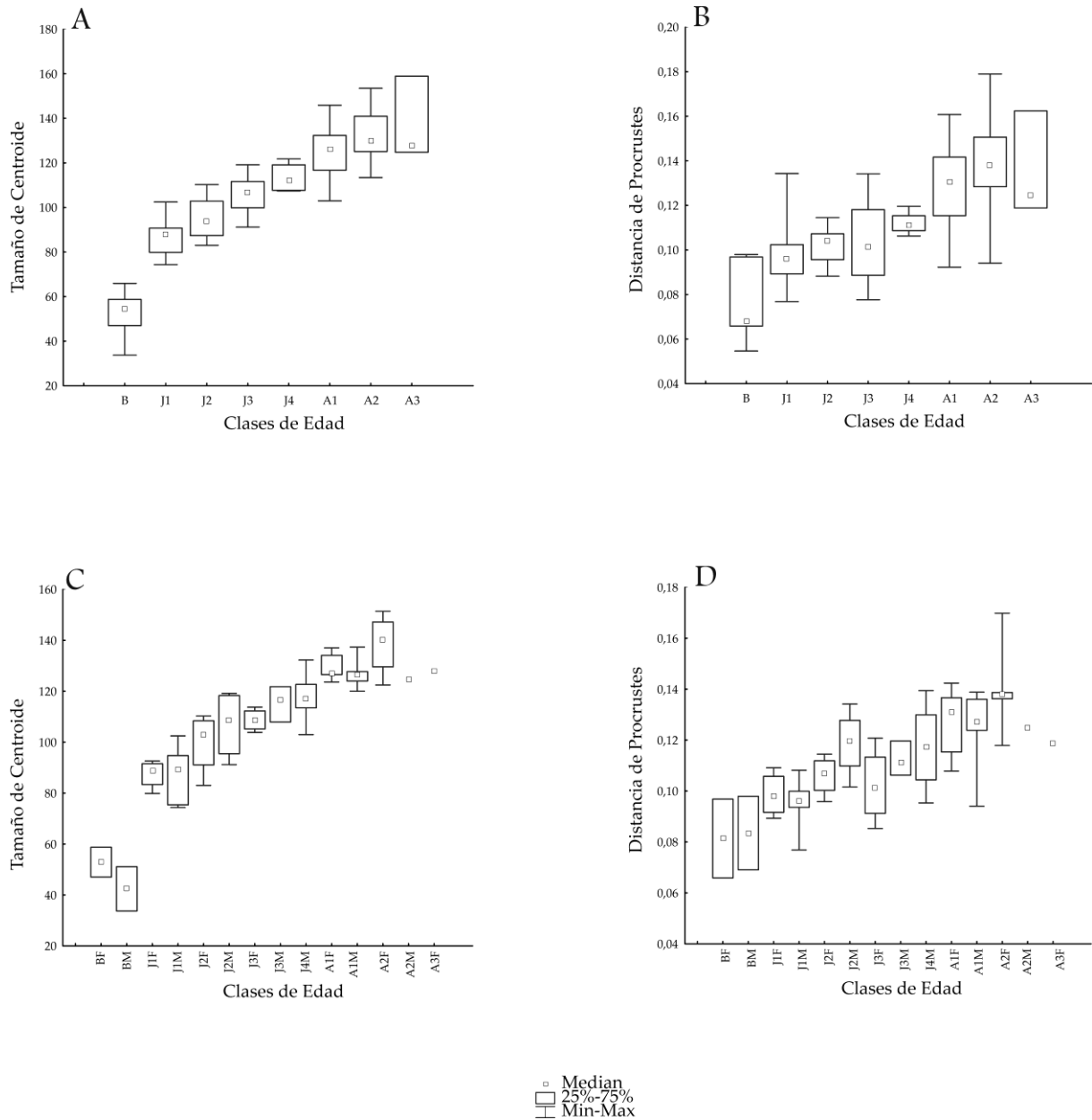


Fig. 103. Boxplots de *Leopardus pardalis* para tamaño y forma mandibular contra clases de edad. Tamaño de centroide (A) y distancia de Procrustes (B) de la mandíbula sin tener en cuenta el sexo. Tamaño de centroide (C) y distancia de Procrustes (D) teniendo en cuenta el sexo. Los boxplots incluyeron mediana, mínimo y máximo, y cuartiles superiores e inferiores (75 y 25%, respectivamente).

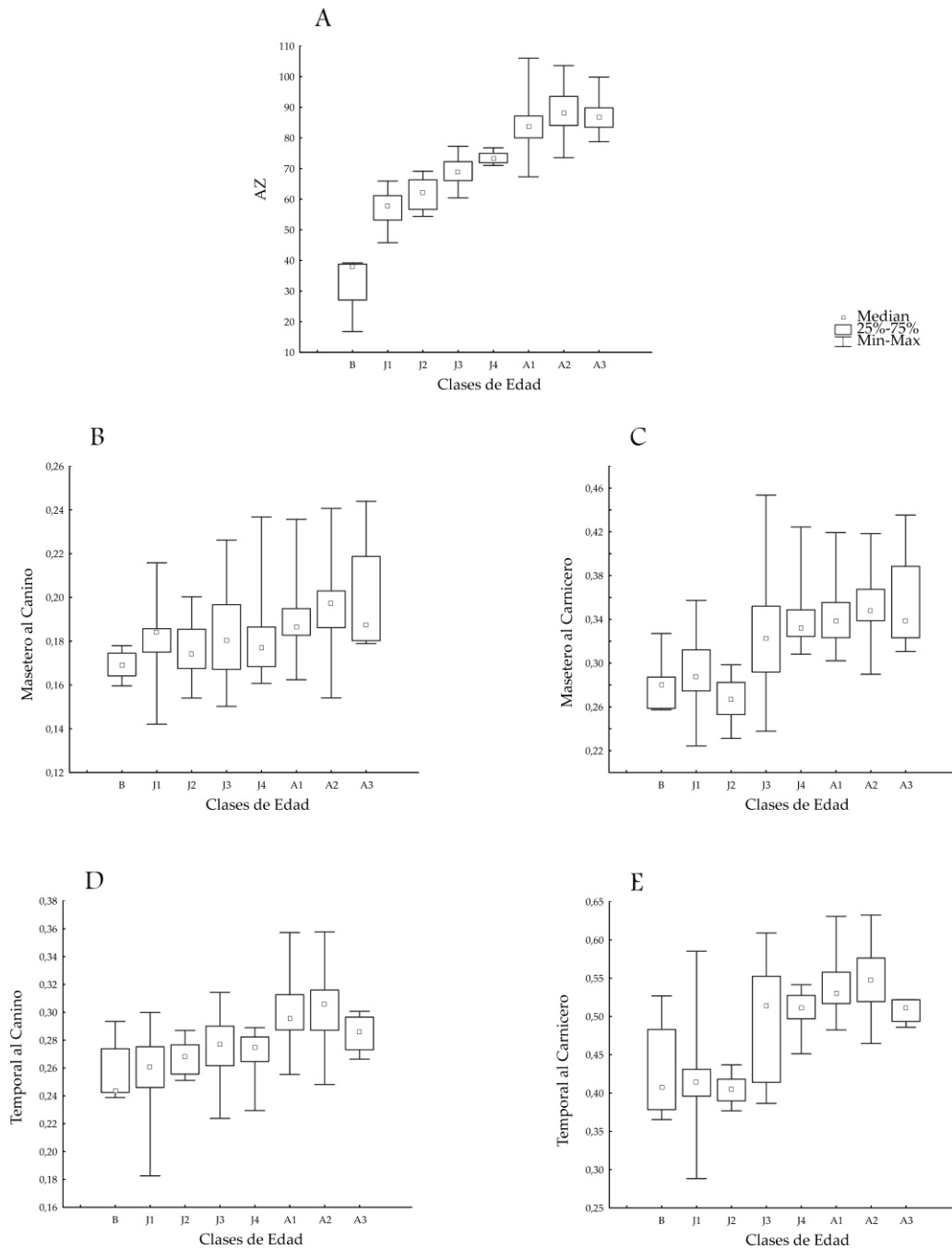


Fig. 104. Boxplots de *Leopardus pardalis* para ventajas mecánicas contra clases de edad. Tamaño de los músculos masticatorios (A), ventaja mecánica del músculo masetero al canino (B), ventaja mecánica del músculo masetero al carnicero (C), ventaja mecánica del músculo temporal al canino (D), ventaja mecánica del músculo temporal al carnicero (E). Los boxplots incluyeron mediana, mínimo y máximo, y cuartiles superiores e inferiores (75 y 25%, respectivamente).

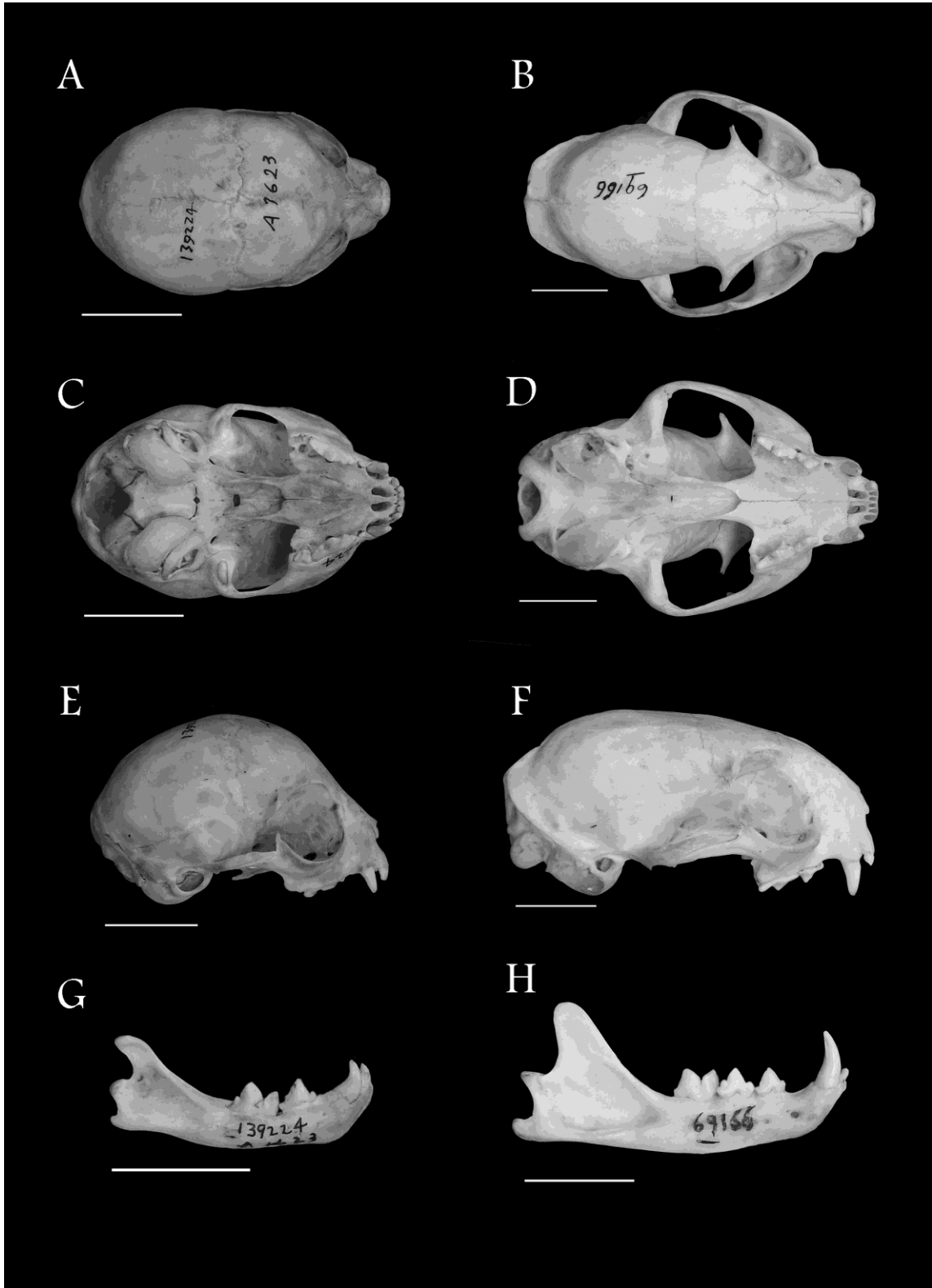
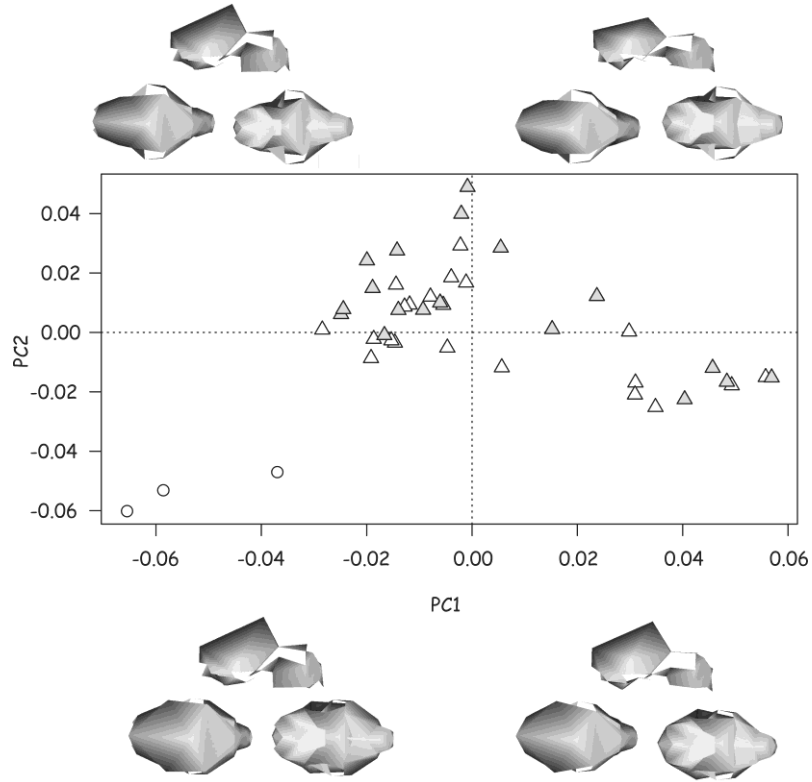


Fig.105. *Leopardus tigrinus*. Vista dorsal, ventral, lateral y mandíbula del ejemplar J1: AMNH 139224 (A-C-E-G) y A2: AMNH 69166 (B-D-F-H). Escala: 2 cm.

A



B

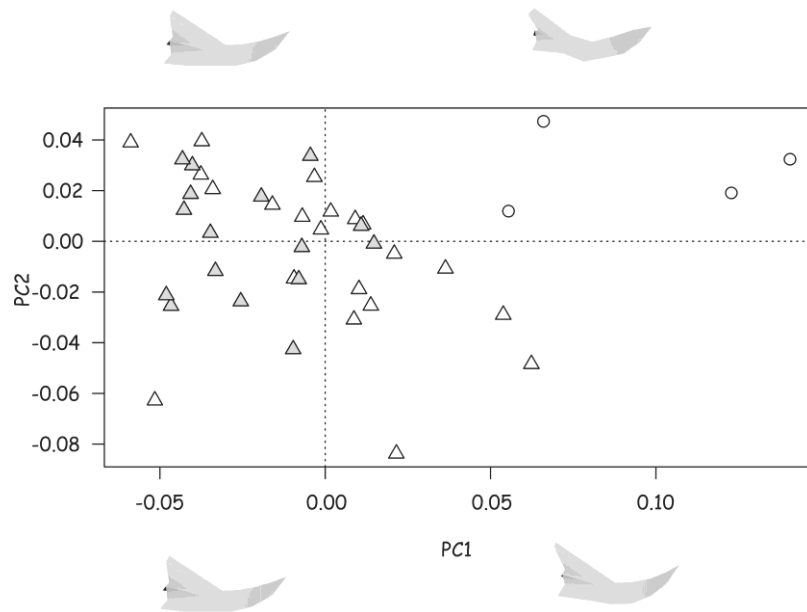


Fig. 106. PC1 vs PC2 para cráneo (A) y mandíbula (B) de *Leopardus tigrinus*. Símbolos: J1 ○, A1 △, A2 △.

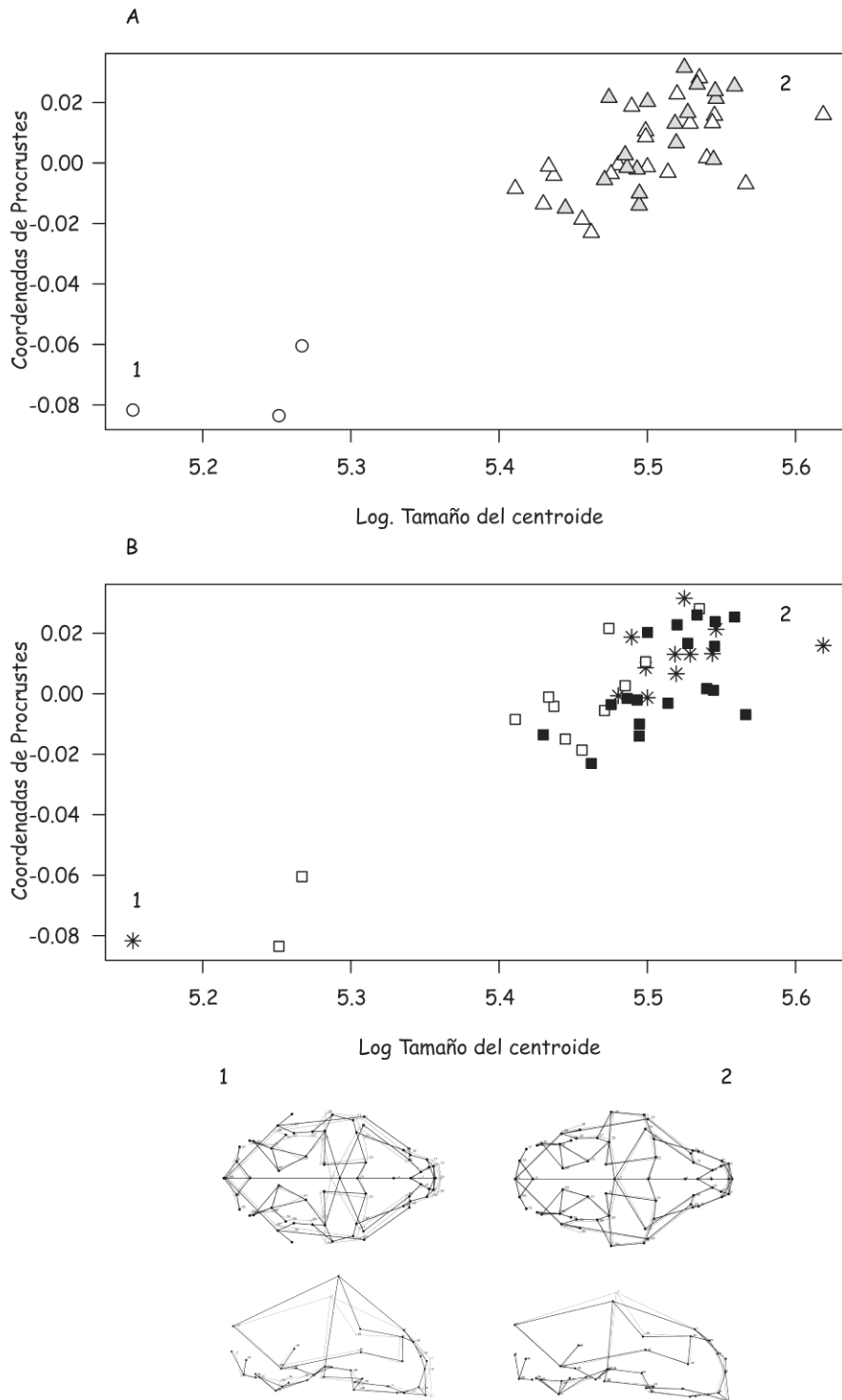


Fig. 107. Regresión de coordenadas de Procrustes contra tamaño de centroide log-transformado para cráneos de *Leopardus tigrinus*, teniendo en cuenta las clases de edad (A) y los sexos (B). Símbolos: J1 ○, A1 △, A2 △, Machos ■, Hembras □, Especímenes no sexados *, 1 formas pequeñas, 2 formas grandes.

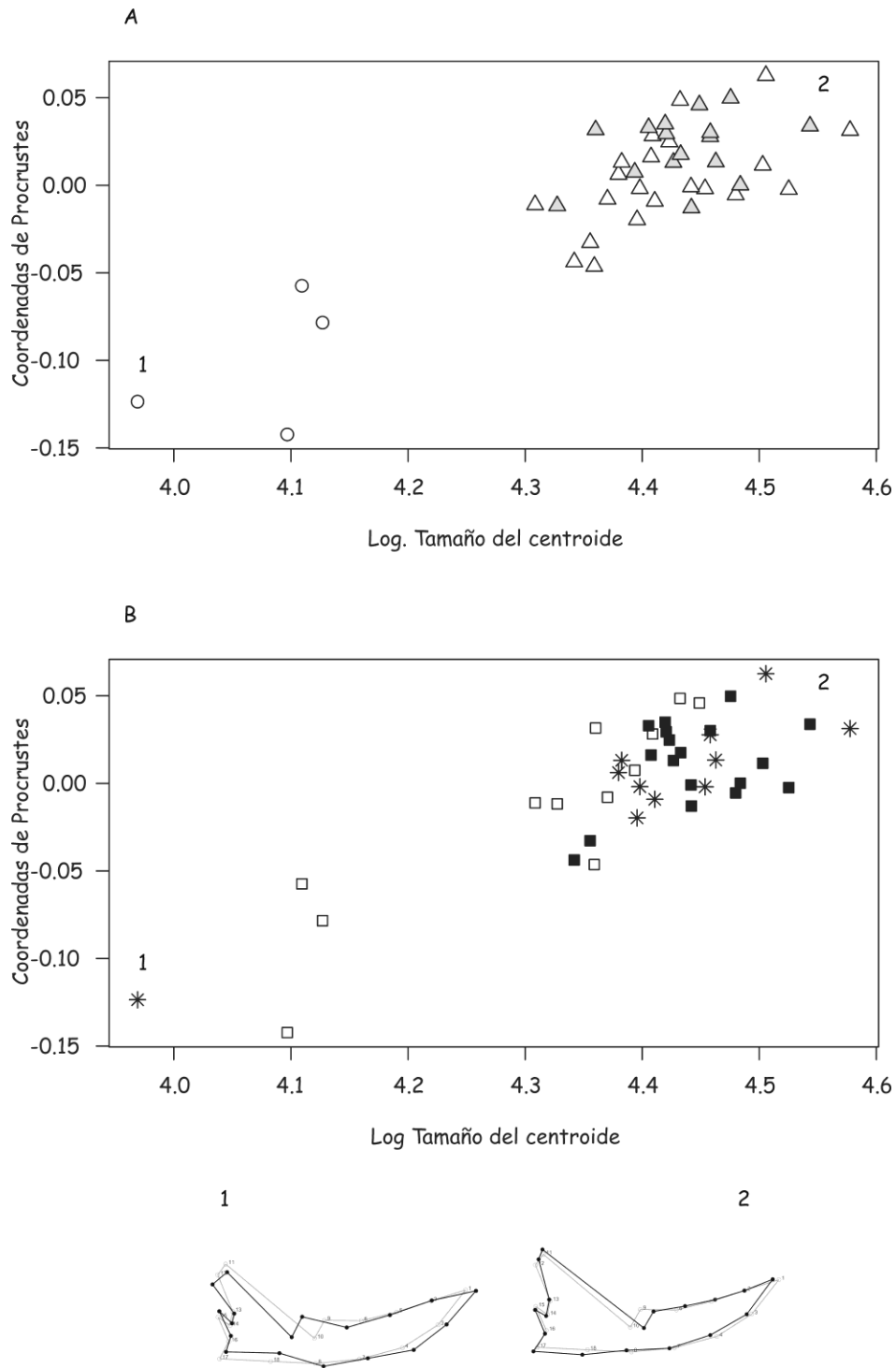


Fig. 108. Regresión de coordenadas de Procrustes contra tamaño de centroide log-transformado para mandíbulas de *Leopardus tigrinus*, teniendo en cuenta las clases de edad (A) y los sexos (B). Símbolos: J1 ○, A1 △, A2 △, Machos ■, Hembras □, Especímenes no sexados *, 1 formas pequeñas, 2 formas grandes.

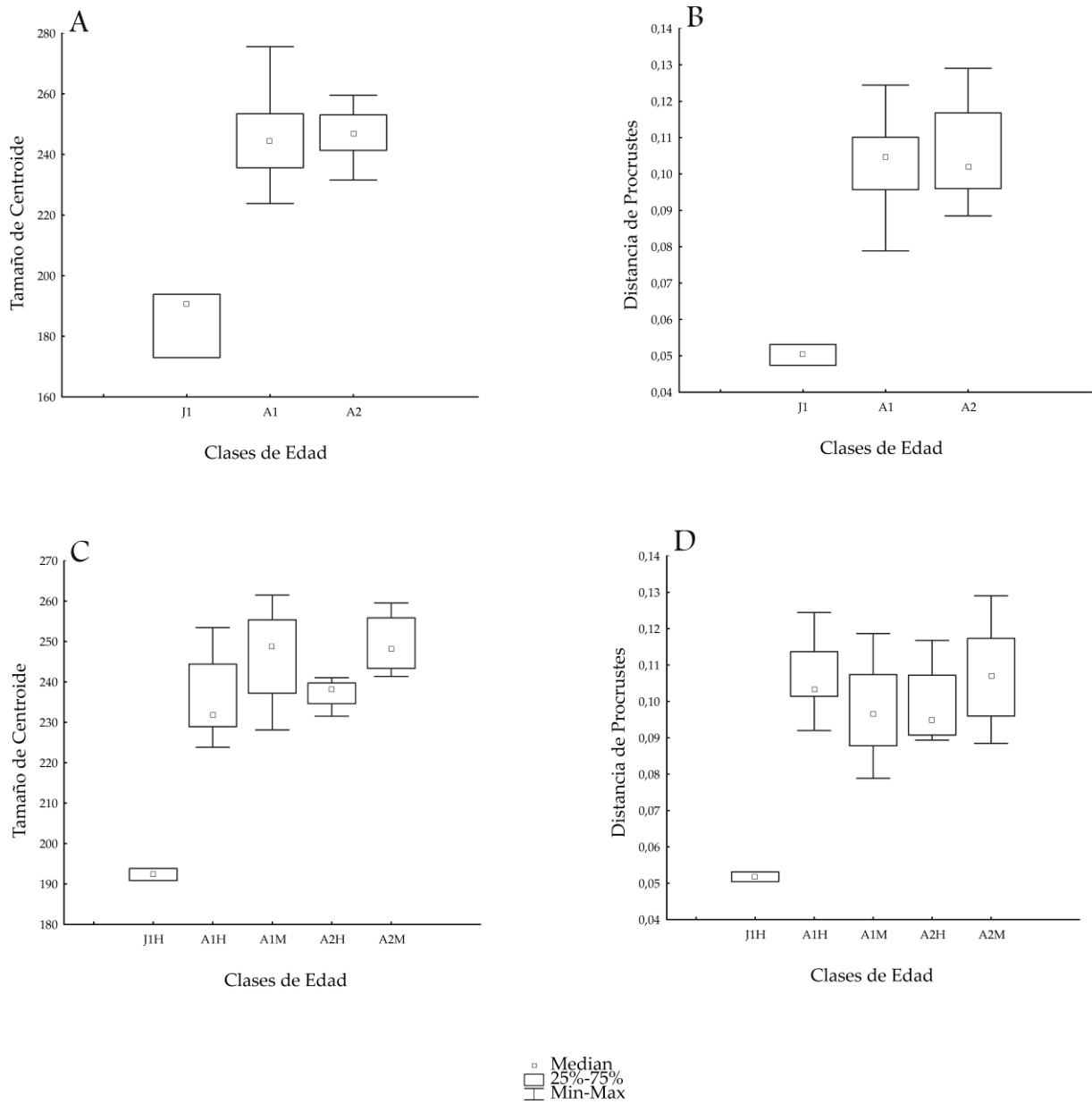


Fig. 109. Boxplots de *Leopardus tigrinus* para tamaño y forma craneana contra clases de edad. Tamaño de centroide (A) y distancia de Procrustes (B) del cráneo sin tener en cuenta el sexo. Tamaño de centroide (C) y distancia de Procrustes (D) teniendo en cuenta el sexo. Los boxplots incluyeron mediana, mínimo y máximo, y cuartiles superiores e inferiores (75 y 25%, respectivamente).

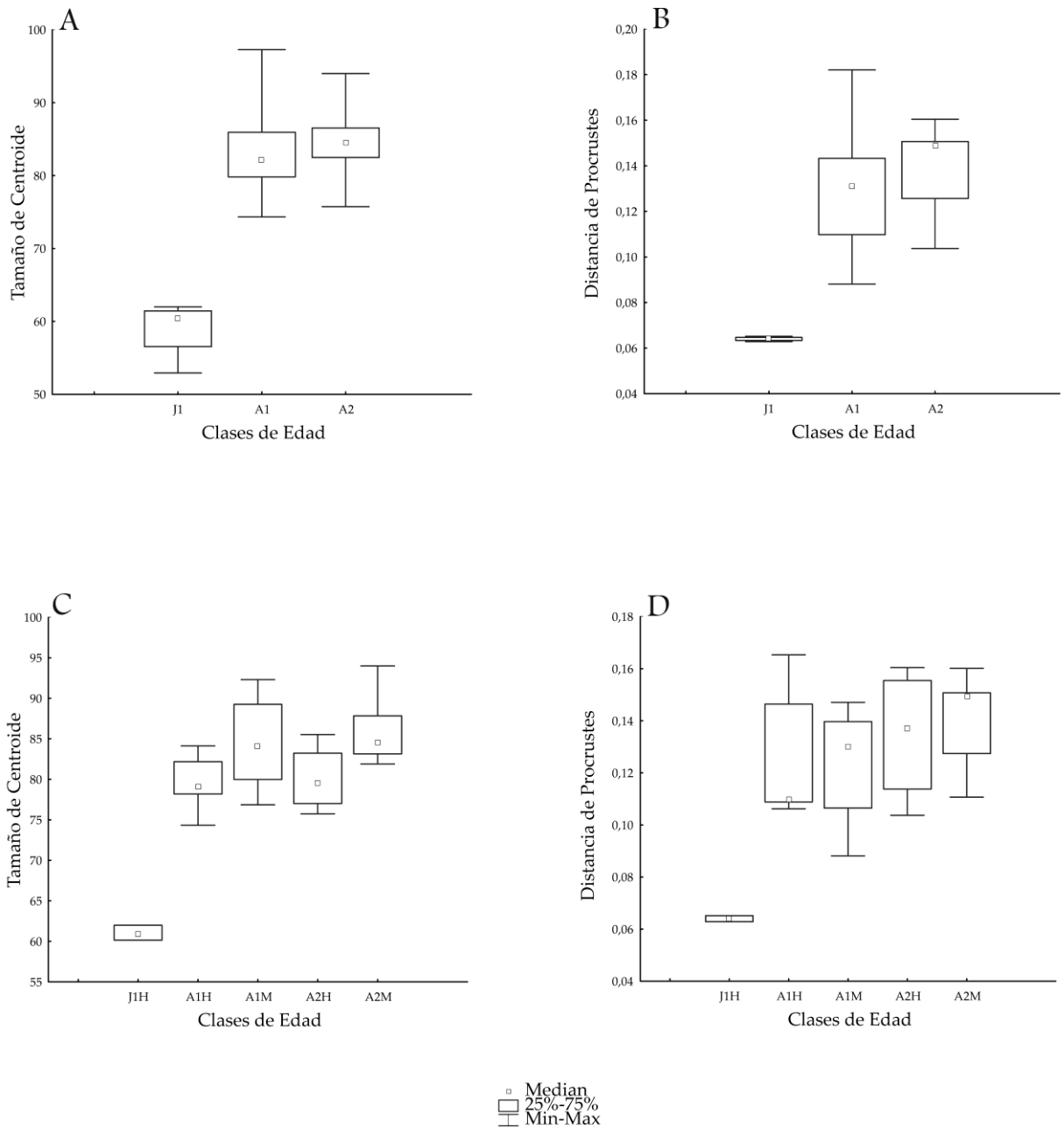


Fig. 110. Boxplots de *Leopardus tigrinus* para tamaño y forma mandibular contra clases de edad. Tamaño de centroide (A) y distancia de Procrustes (B) de la mandíbula sin tener en cuenta el sexo. Tamaño de centroide (C) y distancia de Procrustes (D) teniendo en cuenta el sexo. Los boxplots incluyeron mediana, mínimo y máximo, y cuartiles superiores e inferiores (75 y 25%, respectivamente).

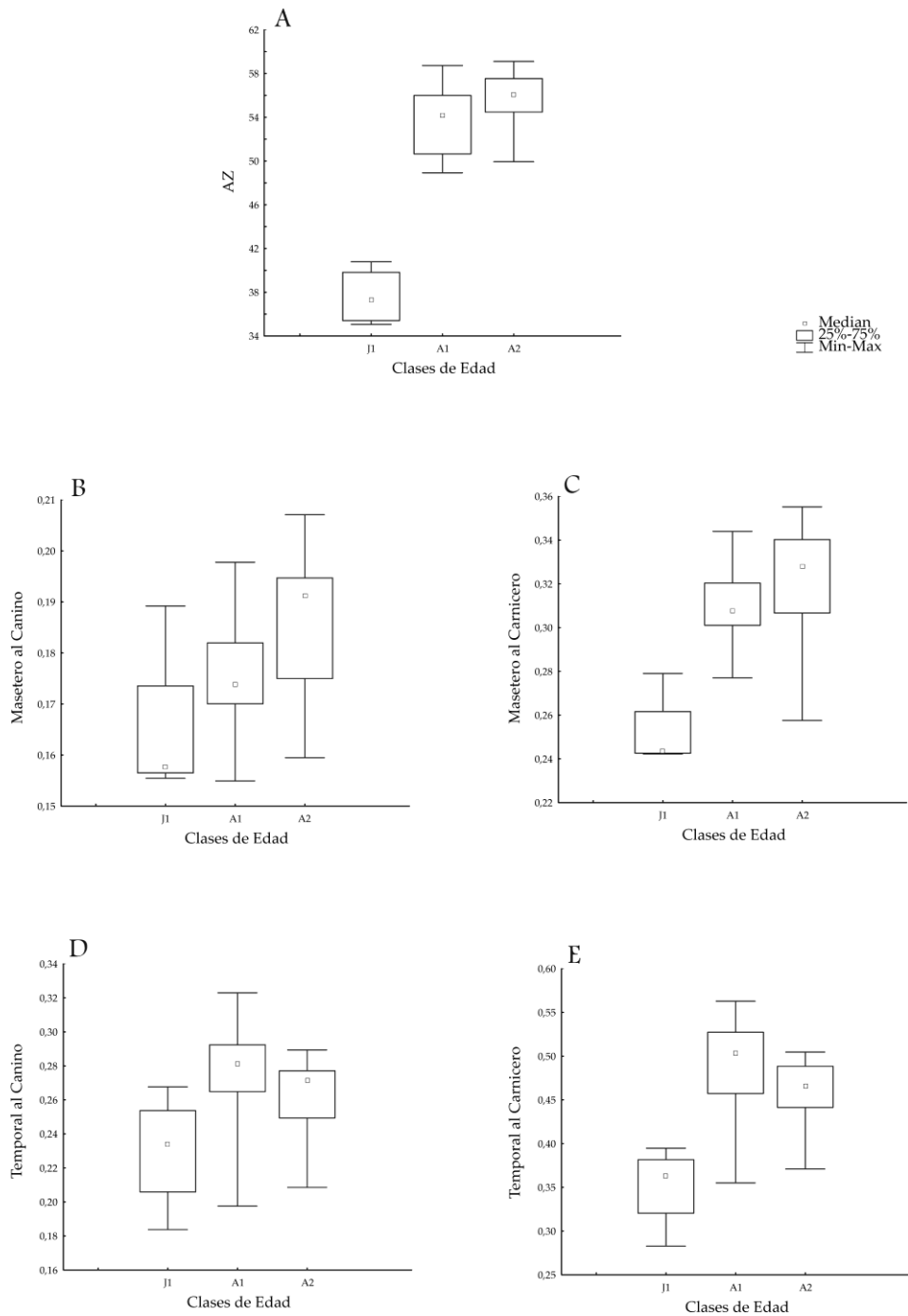


Fig. 111. Boxplots de *Leopardus tigrinus* para ventajas mecánicas contra clases de edad. Tamaño de los músculos masticatorios (A), ventaja mecánica del músculo masetero al canino (B), ventaja mecánica del músculo masetero al carnicero (C), ventaja mecánica del músculo temporal al canino (D), ventaja mecánica del músculo temporal al carnicero (E). Los boxplots incluyeron mediana, mínimo y máximo, y cuartiles superiores e inferiores (75 y 25%, respectivamente).

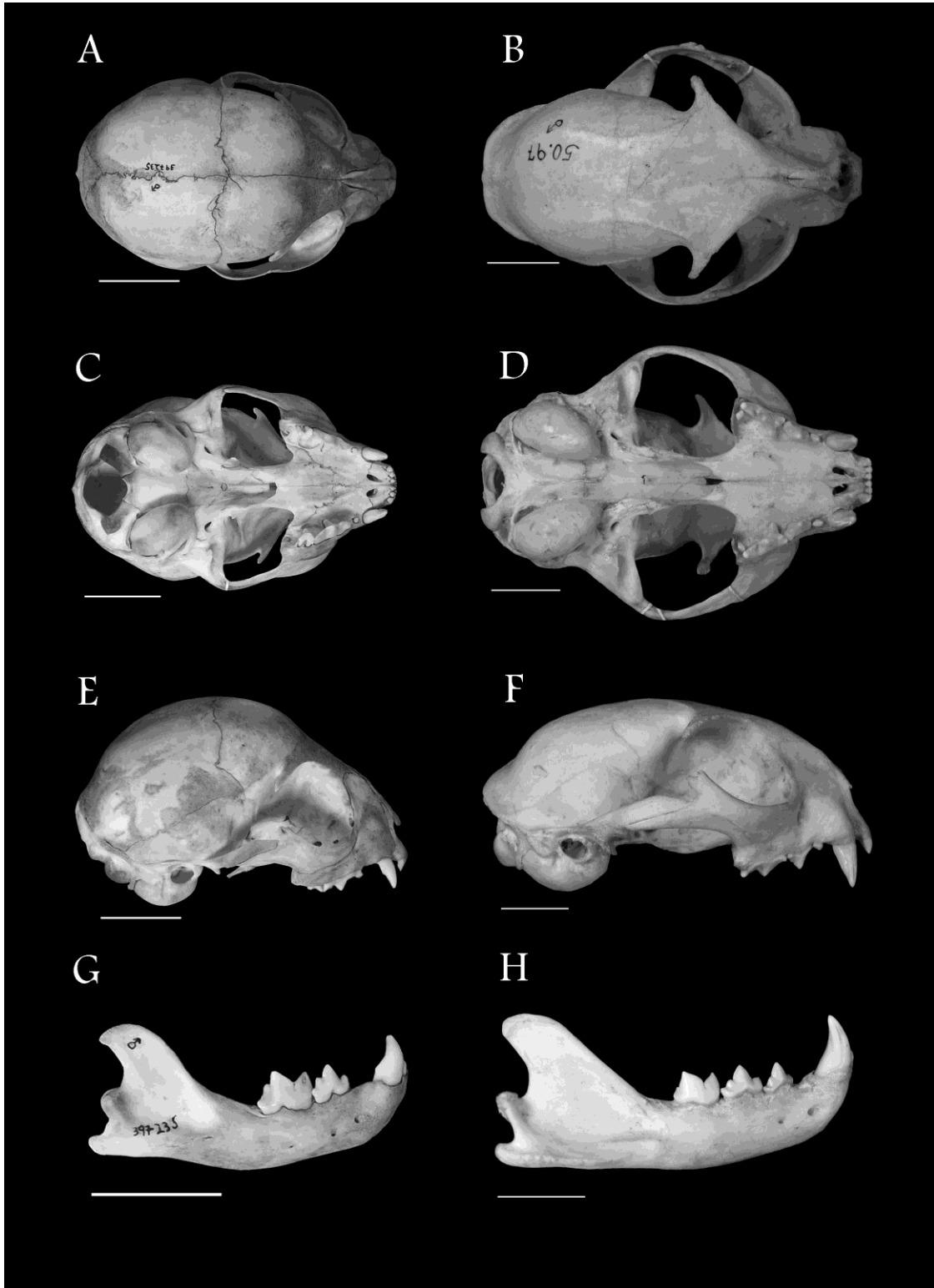
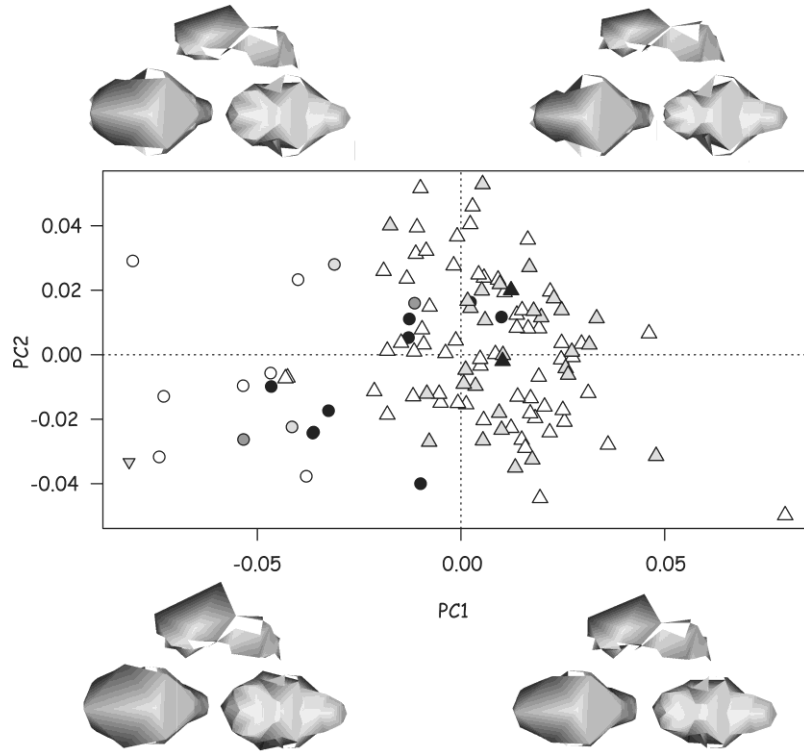


Fig.112. *Leopardus wiedii*. Vista dorsal, ventral, lateral y mandíbula del ejemplar J1: USNM 397235 (A-C-E-G) y A2: MACN 50.97 (B-D-F-H). Escala: 2 cm.

A



B

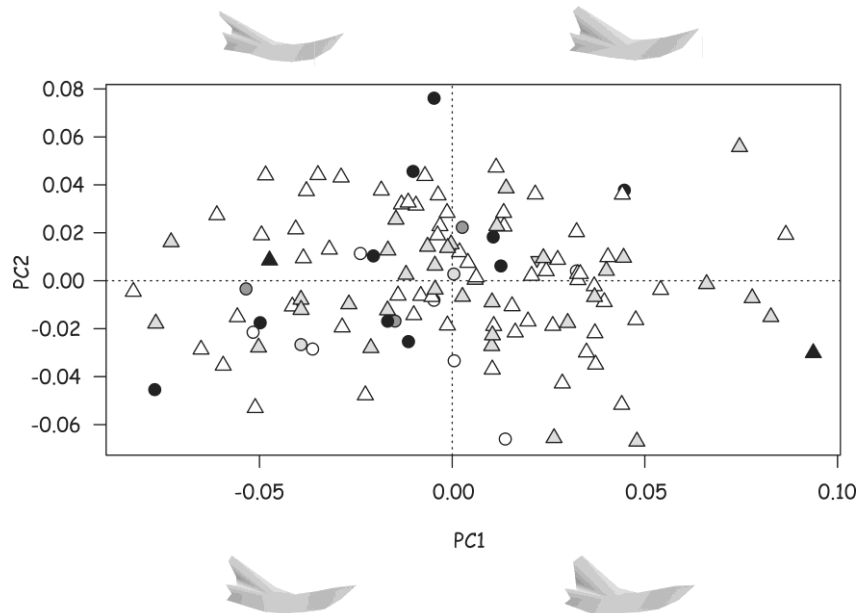


Fig. 113. PC1 vs PC2 para cráneo (A) y mandíbula (B) de *Leopardus wiedii*. Símbolos: B ▽, J1 ○, J2 ●, J3 ●, J4 ●, A1 △, A2 △, A3 ▲.

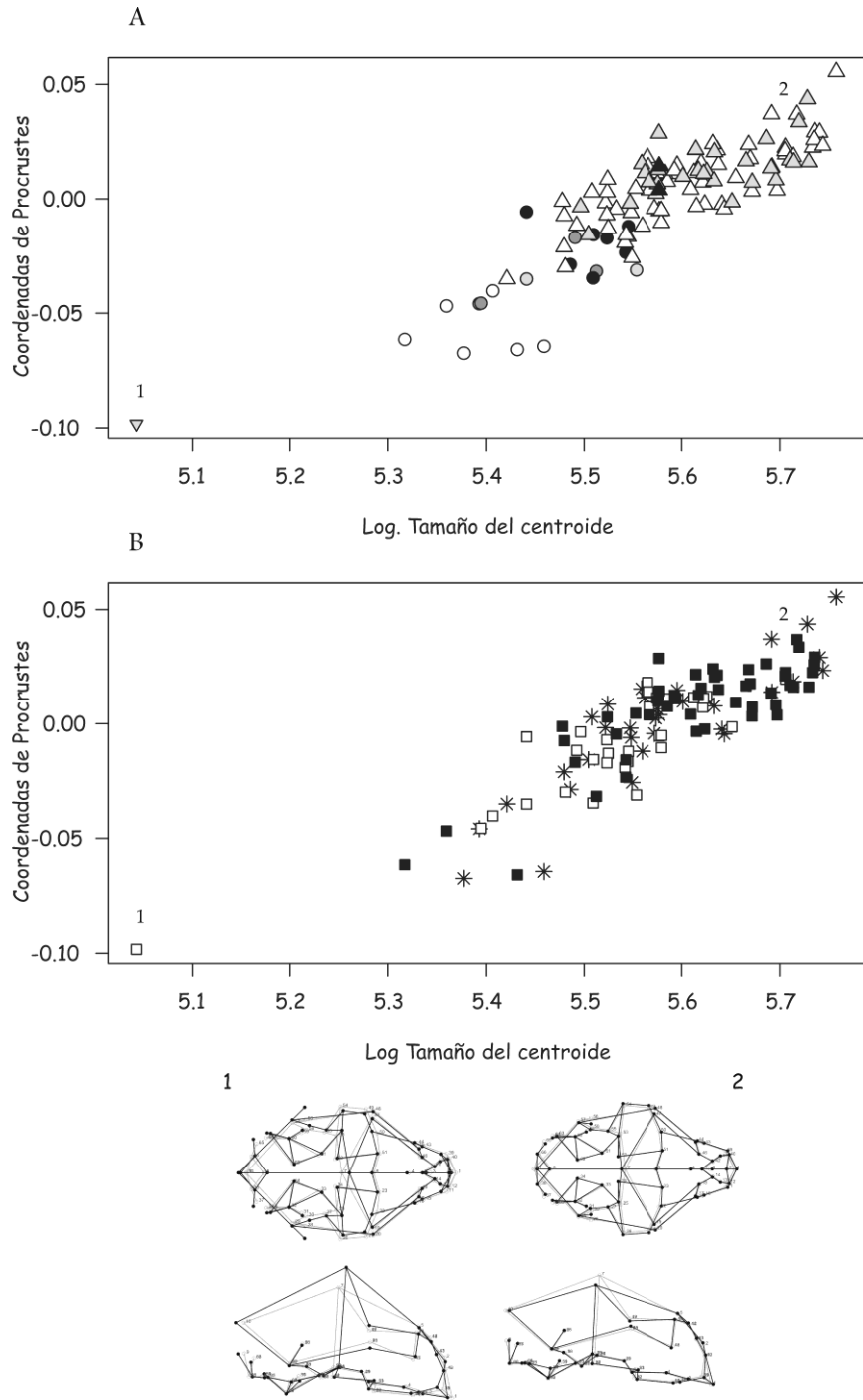


Fig. 114. Regresión de coordenadas de Procrustes contra tamaño de centroide log-transformado para cráneos de *Leopardus wiedii*, teniendo en cuenta las clases de edad (A) y los sexos (B). Símbolos: B ▽, J1 ○, J2 ●, J3 ●, J4 ●, A1 △, A2 △, A3 ▲, Machos ■, Hembras □, Especímenes no sexados *, 1 formas pequeñas, 2 formas grandes.

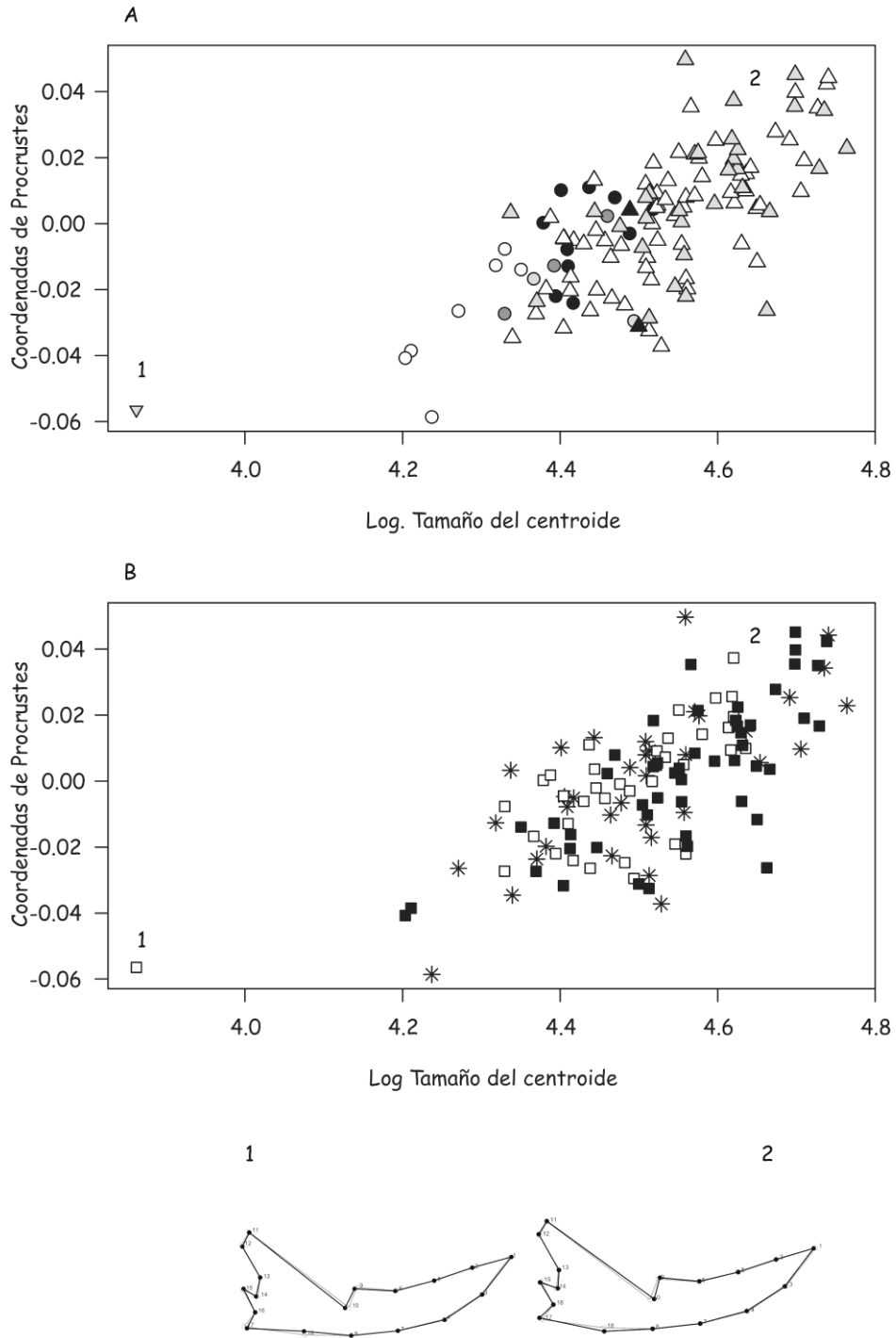


Fig. 115. Regresión de coordenadas de Procrustes contra tamaño de centroide log-transformado para mandíbulas de *Leopardus wiedii*, teniendo en cuenta las clases de edad (A) y los sexos (B). Símbolos: B ∇ , J1 \square , J2 \circ , J3 \bullet , J4 \bullet , A1 \triangle , A2 \triangle , A3 \blacktriangle , Machos \blacksquare , Hembras \square , Especímenes no sexados *, 1 formas pequeñas, 2 formas grandes.

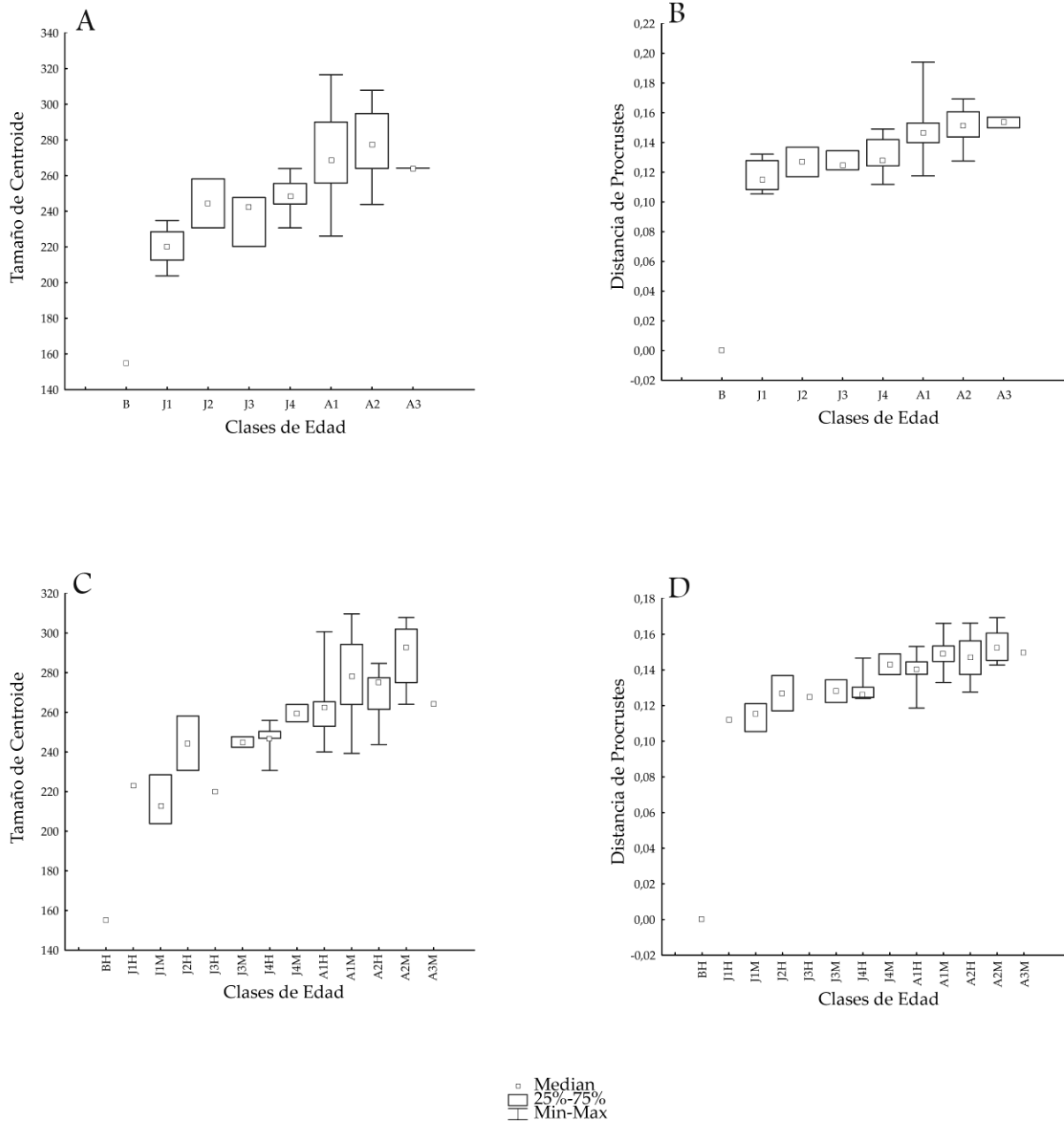


Fig. 116. Boxplots de *Leopardus wiedii* para tamaño y forma craneana contra clases de edad. Tamaño de centroide (A) y distancia de Procrustes (B) del cráneo sin tener en cuenta el sexo. Tamaño de centroide (C) y distancia de Procrustes (D) teniendo en cuenta el sexo. Los boxplots incluyeron mediana, mínimo y máximo, y cuartiles superiores e inferiores (75 y 25%, respectivamente).

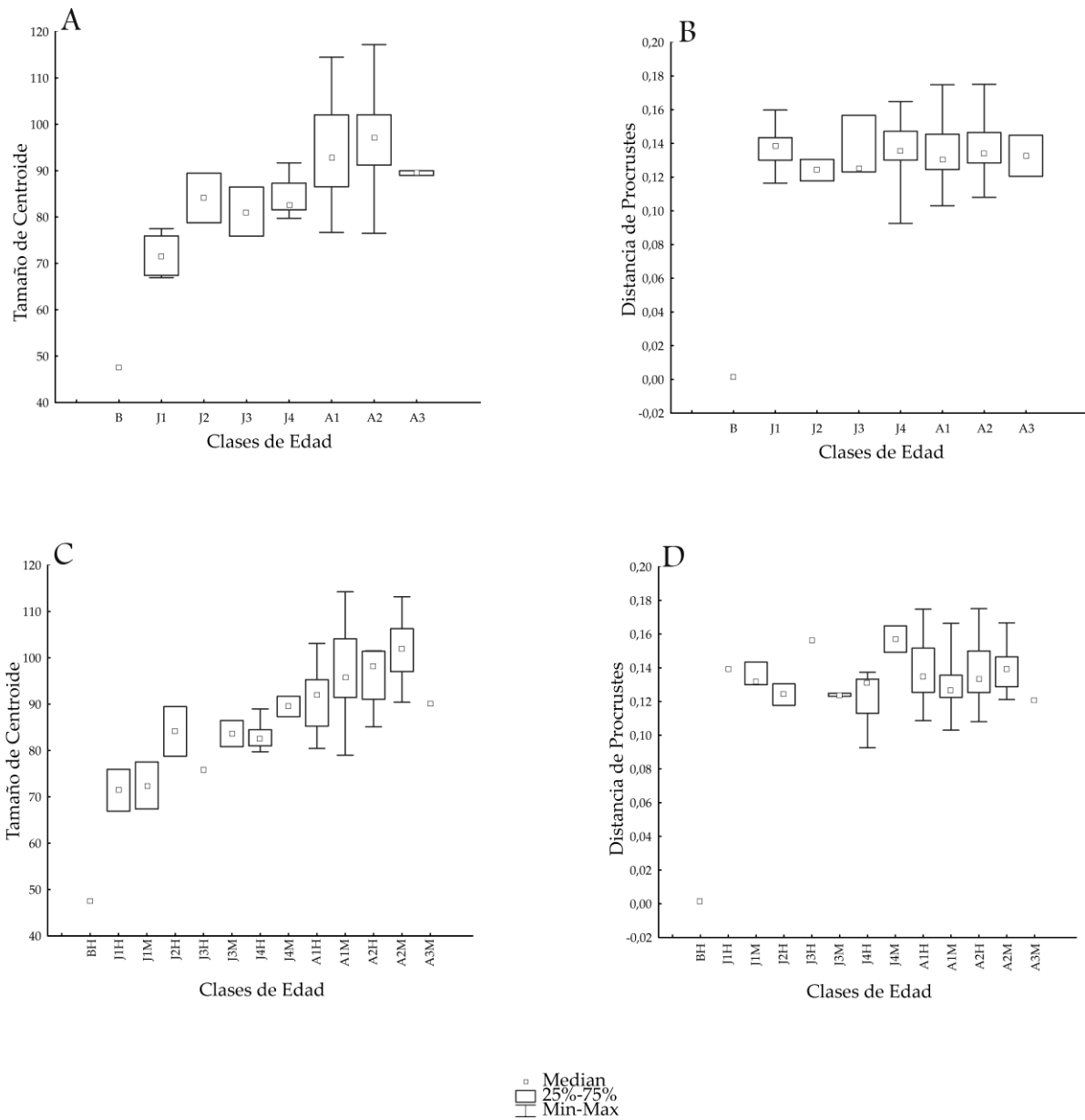


Fig. 117. Boxplots de *Leopardus wiedii* para tamaño y forma mandibular contra clases de edad. Tamaño de centroide (A) y distancia de Procrustes (B) de la mandíbula sin tener en cuenta el sexo. Tamaño de centroide (C) y distancia de Procrustes (D) teniendo en cuenta el sexo. Los boxplots incluyeron mediana, mínimo y máximo, y cuartiles superiores e inferiores (75 y 25%, respectivamente).

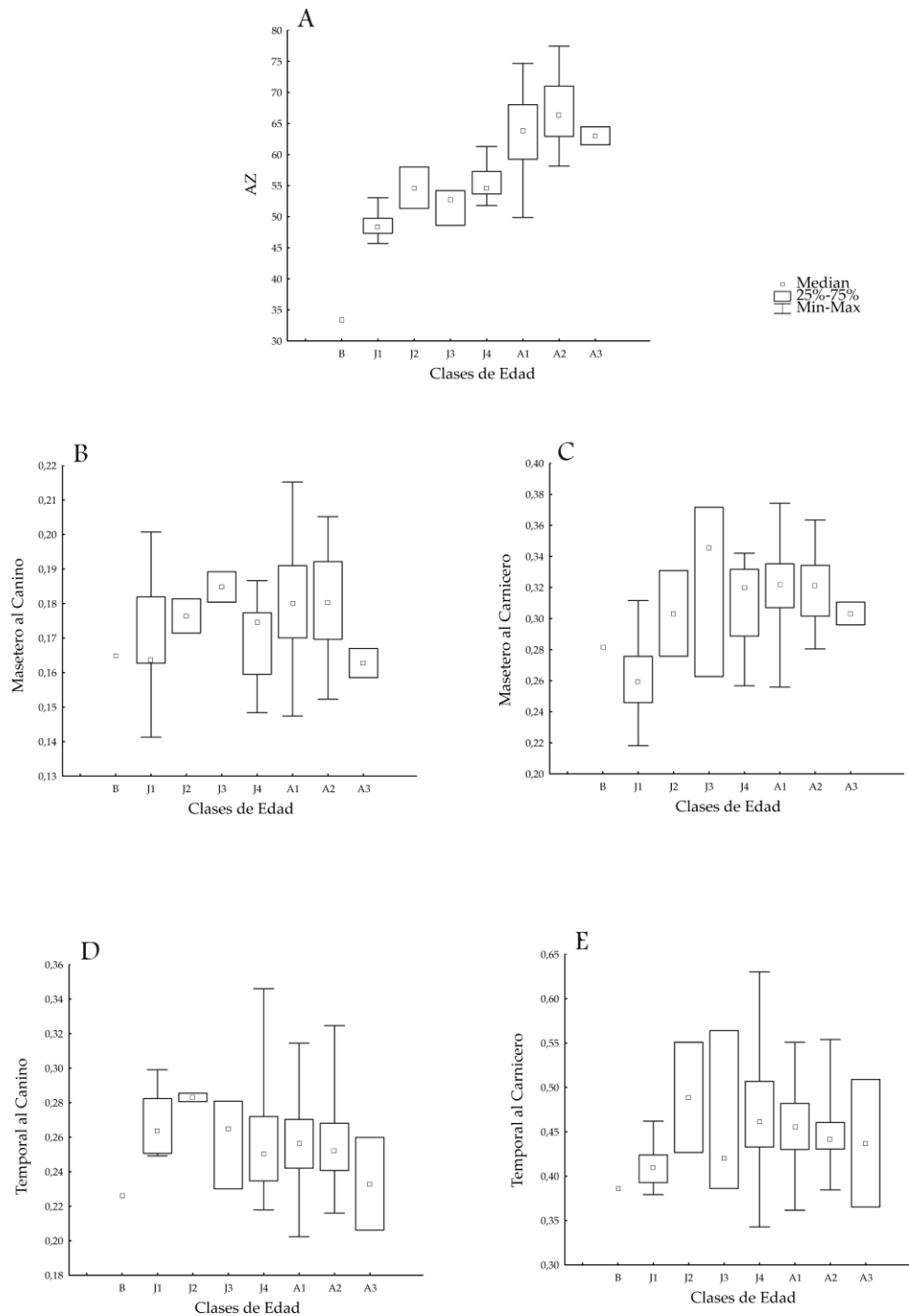


Fig. 118. Boxplots de *Leopardus wiedii* para ventajas mecánicas contra clases de edad. Tamaño de los músculos masticatorios (A), ventaja mecánica del músculo masetero al canino (B), ventaja mecánica del músculo masetero al carnicero (C), ventaja mecánica del músculo temporal al canino (D), ventaja mecánica del músculo temporal al carnicero (E). Los boxplots incluyeron mediana, mínimo y máximo, y cuartiles superiores e inferiores (75 y 25%, respectivamente).

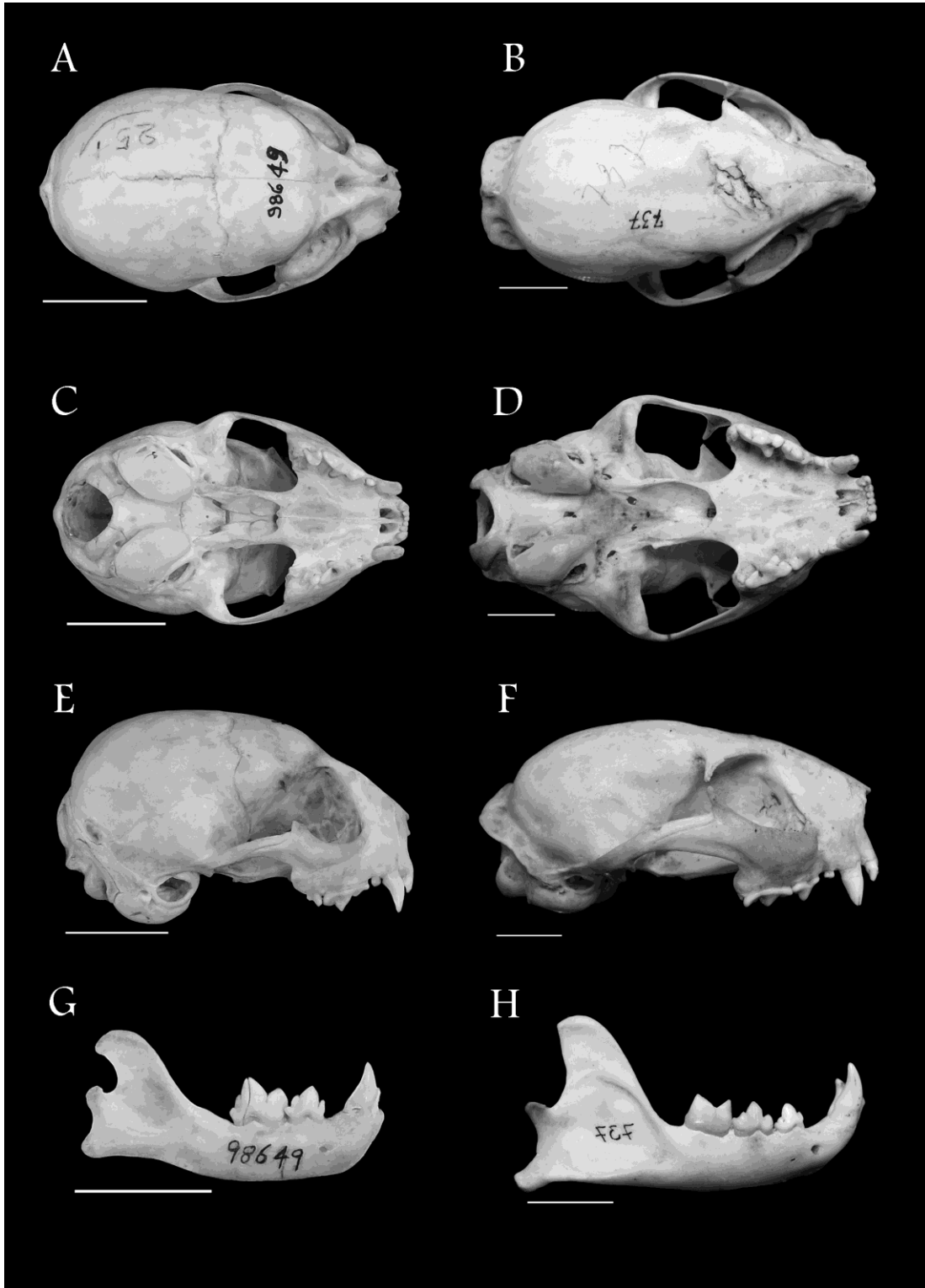
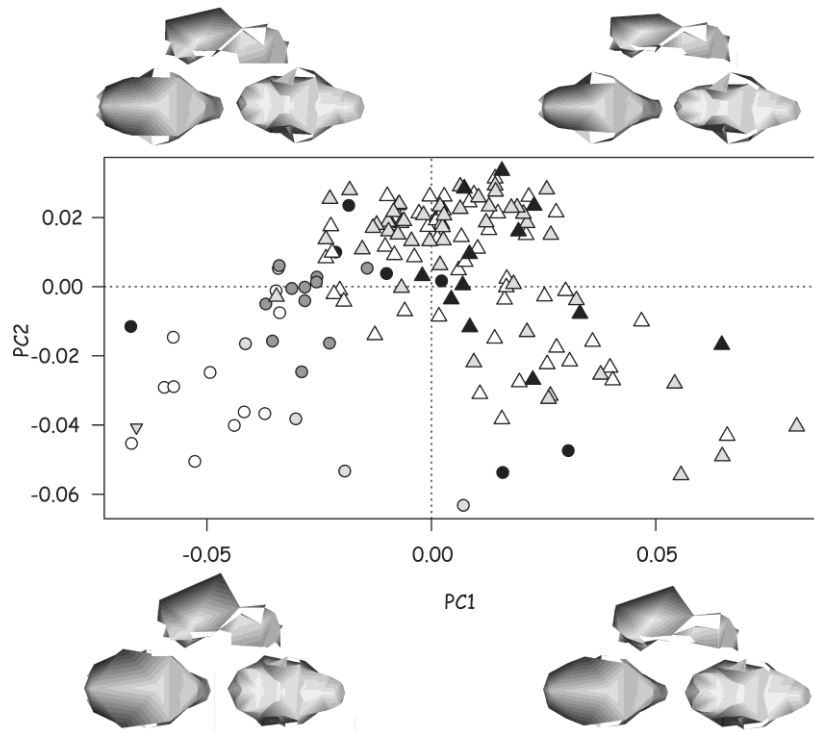


Fig. 119. *Herpailurus yagouaroundi*. Vista dorsal, ventral, lateral y mandíbula del ejemplar J1: AMNH 98649 (A-C-E-G) y A2: 737 MLP (B-D-F-H). Escala: 2 cm.

A



B

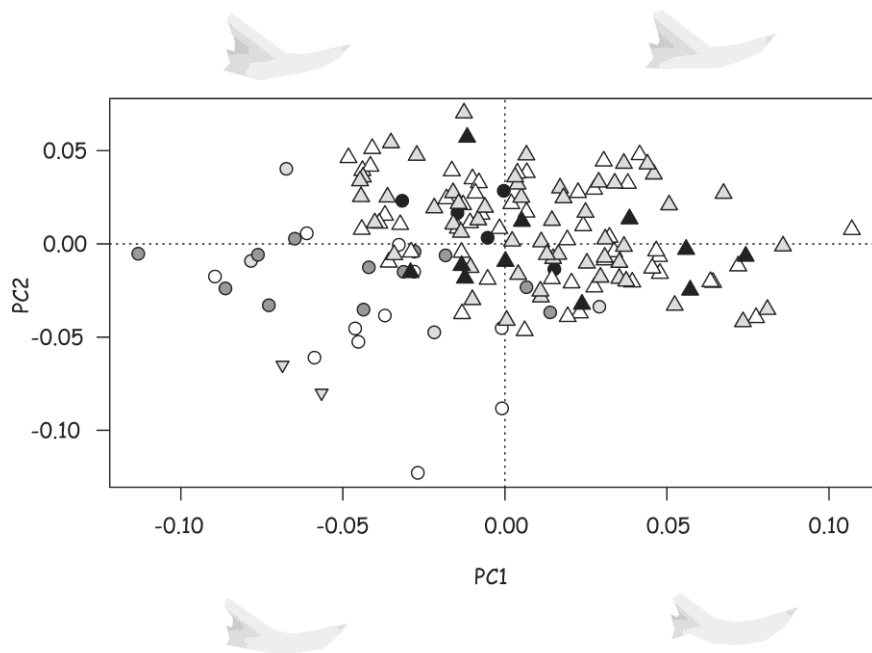


Fig. 120. PC1 vs PC2 para cráneo (A) y mandíbula (B) de *Herpailurus yagouaroundi*.
 Símbolos: B ▽, J1 ○, J2 ●, J3 ●, J4 ●, A1 △, A2 △, A3 ▲.

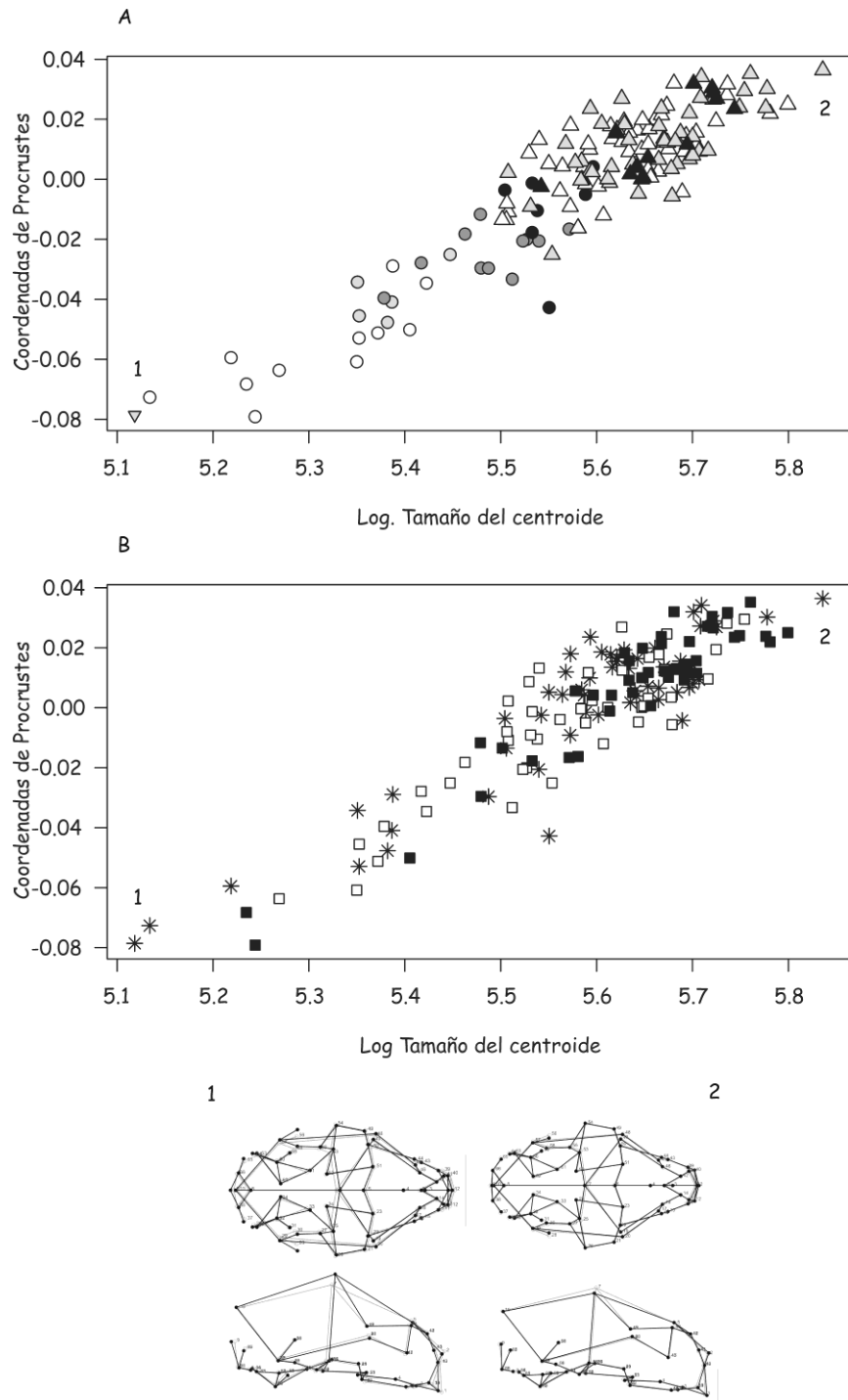


Fig. 121. Regresión de coordenadas de Procrustes contra tamaño de centroide log-transformado para cráneos de *Herpailurus yagouaroundi*, teniendo en cuenta las clases de edad (A) y los sexos (B). Símbolos: B ▽, J1 ○, J2 ●, J3 ●, J4 ●, A1 △, A2 △, A3 ▲, Machos ■, Hembras □, Especímenes no sexados *, 1 formas pequeñas, 2 formas grandes.

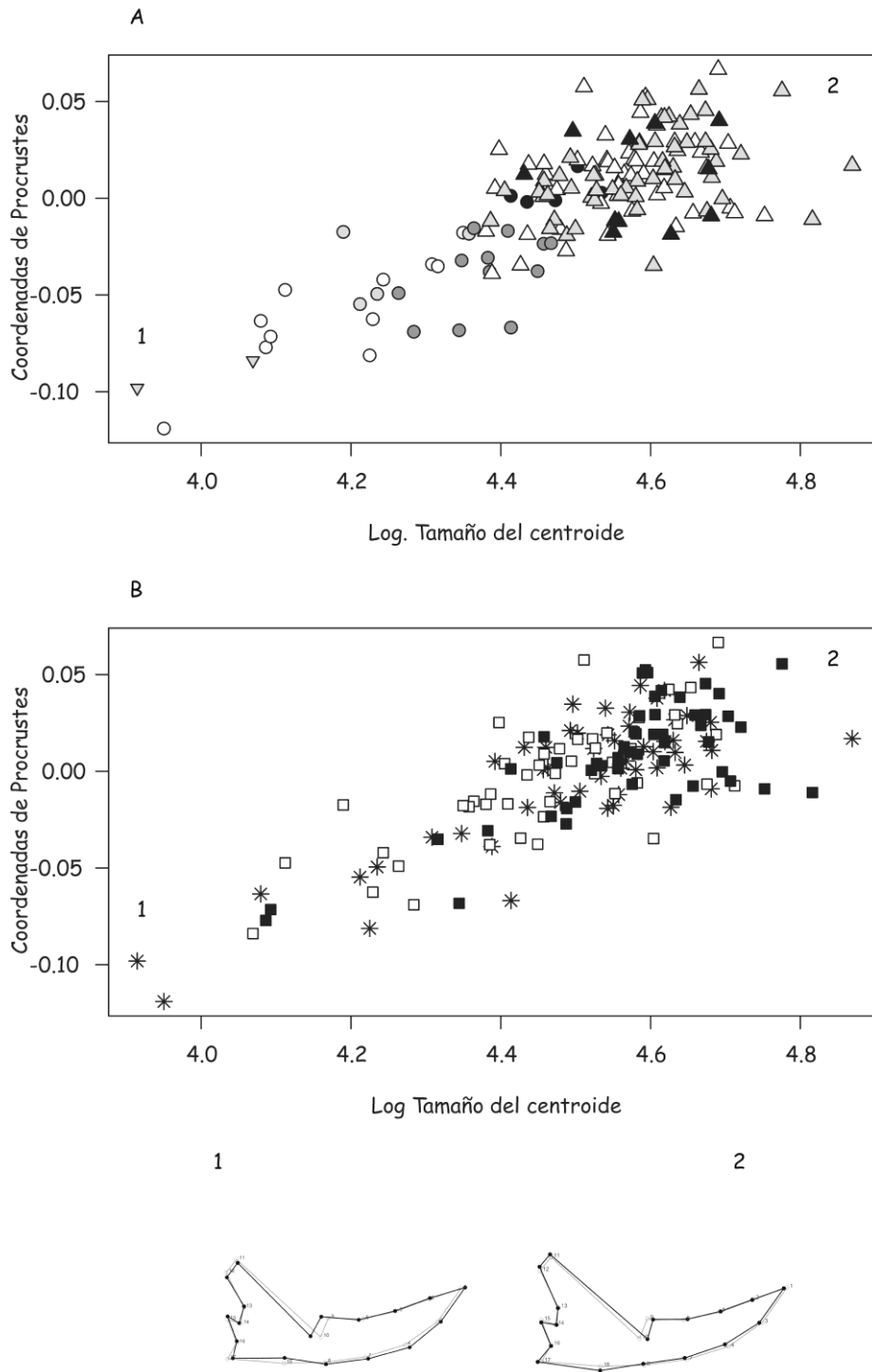


Fig. 122. Regresión de coordenadas de Procrustes contra tamaño de centroide log-transformado para mandíbulas de *Herpailurus yagouaroundi*, teniendo en cuenta las clases de edad (A) y los sexos (B). Símbolos: B ▽, J1 ○, J2 ●, J3 ●, J4 ●, A1 △, A2 △, A3 ▲, Machos ■, Hembras □, Especímenes no sexados *, 1 formas pequeñas, 2 formas grandes.

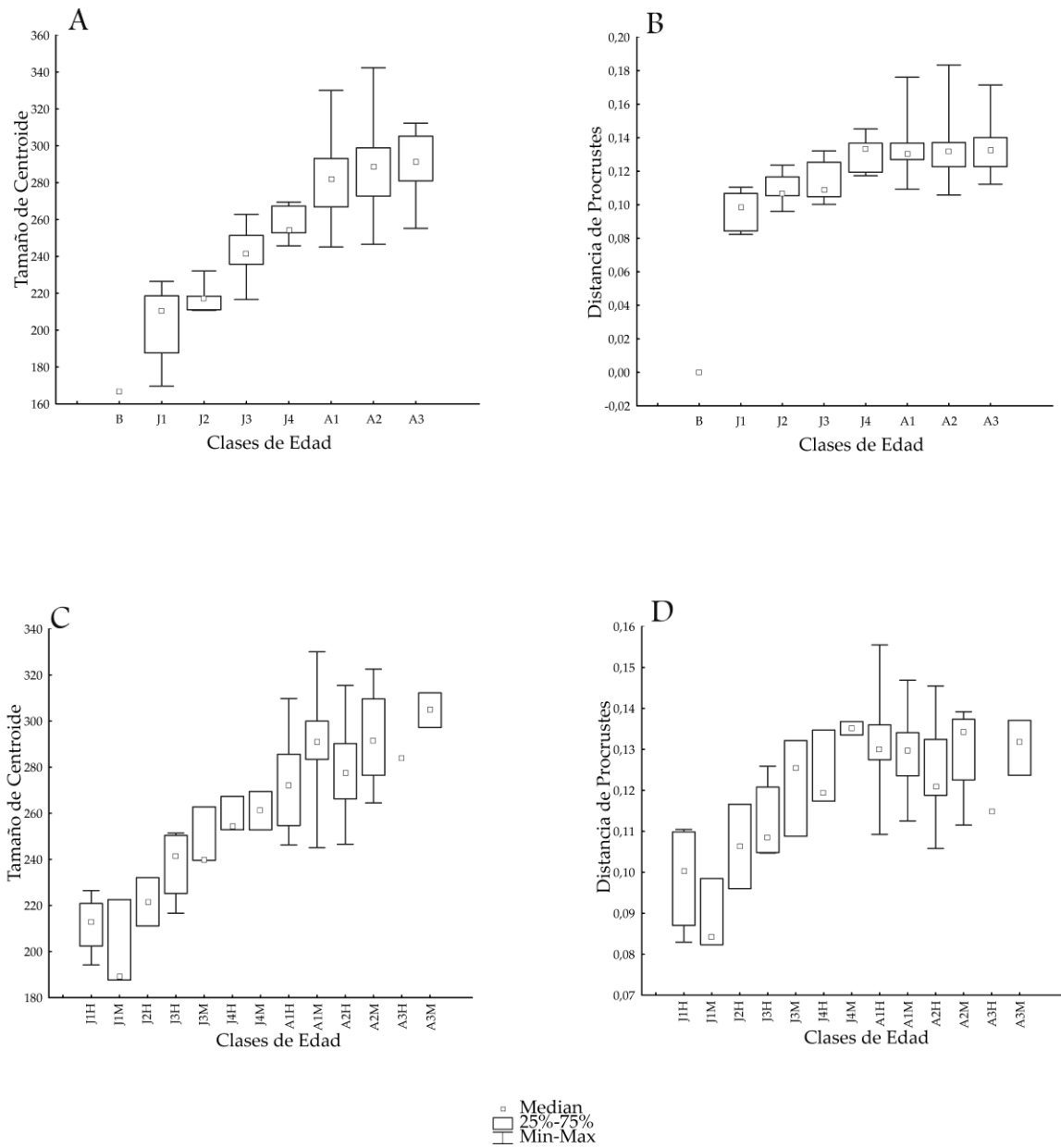


Fig. 123. Boxplots de *Herpailurus yagouaroundi* para tamaño y forma craneana contra clases de edad. Tamaño de centroide (A) y distancia de Procrustes (B) del cráneo sin tener en cuenta el sexo. Tamaño de centroide (C) y distancia de Procrustes (D) teniendo en cuenta el sexo. Los boxplots incluyeron mediana, mínimo y máximo, y cuartiles superiores e inferiores (75 y 25%, respectivamente).

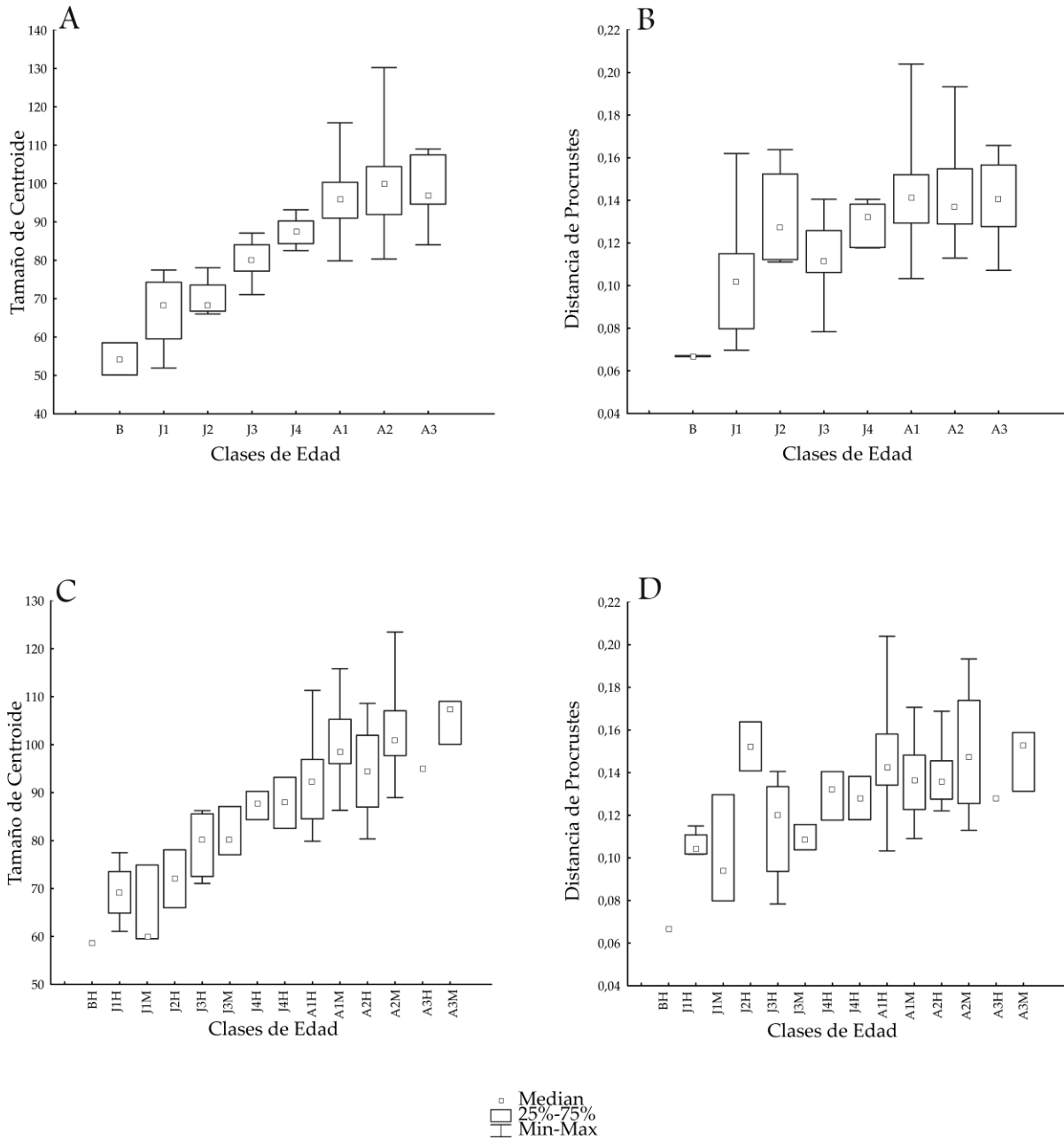


Fig. 124. Boxplots de *Herpailurus yagouaroundi* para tamaño y forma mandibular contra clases de edad. Tamaño de centroide (A) y distancia de Procrustes (B) de la mandíbula sin tener en cuenta el sexo. Tamaño de centroide (C) y distancia de Procrustes (D) teniendo en cuenta el sexo. Los boxplots incluyeron mediana, mínimo y máximo, y cuartiles superiores e inferiores (75 y 25%, respectivamente).

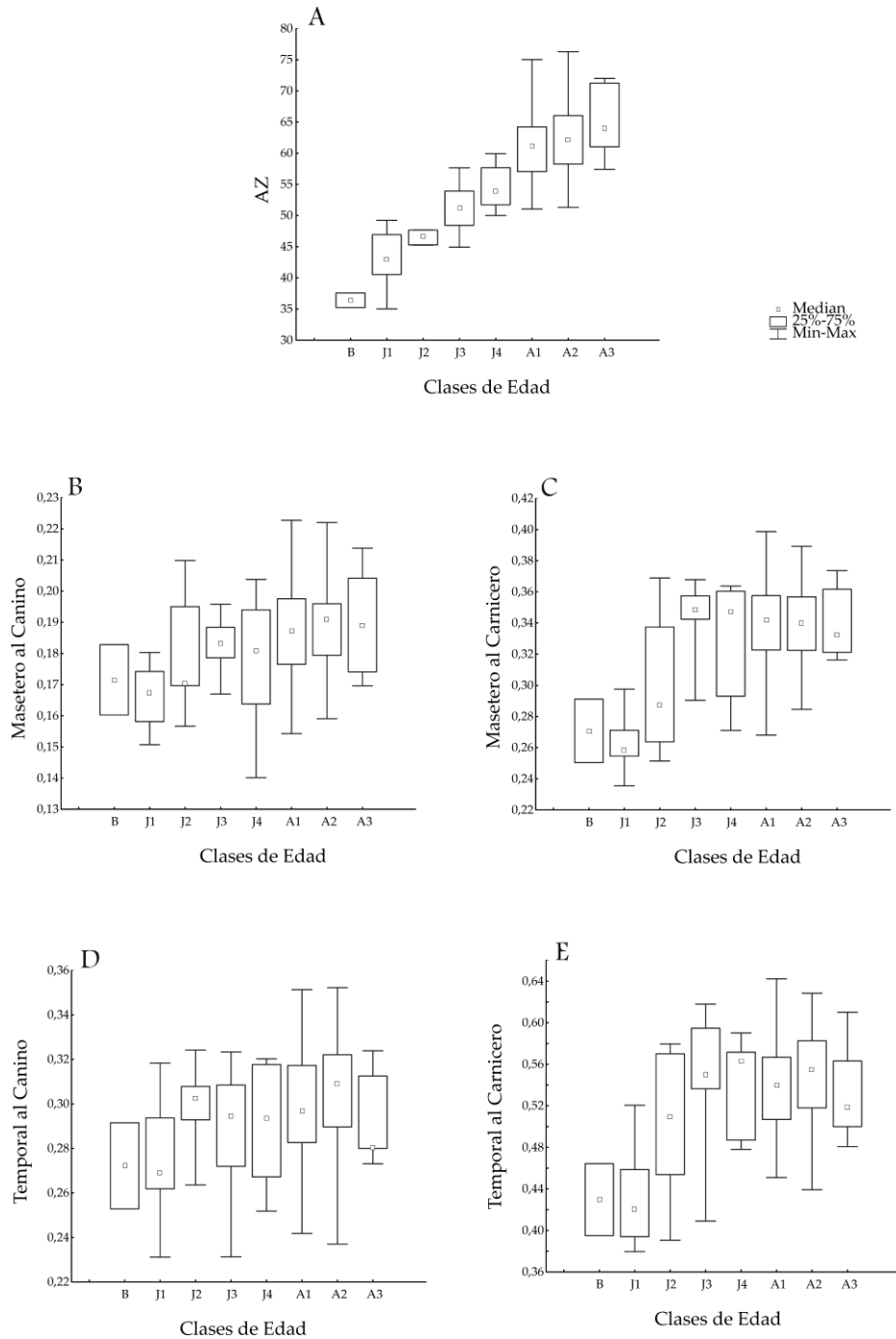


Fig. 125. Boxplots de *Herpailurus yagouaroundi* para ventajas mecánicas contra clases de edad. Tamaño de los músculos masticatorios (A), ventaja mecánica del músculo masetero al canino (B), ventaja mecánica del músculo masetero al carnicero (C), ventaja mecánica del músculo temporal al canino (D), ventaja mecánica del músculo temporal al carnicero (E). Los boxplots incluyeron mediana, mínimo y máximo, y cuartiles superiores e inferiores (75 y 25%, respectivamente).

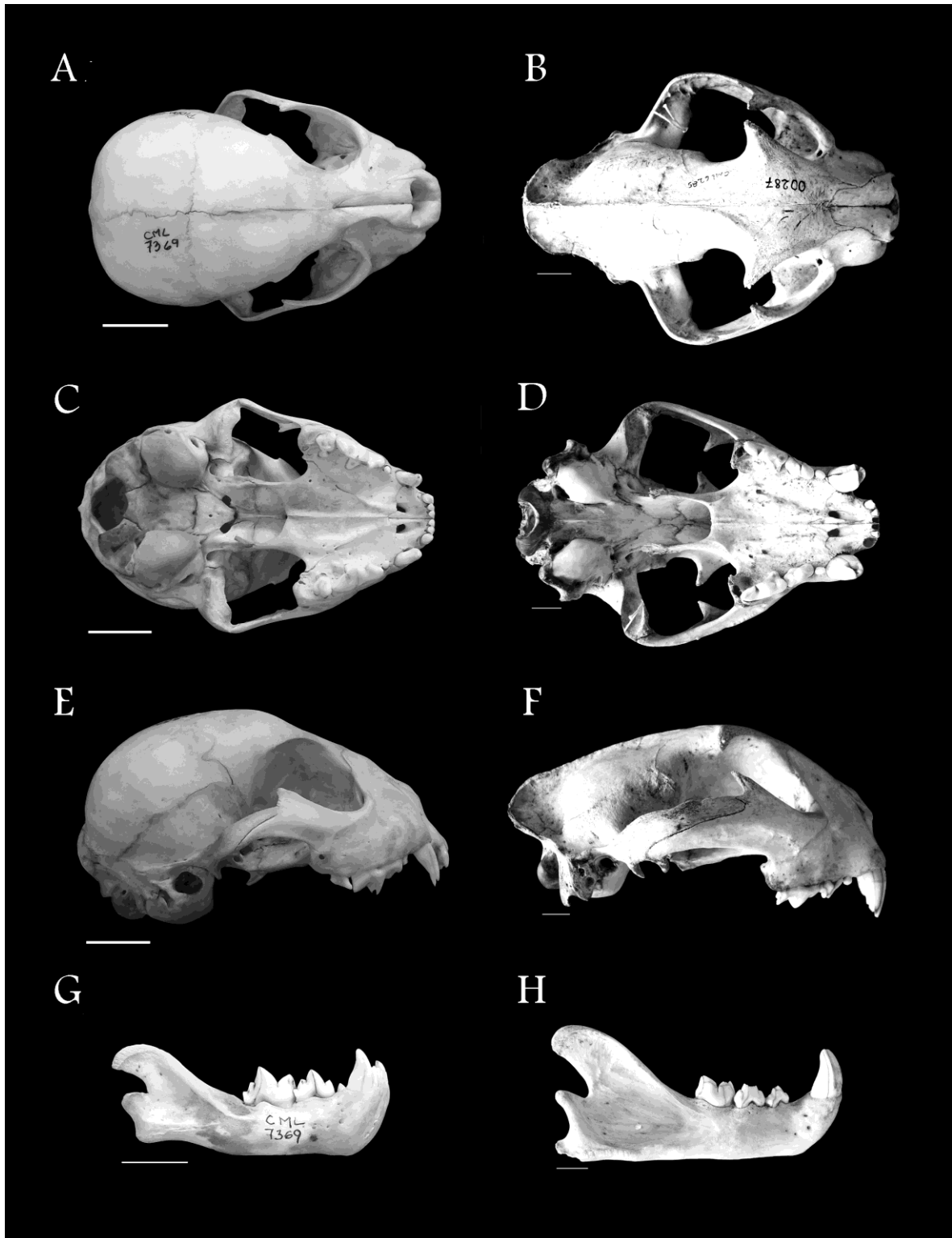
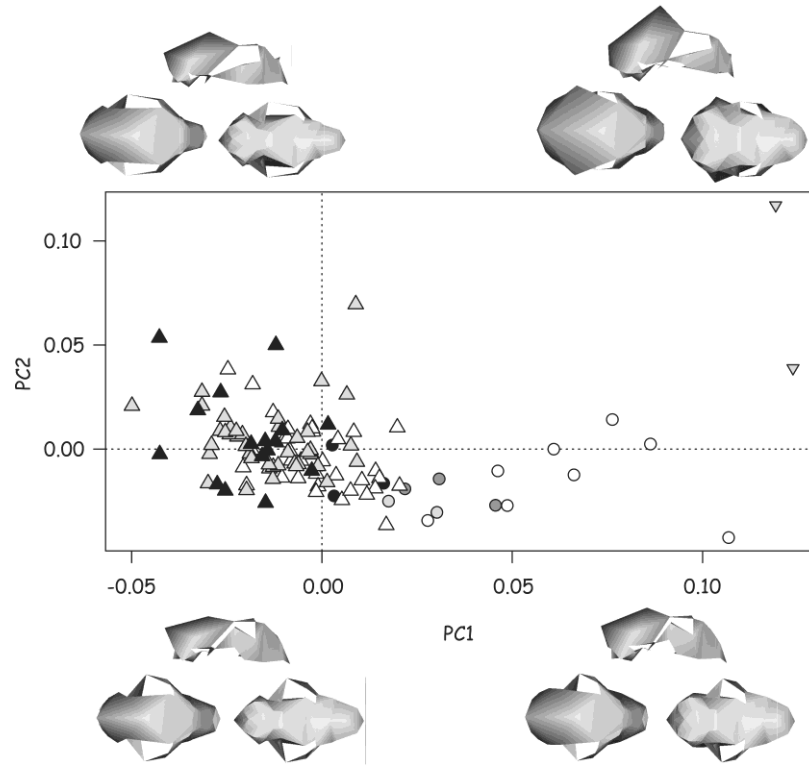


Fig. 126. *Puma concolor*. Vista dorsal, ventral, lateral y mandíbula del ejemplar J1: CML 7369 (A-C-E-G) y A2: CML 6285 (B-D-F-H). Escala: 2 cm.

A



B

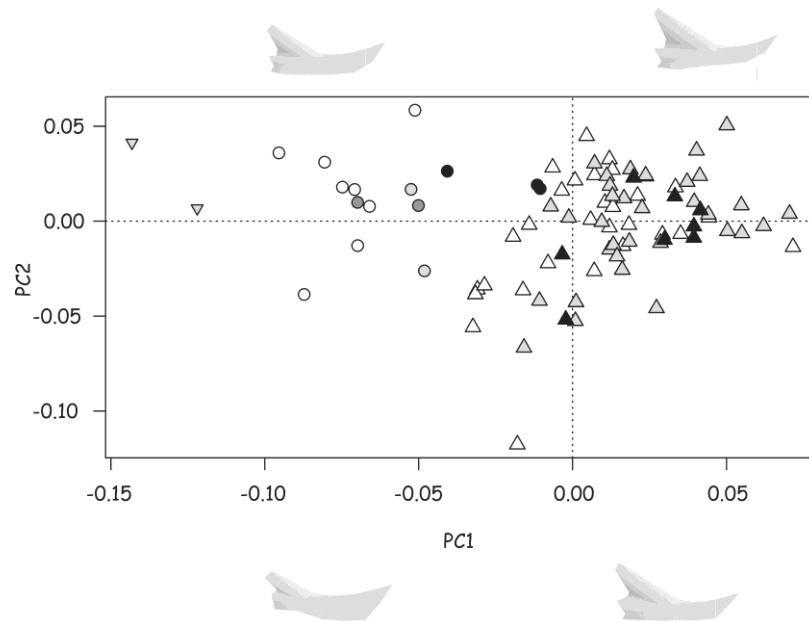


Fig. 127. PC1 vs PC2 para cráneo (A) y mandíbula (B) de *Puma concolor*. Símbolos: B ∇ , J1 \circ , J2 \bullet , J3 \bullet , J4 \bullet , A1 \triangle , A2 \triangle , A3 \blacktriangle .

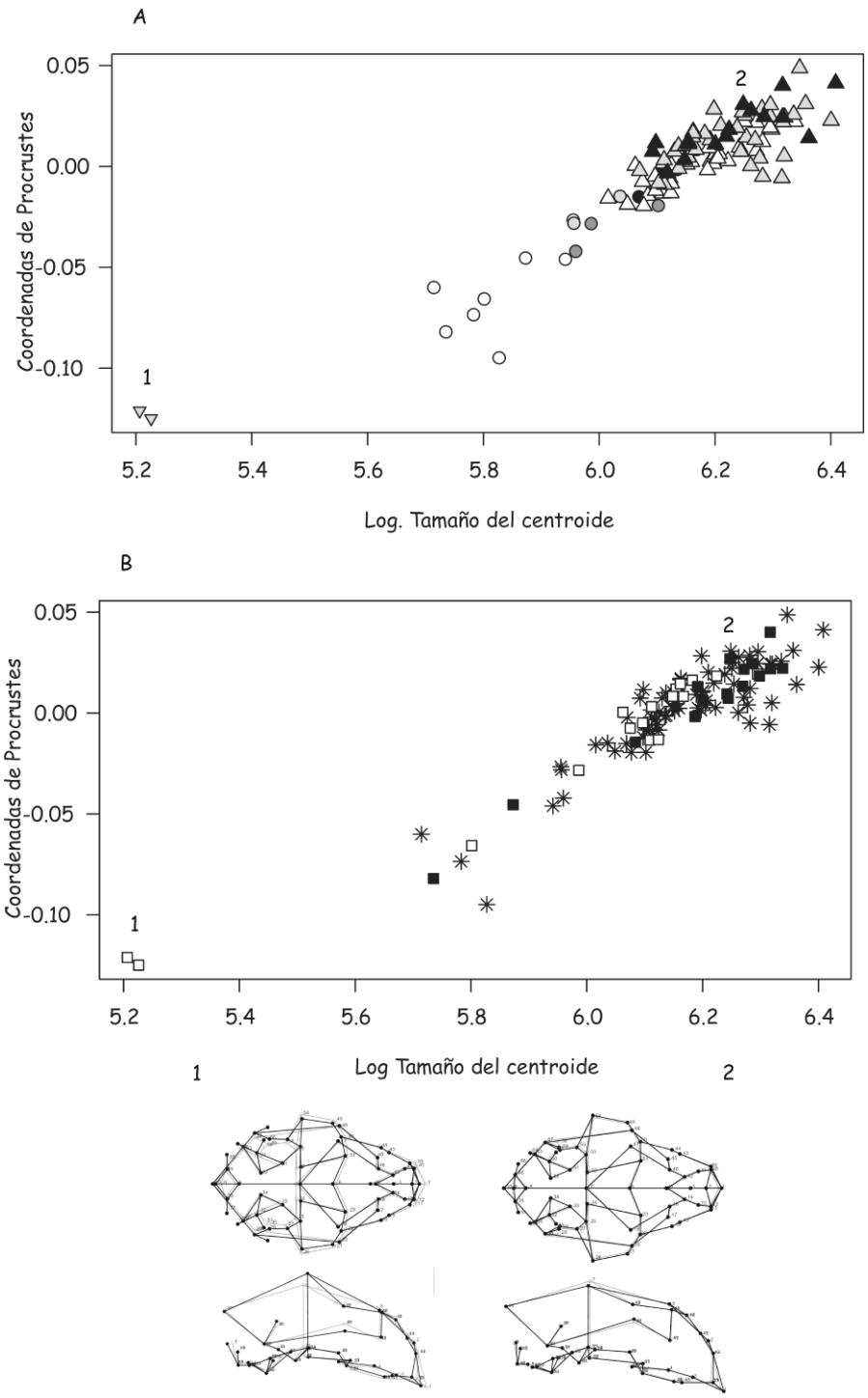


Fig. 128. Regresión de coordenadas de Procrustes contra tamaño de centroide log-transformado para cráneos de *Puma concolor*, teniendo en cuenta las clases de edad (A) y los sexos (B). Símbolos: B ▽, J1 □, J2 ●, J3 ●, J4 ●, A1 △, A2 △, A3 ▲, Machos ■, Hembras □, Especímenes no sexados *, 1 formas pequeñas, 2 formas grandes.

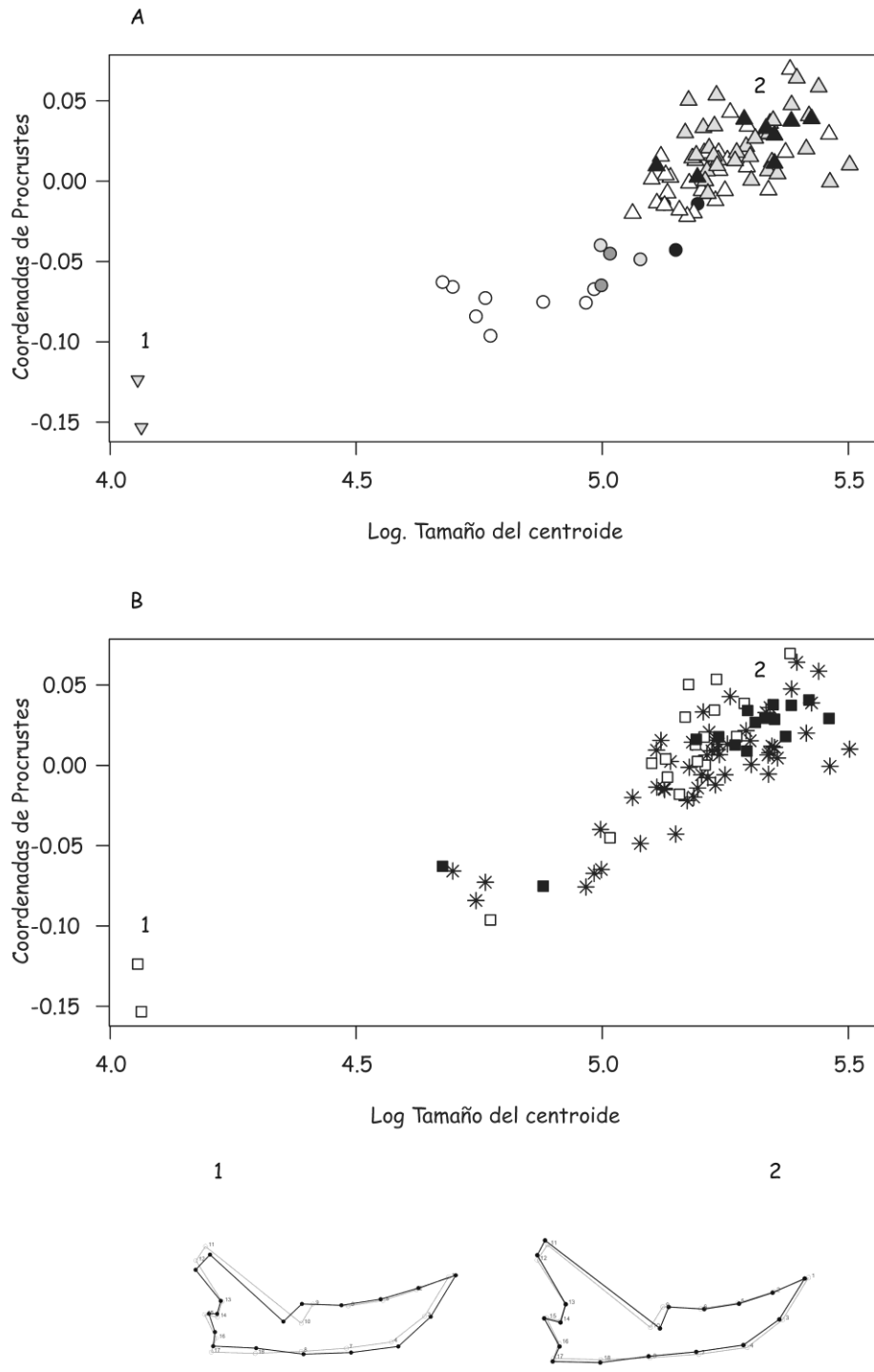


Fig. 129. Regresión de coordenadas de Procrustes contra tamaño de centroide log-transformado para mandíbulas de *Puma concolor*, teniendo en cuenta las clases de edad (A) y los sexos (B). Símbolos: B ▽, J1 ○, J2 ●, J3 ●, J4 ●, A1 △, A2 △, A3 ▲, Machos ■, Hembras □, Especímenes no sexados *, 1 formas pequeñas, 2 formas grandes.

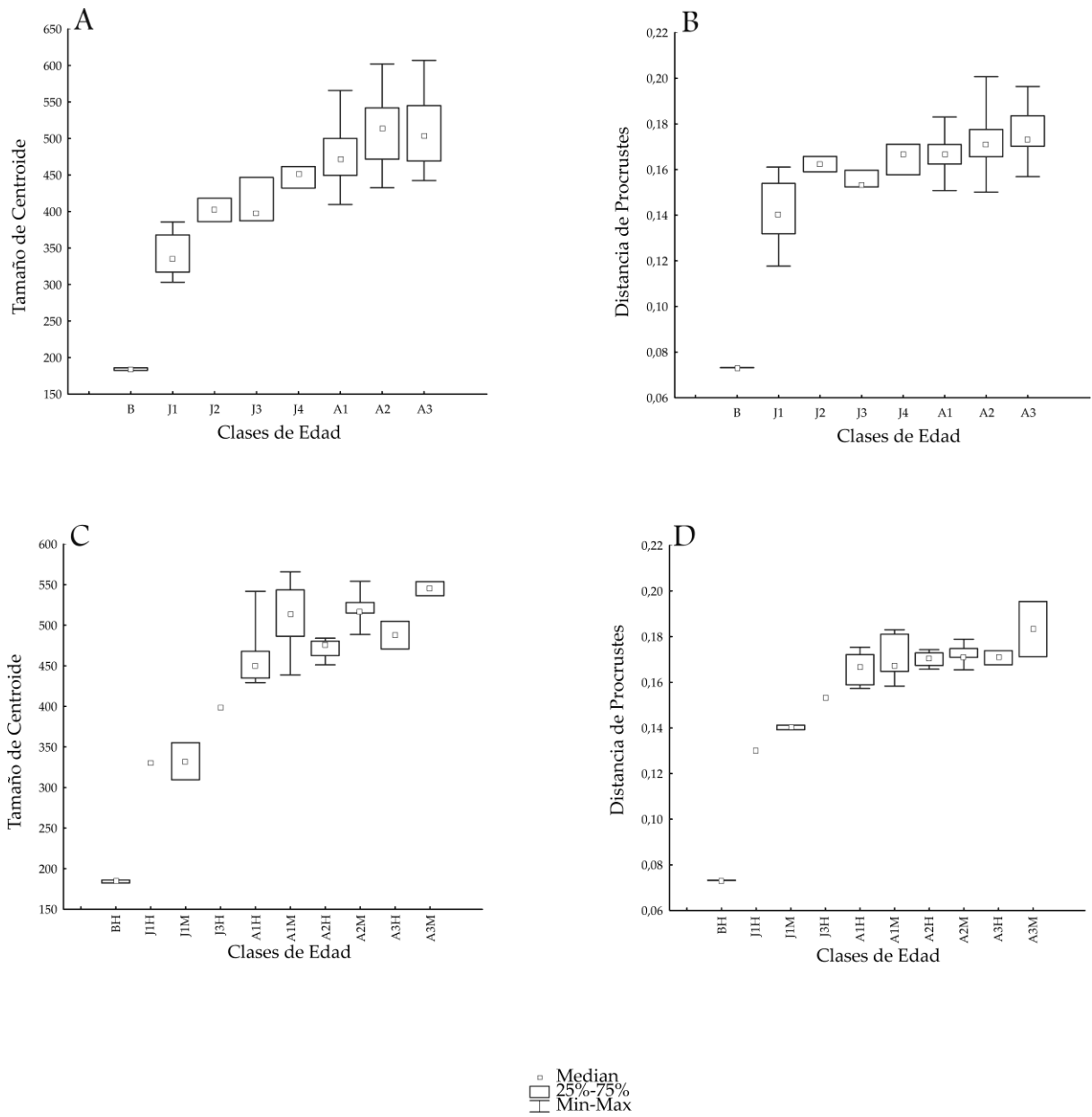


Fig. 130. Boxplots de *Puma concolor* para tamaño y forma craneana contra clases de edad. Tamaño de centroide (A) y distancia de Procrustes (B) del cráneo sin tener en cuenta el sexo. Tamaño de centroide (C) y distancia de Procrustes (D) teniendo en cuenta el sexo. Los boxplots incluyeron mediana, mínimo y máximo, y cuartiles superiores e inferiores (75 y 25%, respectivamente).

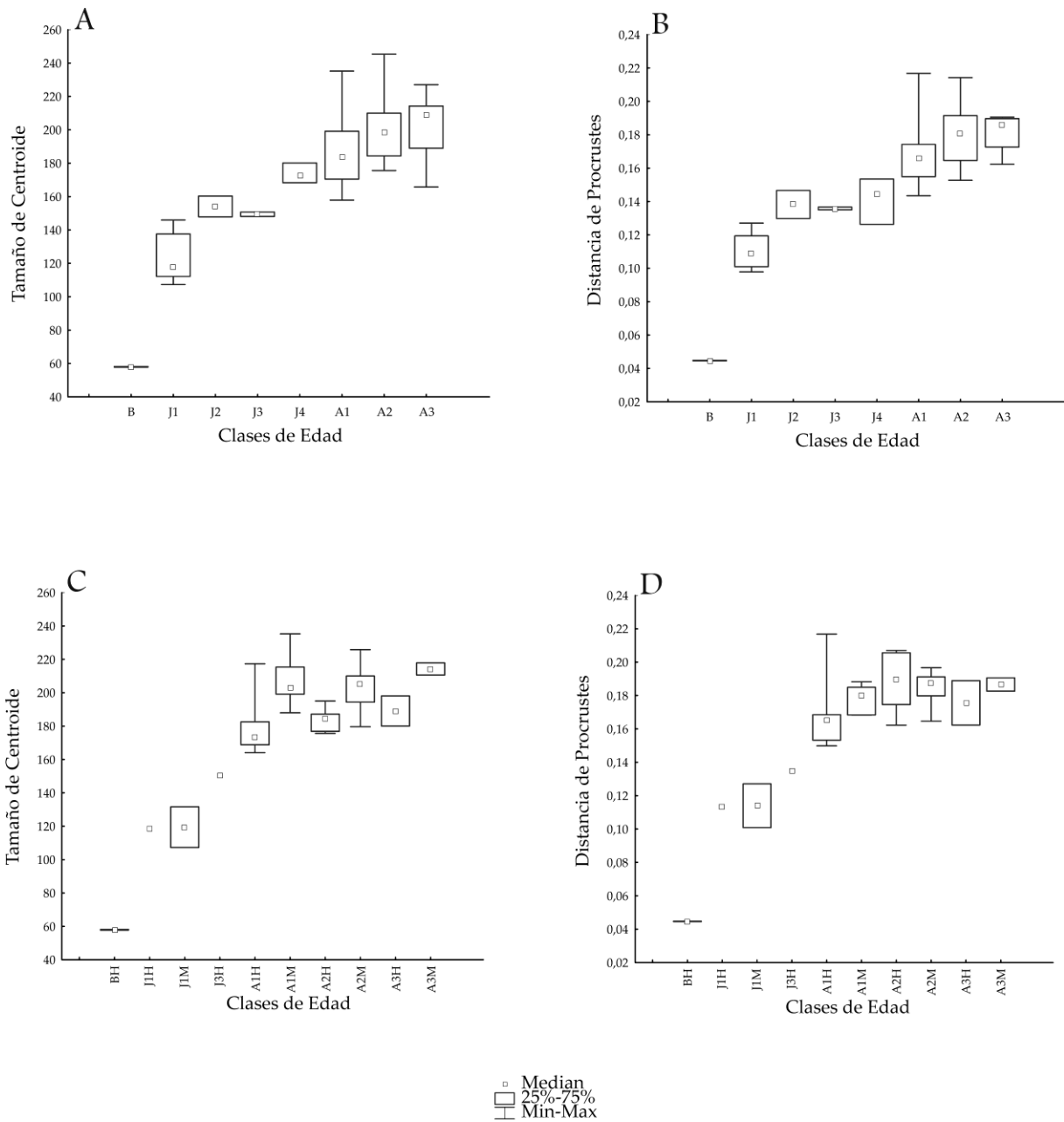


Fig. 131. Boxplots de *Puma concolor* para tamaño y forma mandibular contra clases de edad. Tamaño de centroide (A) y distancia de Procrustes (B) de la mandíbula sin tener en cuenta el sexo. Tamaño de centroide (C) y distancia de Procrustes (D) teniendo en cuenta el sexo. Los boxplots incluyeron mediana, mínimo y máximo, y cuartiles superiores e inferiores (75 y 25%, respectivamente).

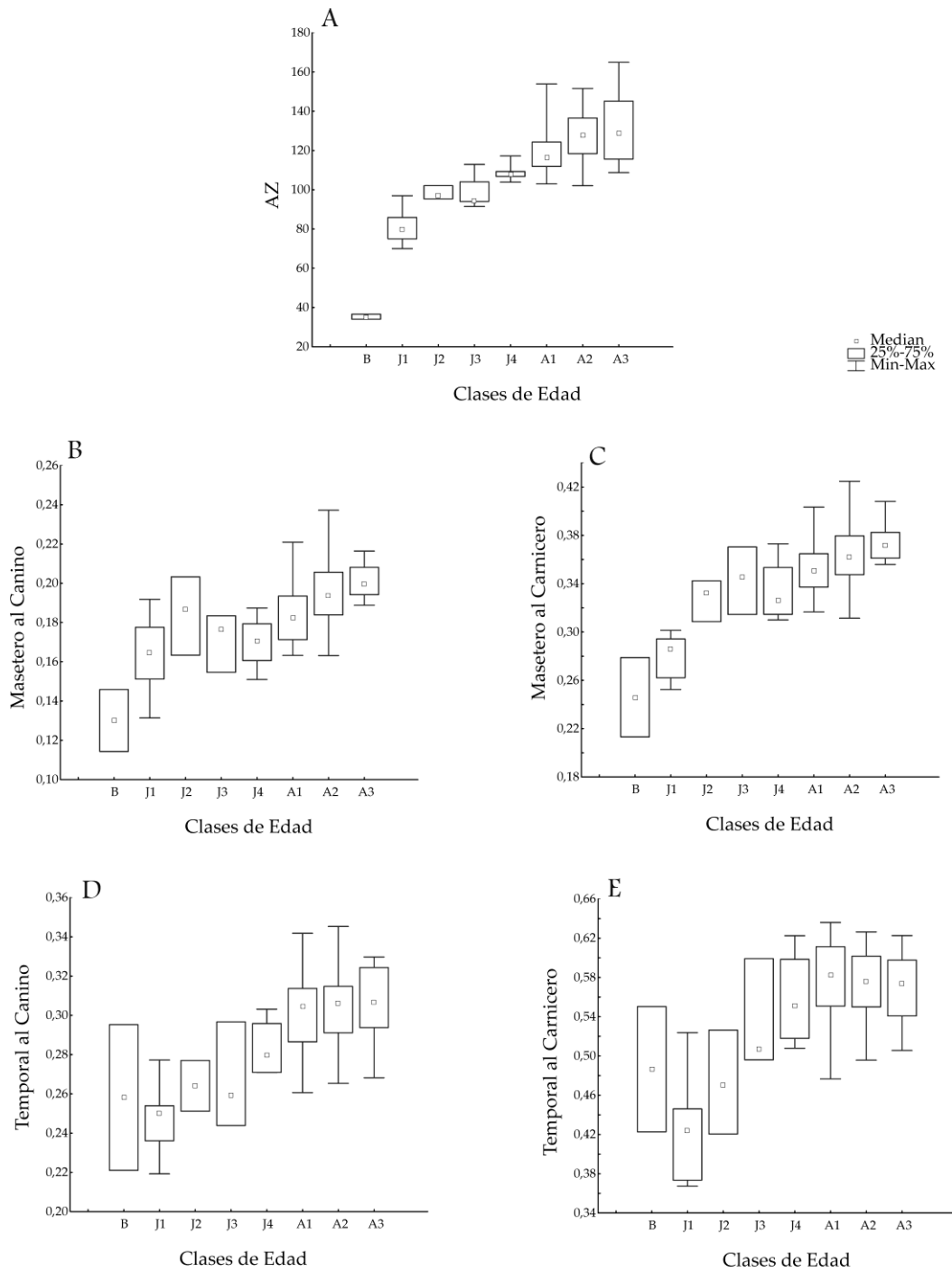
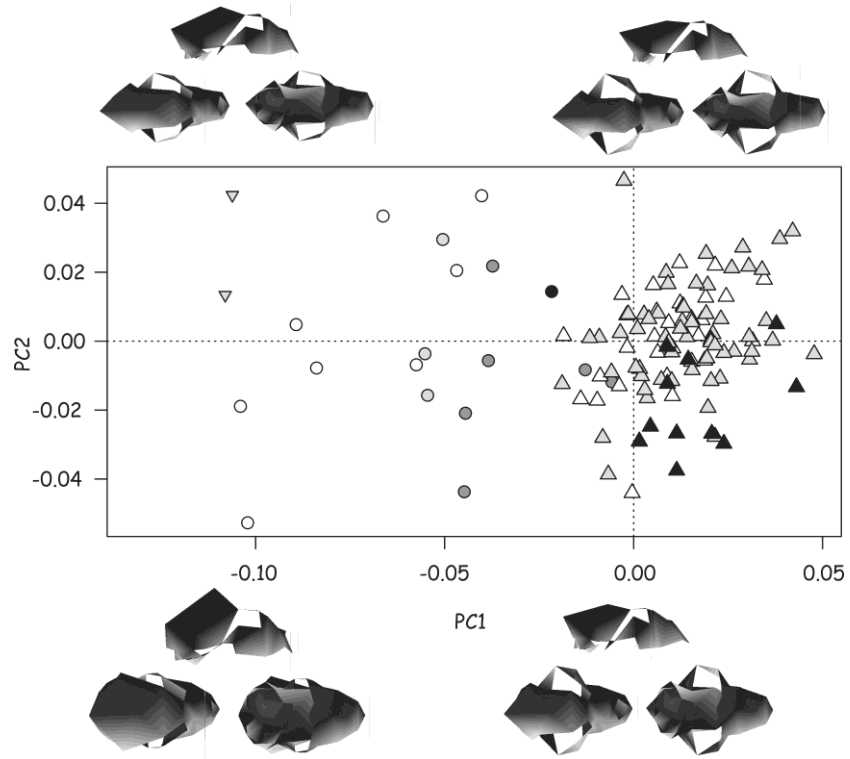


Fig. 132. Boxplots de *Puma concolor* para ventajas mecánicas contra clases de edad. Tamaño de los músculos masticatorios (A), ventaja mecánica del músculo masetero al canino (B), ventaja mecánica del músculo masetero al carnicero (C), ventaja mecánica del músculo temporal al canino (D), ventaja mecánica del músculo temporal al carnicero (E). Los boxplots incluyeron mediana, mínimo y máximo, y cuartiles superiores e inferiores (75 y 25%, respectivamente).



Fig. 133. *Panthera onca*. Vista dorsal, ventral, lateral y mandíbula del ejemplar J1: AMNH 37504 (A-C-E-G) y A2: MACN 8.42 (B-D-F-H). Escala: 2 cm.

A



B

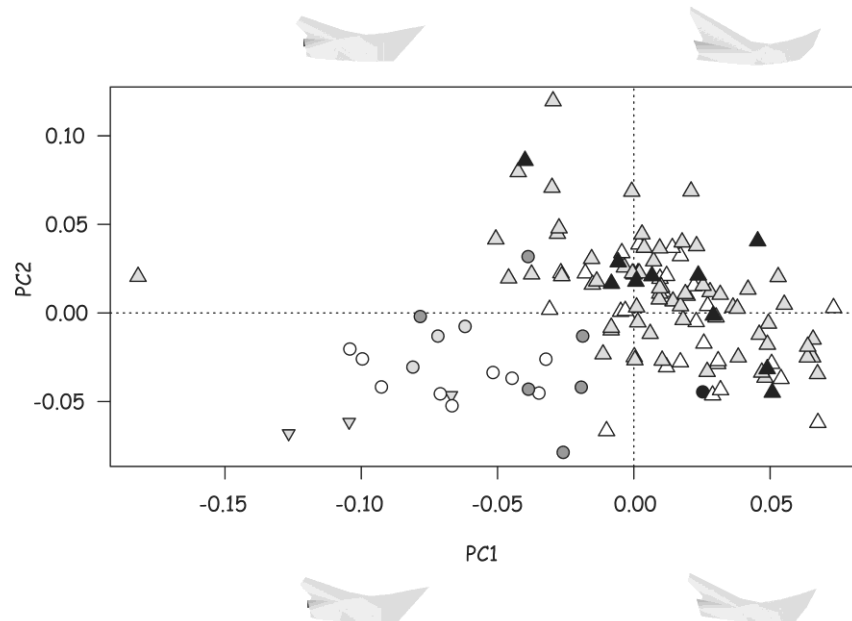


Fig. 134. PC1 vs PC2 para cráneo (A) y mandíbula (B) de *Panthera onca*. Símbolos: B ▽, J1 ○, J2 ●, J3 ●, J4 ●, A1 △, A2 △, A3 ▲.

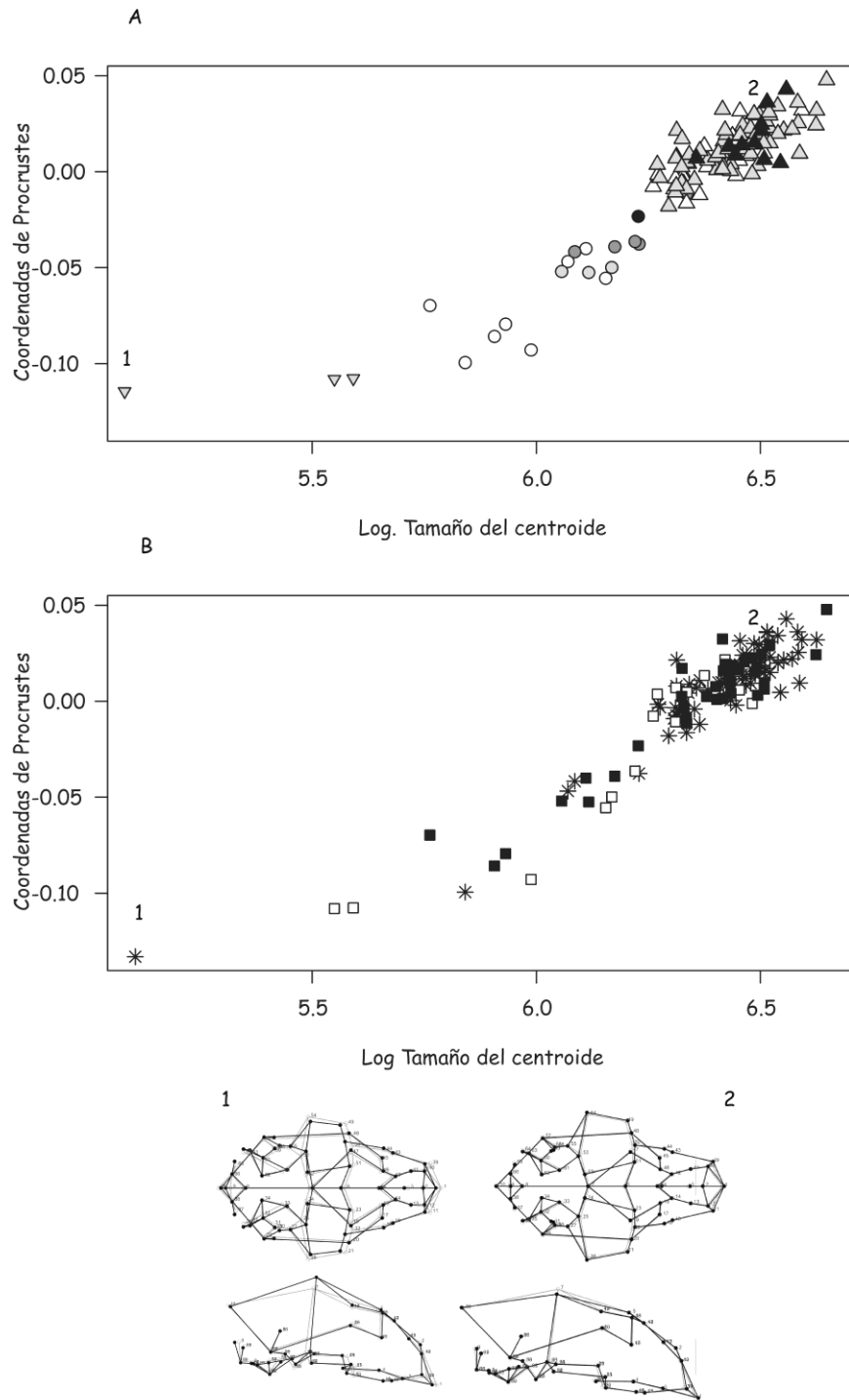


Fig. 135. Regresión de coordenadas de Procrustes contra tamaño de centroide log-transformado para cráneos de *Panthera onca*, teniendo en cuenta las clases de edad (A) y los sexos (B). Símbolos: B ▽, J1 ○, J2 ●, J3 ●, J4 ●, A1 △, A2 △, A3 ▲, Machos ■, Hembras □, Especímenes no sexados *, 1 formas pequeñas, 2 formas grandes.

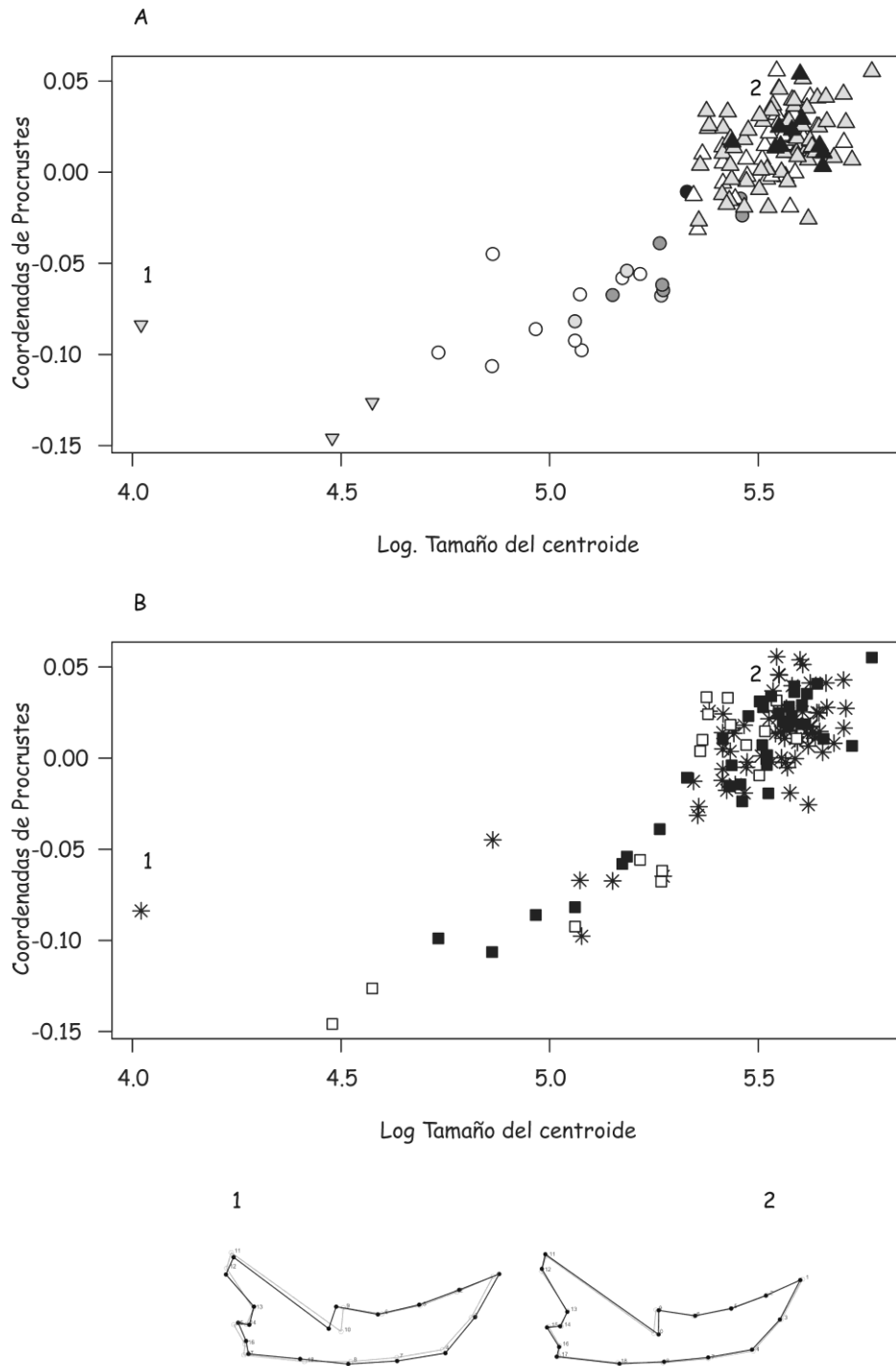


Fig. 136. Regresión de coordenadas de Procrustes contra tamaño de centroide log-transformado para mandíbulas de *Panthera onca*, teniendo en cuenta las clases de edad (A) y los sexos (B). Símbolos: B ▽, J1 ○, J2 ●, J3 ●, J4 ●, A1 △, A2 △, A3 ▲, Machos ■, Hembras □, Especímenes no sexados *, 1 formas pequeñas, 2 formas grandes.

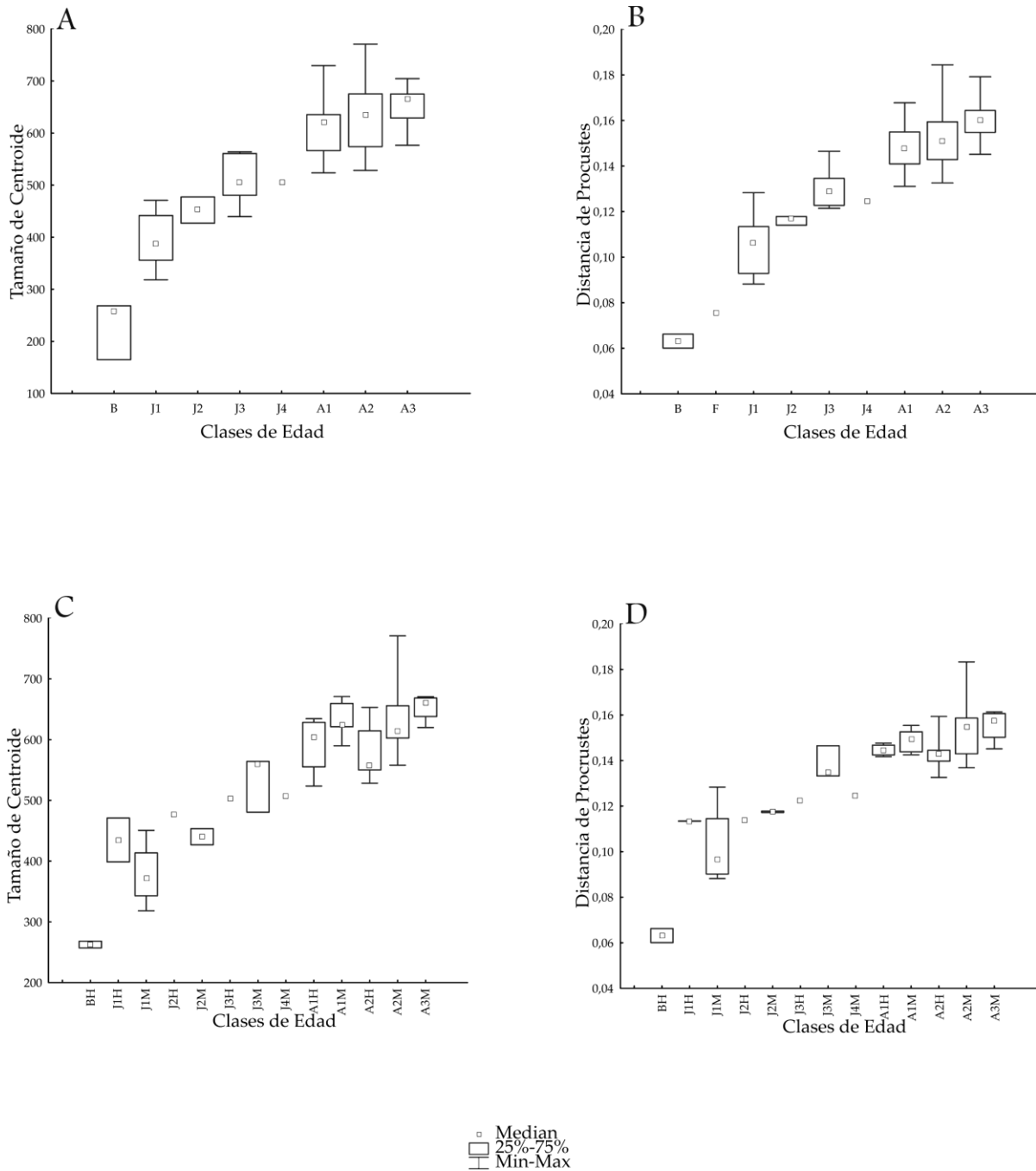


Fig. 137. Boxplots de *Panthera onca* para tamaño y forma craneana contra clases de edad. Tamaño de centroide (A) y distancia de Procrustes (B) del cráneo sin tener en cuenta el sexo. Tamaño de centroide (C) y distancia de Procrustes (D) teniendo en cuenta el sexo. Los boxplots incluyeron mediana, mínimo y máximo, y cuartiles superiores e inferiores (75 y 25%, respectivamente).

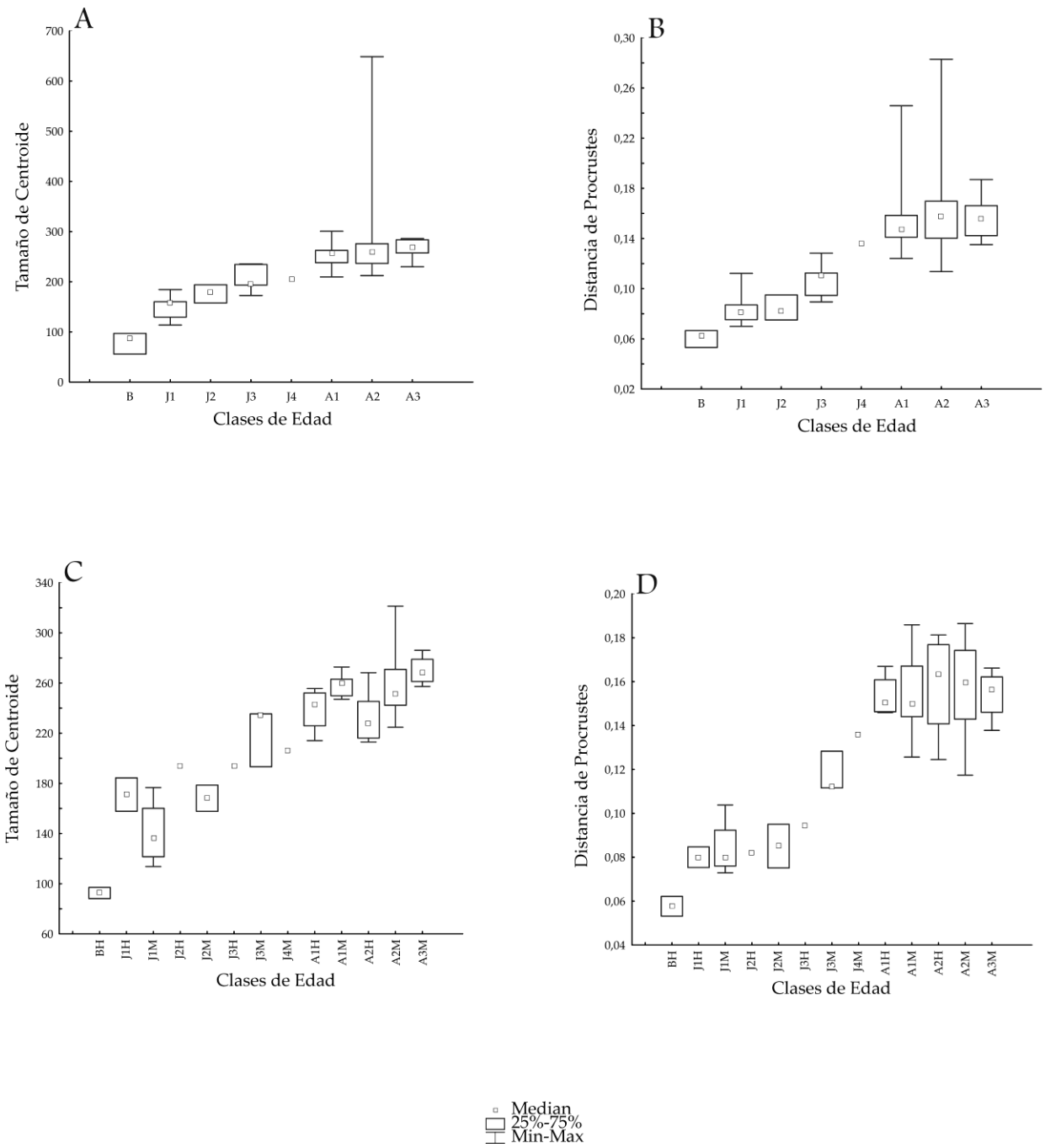


Fig. 138. Boxplots de *Panthera onca* para tamaño y forma mandibular contra clases de edad. Tamaño de centroide (A) y distancia de Procrustes (B) de la mandíbula sin tener en cuenta el sexo. Tamaño de centroide (C) y distancia de Procrustes (D) teniendo en cuenta el sexo. Los boxplots incluyeron mediana, mínimo y máximo, y cuartiles superiores e inferiores (75 y 25%, respectivamente).

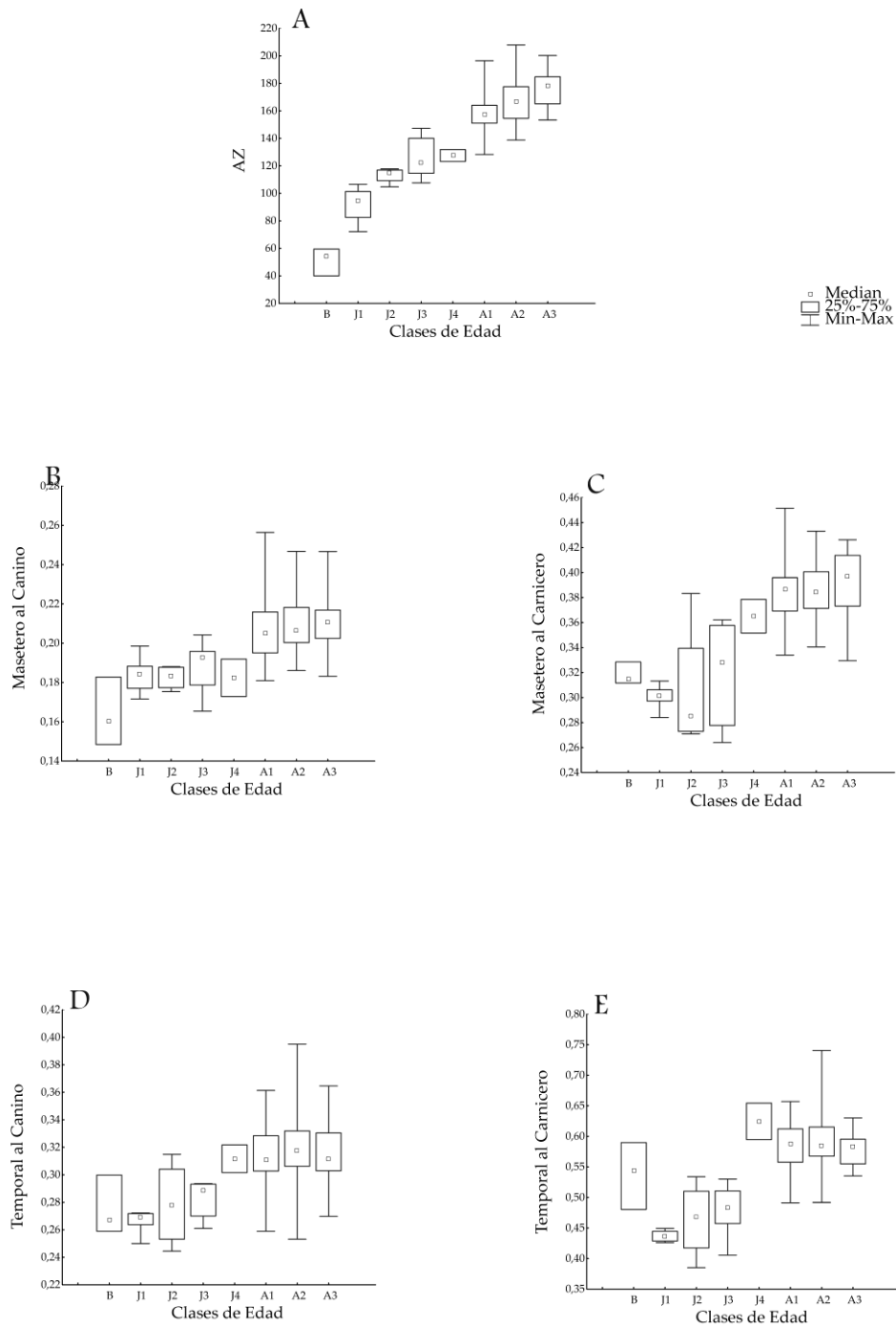


Fig. 139. Boxplots de *Panthera onca* para ventajas mecánicas contra clases de edad. Ancho zigomático (A), ventaja mecánica del músculo masetero al canino (B), ventaja mecánica del músculo masetero al carnicero (C), ventaja mecánica del músculo temporal al canino (D), ventaja mecánica del músculo temporal al carnicero (E). Los boxplots incluyeron mediana, mínimo y máximo, y cuartiles superiores e inferiores (75 y 25%, respectivamente).

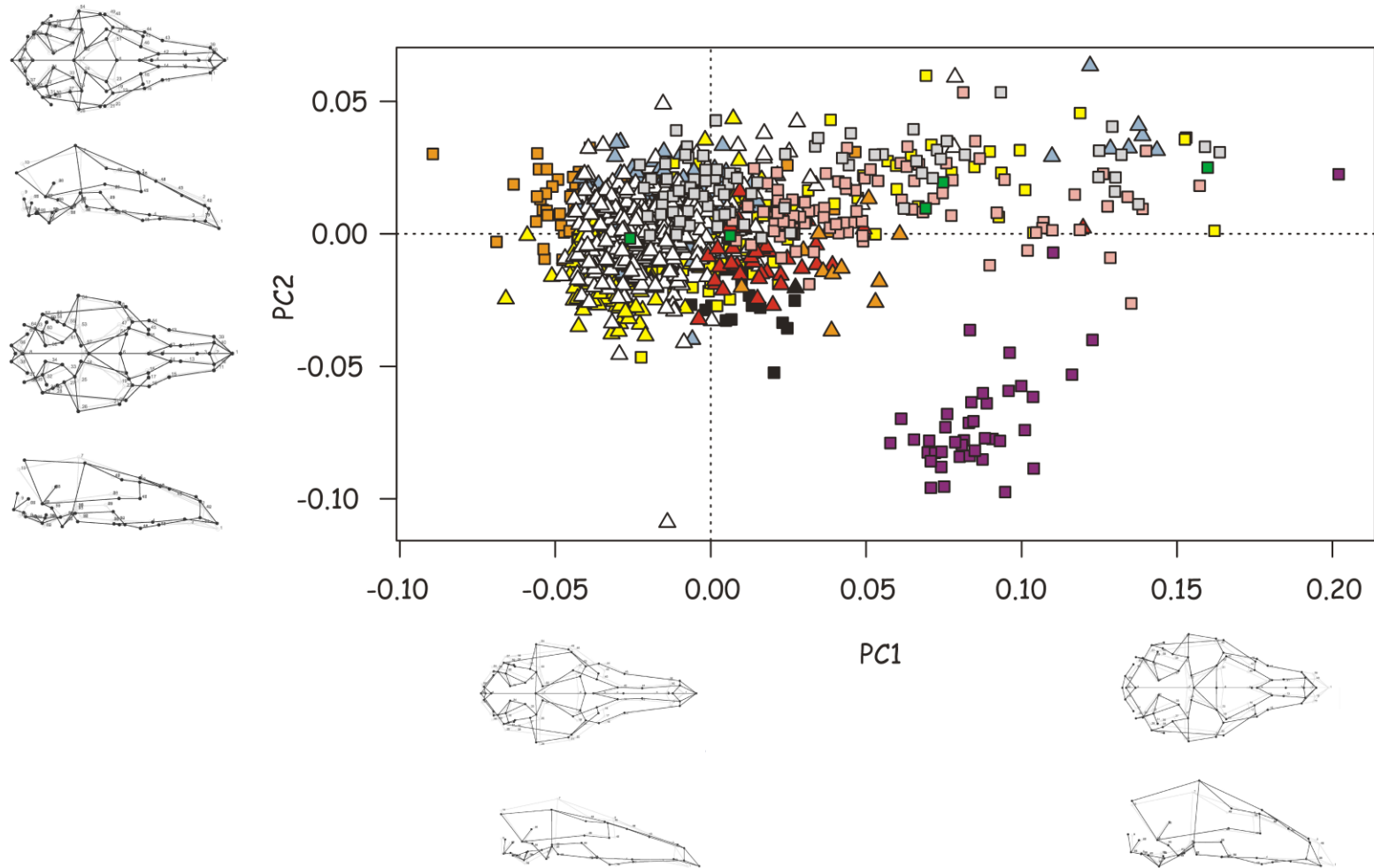


Fig. 140. PC1 vs PC2 para cráneos de la Familia Canidae combinada. Símbolos: *Atelocynus microtis* ■, *Canis lupus* ■, *Cerdocyon thous* ■, *Chrysocyon brachyurus* ■, *Lycalopex culpaeus* ▲, *Lycalopex fulvipes* ▲, *Lycalopex griseus* △, *Lycalopex gymnocercus* △, *Lycalopex sechurae* ▲, *Lycalopex vetulus* ▲, *Speothos venaticus* ■, *Urocyon cinereoargenteus* ■, *Vulpes vulpes* ■.

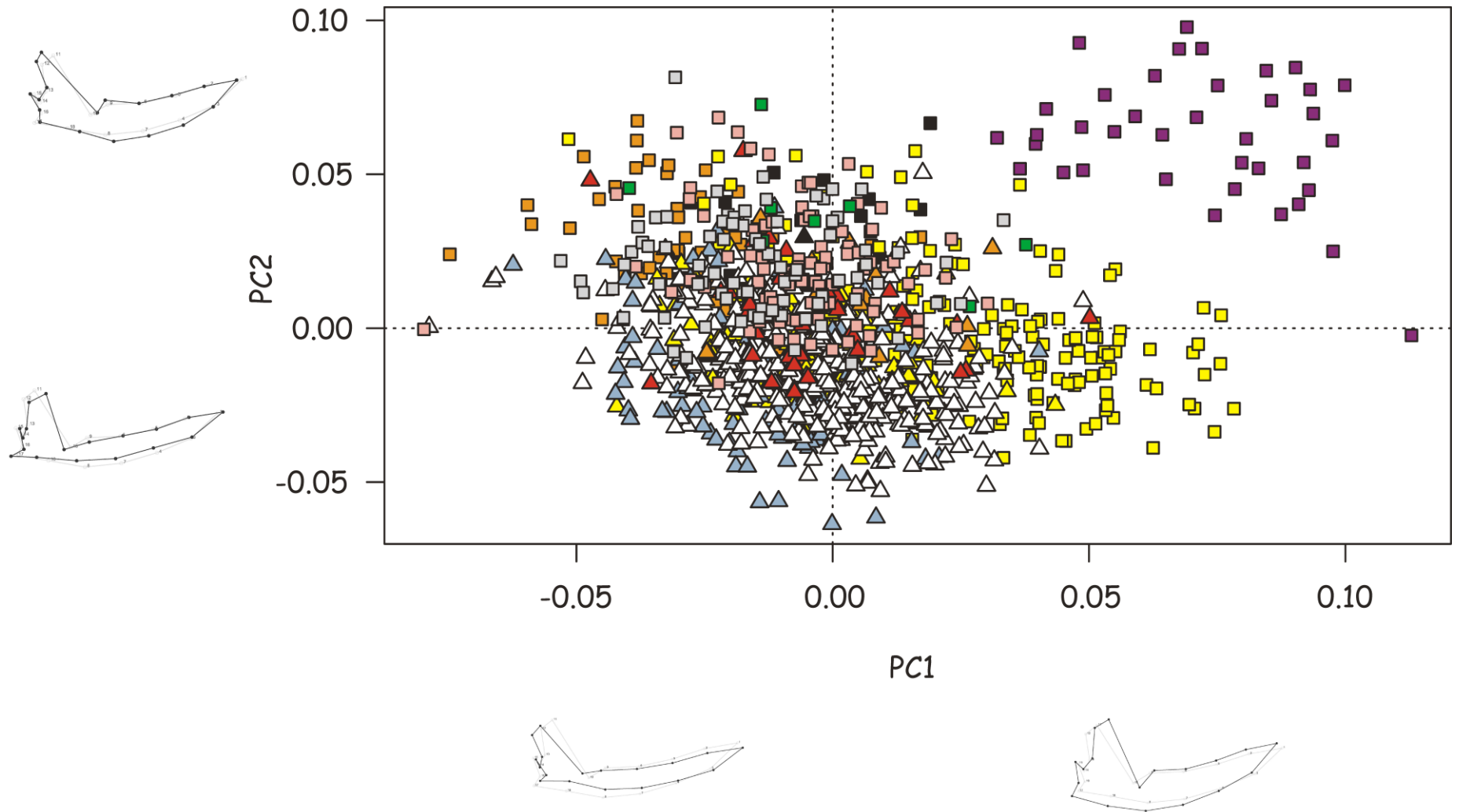


Fig. 141. PC1 vs PC2 para mandíbulas de la Familia Canidae combinada. Símbolos: *Atelocynus microtis* ■, *Canis lupus* ■, *Cerdocyon thous* □, *Chrysocyon brachyurus* □, *Lycalopex culpaeus* △, *Lycalopex fulvipes* ▲, *Lycalopex griseus* △, *Lycalopex gymnocercus* △, *Lycalopex sechurae* ▲, *Lycalopex vetulus* ▲, *Speothos venaticus* ■, *Urocyon cinereoargenteus* □, *Vulpes vulpes* □.

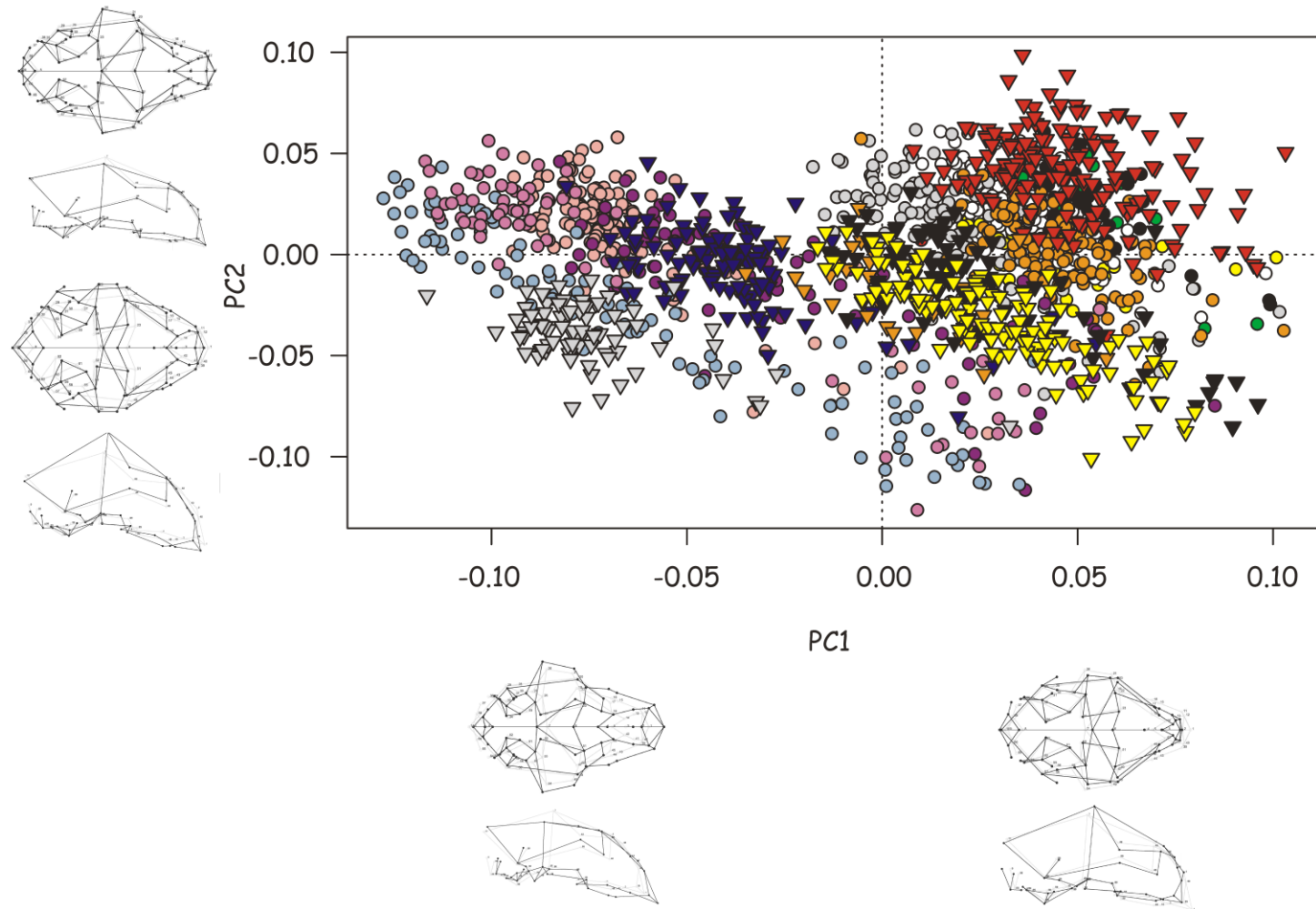


Fig. 142. PC1 vs PC2 para cráneos de la Familia Felidae combinada. Símbolos: *Acinonyx jubatus* ▽, *Caracal caracal* ▽, *Herpailurus yagouaroundi* ▽, *Leopardus colocolo* ●, *Leopardus geoffroyi* ◊, *Leopardus guigna* ●, *Leopardus jacobita* ●, *Leopardus pardalis* ●, *Leopardus tigrinus* ●, *Leopardus wiedii* ●, *Leptailurus serval* ▽, *Lynx rufus* ▽, *Panthera leo* ●, *Panthera onca* ●, *Panthera pardus* ●, *Panthera tigris* ●, *Puma concolor* ▽.

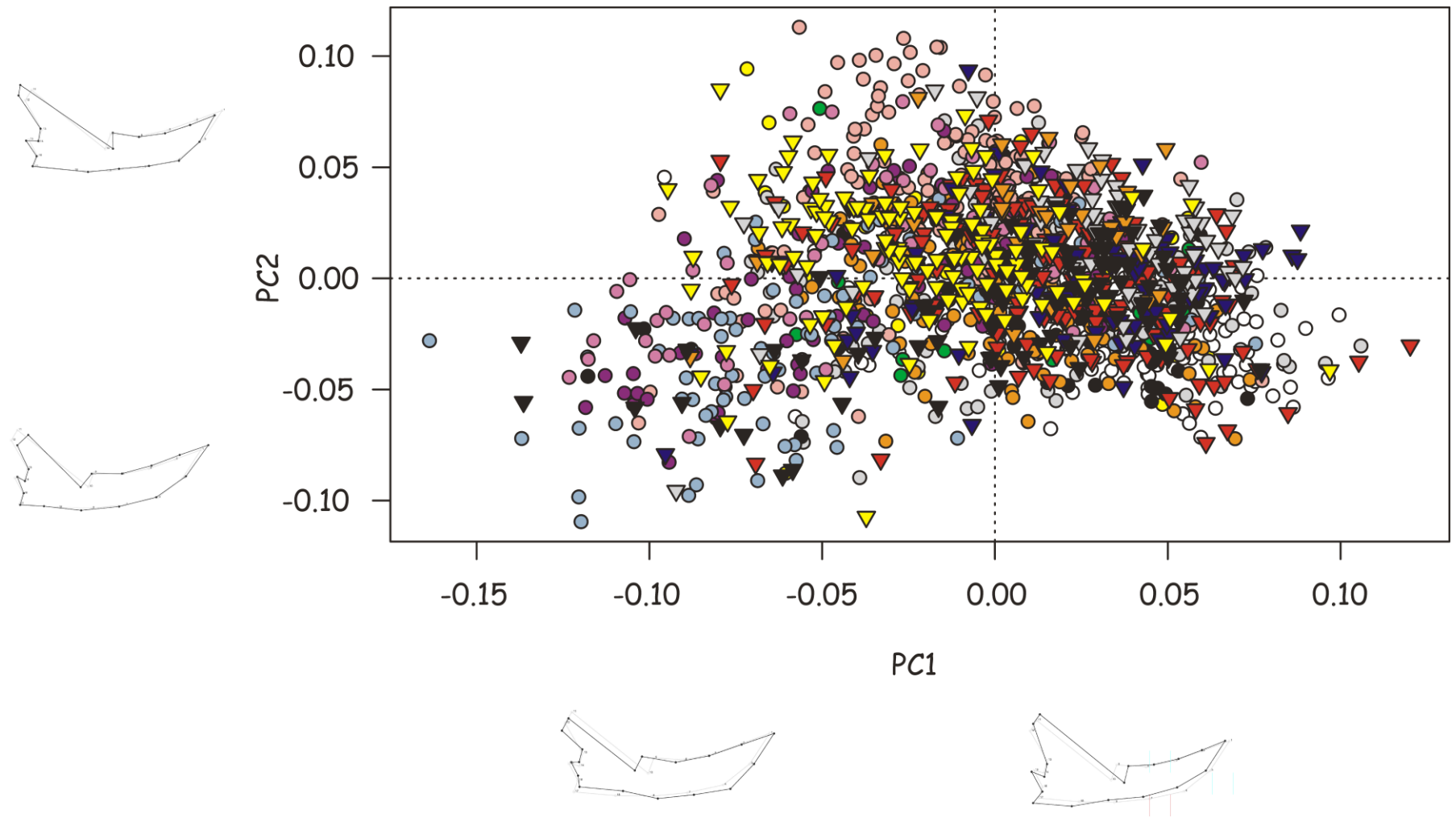


Fig. 143. PC1 vs PC2 para mandíbulas de la Familia Felidae combinada. Símbolos: *Acinonyx jubatus* ▽, *Caracal caracal* ▽, *Herpailurus yagouaroundi* ▽, *Leopardus colocolo* ●, *Leopardus geoffroyi* ○, *Leopardus guigna* ●, *Leopardus jacobita* ●, *Leopardus pardalis* ●, *Leopardus tigrinus* ●, *Leopardus wiedii* ●, *Leptailurus serval* ▽, *Lynx rufus* ▽, *Panthera leo* ●, *Panthera onca* ●, *Panthera pardus* ●, *Panthera tigris* ●, *Puma concolor* ▽.

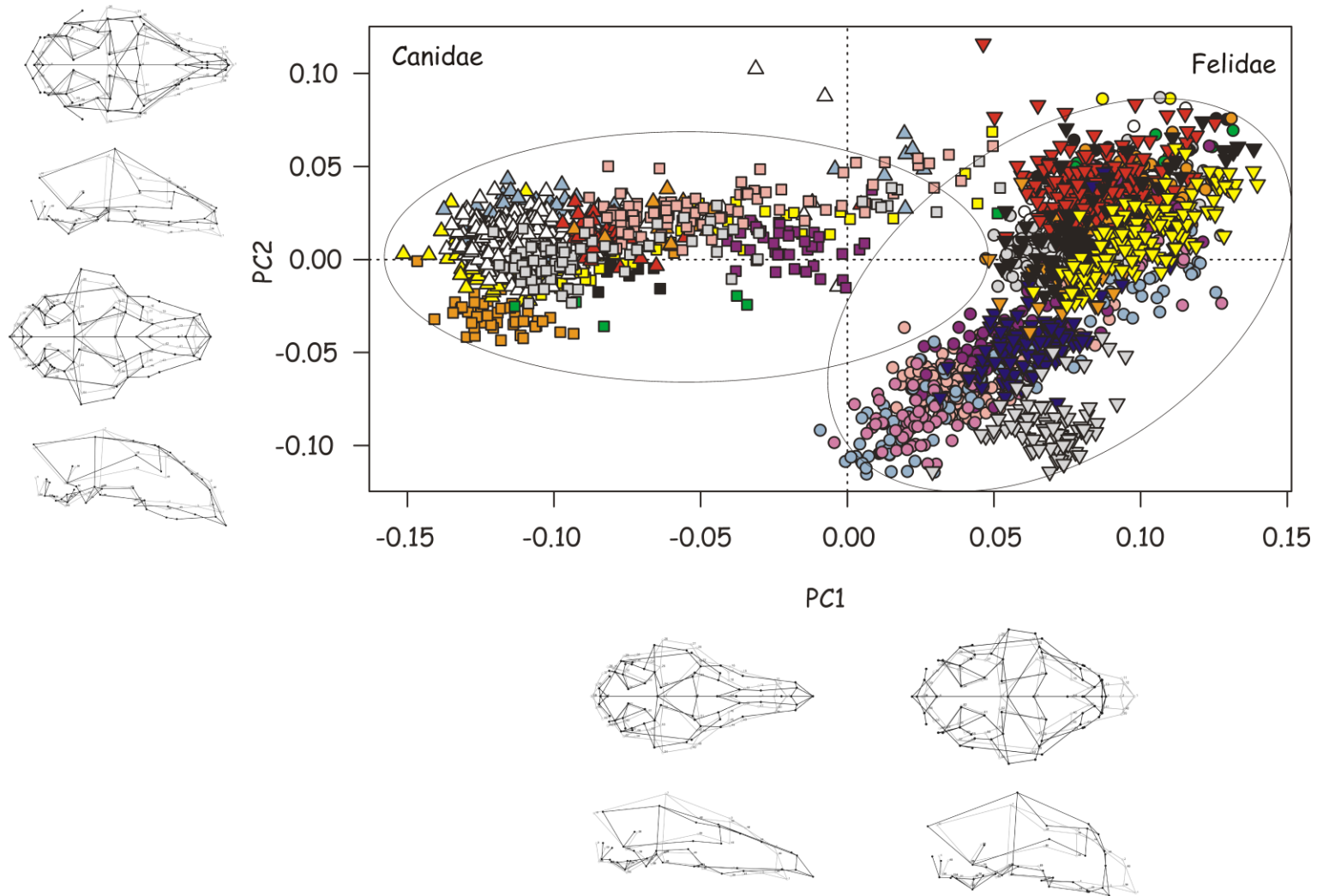


Fig.144. PC1 vs PC2 para cráneos de las Familias Canidae y Felidae. Símbolos Canidae: *Atelocynus microtis* ■, *Canis lupus* ■, *Cerdocyon thous* ■, *Chrysocyon brachyurus* ■, *Lycalopex culpaeus* ▲, *Lycalopex fulvipes* ▲, *Lycalopex griseus* ▲, *Lycalopex gymnocercus* △, *Lycalopex sechurae* ▲, *Lycalopex vetulus* ▲, *Speothos venaticus* ■, *Urocyon cinereoargenteus* ■, *Vulpes vulpes* ■. Símbolos Felidae: *Acinonyx jubatus* ▽, *Caracal caracal* ▽, *Herpailurus yagouaroundi* ▽, *Leopardus colocolo* ●, *Leopardus geoffroyi* ○, *Leopardus guigna* ●, *Leopardus jacobita* ●, *Leopardus pardalis* ●, *Leopardus tigrinus* ●, *Leopardus wiedii* ●, *Leptailurus serval* ▽, *Lynx rufus* ▽, *Panthera leo* ●, *Panthera onca* ●, *Panthera pardus* ●, *Panthera tigris* ●, *Puma concolor* ▽.

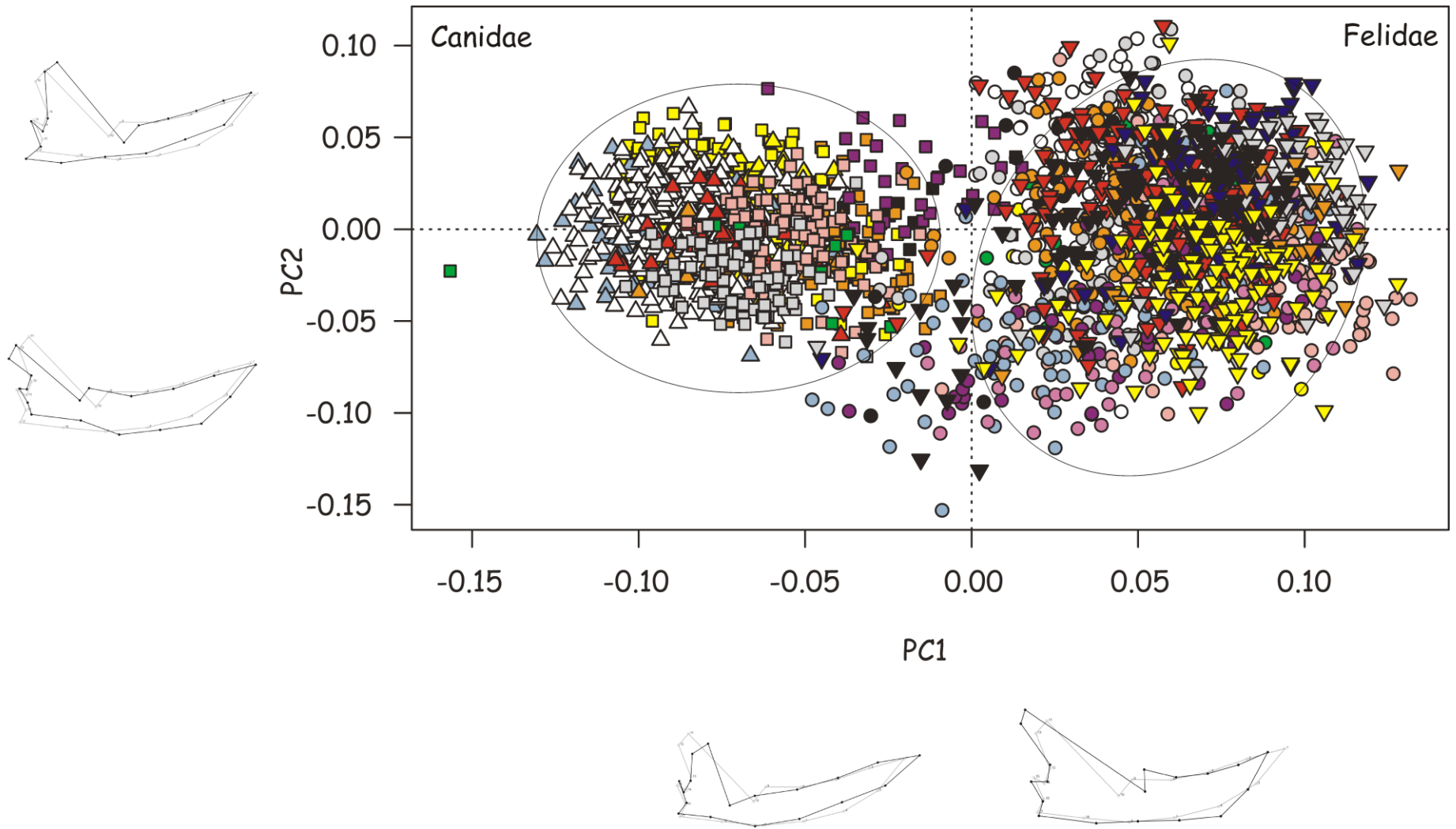


Fig. 145. PC1 vs PC2 para mandíbulas de las Familias Canidae y Felidae. Símbolos Canidae: *Atelocynus microtis* ■, *Canis lupus* ■, *Cerdocyon thous* □, *Chrysocyon brachyurus* ■, *Lycalopex culpaeus* ▲, *Lycalopex fulvipes* ▲, *Lycalopex griseus* ▲, *Lycalopex gymnocercus* △, *Lycalopex sechurae* ▲, *Lycalopex vetulus* ▲, *Speothos venaticus* ■, *Urocyon cinereoargenteus* □, *Vulpes vulpes* □. Símbolos Felidae: *Acinonyx jubatus* ▽, *Caracal caracal* ▽, *Herpailurus yagouaroundi* ▽, *Leopardus colocolo* ●, *Leopardus geoffroyi* ○, *Leopardus guigna* ●, *Leopardus jacobita* ●, *Leopardus pardalis* ●, *Leopardus tigrinus* ●, *Leopardus wiedii* ●, *Leptailurus serval* ▽, *Lynx rufus* ▽, *Panthera leo* ●, *Panthera onca* ●, *Panthera pardus* ●, *Panthera tigris* ●, *Puma concolor* ▽.

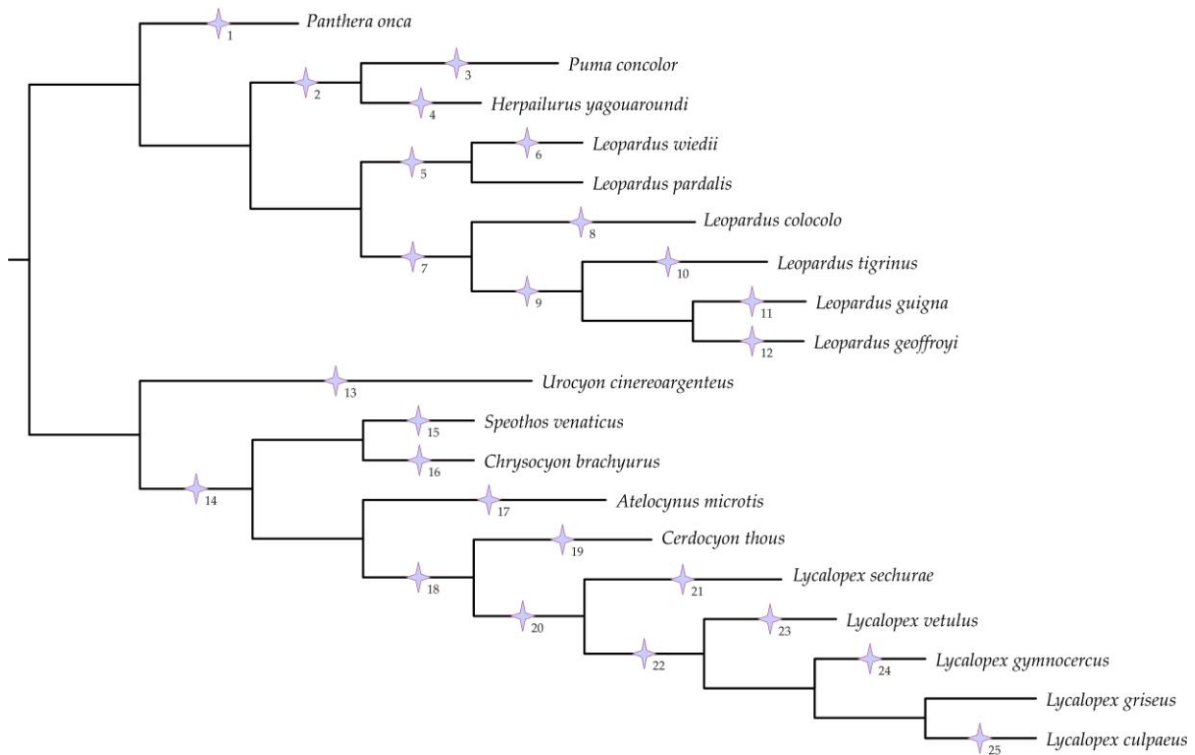


Fig. 146. Sinapomorfías de Intervalos de confianza. Para cada carácter que incluye información filogenética, se reporta la diferencia del intervalo del ancestro contra el del descendiente, al cual no se le agrega ningún símbolo si existió un aumento en la tasa y se le agrega un signo negativo si hubo un decremento en ésta. Entre paréntesis se consigna la tendencia alométrica positiva, negativa o isométrica con los signos +, -, = respectivamente.



1. HPO:0,029(+), AM:0,03(-), AZ:0,002(+), Acan:0,005(-), HH:0,019(+)
2. Apal:0,018(-)
3. AM:0,006(-), LB:0,013(=), LHS:-0,04(-), HC:0,002(+), LHI:-0,001(-)
4. AM:-0,033(-), LO:0,012(=), LHS:-0,008(+)
5. AB:0,009(-)
6. HC:-0,017(+)
7. HD:0,025(+)
8. AC:0,005(-), AZ:0,003(+), LO:0,01(=), LR:-0,04(=), HH:-0,031(-), HC:0,002(-), LHI:-0,011(-)
9. AM:-0,013(-)
10. HPO:-0,005(-), Acan:0,003(-), Apal:-0,053(-), HD:0,006(+), HC:-0,002(+)
11. HB:0,013(+), HD:-0,009(+)
12. LO:-0,02(-)
13. LCI:0,003(+), HPO:-0,018(-), AZ:-0,009(=), LN:0,04(+), LR:0,086(+), Acan:-0,013(-), HH:-0,013(-), AB:-0,018(-), Apal:-0,052(-), HD:-0,019(-), HC:-0,002(+), LC:-0,07(+), LHI:0,076(+)
14. HD:0,006(+), LC:0,009(+)
15. AM:0,005(-), LHI:-0,007(-)
16. AM:-0,03(-)
17. LCI:-0,001(=), HPO:-0,008(-), AM:-0,005(-), AZ:-0,022(-), CPO:0,029(=), AB:0,066(=), HB:0,056(+), Lpal:-0,048(-)
18. LCI:0,001(+), HB:-0,01(-)
19. HH:-0,055(-), Apal:-0,054(-), Lpal:0,005(+), LHS:0,009(+)

20. AM:0,002(-)
21. Acan:-0,07(-), Apal:0,016(=), HC:-0,062(+), LC:-0,104(+), LHI:0,011(+)
22. CPO:-0,019(-), Acan:0,002(-), LHS:-0,004(=)
23. CPO:-0,373(-), LHS:-0,183(-), LHI:-0,104(-)
24. Acan:0,015(-)
25. LO:-0,011(-), Apal:-0,001(-)

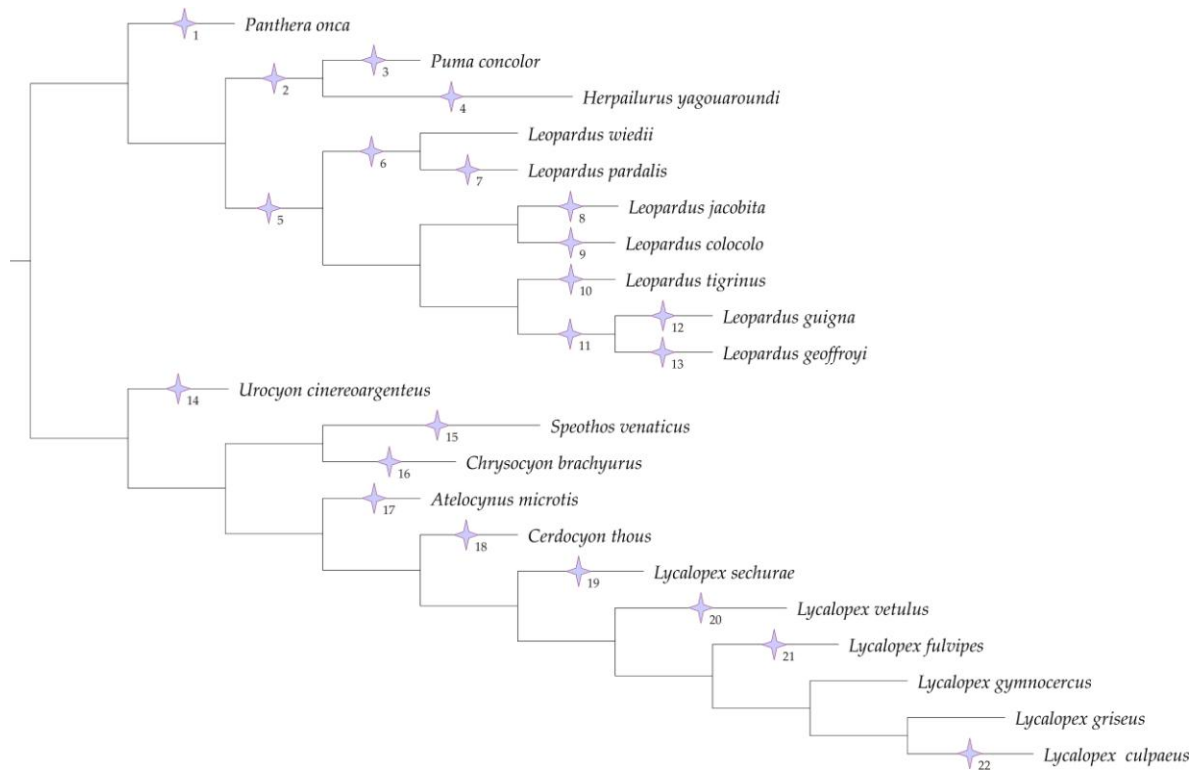


Fig. 147. Sinapomorfías de suturas y sincondrosis (tomando la semi-fusión como no fusión). Para cada nodo con información filogenética, se indica con una flecha el cambio de la edad de fusión de suturas desde el ancestro al descendiente.

- ✧ 1. If: A2 → A1, Sppa: A2 → A3.
 2. Isq: J2 → J1, Oipa: A1 → J4.
 3. Sgc: A1 → J4.
 4. Isp: A2 → A3, Opa: A2 → A3, Oipa: J4 → J1, Paipa: J3/J4 → J1, Ifc: A2 → A3, Sg: A2 → A3, Sgc: A1 → A2, Sppa: A2 → A3.
 5. If: A3 → A2.
 6. Ib: J3 → J2.
 7. Opa: A2 → A3, Oipa: A1 → J4.
 8. Isp: A2 → A3, Isq: J2 → A2, Ib: J3/J4 → A1.
 9. Ib: J3/J4 → J2, Sgc: A1 → A2.
 10. Isq: J2 → A2, Ib: J3/J4 → A2.
 11. Sgc: A1 → A2.
 12. Isq: J2 → J1, Ib: J3/J4 → J2.
 13. Oipa: A2 → A3.
 14. Spo: A2 → A1, Ib: J3 → J2, Oma: A2 → A1.
 15. Spo: A2 → A1, Isq: J2/J3 → J1, Ib: J3 → J1, Opa: A2 → J4, Sg: A1 → J3, Sgc: A1 → J3, Spsq: A2 → A1.
 16. Isq: J2/J3 → J4, Ib: J3 → J4, Opa: A2 → A3, Spsq: A2 → A3.
 17. Isq: J2/J3 → A1, Ib: J3 → A1.
 18. Isp: A3 → A2, Sppa: A2 → ?=A2.
 19. Spo: A2 → J4, Sgc: A1/A2 → A3, Spsq: A2 → A3.
 20. Isp: A3 → A2, Imd: A3 → A2, Isq: J3/J4/A1 → A2, Ib: J3/J4/A1 → A2, Oma: A2 → A3, Spf: A3 → A2.

21. Spo: $A2 \rightarrow A1$, Sgc: $A1/A2 \rightarrow A3$, Spsq: $A2 \rightarrow A3$.
22. Isq: $J2/J3/J4 \rightarrow J1$, Sg: $A3 \rightarrow A1$, Sgc: $A1 \rightarrow J3$.

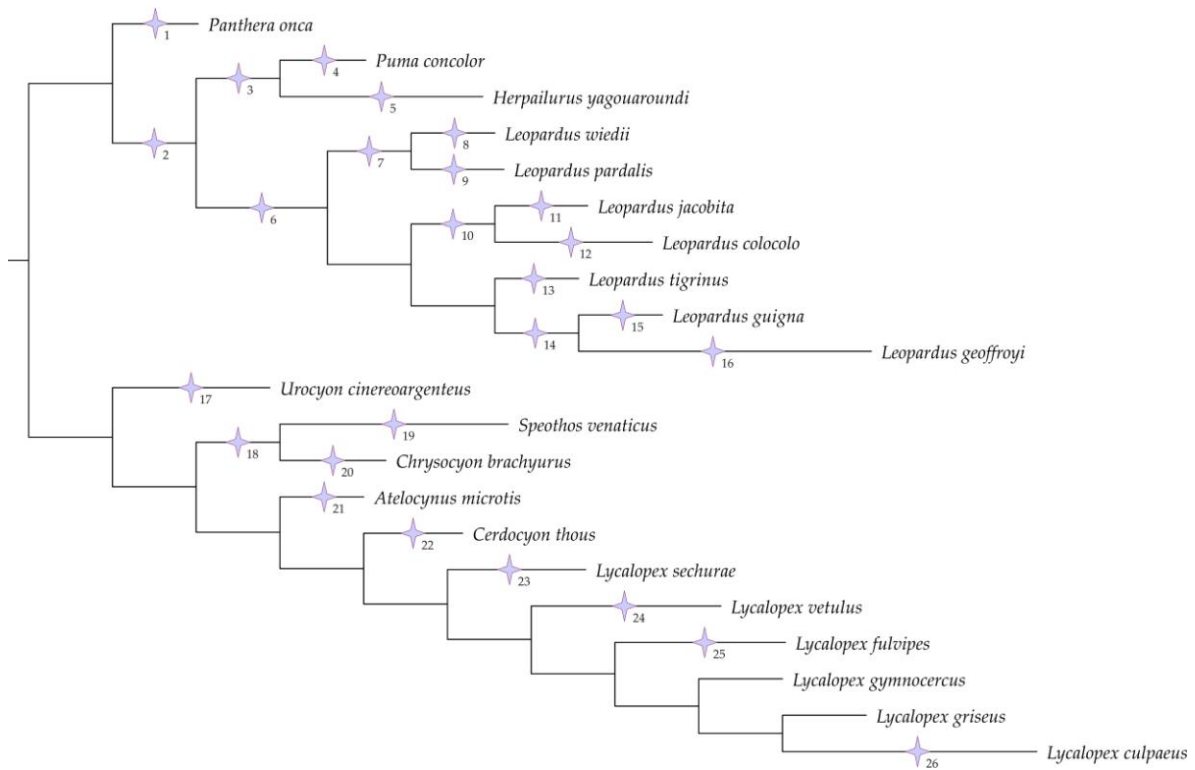


Fig. 148. Sinapomorfías de suturas y sincondrosis (tomando la semi-fusión como fusión). Para cada nodo con información filogenética, se indica con una flecha el cambio de la edad de fusión de suturas desde el ancestro al descendiente.

- ✧ 1. Isp: A2 → J4, Ifc: A2 → A1.
 2. Zmx: A3 → A2.
 3. Isq: J2 → J1, Oipa: A1 → J4.
 4. Opa: A2 → A1, Sgc: A1 → J4.
 5. Oipa: J4 → J1, Paipa: J3/J4 → J1, Cor: A2 → A3, Ifc: A2 → A3, Sg: A2 → A3, Sgc: A1 → A2.
 6. Imx: A3 → A2, Pmm: A3 → A2.
 7. Ib: J3 → J2.
 8. Oma: A2 → A1.
 9. Oma: A2 → A3, Opa: A2 → A3, Oipa: A1 → J4.
 10. Oipa: A1 → A2, Paipa: A1 → A2.
 11. Isp: A2 → A3, Isq: J2 → A2, Ib: J3/J4 → A1.
 12. Spo: A2 → J4, Isp: A2 → J4, Ib: J3/J4 → J2, Sg: A1/A2 → A3, Sgc: A1 → A2.
 13. Isq: J2 → A2, Ib: J3/J4 → J2.
 14. Opa: A2 → A1.
 15. Isq: J2 → J1, Ib: J3/J4 → J2.
 16. Spo: A2 → A1, Isp: A2 → A1, Oma: A2 → A3, Oipa: A1 → A3, Paipa: A1 → A2, Ifc: A2 → A3, Sg: A2 → A3, Sgc: A1 → A2, Sppal: A2 → J4, Zmx: A2 → A3.
 17. Spo: A2 → A1, Ib: J3 → J4, Oma: A2 → A1, Iin: A3 → A2, Imx: A3 → A2.
 18. Isp: A2 → A3.
 19. Spo: A2 → A1, Imd: A2 → A1, Isq: J2/J3 → J1, Ib: J3 → J1, Opa: A2 → J4, Sg: A1 → J3, Sgc: A1 → J3, Spsq: A2 → A1.
 20. Isq: J2/J3 → J4, Ib: J3 → J4, Spsq: A2 → A3.
 21. Isq: J2/J3 → A1, Ib: J3 → A1.

22. Sq: $A2 \rightarrow A3$, Sppa: $A2 \rightarrow A3$.
23. Spo: $A1/A2 \rightarrow J3$, Oty: $A2 \rightarrow A3$, Sgc: $A2 \rightarrow A3$, Spsq: $A2 \rightarrow A3$.
24. Imd: $A3 \rightarrow A2$, Isq: $J3/J4/A1 \rightarrow A2$, Ib: $J3/J4/A1 \rightarrow A2$, Zmx: $A3 \rightarrow A2$, Pmm: $A3 \rightarrow A2$.
25. Isp: $A2 \rightarrow A3$, Oty: $A2 \rightarrow A3$, Sq: $A2 \rightarrow A3$, Sgc: $A1/A2 \rightarrow A3$, Spsq: $A2 \rightarrow A3$.
26. Isq: $J2/J3/J4 \rightarrow J1$, Oma: $A3 \rightarrow A1$, Opa: $A2/A3 \rightarrow A1$, Sg: $A3 \rightarrow A1$, Sgc: $A1 \rightarrow J2$, Spsq: $A1/A2 \rightarrow A1$, Pmm: $A3 \rightarrow A2$.

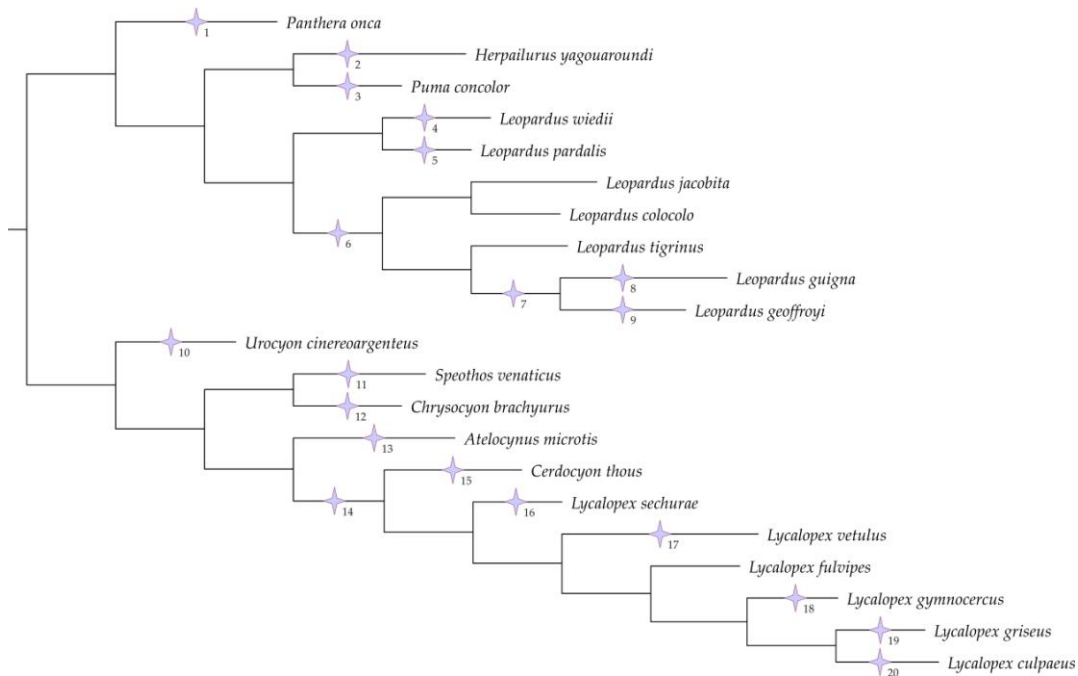


Fig. 149. Sinapomorfías de edad de crecimiento y desarrollo definitivos. Para cada nodo con información filogenética, se indica con una flecha el cambio de la edad de fusión de suturas desde el ancestro al descendiente.

- ✧ 1. Tcr: A2 → A3, Fcr: A2 → A3, Tmd: A2 → A1, AZ: A2 → A3, Mcan: A2 → A1, Mcar: A2 → A1, Tcan: A1 → J4.
2. Fcr: A2 → J4, FMd: A2 → A1, AZ: A2 → A3, Mcar: A2 → J3, Tcan: A1 → A2, Tcar: A1 → A2.
3. Tmd: A2 → A3, FMd: A2 → A3, Mcan: A2 → A3, Mcar: A2 → A3.
4. FMd: A2 → J4, Mcan: A2 → A1, Mcar: A2 → J4, Tcar: A1 → J4.
5. Tcan: A1 → A2, Tcar: A1 → A2.
6. Tcr: A2 → A1.
7. Tmd: A2 → A1, Mcar: A2 → J3.
8. AZ: A2 → A1, Mcan: A2 → A1, Mcar: J3 → J2, Tcan: A1 → A2.
9. Fcr: A1/A2 → J1, FMd: A2 → A1, AZ: A2 → A3, Mcan: A2 → A3, Tcan: A1 → J3.
10. FMd: A2 → A1, Tcan: A1 → A2, Tcar: A1 → J4.
11. FMd: A2 → A1.
12. Tcr: A2 → A3, Tmd: A2 → A3, Tcan: A1 → A3, Tcar: A1 → A3.
13. Tcr: A2 → A3, Fcr: A1 → A2, Tmd: A2 → A3, FMd: A2 → A3, AZ: A2 → A3, Mcan: A2 → A3, Mcar: A2 → A3.
14. Tcr: A2 → A1, Mcan: A2 → A1, Mcar: A2 → A1.
15. Mcan: A1 → J2, Mcar: A1 → J3, Tcan: A1 → J1, Tcar: A1 → J3.
16. AZ: A2 → A1.
17. Tmd: A2 → A3, FMd: A1/A2 → A3, AZ: A2 → A3, Mcar: A1 → A3.
18. Fcr: A1/A2 → J4, FMd: A1/A2 → J4, Mcar: J4/A1 → J3.
19. Mcan: A1 → J4.
20. Mcan: A1 → A2, Mcar: J4/A1 → A2.

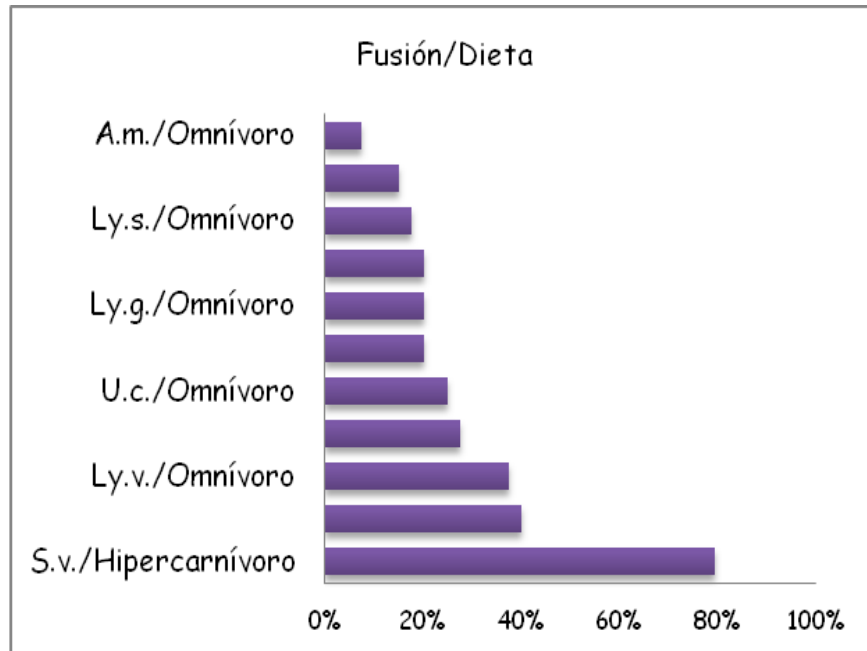


Fig. 150. Porcentaje de fusión de suturas en relación a la dieta en la Familia Canidae. Abreviaturas: A.m. *Atelocynus microtis*, C.t. *Cerdocyon thous*, C.b. *Chrysocyon brachyurus*, Ly.c. *Lycalopex culpaeus*, Ly.g. *Lycalopex griseus*, Ly.gy. *Lycalopex gymnocercus*, Ly.s. *Lycalopex sechurae*, Ly.v. *Lycalopex vetulus*, S.v. *Speothos venaticus*, U.c. *Urocyon cinereoargenteus*.

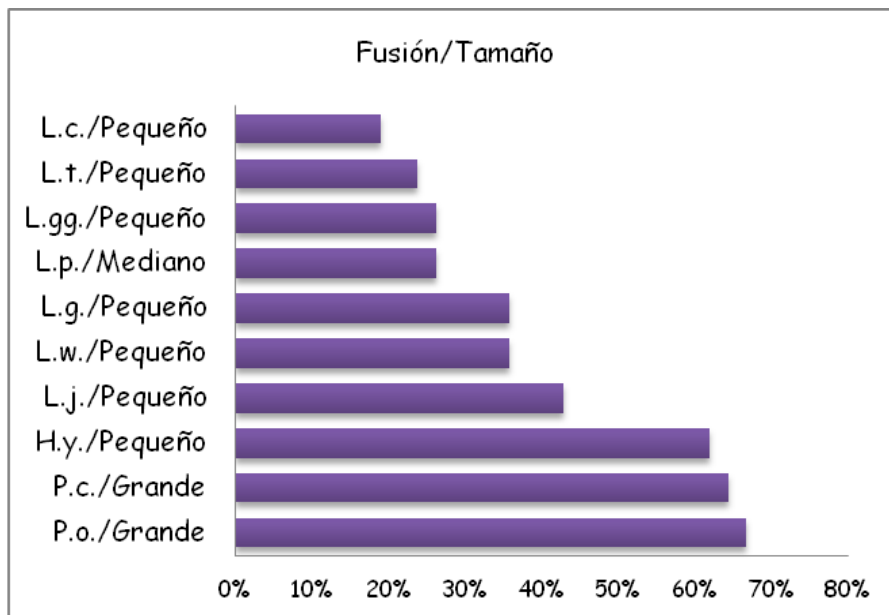


Fig. 151. Porcentaje de fusión de suturas en relación al tamaño corporal en la Familia Felidae. Abreviaturas: L.c. *Leopardus colocolo*, L.g. *Leopardus geoffroyi*, L.gg. *Leopardus guigna*, L.j. *Leopardus jacobita*, L.p. *Leopardus pardalis*, L.t. *Leopardus tigrinus*, L.w. *Leopardus wiedii*, H.y. *Herpailurus yagouaroundi*, P.c. *Puma concolor*, P.o. *Panthera onca*.